

# Méthodes de volumes finis pour les écoulements en milieux poreux

F. Boyer

Laboratoire d'Analyse, Topologie et Probabilités  
CNRS / Université Paul Cézanne

Ecole d'été Milieux Poreux  
LEM2I  
Tipaza, 13-18 Juin 2010

- Introduction : modèles / problématiques.
- Les bases des volumes finis en 1D.
- Le schéma volumes finis à 2 points en 2D non structuré.
- Les outils d'analyse pour ce schéma.
- DDFV 2D dans le cadre linéaire.
- DDFV 2D dans le cas non-linéaire.
- Revues des autres types de schémas volumes finis en 2D
- Benchmark 2D.
- Approches DDFV en 3D.

## 1 INTRODUCTION

- Ecoulements complexes en milieux poreux
- Autres modèles
- Cahier des charges

## 2 SCHÉMA VOLUMES FINIS 1D

- Notations. Construction
- Analyse du schéma. Approche DF
- Analyse du schéma. Approche VF
- Implémentation en Scilab
- Extensions

## ③ SCHÉMA VF DE BASE POUR LAPLACE 2D

- Notations. Construction
- Analyse du schéma VF4
- Implémentation
- Extensions de VF4

## ④ MÉTHODE DDFV EN 2D - CAS LINÉAIRE

- Les limitations de VF4
- Construction du schéma
- Analyse du schéma
- Implémentation
- Le schéma m-DDFV

## ⑤ MÉTHODE DDFV EN 2D - CAS NON LINÉAIRE

- Construction du schéma
- Analyse du schéma
- m-DDFV dans le cas non-linéaire
- Construction et analyse d'un solveur

## 6 QUELQUES GRANDES CLASSES DE MÉTHODES

- Présentation générale
- Schémas MPFA
- Schémas diamants
- Schémas VF monotones non-linéaires
- Schémas DDFV
- Schémas mimétiques
- Schémas VF mixtes
- Schémas SUCCES / SUSHI

## 7 COMPARAISONS : BENCHMARK FVCA 5

- Présentation
- Test 1 : Anisotropie modérée
- Test 3 : Ecoulement oblique
- Test 4 : Faille verticale
- Test 5 : Anisotropie tournante hétérogène
- Test 8 : Source ponctuelle
- Bilan

## 8 SCHÉMAS DDFV EN 3D

- Reconstruction de gradient en 3D
- L'approche de Coudière-Pierre et Andreianov & al.
- Le schéma de Hermeline
- L'approche Coudière-Hubert
- Implémentation
- Résultats théoriques
- Résultats numériques

## 1 INTRODUCTION

- Ecoulements complexes en milieux poreux
- Autres modèles
- Cahier des charges

## 2 SCHÉMA VOLUMES FINIS 1D

- Notations. Construction
- Analyse du schéma. Approche DF
- Analyse du schéma. Approche VF
- Implémentation en Scilab
- Extensions

## ÉCOULEMENT D'UN FLUIDE INCOMPRESSIBLE EN MILIEU POREUX

$\operatorname{div} v = 0$ , conservation de la masse,

$v = -\varphi(x, \nabla p)$ , loi constitutive pour la vitesse de filtration.

## ÉCOULEMENT D'UN FLUIDE INCOMPRESSIBLE EN MILIEU POREUX

$\operatorname{div} v = 0$ , conservation de la masse,

$v = -\varphi(x, \nabla p)$ , loi constitutive pour la vitesse de filtration.

## LOI DE DARCY

$$v = -K(x)\nabla p,$$

le tenseur  $K(x)$  est la perméabilité.

## ÉCOULEMENT D'UN FLUIDE INCOMPRESSIBLE EN MILIEU POREUX

$\operatorname{div} v = 0$ , conservation de la masse,

$v = -\varphi(x, \nabla p)$ , loi constitutive pour la vitesse de filtration.

## RÉGIMES NON LINÉAIRES

Dans certains cas, on doit considérer des effets non linéaires :

- **Loi de Darcy-Forchheimer** : En cas de forts gradients de pression

$$-\nabla p = \frac{1}{k}v + \beta|v|v, \iff v = \frac{-2k\nabla p}{1 + \sqrt{1 + 4\beta k^2 |\nabla p|}}.$$

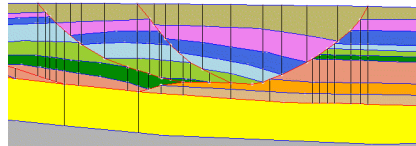
- **Loi de puissance** : Effets non-newtoniens

$$|v|^{n-1}v = -k\nabla p, \iff v = -|k\nabla p|^{\frac{1}{n}-1}(k\nabla p).$$

**Dans tous les cas, la loi  $\nabla p \mapsto v = -\varphi(x, \nabla p)$  est monotone**

## HÉTÉROGÉNÉITÉS, DISCONTINUITÉS, ANISOTROPIE

Exemple de structure souterraine



Chaque couleur représente un milieu poreux différent :

$$-\operatorname{div}(\varphi(x, \nabla p)) = f.$$

- $\varphi(x, \cdot)$  peut être linéaire pour certains matériaux.
- $\varphi(x, \cdot)$  peut être non linéaire pour d'autres.
- Certains matériaux sont très perméables, d'autres très imperméables.
- Fortes anisotropies dues à des directions privilégiées dans la structure des pores.

## CONDITIONS DE TRANSMISSION

- La pression est continue aux interfaces.
- Le flux de masse  $\varphi(x, \nabla p) \cdot \nu$  est continu aux interfaces.

## ÉCOULEMENTS MULTIPHASIQUES EN MILIEU POREUX

- Couplage non-linéaire d'une équation de Darcy avec un problème hyperbolique.
- En pratique on résout successivement via un schéma en temps :
  - 1) Un problème de Darcy dont la perméabilité est une fonction de la saturation.

$$-\operatorname{div}(K(u)\nabla p) = f,$$

- 2) Un problème hyperbolique non linéaire qui fait intervenir la vitesse de Darcy  $v = -K(u)\nabla p$  calculée précédemment.

$$\partial_t(\theta u) + \operatorname{div}(f(u)v) = 0.$$

- La première étape relève du problème étudié ici.
- On a besoin d'une bonne approximation des flux  $(v \cdot \boldsymbol{\nu})$  dans la seconde étape.

## ÉCOULEMENTS MULTIPHASIQUES EN MILIEU POREUX

- Couplage non-linéaire d'une équation de Darcy avec un problème hyperbolique.
- En pratique on résout successivement via un schéma en temps :
  - 1) Un problème de Darcy dont la perméabilité est une fonction de la saturation.

$$-\operatorname{div}(K(u)\nabla p) = f,$$

- 2) Un problème hyperbolique non linéaire qui fait intervenir la vitesse de Darcy  $v = -K(u)\nabla p$  calculée précédemment.

$$\partial_t(\theta u) + \operatorname{div}(f(u)v) = 0.$$

- La première étape relève du problème étudié ici.
- On a besoin d'une bonne approximation des flux  $(v \cdot \boldsymbol{\nu})$  dans la seconde étape.

## CONVECTION-DIFFUSION D'UN POLLUANT

$$\partial_t(\theta c) + \operatorname{div}(cv) - \operatorname{div}(D(c,v)\nabla c) = 0,$$

où  $D(c,v)$  est un tenseur de diffusion/dispersion et  $v$  la vitesse de Darcy.

## 1 INTRODUCTION

- Ecoulements complexes en milieux poreux
- Autres modèles
- Cahier des charges

## 2 SCHÉMA VOLUMES FINIS 1D

- Notations. Construction
- Analyse du schéma. Approche DF
- Analyse du schéma. Approche VF
- Implémentation en Scilab
- Extensions

## ELASTICITÉ

$$\begin{cases} \operatorname{div} \sigma = f, \\ \sigma = 2\mu(x)D(u) + \lambda(x)(\operatorname{div} u)\operatorname{Id} \end{cases}$$

## MODÈLE EN ÉLECTROCARDIOLOGIE

(Coudière–Pierre–Turpault '09)

$$\begin{cases} u = u_i - u_e, \\ C(\partial_t u + f(u)) = -\operatorname{div}(G_e \nabla u_e), \quad \text{dans le coeur}, \\ \operatorname{div}((G_i + G_e) \nabla u_e) = -\operatorname{div}(G_i \nabla u), \quad \text{dans le coeur}, \\ \operatorname{div}(G_T \nabla u_T) = 0, \quad \text{dans le thorax}, \\ (G_i \nabla u_e) \cdot \boldsymbol{\nu} = -(G_i \nabla u) \cdot \boldsymbol{\nu}, \quad \text{à l'interface coeur/thorax}, \\ (G_e \nabla u_e) \cdot \boldsymbol{\nu} = -(G_T \nabla u_T) \cdot \boldsymbol{\nu}, \quad \text{à l'interface coeur/thorax}. \end{cases}$$

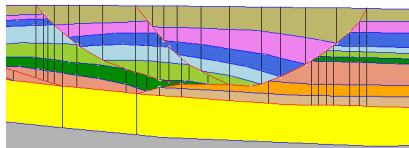
MAXWELL, STOKES, ...

## 1 INTRODUCTION

- Ecoulements complexes en milieux poreux
- Autres modèles
- Cahier des charges

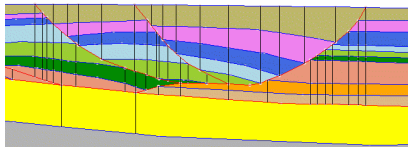
## 2 SCHÉMA VOLUMES FINIS 1D

- Notations. Construction
- Analyse du schéma. Approche DF
- Analyse du schéma. Approche VF
- Implémentation en Scilab
- Extensions



## PROPRIÉTÉS ATTENDUES DES SCHÉMAS

- Conservation locale de la masse et consistance des flux.
- Préservation des propriétés qualitatives des EDP (existence, unicité, monotonie, etc ...).
- Préservation des bornes physiques de la solution.
- Bonne précision, même sur des maillages grossiers et avec de fortes anisotropies et hétérogénéités.
- Implémentation “facile” et coût de calcul “raisonnable”.



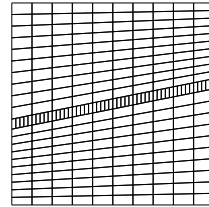
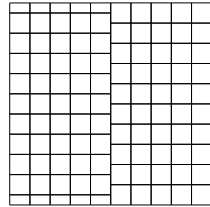
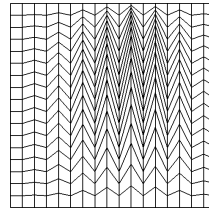
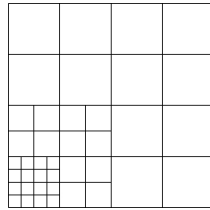
## PROPRIÉTÉS ATTENDUES DES SCHÉMAS

- Conservation locale de la masse et consistance des flux.
- Préservation des propriétés qualitatives des EDP (existence, unicité, monotonie, etc ...).
- Préservation des bornes physiques de la solution.
- Bonne précision, même sur des maillages grossiers et avec de fortes anisotropies et hétérogénéités.
- Implémentation “facile” et coût de calcul “raisonnable”.

## CONTRAINTE FAIBLE SUR LES MAILLAGES

- Maillages non conformes : grilles adaptées (ou pas !) à la géométrie du problème.
- Raffinement local.
- Cellules très déformées.
- Résultats honorables sur des maillages grossiers.

# EXEMPLES ACADEMIQUES DE MAILLAGES



## 1 INTRODUCTION

- Ecoulements complexes en milieux poreux
- Autres modèles
- Cahier des charges

## 2 SCHÉMA VOLUMES FINIS 1D

### • Notations. Construction

- Analyse du schéma. Approche DF
- Analyse du schéma. Approche VF
- Implémentation en Scilab
- Extensions

## LE PROBLÈME CONTINU

$$\begin{cases} -\partial_x(k(x)\partial_x u) = f(x), & \text{dans } ]0, 1[, \\ u(0) = u(1) = 0. \end{cases}$$

- $f$  est une fonction intégrable (disons continue ...).
- $k$  une fonction bornée,  $\inf k > 0$ .
- Dans un premier temps, on considérera  $k$  régulière.

# NOTATIONS

## LE PROBLÈME CONTINU

$$\begin{cases} -\partial_x(k(x)\partial_x u) = f(x), & \text{dans } ]0, 1[, \\ u(0) = u(1) = 0. \end{cases}$$

- $f$  est une fonction intégrable (disons continue ...).
- $k$  une fonction bornée,  $\inf k > 0$ .
- Dans un premier temps, on considérera  $k$  régulière.

## UN MAILLAGE VOLUMES FINIS $\mathcal{T}$ DE $]0, 1[$

- **Volumes de contrôle :** Des intervalles ouverts  $(\kappa_i)_{1 \leq i \leq N}$  qui recouvrent  $]0, 1[$

$$\kappa_i = ]x_{i-1/2}, x_{i+1/2}[,$$

$$0 = x_{1/2} < x_{3/2} < \dots < x_{i-1/2} < x_{i+1/2} < \dots < x_{N-1/2} < x_{N+1/2} = 1.$$

- **Centres :** Une famille de points  $x_i \in \kappa_i$ ,  $i = 1, \dots, N$ .
- **Bord :** Par commodité on pose aussi  $x_0 = 0$  et  $x_{N+1} = 1$ .
- On note  $h_i = |\kappa_i| = x_{i+1/2} - x_{i-1/2}$  la mesure de  $\kappa_i$ .
- On note  $h_{i+1/2} = x_{i+1} - x_i$  la distance entre les centres de deux voisins.

## PHILOSOPHIE VF CELLS-CENTERED

Un schéma VF cells-centered :

- met en jeu une seule inconnue  $u_i$  par volume de contrôle, *censée* approchée la valeur de la solution au centre  $x_i$ .
- consiste à écrire un bilan de flux sur chaque volume de contrôle.

## CALCUL POUR UNE SOLUTION RÉGULIÈRE

$$\int_{\kappa_i} \partial_x (-k \partial_x u) dx = \int_{\kappa_i} f(x) dx, \quad \forall i = 1, \dots, N.$$

## PHILOSOPHIE VF CELLS-CENTERED

Un schéma VF cells-centered :

- met en jeu une seule inconnue  $u_i$  par volume de contrôle, *censée* approchée la valeur de la solution au centre  $x_i$ .
- consiste à écrire un bilan de flux sur chaque volume de contrôle.

## CALCUL POUR UNE SOLUTION RÉGULIÈRE

$$\left[ -(k\partial_x u)(x_{i+1/2}) \right] - \left[ -(k\partial_x u)(x_{i-1/2}) \right] = \int_{\kappa_i} f(x) dx, \quad \forall i = 1, \dots, N.$$

## PHILOSOPHIE VF CELLS-CENTERED

Un schéma VF cells-centered :

- met en jeu une seule inconnue  $u_i$  par volume de contrôle, *censée* approchée la valeur de la solution au centre  $x_i$ .
- consiste à écrire un bilan de flux sur chaque volume de contrôle.

## CALCUL POUR UNE SOLUTION RÉGULIÈRE

$$\left[ -(k\partial_x u)(x_{i+1/2}) \right] - \left[ -(k\partial_x u)(x_{i-1/2}) \right] = \int_{\kappa_i} f(x) dx, \quad \forall i = 1, \dots, N.$$

## APPROXIMATION DU FLUX

$$-(k\partial_x u)(x_{i+1/2}) \approx -k(x_{i+1/2}) \frac{u(x_{i+1}) - u(x_i)}{h_{i+1/2}}.$$

## PHILOSOPHIE VF CELLS-CENTERED

Un schéma VF cells-centered :

- met en jeu une seule inconnue  $u_i$  par volume de contrôle, *censée* approchée la valeur de la solution au centre  $x_i$ .
- consiste à écrire un bilan de flux sur chaque volume de contrôle.

## CALCUL POUR UNE SOLUTION RÉGULIÈRE

$$\left[ -k(x_{i+1/2}) \frac{u(x_{i+1}) - u(x_i)}{h_{i+1/2}} \right] - \left[ -k(x_{i-1/2}) \frac{u(x_i) - u(x_{i-1})}{h_{i-1/2}} \right] \approx \int_{\kappa_i} f(x) dx = h_i f_i,$$

où  $f_i$  est la moyenne de  $f$  sur  $\kappa_i$ .

## LE SCHÉMA VF - VERSION 1

On cherche  $u^\tau = (u_i)_{1 \leq i \leq N} \in \mathbb{R}^{\mathcal{T}}$  vérifiant

$$-k_{i+1/2} \frac{u_{i+1} - u_i}{h_{i+1/2}} + k_{i-1/2} \frac{u_i - u_{i-1}}{h_{i-1/2}} = h_i f_i, \quad \forall i \in \{1, \dots, N\},$$

avec  $u_0 = u_{N+1} = 0$  (**CL de Dirichlet homogène**).

## LE SCHÉMA VF - VERSION 1

On cherche  $u^\tau = (u_i)_{1 \leq i \leq N} \in \mathbb{R}^{\mathcal{T}}$  vérifiant

$$-k_{i+1/2} \frac{u_{i+1} - u_i}{h_{i+1/2}} + k_{i-1/2} \frac{u_i - u_{i-1}}{h_{i-1/2}} = h_i f_i, \quad \forall i \in \{1, \dots, N\},$$

avec  $u_0 = u_{N+1} = 0$  (**CL de Dirichlet homogène**).

## LE SCHÉMA VF - VERSION 2

On cherche  $u^\tau = (u_i)_{1 \leq i \leq N} \in \mathbb{R}^{\mathcal{T}}$  vérifiant

$$F_{i+1/2}(u^\tau) - F_{i-1/2}(u^\tau) = h_i f_i, \quad \forall i \in \{1, \dots, N\},$$

avec

$$F_{i+1/2}(u^\tau) = -k_{i+1/2} \frac{u_{i+1} - u_i}{h_{i+1/2}}, \quad i = 1, \dots, N-1,$$

$$F_{1/2}(u^\tau) = -k_{1/2} \frac{u_1}{h_{1/2}}, \quad F_{N+1/2}(u^\tau) = k_{N+1/2} \frac{u_N}{h_{N+1/2}}.$$

## 1 INTRODUCTION

- Ecoulements complexes en milieux poreux
- Autres modèles
- Cahier des charges

## 2 SCHÉMA VOLUMES FINIS 1D

- Notations. Construction
- Analyse du schéma. Approche DF
- Analyse du schéma. Approche VF
- Implémentation en Scilab
- Extensions

Le schéma se met sous la forme matricielle  $Au^\tau = B$  avec

$$u^\tau = (u_i)_{1 \leq i \leq N}, \quad B = (h_i f_i)_{1 \leq i \leq N},$$

et  $A$  **tridiagonale** donnée par

$$a_{i,i} = \frac{k_{i+1/2}}{h_{i+1/2}} + \frac{k_{i-1/2}}{h_{i-1/2}}, \quad a_{i,i+1} = -\frac{k_{i+1/2}}{h_{i+1/2}}, \quad a_{i,i-1} = -\frac{k_{i-1/2}}{h_{i-1/2}}.$$

Le schéma se met sous la forme matricielle  $Au^\tau = B$  avec

$$u^\tau = (u_i)_{1 \leq i \leq N}, \quad B = (h_i f_i)_{1 \leq i \leq N},$$

et  $A$  **tridiagonale** donnée par

$$a_{i,i} = \frac{k_{i+1/2}}{h_{i+1/2}} + \frac{k_{i-1/2}}{h_{i-1/2}}, \quad a_{i,i+1} = -\frac{k_{i+1/2}}{h_{i+1/2}}, \quad a_{i,i-1} = -\frac{k_{i-1/2}}{h_{i-1/2}}.$$

- A est toujours **symétrique définie positive** :

$$\begin{aligned} (Au^\tau, v^\tau) &= \sum_{i=1}^N (F_{i+1/2}(u^\tau) - F_{i-1/2}(u^\tau)) v_i \\ &= -F_{1/2}(u^\tau) v_1 + F_{N+1/2}(u^\tau) v_N + \sum_{i=1}^{N-1} F_{i+1/2}(u^\tau) (v_i - v_{i+1}) \\ &= -\sum_{i=0}^N F_{i+1/2}(u^\tau) (v_{i+1} - v_i) = \sum_{i=0}^N k_{i+1/2} \frac{u_{i+1} - u_i}{h_{i+1/2}} (v_{i+1} - v_i) \\ &= \sum_{i=0}^N h_{i+1/2} k_{i+1/2} \left( \frac{u_{i+1} - u_i}{h_{i+1/2}} \right) \left( \frac{v_{i+1} - v_i}{h_{i+1/2}} \right) \end{aligned}$$

# PREMIERS ÉLÉMENTS D'ANALYSE

Le schéma se met sous la forme matricielle  $Au^\tau = B$  avec

$$u^\tau = (u_i)_{1 \leq i \leq N}, \quad B = (h_i f_i)_{1 \leq i \leq N},$$

et  $A$  **tridiagonale** donnée par

$$a_{i,i} = \frac{k_{i+1/2}}{h_{i+1/2}} + \frac{k_{i-1/2}}{h_{i-1/2}}, \quad a_{i,i+1} = -\frac{k_{i+1/2}}{h_{i+1/2}}, \quad a_{i,i-1} = -\frac{k_{i-1/2}}{h_{i-1/2}}.$$

## FORMULATION “VARIATIONNELLE” DU SCHÉMA VF

Trouver  $u^\tau \in \mathbb{R}^{\mathcal{T}}$  tel que

$$\forall v^\tau \in \mathbb{R}^{\mathcal{T}}, \underbrace{\sum_{i=0}^N h_{i+1/2} k_{i+1/2} \left( \frac{u_{i+1} - u_i}{h_{i+1/2}} \right) \left( \frac{v_{i+1} - v_i}{h_{i+1/2}} \right)}_{\begin{array}{c} \text{somme sur les interfaces} \\ \approx \int_0^1 k \partial_x u \partial_x v dx \end{array}} = \underbrace{\sum_{i=1}^N h_i f_i v_i}_{\begin{array}{c} \text{somme sur les volumes} \\ \approx \int_0^1 f v dx \end{array}}.$$

- La mise en oeuvre des schémas VF se fait **par interfaces/arêtes**.
- La forme variationnelle est très utile dans l'analyse.

Soit  $u^\tau$  solution de

$$Au^\tau = (h_i f_i)_{1 \leq i \leq N}.$$

### THÉORÈME (PRINCIPE DU MAXIMUM DISCRET)

$$\left( f_i \geq 0, \forall i \right) \implies \left( u_i \geq 0, \forall i \right).$$

▶ Preuve du principe du maximum 1D

Soit  $u^\tau$  solution de

$$Au^\tau = (h_i f_i)_{1 \leq i \leq N}.$$

### THÉORÈME (PRINCIPE DU MAXIMUM DISCRET)

$$\left( f_i \geq 0, \forall i \right) \implies \left( u_i \geq 0, \forall i \right).$$

▶ Preuve du principe du maximum 1D

### THÉORÈME (STABILITÉ $L^\infty$ )

Il existe  $C > 0$  ne dépendant que de  $k$  telle que

$$\|u^\tau\|_\infty \leq C \|f\|_\infty.$$

▶ Preuve de la stabilité  $L^\infty$  1D

## LEMME (INÉGALITÉ DE POINCARÉ DISCRÈTE)

Pour tout  $u^\tau \in \mathbb{R}^\tau$ , on a

$$\|u^\tau\|_2 \stackrel{\text{def}}{=} \left( \sum_{i=1}^N h_i |u_i|^2 \right)^{\frac{1}{2}} \leq \|u^\tau\|_\infty \leq \underbrace{\left( \sum_{i=0}^N h_{i+1/2} \left| \frac{u_{i+1} - u_i}{h_{i+1/2}} \right|^2 \right)^{\frac{1}{2}}}_{\text{norme } H^1 \text{ discrète}}.$$

PREUVE : Somme télescopique + Cauchy-Schwarz

## LEMME (INÉGALITÉ DE POINCARÉ DISCRÈTE)

Pour tout  $u^\tau \in \mathbb{R}^\tau$ , on a

$$\|u^\tau\|_2 \stackrel{\text{def}}{=} \left( \sum_{i=1}^N h_i |u_i|^2 \right)^{\frac{1}{2}} \leq \|u^\tau\|_\infty \leq \underbrace{\left( \sum_{i=0}^N h_{i+1/2} \left| \frac{u_{i+1} - u_i}{h_{i+1/2}} \right|^2 \right)^{\frac{1}{2}}}_{\text{norme } H^1 \text{ discrète}}.$$

**PREUVE :** Somme télescopique + Cauchy-Schwarz

THÉORÈME (STABILITÉ  $L^2$ )

Si  $u^\tau \in \mathbb{R}^N$  est solution de  $Au^\tau = (h_i f_i)_{1 \leq i \leq N}$ , on a l'estimation

$$\|u^\tau\|_2 \leq \frac{\|f\|_2}{\inf k}.$$

En réalité, on a beaucoup mieux : une borne  $H^1$  discrète.

# COMPARAISON AVEC LES DIFFÉRENCES FINIES

PREMIER CAS : MAILLAGE UNIFORME

On se place dans le cas  $k \equiv 1$ , i.e.  $-\partial_x^2 u = f$ .

On considère un maillage uniforme et on prend  $x_i = \frac{x_{i-1/2} + x_{i+1/2}}{2}$ .

- A l'intérieur du domaine :

$$VF \Leftrightarrow DF \Leftrightarrow \frac{-u_{i+1} + 2u_i - u_{i-1}}{h^2} = f_i,$$

les schémas sont identiques (modulo le second membre).

# COMPARAISON AVEC LES DIFFÉRENCES FINIES

PREMIER CAS : MAILLAGE UNIFORME

On se place dans le cas  $k \equiv 1$ , i.e.  $-\partial_x^2 u = f$ .

On considère un maillage uniforme et on prend  $x_i = \frac{x_{i-1/2} + x_{i+1/2}}{2}$ .

- A l'intérieur du domaine :

$$VF \Leftrightarrow DF \Leftrightarrow \frac{-u_{i+1} + 2u_i - u_{i-1}}{h^2} = f_i,$$

les schémas sont identiques (modulo le second membre).

- Sur le bord :

$$VF \Leftrightarrow \frac{u_2 - u_1}{h} - \frac{u_1 - 0}{h/2} = \textcolor{red}{h} f_1.$$

$$DF \Leftrightarrow \frac{\frac{u_2 - u_1}{h} - \frac{u_1 - 0}{h/2}}{3h/4} = f_1.$$

Les deux schémas ne sont pas identiques !

# COMPARAISON AVEC LES DIFFÉRENCES FINIES

DEUXIÈME CAS : MAILLAGE GÉNÉRAL 1/2

Le schéma VF s'écrit (à l'intérieur du domaine)

$$-\frac{\frac{u_{i+1}-u_i}{h_{i+1/2}} - \frac{u_i-u_{i-1}}{h_{i-1/2}}}{h_i} = f_i.$$

LE SCHÉMA EST-IL CONSISTANT AU SENS USUEL ?

# COMPARAISON AVEC LES DIFFÉRENCES FINIES

DEUXIÈME CAS : MAILLAGE GÉNÉRAL 1/2

Le schéma VF s'écrit (à l'intérieur du domaine)

$$-\frac{\frac{u_{i+1}-u_i}{h_{i+1/2}} - \frac{u_i-u_{i-1}}{h_{i-1/2}}}{h_i} = f_i.$$

LE SCHÉMA EST-IL CONSISTANT AU SENS USUEL ? Soit  $u \in \mathcal{C}^2$

$$\begin{aligned}\partial_x^2 u(x_i) - \frac{\frac{u(x_{i+1})-u(x_i)}{h_{i+1/2}} - \frac{u(x_i)-u(x_{i-1})}{h_{i-1/2}}}{h_i} \\ = \underbrace{\left(1 - \frac{h_{i-1/2} + h_{i+1/2}}{2h_i}\right)}_{=r_i} \partial_x^2 u(x_i) + O(h)\end{aligned}$$

Exemple :  $h_{2i} = h$ ,  $h_{2i+1} = h/2$ ,  $x_i = (x_{i+1/2} + x_{i-1/2})/2$ , il vient

$$r_{2i} = 1/4, \quad r_{2i+1} = -1/2.$$

Le schéma VF n'est pas consistant au sens des DF

... et pourtant le schéma est  $L^\infty$  stable ...

... et il converge !

# COMPARAISON AVEC LES DIFFÉRENCES FINIES

DEUXIÈME CAS : MAILLAGE GÉNÉRAL 2/2

Le schéma VF s'écrit (à l'intérieur du domaine)

$$-\frac{\frac{u_{i+1}-u_i}{h_{i+1/2}} - \frac{u_i-u_{i-1}}{h_{i-1/2}}}{h_i} = f_i.$$

## UNE NOUVELLE PROPRIÉTÉ DE CONSISTANCE

Soit  $u \in \mathcal{C}^3$ . On pose

$$\bar{u}_i = u(x_i) + \frac{h_i^2}{8} \partial_x^2 u(x_i) = u(x_i) + O(h^2).$$

$$\partial_x^2 u(x_i) - \frac{\frac{\bar{u}_{i+1}-\bar{u}_i}{h_{i+1/2}} - \frac{\bar{u}_i-\bar{u}_{i-1}}{h_{i-1/2}}}{h_i} = O(h)!!$$

⇒ Ceci démontre (de façon pas très naturelle) la convergence à l'ordre 1 du schéma en norme infinie.

$$\boxed{\sup_i |u(x_i) - u_i| \leq \sup_i |u(x_i) - \bar{u}_i| + \sup_i |\bar{u}_i - u_i| \leq Ch.}$$

## 1 INTRODUCTION

- Ecoulements complexes en milieux poreux
- Autres modèles
- Cahier des charges

## 2 SCHÉMA VOLUMES FINIS 1D

- Notations. Construction
- Analyse du schéma. Approche DF
- Analyse du schéma. Approche VF**
- Implémentation en Scilab
- Extensions

# RÉSUMÉ DES DIFFÉRENCES VF / DF

- La notion de **flux** est centrale en Volumes finis et elle a disparu de l'analyse précédente.
  - La notion de consistance au sens des DF n'est pas adaptée pour les VF.
  - La preuve de convergence précédente n'est pas naturelle (et ne se généralise pas bien !).
- ↝ Nécessité de développer d'autres techniques de preuves.

# CONSISTANCE DES FLUX

RAPPEL DU SCHÉMA :

$$F_{i+1/2}(u^\tau) - F_{i-1/2}(u^\tau) = h_i f_i, \quad \forall i \in \{1, \dots, N\},$$

$$F_{i+1/2}(u^\tau) = -k_{i+1/2} \frac{u_{i+1} - u_i}{h_{i+1/2}}, \quad 0 = 1, \dots, N.$$

# CONSISTANCE DES FLUX

RAPPEL DU SCHÉMA :

$$F_{i+1/2}(u^\tau) - F_{i-1/2}(u^\tau) = h_i f_i, \quad \forall i \in \{1, \dots, N\},$$

$$F_{i+1/2}(u^\tau) = -k_{i+1/2} \frac{u_{i+1} - u_i}{h_{i+1/2}}, \quad 0 = 1, \dots, N.$$

LA SOLUTION EXACTE VÉRIFIE :

$$\bar{F}_{i+1/2}(u) - \bar{F}_{i-1/2}(u) = h_i f_i, \quad \forall i \in \{1, \dots, N\},$$

avec le **flux exact** défini par

$$\bar{F}_{i+1/2}(u) = -k_{i+1/2}(\partial_x u)(x_{i+1/2}).$$

# CONSISTANCE DES FLUX

RAPPEL DU SCHÉMA :

$$F_{i+1/2}(u^\tau) - F_{i-1/2}(u^\tau) = h_i f_i, \quad \forall i \in \{1, \dots, N\},$$

$$F_{i+1/2}(u^\tau) = -k_{i+1/2} \frac{u_{i+1} - u_i}{h_{i+1/2}}, \quad 0 = 1, \dots, N.$$

LA SOLUTION EXACTE VÉRIFIE :

$$\bar{F}_{i+1/2}(u) - \bar{F}_{i-1/2}(u) = h_i f_i, \quad \forall i \in \{1, \dots, N\},$$

avec le **flux exact** défini par

$$\bar{F}_{i+1/2}(u) = -k_{i+1/2}(\partial_x u)(x_{i+1/2}).$$

PROJECTION DE LA SOLUTION EXACTE SUR  $\mathcal{T}$  :

$$\mathbb{P}^\tau u = (u(x_i))_{1 \leq i \leq N} \in \mathbb{R}^\tau.$$

L'ERREUR DE CONSISTANCE SUR LES FLUX

$$R_{i+1/2}(u) \stackrel{\text{def}}{=} \underbrace{\left( -k_{i+1/2} \frac{u(x_{i+1}) - u(x_i)}{h_{i+1/2}} \right)}_{= F_{i+1/2}(\mathbb{P}^\tau u)} - \underbrace{\left( -k_{i+1/2}(\partial_x u)(x_{i+1/2}) \right)}_{= \bar{F}_{i+1/2}(u)}.$$

On définit l'erreur  $e^\tau = u^\tau - \mathbb{P}^\tau u$ .

### RAPPEL

$$F_{i+1/2}(u^\tau) - F_{i-1/2}(u^\tau) = h_i f_i, \quad \forall i \in \{1, \dots, N\}, \quad (1)$$

$$\bar{F}_{i+1/2}(u) - \bar{F}_{i-1/2}(u) = h_i f_i, \quad \forall i \in \{1, \dots, N\}, \quad (2)$$

$$R_{i+1/2}(u) = F_{i+1/2}(\mathbb{P}^\tau u) - \bar{F}_{i+1/2}(u), \quad \forall i \in \{0, \dots, N\}. \quad (3)$$

On définit l'erreur  $e^\tau = u^\tau - \mathbb{P}^\tau u$ .

### RAPPEL

$$F_{i+1/2}(u^\tau) - F_{i-1/2}(u^\tau) = h_i f_i, \quad \forall i \in \{1, \dots, N\}, \quad (1)$$

$$\bar{F}_{i+1/2}(u) - \bar{F}_{i-1/2}(u) = h_i f_i, \quad \forall i \in \{1, \dots, N\}, \quad (2)$$

$$R_{i+1/2}(u) = F_{i+1/2}(\mathbb{P}^\tau u) - \bar{F}_{i+1/2}(u), \quad \forall i \in \{0, \dots, N\}. \quad (3)$$

### LE CALCUL VF

- On soustrait (1) et (2), en utilisant (3)

$$F_{i+1/2}(u^\tau - \mathbb{P}^\tau u) - F_{i-1/2}(u^\tau - \mathbb{P}^\tau u) = -R_{i+1/2}(u) + R_{i-1/2}(u).$$

On définit l'erreur  $e^\tau = u^\tau - \mathbb{P}^\tau u$ .

### RAPPEL

$$F_{i+1/2}(u^\tau) - F_{i-1/2}(u^\tau) = h_i f_i, \quad \forall i \in \{1, \dots, N\}, \quad (1)$$

$$\bar{F}_{i+1/2}(u) - \bar{F}_{i-1/2}(u) = h_i f_i, \quad \forall i \in \{1, \dots, N\}, \quad (2)$$

$$R_{i+1/2}(u) = F_{i+1/2}(\mathbb{P}^\tau u) - \bar{F}_{i+1/2}(u), \quad \forall i \in \{0, \dots, N\}. \quad (3)$$

### LE CALCUL VF

- On soustrait (1) et (2), en utilisant (3)

$$F_{i+1/2}(u^\tau - \mathbb{P}^\tau u) - F_{i-1/2}(u^\tau - \mathbb{P}^\tau u) = -R_{i+1/2}(u) + R_{i-1/2}(u).$$

- On multiplie les équations par  $e_i$  et on somme

$$\sum_{i=0}^N h_{i+1/2} k_{i+1/2} \left( \frac{e_{i+1} - e_i}{h_{i+1/2}} \right)^2 = - \sum_{i=0}^N h_{i+1/2} R_{i+1/2}(u) \left( \frac{e_{i+1} - e_i}{h_{i+1/2}} \right).$$

On définit l'erreur  $e^\tau = u^\tau - \mathbb{P}^\tau u$ .

### RAPPEL

$$F_{i+1/2}(u^\tau) - F_{i-1/2}(u^\tau) = h_i f_i, \quad \forall i \in \{1, \dots, N\}, \quad (1)$$

$$\bar{F}_{i+1/2}(u) - \bar{F}_{i-1/2}(u) = h_i f_i, \quad \forall i \in \{1, \dots, N\}, \quad (2)$$

$$R_{i+1/2}(u) = F_{i+1/2}(\mathbb{P}^\tau u) - \bar{F}_{i+1/2}(u), \quad \forall i \in \{0, \dots, N\}. \quad (3)$$

### LE CALCUL VF

- On soustrait (1) et (2), en utilisant (3)

$$F_{i+1/2}(u^\tau - \mathbb{P}^\tau u) - F_{i-1/2}(u^\tau - \mathbb{P}^\tau u) = -R_{i+1/2}(u) + R_{i-1/2}(u).$$

- On multiplie les équations par  $e_i$  et on somme

$$\sum_{i=0}^N h_{i+1/2} k_{i+1/2} \left( \frac{e_{i+1} - e_i}{h_{i+1/2}} \right)^2 = - \sum_{i=0}^N h_{i+1/2} R_{i+1/2}(u) \left( \frac{e_{i+1} - e_i}{h_{i+1/2}} \right).$$

- On utilise Cauchy-Schwarz

$$\|e^\tau\|_\infty \leq \left( \sum_{i=0}^N h_{i+1/2} \left( \frac{e_{i+1} - e_i}{h_{i+1/2}} \right)^2 \right)^{\frac{1}{2}} \leq \frac{1}{C} \left( \sum_{i=0}^N h_{i+1/2} |R_{i+1/2}(u)|^2 \right)^{\frac{1}{2}}$$

IL RESTE À ESTIMER LES  $R_{i+1/2}(u)$

Si la solution  $u$  est  $\mathcal{C}^2$ , la formule de Taylor donne

$$\begin{aligned}|R_{i+1/2}(u)| &= \left| \left( -k_{i+1/2} \frac{u(x_{i+1}) - u(x_i)}{h_{i+1/2}} \right) - \left( -k_{i+1/2} (\partial_x u)(x_{i+1/2}) \right) \right| \\ &\leq \|k\|_\infty \|\partial_x^2 u\|_\infty \text{size}(\mathcal{T}).\end{aligned}$$

Il vient

$$\sup_i |u_i - u(x_i)| = \|e^\tau\|_\infty \leq \|k\|_\infty \|\partial_x^2 u\|_\infty h$$

IL RESTE À ESTIMER LES  $R_{i+1/2}(u)$

Si la solution  $u$  est  $\mathcal{C}^2$ , la formule de Taylor donne

$$\begin{aligned}|R_{i+1/2}(u)| &= \left| \left( -k_{i+1/2} \frac{u(x_{i+1}) - u(x_i)}{h_{i+1/2}} \right) - \left( -k_{i+1/2} (\partial_x u)(x_{i+1/2}) \right) \right| \\ &\leq \|k\|_\infty \|\partial_x^2 u\|_\infty \text{size}(\mathcal{T}).\end{aligned}$$

Il vient

$$\sup_i |u_i - u(x_i)| = \|e^\tau\|_\infty \leq \|k\|_\infty \|\partial_x^2 u\|_\infty h$$

REMARQUES :

- Si on a  $x_{i+1/2} = \frac{x_i + x_{i+1}}{2}$ , alors le schéma est d'ordre 2 (sauf au bord!).

En général, **cela n'est pas vrai**, on a plutôt

$$x_i = \frac{x_{i-1/2} + x_{i+1/2}}{2}.$$

- Si d'aventure, il existe **UNE** interface telle que  $R_{i_0+1}(u) = O(1)$ , alors le schéma est seulement d'ordre 1/2.

## 1 INTRODUCTION

- Ecoulements complexes en milieux poreux
- Autres modèles
- Cahier des charges

## 2 SCHÉMA VOLUMES FINIS 1D

- Notations. Construction
- Analyse du schéma. Approche DF
- Analyse du schéma. Approche VF
- Implémentation en Scilab**
- Extensions

Code en Scilab à vocation pédagogique

(B. - Krell) :

[http://www.cmi.univ-mrs.fr/~fboyer/publications/VF\\_scilab.tar.gz](http://www.cmi.univ-mrs.fr/~fboyer/publications/VF_scilab.tar.gz)

On se place dans le sous-répertoire : 1D

- 3 librairies de fonctions :

- donnees1D.sci

Différents jeux de données

- maillages1D.sci

Création de maillages, calculs de normes discrètes

- schemas1D.sci

Fonctions d'assemblage des schémas

- 2 programmes principaux :

- VF1D.sce

Calcul et tracé des solutions approchées/exactes

- courbes\_erreur1D.sce

Tracé de courbes d'erreurs

## JEUX DE DONNÉES

- Un jeu de données `donnees` est une **structure** qui contient
  - `donnees.nom` : le nom du cas test.
  - `donnees.source` : le terme source (une fonction  $\mathbb{R} \rightarrow \mathbb{R}$ ).
  - `donnees.bordD` : les données au bord (une fonction  $\mathbb{R} \rightarrow \mathbb{R}$ ).
  - `donnees.uxacte` : la solution exacte (une fonction  $\mathbb{R} \rightarrow \mathbb{R}$ ).
  - `donnees.coeff_k` : le coeff de diffusion (une fonction  $\mathbb{R} \rightarrow \mathbb{R}$ ).
- Certains contiennent d'autres informations...

## JEUX DE DONNÉES

- Un jeu de données `donnees` est une **structure** qui contient
  - `donnees.nom` : le nom du cas test.
  - `donnees.source` : le terme source (une fonction  $\mathbb{R} \rightarrow \mathbb{R}$ ).
  - `donnees.bordD` : les données au bord (une fonction  $\mathbb{R} \rightarrow \mathbb{R}$ ).
  - `donnees.uxacte` : la solution exacte (une fonction  $\mathbb{R} \rightarrow \mathbb{R}$ ).
  - `donnees.coeff_k` : le coeff de diffusion (une fonction  $\mathbb{R} \rightarrow \mathbb{R}$ ).
- Certains contiennent d'autres informations...
- Liste de jeux de données : `cas_test=list(...,...,...)`  
Pour tout entier `i` convenable `cas_test(i)` est un jeu de données.
- Pour rajouter un jeu de données :

```
cas_test($+1)=struct("nom",xxxx,...  
                      "uxacte",xxxx,...  
                      "bordD",xxxx,...  
                      "source",xxxx,...  
                      "coeff_k",xxxx);
```

## MAILLAGES :

- Forme générique des fonctions de création

```
function [maillage] = maillage_xxxx(N);
```

Avec : xxxx ∈ {uniforme , alterne , aleatoire , stretch}

## MAILLAGES :

- Forme générique des fonctions de création

```
function [maillage] = maillage_xxxx(N);
```

Avec : **xxxx** ∈ {uniforme , alterne , aleatoire , stretch}

- Chacune renvoie une structure **maillage** contenant

- **maillage.nom** : le nom du maillage.
- **maillage.nb\_vol** : le nombre de volumes de contrôle.
- **maillage.centres** : coordonnées des centres

$$\text{maillage.centres}(i) = x_i, \quad 1 \leq i \leq \text{maillage.nb\_vol}$$

- **maillage.sommets** : coordonnées des sommets

$$\text{maillage.sommets}(i) = x_{i-1/2}, \quad 1 \leq i \leq \text{maillage.nb\_vol}+1$$

- **maillage.mes** : mesures des volumes de contrôles

$$\text{maillage.mes}(i) = h_i, \quad 1 \leq i \leq \text{maillage.nb\_vol}$$

- **maillage.dist** : distances entre centres voisins

$$\text{maillage.dist}(i) = h_{i-1/2}, \quad 1 \leq i \leq \text{maillage.nb\_vol}+1$$

## EXEMPLES D'UTILISATION

On suppose `donnees` et `maillage` connus

- Evaluation du terme source au centre des mailles

```
source_centres=feval(maillage.centres,donnees.source);
```

## EXEMPLES D'UTILISATION

On suppose **donnees** et **maillage** connus

- Evaluation du terme source au centre des mailles

```
source_centres=feval(maillage.centres,donnees.source);
```

- Evaluation du coefficient de diffusion aux interfaces

```
ck=feval(maillage.sommets,donnees.coeff_k);
```

## EXEMPLES D'UTILISATION

On suppose `donnees` et `maillage` connus

- Evaluation du terme source au centre des mailles

```
source_centres=feval(maillage.centres,donnees.source);
```

- Evaluation du coefficient de diffusion aux interfaces

```
ck=feval(maillage.sommets,donnees.coeff_k);
```

- Evaluation de la solution exacte au centre des mailles, si elle est fournie

```
if (isfield(donnees,'uexacte')) then  
    solexacte=feval(maillage.centres,donnees.uexacte);  
end;
```

## FONCTIONS D'ASSEMBLAGE DES SCHÉMAS

- Syntaxe générale : `[A,b]=vf_xxxx(m,donnees)`
  - Entrée : `m` est un maillage et `donnees` un jeu de données.
  - Sortie : `A` est la matrice du système et `b` le second membre.
- Sont codées pour l'instant :
  - `xxxx=laplacien_dirh` :

$$-u'' = f, \text{ avec } u(0) = u(1) = 0.$$

- `xxxx=laplacien_dirnh` :

$$-u'' = f, \text{ avec } \begin{cases} u(0) = \text{bordD}(0) \\ u(1) = \text{bordD}(1) \end{cases}$$

- `xxxx=diffusion_dirnh` :

$$-\partial_x(k(x)\partial_x u) = f, \text{ avec } \begin{cases} u(0) = \text{bordD}(0) \\ u(1) = \text{bordD}(1) \end{cases}$$

- `xxxx=diffusion_neunh` :

$$-\partial_x(k(x)\partial_x u) = f, \text{ avec } \begin{cases} -k(0)u'(0) = \text{bordN}(0) \\ k(1)u'(1) = \text{bordN}(1) \end{cases}$$

## STRUCTURE DU PROGRAMME VF1D.sce

- Chargement des libraires de fonctions.
- Interrogation utilisateur :
  - Choix du cas test
  - Choix du problème à résoudre et de variantes du schémas.
  - Choix du maillage
  - Choix du nombre de volumes de contrôle
- Assemblage du schéma
- Résolution du système linéaire (par UMFPACK si Scilab $\geq$ 5.2)
- Tracé de la solution approchée (et exacte si disponible) et évaluation de l'erreur.

## STRUCTURE DU PROGRAMME `courbes_erreur1D.sce`

- Chargement des libraires de fonctions.
- Interrogation utilisateur :
  - Choix du cas test
  - Choix du problème à résoudre et de variantes du schémas.
  - Choix du maillage
  - Choix du nombre de volumes de contrôle du maillage grossier.
  - Choix de l'incrément du nombre de volumes de contrôle d'un maillage à l'autre.
  - Choix du nombre de volumes de contrôle maximal souhaité.
- Pour chaque taille de maillage :
  - Assemblage du schéma
  - Résolution du système linéaire (par UMFPACK si `Scilab>=5.2`)
  - Evaluation et stockage de l'erreur dans différentes normes.
- Tracé des courbes d'erreur en fonction du pas du maillage en échelle logarithmique.

## RÉSOLUTION DU LAPLACIEN DIRICHLET HOMOGÈNE

Extrait de la fonction [A,b]=vf\_laplacien\_dirh(m,donnees)

## Implémentation “différences finies”

```
for i=2:m.nb_vol-1
    A(i,i) = 1/m.dist(i) + 1/m.dist(i+1);
    A(i,i-1) = - 1/m.dist(i);
    A(i,i+1) = - 1/m.dist(i+1);
end

A(1,1) = 1/m.dist(1) + 1/m.dist(2);
A(1,2) = - 1/m.dist(2);
A(m.nb_vol,m.nb_vol) = 1/m.dist(m.nb_vol+1) ...
                        + 1/m.dist(m.nb_vol);
A(m.nb_vol,m.nb_vol-1)= - 1/m.dist(m.nb_vol);

b=feval(m.centres,donnees.source).*m.mes;
```

⇒ Assemblage direct de la matrice.

## RÉSOLUTION DU LAPLACIEN DIRICHLET HOMOGÈNE

Extrait de la fonction `[A,b]=vf_laplacien_dirh(m,donnees)`

## Implémentation “volumes finis”

```

for i=2:m.nb_vol
    tau = 1/m.dist(i);

    A(i-1,i-1) = A(i-1,i-1) + tau;
    A(i,i)      = A(i,i)      + tau;
    A(i-1,i)    = A(i-1,i)    - tau;
    A(i,i-1)    = A(i,i-1)    - tau;
end

A(1,1) = A(1,1) + 1/m.dist(1);
A(m.nb_vol,m.nb_vol) = A(m.nb_vol,m.nb_vol)
                      + 1/m.dist(1+m.nb_vol);

b=feval(m.centres,donnees.source).*m.mes;

```

⇒ Assemblage par parcours des interfaces/arêtes.

**Remarque :** le second membre peut aussi être construit par arêtes ! 41 / 237

## RÉSOLUTION DU PB DE DIFFUSION AVEC DONNÉE AU BORD

Extrait de la fonction [A,b]=vf\_diffusion\_dirnh(m,donnees)

## Implémentation “volumes finis”

```
ck=calcul_coeff_k_interf(m,donnees);

for i=2:m.nb_vol
    tau = ck(i)/m.dist(i);

    A(i-1,i-1) = A(i-1,i-1) + tau;
    A(i,i)      = A(i,i)      + tau;
    A(i-1,i)    = A(i-1,i)    - tau;
    A(i,i-1)    = A(i,i-1)    - tau;
end

A(1,1) = A(1,1) + ck(1)/m.dist(1);
A(m.nb_vol,m.nb_vol) = A(m.nb_vol,m.nb_vol) + ck(1)/m.dist(1+m.nb_vol);

b=feval(m.centres,donnees.source).*m.mes;
b(1) = b(1) + ck(1)/m.dist(1)*dir_g;
b(m.nb_vol) = b(m.nb_vol) + ck(m.nb_vol+1)/m.dist(m.nb_vol+1)*dir_d;
```

## 1 INTRODUCTION

- Ecoulements complexes en milieux poreux
- Autres modèles
- Cahier des charges

## 2 SCHÉMA VOLUMES FINIS 1D

- Notations. Construction
- Analyse du schéma. Approche DF
- Analyse du schéma. Approche VF
- Implémentation en Scilab
- Extensions

On ne suppose plus la fonction  $k$  régulière.

**Hypothèse :**  $k$  constante sur chaque volume de contrôle.

On ne suppose plus la fonction  $k$  régulière.

**Hypothèse :**  $k$  constante sur chaque volume de contrôle.

### LES PROBLÈMES À RÉSOUDRE

- Le coefficient  $k_{i+1/2} = k(x_{i+1/2})$  n'est pas bien défini.
- La solution  $u$  ne peut pas être  $\mathcal{C}^2$  ! Si  $f$  est  $\mathcal{C}^0$ , on a seulement

$$k(\partial_x u) \in \mathcal{C}^1.$$

- C'est donc le flux total qui est bien défini en tout point

$$\text{Flux total exact : } \overline{F}_{i+1/2}(u) = -\left(k(\partial_x u)\right)(x_{i+1/2}).$$

On ne suppose plus la fonction  $k$  régulière.

**Hypothèse :**  $k$  constante sur chaque volume de contrôle.

### LES PROBLÈMES À RÉSOUDRE

- Le coefficient  $k_{i+1/2} = k(x_{i+1/2})$  n'est pas bien défini.
- La solution  $u$  ne peut pas être  $\mathcal{C}^2$  ! Si  $f$  est  $\mathcal{C}^0$ , on a seulement

$$k(\partial_x u) \in \mathcal{C}^1.$$

- C'est donc le flux total qui est bien défini en tout point

$$\text{Flux total exact : } \overline{F}_{i+1/2}(u) = -\left(k(\partial_x u)\right)(x_{i+1/2}).$$

### DÉFINITION DU FLUX NUMÉRIQUE

On va toujours l'écrire sous la forme suivante

$$F_{i+1/2}(u^\tau) = -k_{i+1/2} \frac{u_{i+1} - u_i}{h_{i+1/2}},$$

mais **comment choisir  $k_{i+1/2}$  ?**

$$k_{i+1/2} = k_i ? \quad k_{i+1/2} = k_{i+1} ? \quad k_{i+1/2} = (k_i + k_{i+1})/2 ?$$

DANS LE VOLUME DE CONTRÔLE  $\kappa_i$ 

- $k$  est constante  $= k_i$  donc  $u \in \mathcal{C}^2$  dans  $\kappa_i$ .

$$\Rightarrow (k\partial_x u)(x_{i+1/2}^-) \approx k_i \frac{u(x_{i+1/2}) - u(x_i)}{x_{i+1/2} - x_i}.$$

DANS LE VOLUME DE CONTRÔLE  $\kappa_{i+1}$ 

- $k$  est constante  $= k_{i+1}$  donc  $u \in \mathcal{C}^2$  dans  $\kappa_{i+1}$ .

$$\Rightarrow (k\partial_x u)(x_{i+1/2}^+) \approx k_{i+1} \frac{u(x_{i+1}) - u(x_{i+1/2})}{x_{i+1} - x_{i+1/2}}.$$

DANS LE VOLUME DE CONTRÔLE  $\kappa_i$ 

- $k$  est constante  $= k_i$  donc  $u \in \mathcal{C}^2$  dans  $\kappa_i$ .

$$\Rightarrow (k\partial_x u)(x_{i+1/2}^-) \approx k_i \frac{u(x_{i+1/2}) - u(x_i)}{x_{i+1/2} - x_i}.$$

DANS LE VOLUME DE CONTRÔLE  $\kappa_{i+1}$ 

- $k$  est constante  $= k_{i+1}$  donc  $u \in \mathcal{C}^2$  dans  $\kappa_{i+1}$ .

$$\Rightarrow (k\partial_x u)(x_{i+1/2}^+) \approx k_{i+1} \frac{u(x_{i+1}) - u(x_{i+1/2})}{x_{i+1} - x_{i+1/2}}.$$

## ON ÉCRIT LA CONTINUITÉ DU FLUX TOTAL

$$\overline{F}_{i+1/2}(u) = -(k\partial_x u)(x_{i+1/2}^+) = -(k\partial_x u)(x_{i+1/2}^-).$$

DANS LE VOLUME DE CONTRÔLE  $\kappa_i$ 

- $k$  est constante  $= k_i$  donc  $u \in \mathcal{C}^2$  dans  $\kappa_i$ .

$$\Rightarrow (k\partial_x u)(x_{i+1/2}^-) \approx k_i \frac{u(x_{i+1/2}) - u(x_i)}{x_{i+1/2} - x_i}.$$

DANS LE VOLUME DE CONTRÔLE  $\kappa_{i+1}$ 

- $k$  est constante  $= k_{i+1}$  donc  $u \in \mathcal{C}^2$  dans  $\kappa_{i+1}$ .

$$\Rightarrow (k\partial_x u)(x_{i+1/2}^+) \approx k_{i+1} \frac{u(x_{i+1}) - u(x_{i+1/2})}{x_{i+1} - x_{i+1/2}}.$$

## ON ÉCRIT LA CONTINUITÉ DU FLUX TOTAL

$$\overline{F}_{i+1/2}(u) = -(k\partial_x u)(x_{i+1/2}^+) = -(k\partial_x u)(x_{i+1/2}^-).$$

## ON ESSAIE D'ÉLIMINER LA VALEUR À L'INTERFACE

$$\overline{F}_{i+1/2}(u) = -\frac{\frac{x_{i+1} - x_{i+1/2}}{k_{i+1}}(k\partial_x u)(x_{i+1/2}^+) + \frac{x_{i+1/2} - x_i}{k_i}(k\partial_x u)(x_{i+1/2}^-)}{\frac{x_{i+1} - x_{i+1/2}}{k_{i+1}} + \frac{x_{i+1/2} - x_i}{k_i}}$$

DANS LE VOLUME DE CONTRÔLE  $\kappa_i$ 

- $k$  est constante  $= k_i$  donc  $u \in \mathcal{C}^2$  dans  $\kappa_i$ .

$$\Rightarrow (k\partial_x u)(x_{i+1/2}^-) \approx k_i \frac{u(x_{i+1/2}) - u(x_i)}{x_{i+1/2} - x_i}.$$

DANS LE VOLUME DE CONTRÔLE  $\kappa_{i+1}$ 

- $k$  est constante  $= k_{i+1}$  donc  $u \in \mathcal{C}^2$  dans  $\kappa_{i+1}$ .

$$\Rightarrow (k\partial_x u)(x_{i+1/2}^+) \approx k_{i+1} \frac{u(x_{i+1}) - u(x_{i+1/2})}{x_{i+1} - x_{i+1/2}}.$$

## ON ÉCRIT LA CONTINUITÉ DU FLUX TOTAL

$$\overline{F}_{i+1/2}(u) = -(k\partial_x u)(x_{i+1/2}^+) = -(k\partial_x u)(x_{i+1/2}^-).$$

## ON ESSAIE D'ÉLIMINER LA VALEUR À L'INTERFACE

$$\overline{F}_{i+1/2}(u) \approx -\frac{u(x_{i+1}) - u(x_i)}{\frac{x_{i+1} - x_{i+1/2}}{k_{i+1}} + \frac{x_{i+1/2} - x_i}{k_i}}$$

DANS LE VOLUME DE CONTRÔLE  $\kappa_i$ 

- $k$  est constante  $= k_i$  donc  $u \in \mathcal{C}^2$  dans  $\kappa_i$ .

$$\Rightarrow (k\partial_x u)(x_{i+1/2}^-) \approx k_i \frac{u(x_{i+1/2}) - u(x_i)}{x_{i+1/2} - x_i}.$$

DANS LE VOLUME DE CONTRÔLE  $\kappa_{i+1}$ 

- $k$  est constante  $= k_{i+1}$  donc  $u \in \mathcal{C}^2$  dans  $\kappa_{i+1}$ .

$$\Rightarrow (k\partial_x u)(x_{i+1/2}^+) \approx k_{i+1} \frac{u(x_{i+1}) - u(x_{i+1/2})}{x_{i+1} - x_{i+1/2}}.$$

## ON ÉCRIT LA CONTINUITÉ DU FLUX TOTAL

$$\overline{F}_{i+1/2}(u) = -(k\partial_x u)(x_{i+1/2}^+) = -(k\partial_x u)(x_{i+1/2}^-).$$

## ON ESSAIE D'ÉLIMINER LA VALEUR À L'INTERFACE

$$\overline{F}_{i+1/2}(u) \approx - \underbrace{\frac{h_{i+1/2}}{\frac{x_{i+1} - x_{i+1/2}}{k_{i+1}} + \frac{x_{i+1/2} - x_i}{k_i}}} \frac{u(x_{i+1}) - u(x_i)}{h_{i+1/2}}$$

$\stackrel{\text{def}}{=} k_{i+1/2}, \text{ moy. harmonique}$

Le schéma VF s'écrit donc : trouver  $u^\tau \in \mathbb{R}^{\mathcal{T}}$  tel que

$$F_{i+1/2}(u^\tau) - F_{i-1/2}(u^\tau) = h_i f_i, \quad \forall 1 \leq i \leq N,$$

avec

$$F_{i+1/2}(u^\tau) = -k_{i+1/2} \frac{u_{i+1} - u_i}{h_{i+1/2}},$$

$$k_{i+1/2} = \frac{h_{i+1/2} k_i k_{i+1}}{(x_{i+1} - x_{i+1/2}) k_i + (x_{i+1/2} - x_i) k_{i+1}}.$$

## RÉSULTATS THÉORIQUES

- Existence et unicité de la solution du schéma.
- Stabilité  $L^\infty$  et  $L^2$ .
- Convergence  $H^1$  à l'ordre 1 pour toute donnée  $f \in L^2(\Omega)$ .
- On observe de l'ordre 2 en norme  $L^\infty$

Tout autre choix de  $k_{i+1/2}$  dégrade la convergence du schéma.

$$-\partial_x(k(x)\partial_x u) = f(x) + \delta_a, \quad \text{dans }]0,1[,$$

# TERME SOURCE DIRAC : SAUT DE FLUX

$$-\partial_x(k(x)\partial_x u) = f(x) + \delta_a, \quad \text{dans }]0, 1[,$$

ÉCRITURE EQUIVALENTE :

$$\begin{cases} -\partial_x(k(x)\partial_x u) = f(x), & \text{dans }]0, a[, \\ -\partial_x(k(x)\partial_x u) = f(x), & \text{dans }]a, 1[, \\ \left[ -k\partial_x u \right](a^+) - \left[ -k\partial_x u \right](a^-) = 1, \end{cases}$$

# TERME SOURCE DIRAC : SAUT DE FLUX

$$-\partial_x(k(x)\partial_x u) = f(x) + \delta_a, \quad \text{dans }]0, 1[,$$

ÉCRITURE EQUIVALENTE :

$$\begin{cases} -\partial_x(k(x)\partial_x u) = f(x), & \text{dans }]0, a[, \\ -\partial_x(k(x)\partial_x u) = f(x), & \text{dans }]a, 1[, \\ \left[ -k\partial_x u \right](a^+) - \left[ -k\partial_x u \right](a^-) = 1, \end{cases}$$

SCHEMA : Méthode similaire à ce qui précède

Soit  $i$  tel que  $a \in [x_i, x_{i+1}]$ , on écrit

$$F_{i+1/2}(u^\tau) - F_{i-1/2}(u^\tau) = h_i f_i + \frac{x_{i+1} - a}{h_{i+1/2}}.$$

$$F_{i+3/2}(u^\tau) - F_{i+1/2}(u^\tau) = h_{i+1} f_{i+1} + \frac{a - x_i}{h_{i+1/2}}.$$

La définition des flux et les autres équations sont inchangées.

- ❶ Prise en compte d'un terme de Dirac dans le problème.
  - La méthode proposée dans le transparent précédent est mise en oeuvre si `donnees.dirac` est défini.
  - On peut vérifier que, si on prend mal en compte le terme de Dirac, la convergence se dégrade.

- ❷ Problème de diffusion à coefficient discontinu :
  - Programmation des différents choix du flux à l'interface :

- Si `donnee.methode='exacte'` :

$$k_{i+1/2} = k(x_{i+1/2}).$$

- Si `donnee.methode='arithmetique'` :

$$k_{i+1/2} = \frac{k(x_i) + k(x_{i+1})}{2}.$$

- Si `donnee.methode='harmonique'` :

$$k_{i+1/2} = \frac{h_{i+1/2} k(x_i) k(x_{i+1})}{(x_{i+1} - x_{i+1/2}) k(x_i) + (x_{i+1/2} - x_i) k(x_{i+1})}.$$

- Comparaison des ordres de convergence observés.

## 3 SCHÉMA VF DE BASE POUR LAPLACE 2D

- Notations. Construction
- Analyse du schéma VF4
- Implémentation
- Extensions de VF4

## 4 MÉTHODE DDFV EN 2D - CAS LINÉAIRE

- Les limitations de VF4
- Construction du schéma
- Analyse du schéma
- Implémentation
- Le schéma m-DDFV

## 5 MÉTHODE DDFV EN 2D - CAS NON LINÉAIRE

- Construction du schéma
- Analyse du schéma
- m-DDFV dans le cas non-linéaire
- Construction et analyse d'un solveur

(Eymard, Gallouët, Herbin, '00→ '09)

## DÉFINITION (pas la plus générale)

- $\Omega$  un ouvert borné polygonal connexe de  $\mathbb{R}^d$ .
- Un maillage **orthogonal admissible**  $\mathcal{T}$  est constitué de :
  - une famille finie de sous-domaines compacts, polyédraux, **convexes**, non vides de  $\Omega$  notés  $\kappa$  et appelés **volumes de contrôle** vérifiant
    - Si  $\kappa \neq \mathcal{L}$ , on a  $\overset{\circ}{\kappa} \cap \overset{\circ}{\mathcal{L}} = \emptyset$ .
    - $\overline{\Omega} = \bigcup_{\kappa \in \mathcal{T}} \kappa$ .

(Eymard, Gallouët, Herbin, '00→'09)

## DÉFINITION (pas la plus générale)

- $\Omega$  un ouvert borné polygonal connexe de  $\mathbb{R}^d$ .
- Un maillage **orthogonal admissible**  $\mathcal{T}$  est constitué de :
  - une famille finie de sous-domaines compacts, polyédraux, **convexes**, non vides de  $\Omega$  notés  $\kappa$  et appelés **volumes de contrôle** vérifiant
    - Si  $\kappa \neq \mathcal{L}$ , on a  $\overset{\circ}{\kappa} \cap \overset{\circ}{\mathcal{L}} = \emptyset$ .
    - $\overline{\Omega} = \bigcup_{\kappa \in \mathcal{T}} \kappa$ .
  - une famille de points  $(x_\kappa)_{\kappa \in \mathcal{T}}$  tels que
    - Pour tout  $\kappa \in \mathcal{T}$ ,  $x_\kappa \in \overset{\circ}{\kappa}$ .
    - Pour tout  $\kappa, \mathcal{L} \in \mathcal{T}$ ,  $\kappa \neq \mathcal{L}$ , si  $\kappa \cap \mathcal{L}$  est de dimension  $d - 1$ , alors c'est une face de  $\kappa$  et de  $\mathcal{L}$ , notée  $\kappa|\mathcal{L}$  et qui de plus, vérifie la **condition d'orthogonalité**

$$[x_\kappa, x_\mathcal{L}] \perp \kappa|\mathcal{L}. \quad (4)$$

(Eymard, Gallouët, Herbin, '00→'09)

## DÉFINITION (pas la plus générale)

- $\Omega$  un ouvert borné polygonal connexe de  $\mathbb{R}^d$ .
- Un maillage **orthogonal admissible**  $\mathcal{T}$  est constitué de :
  - une famille finie de sous-domaines compacts, polyédraux, **convexes**, non vides de  $\Omega$  notés  $\kappa$  et appelés **volumes de contrôle** vérifiant
    - Si  $\kappa \neq \mathcal{L}$ , on a  $\overset{\circ}{\kappa} \cap \overset{\circ}{\mathcal{L}} = \emptyset$ .
    - $\overline{\Omega} = \bigcup_{\kappa \in \mathcal{T}} \kappa$ .
  - une famille de points  $(x_\kappa)_{\kappa \in \mathcal{T}}$  tels que
    - Pour tout  $\kappa \in \mathcal{T}$ ,  $x_\kappa \in \overset{\circ}{\kappa}$ .
    - Pour tout  $\kappa, \mathcal{L} \in \mathcal{T}$ ,  $\kappa \neq \mathcal{L}$ , si  $\kappa \cap \mathcal{L}$  est de dimension  $d - 1$ , alors c'est une face de  $\kappa$  et de  $\mathcal{L}$ , notée  $\kappa|\mathcal{L}$  et qui de plus, vérifie la **condition d'orthogonalité**

$$[x_\kappa, x_\mathcal{L}] \perp \kappa|\mathcal{L}. \quad (4)$$

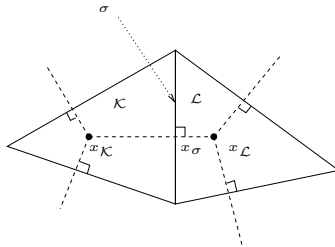
## NOTATIONS

- Pas du maillage :  $\text{size}(\mathcal{T})$
- Ensembles d'arêtes :  $\mathcal{E}, \mathcal{E}_{ext}, \mathcal{E}_{int}, \mathcal{E}_\kappa$
- Normales :  $\boldsymbol{\nu}_\kappa, \boldsymbol{\nu}_{\kappa\sigma}, \boldsymbol{\nu}_{\kappa\mathcal{L}}$
- Volumes. Mesures :  $|\kappa|, |\sigma|$
- Distances :  $d_{\kappa\sigma}, d_{\mathcal{L}\sigma}, d_{\kappa\mathcal{L}}, d_\sigma$

On considère le problème suivant

$$\begin{cases} -\Delta u = f, & \text{dans } \Omega \\ u = 0, & \text{sur } \partial\Omega. \end{cases}$$

sur un maillage orthogonal admissible  $\mathcal{T}$  (ici formé de triangles)

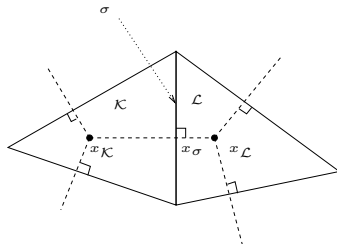


### BILAN SUR UN VOLUME DE CONTRÔLE $\kappa$

$$|\kappa|f_\kappa \stackrel{\text{def}}{=} \int_{\kappa} f = \int_{\kappa} -\Delta u = \sum_{\sigma \in \mathcal{E}_\kappa} \underbrace{- \int_{\sigma} \nabla u \cdot \nu_{\kappa\sigma}}_{\stackrel{\text{def}}{=} \overline{F}_{\kappa,\sigma}}$$

# LE SCHÉMA VF4 / TPFA

NOTATIONS. GÉNÉRALITÉS.



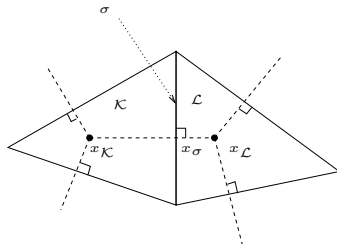
$$|\mathcal{K}| f_{\mathcal{K}} = \sum_{\sigma \in \mathcal{E}_{\mathcal{K}}} \overline{F}_{\mathcal{K}, \sigma}.$$

CONSERVATIVITÉ LOCALE POUR LE PROBLÈME INITIAL

$$\overline{F}_{\mathcal{K}, \sigma} = -\overline{F}_{\mathcal{L}, \sigma}, \quad \text{si } \sigma = \mathcal{K}|\mathcal{L}.$$

# LE SCHÉMA VF4 / TPFA

NOTATIONS. GÉNÉRALITÉS.



$$|\kappa| f_\kappa = \sum_{\sigma \in \mathcal{E}_\kappa} \overline{F}_{\kappa, \sigma}.$$

CONSERVATIVITÉ LOCALE POUR LE PROBLÈME INITIAL

$$\overline{F}_{\kappa, \sigma} = -\overline{F}_{\ell, \sigma}, \quad \text{si } \sigma = \kappa | \ell.$$

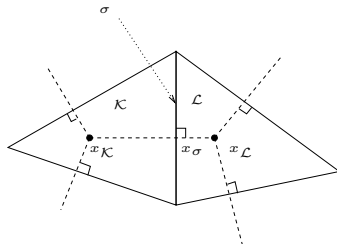
INCONNUES AUX CENTRES

On souhaite obtenir  $u_\kappa \sim u(x_\kappa)$

**Notation :**  $u^\tau = (u_\kappa)_{\kappa \in \mathcal{T}} \in \mathbb{R}^\mathcal{T}$ .

# LE SCHÉMA VF4 / TPFA

NOTATIONS. GÉNÉRALITÉS.



$$|\kappa| f_\kappa = \sum_{\sigma \in \mathcal{E}_\kappa} \bar{F}_{\kappa, \sigma}.$$

CONSERVATIVITÉ LOCALE POUR LE PROBLÈME INITIAL

$$\bar{F}_{\kappa, \sigma} = -\bar{F}_{\ell, \sigma}, \quad \text{si } \sigma = \kappa | \ell.$$

INCONNUES AUX CENTRES

On souhaite obtenir  $u_\kappa \sim u(x_\kappa)$

**Notation :**  $u^\tau = (u_\kappa)_{\kappa \in \mathcal{T}} \in \mathbb{R}^\mathcal{T}$ .

FLUX NUMÉRIQUES

**BUT** : définir  $u^\tau \mapsto F_{\kappa, \sigma}(u^\tau)$  qui approche le flux réel  $\bar{F}_{\kappa, \sigma}$

SCHÉMA NUMÉRIQUE

Trouver  $u^\tau \in \mathbb{R}^\mathcal{T}$  tel que  $|\kappa| f_\kappa = \sum_{\sigma \in \mathcal{E}_\kappa} F_{\kappa, \sigma}(u^\tau)$  pour tout  $\kappa \in \mathcal{T}$ .

## CAS D'UNE ARÈTE INTÉRIEURE

$$\sigma \in \mathcal{E}_{int}, \sigma = \kappa | \mathcal{L}.$$

$$x_{\mathcal{L}} - x_{\kappa} = d_{\kappa \mathcal{L}} \boldsymbol{\nu}_{\kappa \mathcal{L}}.$$

$$\text{si } x \in \sigma, \quad (\nabla u(x)) \cdot \boldsymbol{\nu}_{\kappa \mathcal{L}} = \frac{u(x_{\mathcal{L}}) - u(x_{\kappa})}{d_{\kappa \mathcal{L}}} + O(\text{size}(\mathcal{T}))$$

$$\implies \overline{F}_{\kappa, \sigma} = -|\sigma| \frac{u(x_{\mathcal{L}}) - u(x_{\kappa})}{d_{\kappa \mathcal{L}}} + O(\text{size}(\mathcal{T})^2)$$

On pose donc

$$F_{\kappa, \sigma}(u^{\tau}) = -|\sigma| \frac{u_{\mathcal{L}} - u_{\kappa}}{d_{\kappa \mathcal{L}}}.$$

## CAS D'UNE ARÊTE INTÉRIEURE

$$\sigma \in \mathcal{E}_{int}, \sigma = \kappa | \mathcal{L}.$$

$$x_{\mathcal{L}} - x_{\kappa} = d_{\kappa \mathcal{L}} \boldsymbol{\nu}_{\kappa \mathcal{L}}.$$

$$\begin{aligned} \text{si } x \in \sigma, \quad (\nabla u(x)) \cdot \boldsymbol{\nu}_{\kappa \mathcal{L}} &= \frac{u(x_{\mathcal{L}}) - u(x_{\kappa})}{d_{\kappa \mathcal{L}}} + O(\text{size}(\mathcal{T})) \\ \implies \overline{F}_{\kappa, \sigma} &= -|\sigma| \frac{u(x_{\mathcal{L}}) - u(x_{\kappa})}{d_{\kappa \mathcal{L}}} + O(\text{size}(\mathcal{T})^2) \end{aligned}$$

On pose donc

$$F_{\kappa, \sigma}(u^\tau) = -|\sigma| \frac{u_{\mathcal{L}} - u_{\kappa}}{d_{\kappa \mathcal{L}}}.$$

**Remarque :** On a la conservativité du schéma  $F_{\kappa, \sigma}(u^\tau) = -F_{\mathcal{L}, \sigma}(u^\tau)$

**NOTATION :**

$$F_{\kappa, \mathcal{L}}(u^\tau) \stackrel{\text{def}}{=} F_{\kappa, \sigma}(u^\tau) = -F_{\mathcal{L}, \sigma}(u^\tau).$$

## CAS D'UNE ARÈTE EXTÉRIEURE

 $\sigma \in \mathcal{E}_{ext}$ .

$$x_\sigma - x_\kappa = d_{\kappa\sigma} \boldsymbol{\nu}_{\kappa\sigma}.$$

$$(\nabla u(x)) \cdot \boldsymbol{\nu}_{\kappa\sigma} \sim \frac{u(x_\sigma) - u(x_\kappa)}{d_{\kappa\sigma}} = \frac{0 - u(x_\kappa)}{d_{\kappa\sigma}} \Leftarrow \text{condition au bord}$$

$$\implies \bar{F}_{\kappa,\sigma} = -|\sigma| \frac{-u(x_\kappa)}{d_{\kappa\sigma}} + O(\text{size}(\mathcal{T})^2)$$

On pose donc

$$F_{\kappa,\sigma}(u^\tau) = -|\sigma| \frac{-u_\kappa}{d_{\kappa\sigma}}.$$

## LE SCHÉMA

On cherche  $u^\tau = (u_\kappa)_{\kappa \in \mathcal{T}} \in \mathbb{R}^{\mathcal{T}}$  tel que

$$\begin{cases} \forall \kappa \in \mathcal{T}, \quad \sum_{\sigma \in \mathcal{E}_\kappa} F_{\kappa,\sigma}(u^\tau) = |\kappa| f_\kappa, \\ F_{\kappa,\sigma}(u^\tau) = -|\sigma| \frac{u_\sigma - u_\kappa}{d_{\kappa\sigma}}, \quad \text{si } \sigma = \kappa | \mathcal{L} \in \mathcal{E}_{int}, \\ F_{\kappa,\sigma}(u^\tau) = -|\sigma| \frac{-u_\kappa}{d_{\kappa\sigma}}, \quad \text{si } \sigma \in \mathcal{E}_{ext}. \end{cases} \quad (\text{VF4})$$

## LE SCHÉMA

On cherche  $u^\tau = (u_\kappa)_{\kappa \in \mathcal{T}} \in \mathbb{R}^{\mathcal{T}}$  tel que

$$\begin{cases} \forall \kappa \in \mathcal{T}, \quad \sum_{\sigma \in \mathcal{E}_\kappa} F_{\kappa,\sigma}(u^\tau) = |\kappa| f_\kappa, \\ F_{\kappa,\sigma}(u^\tau) = -|\sigma| \frac{u_\sigma - u_\kappa}{d_{\kappa\sigma}}, \quad \text{si } \sigma = \kappa | \mathcal{L} \in \mathcal{E}_{int}, \\ F_{\kappa,\sigma}(u^\tau) = -|\sigma| \frac{-u_\kappa}{d_{\kappa\sigma}}, \quad \text{si } \sigma \in \mathcal{E}_{ext}. \end{cases} \quad (\text{VF4})$$

## REMARQUES

- Il s'agit d'un système linéaire de  $N$  équations à  $N$  inconnues ( $N = \text{nb de volumes de contrôle dans } \mathcal{T}$ ).
- **Pourquoi TPFA ? Two Point Flux Approximation**
- **Pourquoi VF4 ?** Stencil de 4 points en 2D sur maillages triangles.
- Sur maillage 2D cartésien uniforme : c'est le schéma à 5 points standard.

## LE SCHÉMA

On cherche  $u^\tau = (u_\kappa)_{\kappa \in \mathcal{T}} \in \mathbb{R}^{\mathcal{T}}$  tel que

$$\begin{cases} \forall \kappa \in \mathcal{T}, \quad \sum_{\sigma \in \mathcal{E}_\kappa} F_{\kappa,\sigma}(u^\tau) = |\kappa| f_\kappa, \\ F_{\kappa,\sigma}(u^\tau) = -|\sigma| \frac{u_\mathcal{L} - u_\kappa}{d_{\kappa\mathcal{L}}}, \quad \text{si } \sigma = \kappa | \mathcal{L} \in \mathcal{E}_{int}, \\ F_{\kappa,\sigma}(u^\tau) = -|\sigma| \frac{-u_\kappa}{d_{\kappa\sigma}}, \quad \text{si } \sigma \in \mathcal{E}_{ext}. \end{cases} \quad (\text{VF4})$$

## NOTATIONS - APPROXIMATION CONSTANTE PAR MORCEAUX

- On notera  $f^\tau = (f_\kappa)_{\kappa \in \mathcal{T}} \in \mathbb{R}^{\mathcal{T}}$ .
- On associe à toute famille  $v^\tau \in \mathbb{R}^{\mathcal{T}}$ , une fonction

$$v^\tau(x) = \sum_{\kappa \in \mathcal{T}} v_\kappa \mathbf{1}_\kappa(x).$$

- On a alors

$$\|v^\tau\|_{L^\infty} = \sup_{\kappa \in \mathcal{T}} |v_\kappa|, \quad \|v^\tau\|_{L^2} = \left( \sum_{\kappa \in \mathcal{T}} |\kappa| |v_\kappa|^2 \right)^{\frac{1}{2}}.$$

## ③ SCHÉMA VF DE BASE POUR LAPLACE 2D

- Notations. Construction
- Analyse du schéma VF4
- Implémentation
- Extensions de VF4

## ④ MÉTHODE DDFV EN 2D - CAS LINÉAIRE

- Les limitations de VF4
- Construction du schéma
- Analyse du schéma
- Implémentation
- Le schéma m-DDFV

## ⑤ MÉTHODE DDFV EN 2D - CAS NON LINÉAIRE

- Construction du schéma
- Analyse du schéma
- m-DDFV dans le cas non-linéaire
- Construction et analyse d'un solveur

## NOTATIONS

- Pour tout couple  $(\kappa, \mathcal{L})$  de volumes de contrôle voisins on note

$$D_{\kappa\mathcal{L}}(u^\tau) = \frac{u_{\mathcal{L}} - u_\kappa}{d_{\kappa\mathcal{L}}}.$$

- Pour toute arête intérieure  $\sigma \in \mathcal{E}_{int}$  on note  $D_\sigma(u^\tau) = D_{\kappa\mathcal{L}}(u^\tau)$ , où l'on a choisi une *orientation*  $\kappa \rightarrow \mathcal{L}$  une bonne fois pour toutes.
- Pour tout arête extérieure  $\sigma \in \mathcal{E}_{ext}$  on note  $D_\sigma(u^\tau) = \frac{-u_\kappa}{d_{\kappa\sigma}}$ .

## LEMME (INTÉGRATION PAR PARTIES DISCRÈTE)

Soit  $u^\tau \in \mathbb{R}^\mathcal{T}$  une éventuelle solution de (VF4), alors pour tout  $v^\tau \in \mathbb{R}^\mathcal{T}$

$$\underbrace{\sum_{\sigma \in \mathcal{E}} d_\sigma |\sigma| D_\sigma(u^\tau) D_\sigma(v^\tau)}_{\stackrel{\text{def}}{=} [u^\tau, v^\tau]_{1,\tau}} = \sum_{\kappa \in \mathcal{T}} |\kappa| v_\kappa f_\kappa = (v^\tau, f^\tau)_{L^2}.$$

↔ La conservativité locale est essentielle ici

## LEMME (INTÉGRATION PAR PARTIES DISCRÈTE)

Soit  $u^\tau \in \mathbb{R}^\mathcal{T}$  une éventuelle solution de (VF4), alors pour tout  $v^\tau \in \mathbb{R}^\mathcal{T}$

$$\underbrace{\sum_{\sigma \in \mathcal{E}} d_\sigma |\sigma| D_\sigma(u^\tau) D_\sigma(v^\tau)}_{\stackrel{\text{def}}{=} [u^\tau, v^\tau]_{1,\mathcal{T}}} = \sum_{\kappa \in \mathcal{T}} |\kappa| v_\kappa f_\kappa = (v^\tau, f^\tau)_{L^2}.$$

~~~ La conservativité locale est essentielle ici

## PROPOSITION

La forme bilinéaire

$$(u^\tau, v^\tau) \in \mathbb{R}^\mathcal{T} \times \mathbb{R}^\mathcal{T} \mapsto [u^\tau, v^\tau]_{1,\mathcal{T}},$$

est un produit scalaire sur  $\mathbb{R}^\mathcal{T}$  appelé **produit scalaire  $H_0^1$  discret**.  
 La norme associée est appelée **norme  $H_0^1$  discrète** et notée  $\|\cdot\|_{1,\mathcal{T}}$ .

## THÉORÈME

Pour toute donnée  $f \in L^2(\Omega)$ , le schéma (VF4) admet une unique solution  $u^\tau$  et on a

$$\|u^\tau\|_{1,\tau}^2 \leq \|u^\tau\|_{L^2} \|f^\tau\|_{L^2} \leq \|u^\tau\|_{L^2} \|f\|_{L^2}.$$

## THÉORÈME

Pour toute donnée  $f \in L^2(\Omega)$ , le schéma (VF4) admet une unique solution  $u^\tau$  et on a

$$\|u^\tau\|_{1,\tau}^2 \leq \|u^\tau\|_{L^2} \|f^\tau\|_{L^2} \leq \|u^\tau\|_{L^2} \|f\|_{L^2}.$$

Pour obtenir une estimation  $H_0^1$  discrète exploitable, on utilise le

## THÉORÈME (INÉGALITÉ DE POINCARÉ DISCRÈTE)

Pour tout maillage orthogonal admissible  $\mathcal{T}$ , on a

$$\forall v^\tau \in \mathbb{R}^\mathcal{T}, \quad \|v^\tau\|_{L^2} \leq \text{diam}(\Omega) \|v^\tau\|_{1,\tau}.$$

▶ Preuve de l'inégalité de Poincaré

# ANALYSE DU SCHÉMA VF4

PROPRIÉTÉS QUALITATIVES. PRINCIPE DU MAXIMUM DISCRET

## MATRICE DU SYSTÈME

- Elle est symétrique définie positive (Cf. l'intégration par parties discrète).
- C'est une  $M$ -matrice  $\Rightarrow$  principe du maximum discret vérifié

$$f^\tau \geq 0 \implies u^\tau \geq 0.$$

En effet, la ligne  $\kappa$  de la matrice s'écrit

$$\sum_{\ell \in V_\kappa} \underbrace{\tau_{\kappa\ell}}_{\geq 0} (u_\kappa - u_\ell) = |\kappa| f_\kappa.$$

# ANALYSE DU SCHÉMA VF4

PROPRIÉTÉS QUALITATIVES. PRINCIPE DU MAXIMUM DISCRET

## MATRICE DU SYSTÈME

- Elle est symétrique définie positive (Cf. l'intégration par parties discrète).
- C'est une  $M$ -matrice  $\Rightarrow$  principe du maximum discret vérifié

$$f^\tau \geq 0 \implies u^\tau \geq 0.$$

En effet, la ligne  $\kappa$  de la matrice s'écrit

$$\sum_{\mathcal{L} \in V_\kappa} \underbrace{\tau_{\kappa \mathcal{L}}}_{\geq 0} (u_\kappa - u_\mathcal{L}) = |\kappa| f_\kappa.$$

## IMPLÉMENTATION DU SCHÉMA

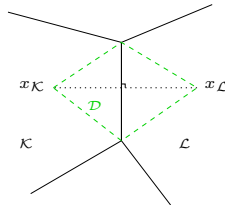
- Parcours du maillage par arêtes et non par volumes de contrôle.
- Informations géométriques utilisées :  $|\sigma|$ ,  $d_{\kappa \mathcal{L}}$ ,  $|\kappa|$ .
- La seule méthode de quadrature utilisée (éventuellement) est pour le terme source.
- Estimation de l'erreur de quadrature  $f^\tau \mapsto u^\tau$ ,  $g^\tau \mapsto v^\tau$

$$\|u^\tau - v^\tau\|_{L^2} \leq C_\Omega \|u^\tau - v^\tau\|_{1,\tau} \leq C_\Omega^2 \|f^\tau - g^\tau\|_{L^2}.$$

# ANALYSE DU SCHÉMA VF4

GRADIENT DISCRET. COMPACITÉ. CONVERGENCE

## CELLULE DIAMANT



GRADIENT DISCRET Pour tout  $v^\tau \in \mathbb{R}^\mathcal{T}$ , on définit ( $d = \text{dimension}$ )

$$\forall \mathcal{D} \in \mathfrak{D}, \quad \nabla_{\mathcal{D}}^\tau v^\tau = \begin{cases} d \frac{u_\lambda - u_\kappa}{d_{\kappa\lambda}} \boldsymbol{\nu}_{\kappa\lambda} = d D_\sigma(u^\tau) \boldsymbol{\nu}, & \text{si } \sigma \in \mathcal{E}_{int}, \\ d \frac{0 - u_\kappa}{d_{\kappa\lambda}} \boldsymbol{\nu}_{\kappa\sigma} = d D_\sigma(u^\tau) \boldsymbol{\nu}, & \text{si } \sigma \in \mathcal{E}_{ext}, \end{cases}$$

$$\nabla^\tau v^\tau = \sum_{\mathcal{D} \in \mathfrak{D}} \mathbf{1}_{\mathcal{D}} \nabla_{\mathcal{D}}^\tau v^\tau \in (L^2(\Omega))^2.$$

LIEN AVEC LA NORME  $H_0^1$  DISCRÈTE

$$\|v^\tau\|_{1,\mathcal{T}}^2 = \frac{1}{d} \|\nabla^\tau v^\tau\|_{L^2}^2.$$

## THÉORÈME (COMPACITÉ FAIBLE)

Soit  $(T_n)_n$  une suite de maillages orthogonaux admissibles avec  $\text{size}(T_n) \rightarrow 0$  et  $(u^{\tau_n})_n$  une famille de fonctions discrètes définies sur chacun des maillages telle que

$$\sup_n \|u^{\tau_n}\|_{1,T_n} < +\infty.$$

Alors :

- Il existe une fonction  $u \in L^2(\Omega)$ , et une sous-suite  $(u^{\tau_{\varphi(n)}})_n$  qui converge **fortement** vers  $u$  dans  $L^2(\Omega)$ .

## THÉORÈME (COMPACITÉ FAIBLE)

Soit  $(T_n)_n$  une suite de maillages orthogonaux admissibles avec  $\text{size}(T_n) \rightarrow 0$  et  $(u^{\tau_n})_n$  une famille de fonctions discrètes définies sur chacun des maillages telle que

$$\sup_n \|u^{\tau_n}\|_{1,T_n} < +\infty.$$

Alors :

- Il existe une fonction  $u \in L^2(\Omega)$ , et une sous-suite  $(u^{\tau_{\varphi(n)}})_n$  qui converge **fortement** vers  $u$  dans  $L^2(\Omega)$ .

De plus,

- La fonction  $u$  est dans  $H_0^1(\Omega)$ .
- La suite des gradients discrets  $(\nabla^{\tau_{\varphi(n)}} u^{\tau_{\varphi(n)}})_n$  converge **faiblement** vers  $\nabla u$  dans  $(L^2(\Omega))^d$ .

▶ Preuve du Théorème de compacité

## THÉORÈME (CONVERGENCE DU SCHÉMA VF4)

Soit  $f \in L^2(\Omega)$  et  $u \in H_0^1(\Omega)$ , l'unique solution du problème continu.

Soit  $(\mathcal{T}_n)_n$  une famille de maillages orthogonaux admissibles avec  $\text{size}(\mathcal{T}_n) \rightarrow 0$ .

Pour tout  $n$ , on note  $u^{\tau_n} \in \mathbb{R}^{\tau_n}$  l'unique solution du schéma sur le maillage  $\mathcal{T}_n$  pour la donnée  $f$ .

## THÉORÈME (CONVERGENCE DU SCHÉMA VF4)

Soit  $f \in L^2(\Omega)$  et  $u \in H_0^1(\Omega)$ , l'unique solution du problème continu.

Soit  $(\mathcal{T}_n)_n$  une famille de maillages orthogonaux admissibles avec  $\text{size}(\mathcal{T}_n) \rightarrow 0$ .

Pour tout  $n$ , on note  $u^{\mathcal{T}_n} \in \mathbb{R}^{\mathcal{T}_n}$  l'unique solution du schéma sur le maillage  $\mathcal{T}_n$  pour la donnée  $f$ .

On a :

- La suite  $(u^{\mathcal{T}_n})_n$  converge **fortement** vers  $u$  dans  $L^2(\Omega)$ .
- La suite  $(\nabla^{\mathcal{T}_n} u^{\mathcal{T}_n})_n$  converge **faiblement** vers  $\nabla u$  dans  $(L^2(\Omega))^d$ .

De plus, si  $d \geq 2$ , la convergence **forte** des gradients n'a lieu que si  $f = u = 0$ .

▶ Preuve de la convergence de VF4

### PRÉALABLES

- Convergence du schéma : pas d'hypothèse de régularité sur  $u$ .
- Pour les estimations d'erreur on va supposer que  $u \in H^2(\Omega)$ .

### PRÉALABLES

- Convergence du schéma : pas d'hypothèse de régularité sur  $u$ .
- Pour les estimations d'erreur on va supposer que  $u \in H^2(\Omega)$ .

### PRINCIPE DE L'ANALYSE

- On souhaite comparer  $u^\tau$  avec la projection  $\mathbb{P}^\tau u = (u(x_\kappa))_\kappa$  de la solution exacte sur le maillage. On définit l'erreur

$$e^\tau = \mathbb{P}^\tau u - u^\tau.$$

## PRÉALABLES

- Convergence du schéma : pas d'hypothèse de régularité sur  $u$ .
- Pour les estimations d'erreur on va supposer que  $u \in H^2(\Omega)$ .

## PRINCIPE DE L'ANALYSE

- On souhaite comparer  $u^\tau$  avec la projection  $\mathbb{P}^\tau u = (u(x_\kappa))_\kappa$  de la solution exacte sur le maillage. On définit l'erreur

$$e^\tau = \mathbb{P}^\tau u - u^\tau.$$

- On compare le flux numérique calculé sur  $\mathbb{P}^\tau u$  avec le flux exact

$$|\sigma|R_{\kappa,\sigma}(u) \stackrel{\text{def}}{=} F_{\kappa,\sigma}(\mathbb{P}^\tau u) - \bar{F}_{\kappa,\sigma}.$$

Il vient (pour  $\sigma \in \mathcal{E}_{int}$ )

$$R_{\kappa,\sigma}(u) = \frac{u(x_\mathcal{L}) - u(x_\kappa)}{d_{\kappa\mathcal{L}}} - \frac{1}{|\sigma|} \int_\sigma \nabla u \cdot \boldsymbol{\nu}_{\kappa\mathcal{L}} dx.$$

$$|\sigma|R_{\kappa,\sigma}(u) \stackrel{\text{def}}{=} F_{\kappa,\sigma}(\mathbb{P}^\tau u) - \overline{F}_{\kappa,\sigma}.$$

- On soustrait le bilan de flux exact

$$|\kappa|f_\kappa = \sum_{\sigma \in \mathcal{E}_\kappa} \overline{F}_{\kappa,\sigma} = \sum_{\sigma \in \mathcal{E}_\kappa} F_{\kappa,\sigma}(\mathbb{P}^\tau u) - \sum_{\sigma \in \mathcal{E}_\kappa} |\sigma|R_{\kappa,\sigma}(u),$$

et le schéma numérique

$$|\kappa|f_\kappa = \sum_{\sigma \in \mathcal{E}_\kappa} F_{\kappa,\sigma}(u^\tau).$$

On obtient

$$\forall \kappa \in \mathcal{T}, \quad \sum_{\sigma \in \mathcal{E}_\kappa} F_{\kappa,\sigma}(e^\tau) = \sum_{\sigma \in \mathcal{E}_\kappa} |\sigma|R_{\kappa,\sigma}(u). \quad (\star)$$

$$|\sigma|R_{\kappa,\sigma}(u) \stackrel{\text{def}}{=} F_{\kappa,\sigma}(\mathbb{P}^\tau u) - \overline{F}_{\kappa,\sigma}.$$

- On obtient

$$\forall \kappa \in \mathcal{T}, \quad \sum_{\sigma \in \mathcal{E}_\kappa} F_{\kappa,\sigma}(e^\tau) = \sum_{\sigma \in \mathcal{E}_\kappa} |\sigma|R_{\kappa,\sigma}(u). \quad (\star)$$

$$|\sigma|R_{\kappa,\sigma}(u) \stackrel{\text{def}}{=} F_{\kappa,\sigma}(\mathbb{P}^\tau u) - \overline{F}_{\kappa,\sigma}.$$

- On obtient

$$\forall \kappa \in \mathcal{T}, \quad \sum_{\sigma \in \mathcal{E}_\kappa} F_{\kappa,\sigma}(e^\tau) = \sum_{\sigma \in \mathcal{E}_\kappa} |\sigma|R_{\kappa,\sigma}(u). \quad (\star)$$

- On multiplie  $(\star)$  par  $e_\kappa$  et on somme sur  $\kappa$ .
- L'erreur de consistance est conservative  $R_{\kappa,\sigma}(u) = -R_{\kappa,\sigma}(u)$   
donc on trouve

$$\|e^\tau\|_{1,\mathcal{T}}^2 = [e^\tau, e^\tau]_{1,\mathcal{T}} = \sum_{\sigma \in \mathcal{E}} d_\sigma |\sigma| D_\sigma(e^\tau)^2 = \sum_{\sigma \in \mathcal{E}} d_\sigma |\sigma| R_\sigma(u) D_\sigma(e^\tau).$$

- Par Cauchy-Schwarz on trouve

$$\|e^\tau\|_{1,\mathcal{T}} \leq \left( \sum_{\sigma \in \mathcal{E}} d_\sigma |\sigma| |R_\sigma(u)|^2 \right)^{\frac{1}{2}}.$$

$$\|e^\tau\|_{1,\mathcal{T}} \leq \left( \sum_{\sigma \in \mathcal{E}} d_\sigma |\sigma| |R_\sigma(u)|^2 \right)^{\frac{1}{2}}.$$

## THÉORÈME (ESTIMATION D'ERREUR - Version 1)

*Si  $u \in \mathcal{C}^2(\bar{\Omega})$ , il existe  $C$  ne dépendant que de  $\Omega$  telle que*

$$\|e^\tau\|_{L^2} \leq \text{diam}(\Omega) \|e^\tau\|_{1,\mathcal{T}} \leq C \text{size}(\mathcal{T}) \|D^2 u\|_{L^\infty},$$

$$\|u - u^\tau\|_{L^2} \leq C \text{size}(\mathcal{T}) \|D^2 u\|_{L^\infty}.$$

## ESTIMATION DE L'ERREUR DE CONSISTANCE

$$\text{Si } u \in \mathcal{C}^2(\bar{\Omega}), \quad |R_\sigma(u)| \leq C \|D^2 u\|_\infty \text{size}(\mathcal{T}).$$

$$\|e^\tau\|_{1,\mathcal{T}} \leq \left( \sum_{\sigma \in \mathcal{E}} d_\sigma |\sigma| |R_\sigma(u)|^2 \right)^{\frac{1}{2}}.$$

## THÉORÈME (ESTIMATION D'ERREUR - Version 2)

Si  $u \in H^2(\Omega)$ , il existe  $C$  ne dépendant que de  $\Omega$  et  $\text{reg}(\mathcal{T})$  telle que

$$\|e^\tau\|_{L^2} \leq \text{diam}(\Omega) \|e^\tau\|_{1,\mathcal{T}} \leq C \text{size}(\mathcal{T}) \|D^2 u\|_{L^2},$$

$$\|u - u^\tau\|_{L^2} \leq C \text{size}(\mathcal{T}) \|D^2 u\|_{L^2}.$$

## ESTIMATION DE L'ERREUR DE CONSISTANCE

Si  $u \in H^2(\Omega)$ ,  $|R_\sigma(u)| \leq C \text{size}(\mathcal{T}) \left( \frac{1}{|\mathcal{D}|} \int_{\mathcal{D}} |D^2 u|^2 dx \right)^{\frac{1}{2}}$ ,

[▶ Preuve](#)

où  $C$  ne dépend que la constante de régularité du maillage

$$\text{reg}(\mathcal{T}) = \sup_{\sigma \in \mathcal{E}} \left( \frac{|\sigma|}{d_{\kappa\sigma}} + \frac{|\sigma|}{d_{\mathcal{L}\sigma}} \right).$$

- Bien qu'on ait (pour des familles régulières de maillages)

$$\|\mathbb{P}^\tau u - u^\tau\|_{1,\mathcal{T}} \xrightarrow[\text{size}(\mathcal{T}) \rightarrow 0]{} 0,$$

on a **jamaïs** (sauf si  $u = f = 0$ )

$$\nabla^\tau u^\tau \xrightarrow[\text{size}(\mathcal{T}) \rightarrow 0]{} \nabla u.$$

- Bien qu'on ait (pour des familles régulières de maillages)

$$\|\mathbb{P}^{\mathcal{T}} u - u^{\mathcal{T}}\|_{1,\mathcal{T}} \xrightarrow[\text{size}(\mathcal{T}) \rightarrow 0]{} 0,$$

on a **jamaïs** (sauf si  $u = f = 0$ )

$$\nabla^{\mathcal{T}} u^{\mathcal{T}} \xrightarrow[\text{size}(\mathcal{T}) \rightarrow 0]{} \nabla u.$$

- En pratique on observe un phénomène de super-convergence

$$\|e^{\mathcal{T}}\|_{L^2(\Omega)} \sim C \text{size}(\mathcal{T})^2,$$

comme pour les schémas éléments finis (Aubin–Nitschze).

↔ C'est encore un problème ouvert dans le cas général.

(Omnès, '10)

## ③ SCHÉMA VF DE BASE POUR LAPLACE 2D

- Notations. Construction
- Analyse du schéma VF4
- **Implémentation**
- Extensions de VF4

## ④ MÉTHODE DDFV EN 2D - CAS LINÉAIRE

- Les limitations de VF4
- Construction du schéma
- Analyse du schéma
- Implémentation
- Le schéma m-DDFV

## ⑤ MÉTHODE DDFV EN 2D - CAS NON LINÉAIRE

- Construction du schéma
- Analyse du schéma
- m-DDFV dans le cas non-linéaire
- Construction et analyse d'un solveur

[http://www.cmi.univ-mrs.fr/~fboyer/publications/VF\\_scilab.tar.gz](http://www.cmi.univ-mrs.fr/~fboyer/publications/VF_scilab.tar.gz)

On se place dans le sous-répertoire : 2D

- 3 librairies de fonctions :

- **donnees2D.sci**

Différents jeux de données

- **maillages2D.sci**

Définition des maillages disponibles, chargement et manipulation.  
Calculs de normes discrètes. Routines de tracé des fonctions  
discrètes.

- **schemas2D.sci**

Fonctions d'assemblage des schémas

- 2 programmes principaux :

- **VF2D.sce**

Calcul et tracé des solutions approchées/exactes

- **courbes\_erreur2D.sce**

Tracé de courbes d'erreurs

## LES MAILLAGES 2D :

- Stockés dans 3 fichiers (s) :

- `xxxx_sommets`
- `xxxx_centres`
- `xxxx_aretes`

- Sont chargés dans Scilab par la commande

```
[maillage]=lecture_maillage(xxxx);
```

- La variable `maillage` ainsi obtenue est une structure qui contient
  - `maillage.nom` : un nom qui décrit le maillage
  - `maillage.nb_vol` : nombre de volumes de contrôle
  - `maillage.nb_som` : nombre de sommets
  - `maillage.nb_are` : nombre d'arêtes
  - `maillage.sommets` : une matrice de taille `nb_som x 2`
  - `maillage.centres` : une matrice de taille `nb_vol x 2`
  - `maillage.aretes` : une matrice de taille `nb_are x 17`

- Sommets : coordonnées du sommet numéro  $i$

`maillage.sommets(i,_X), maillage.sommets(i,_Y)`

- Centres : coordonnées du centre du volume  $j$

`maillage.centres(j,_X), maillage.centres(j,_Y)`

- Arêtes : Pour l'arête numéro  $k$

- Numéros des deux sommets

`maillage.arestes(k,_DEB), maillage.arestes(k,_FIN)`

- Numéros des deux volumes  $\kappa$  et  $\varepsilon$

`maillage.arestes(k,_K), maillage.arestes(k,_L)`

- Mesure de l'arête  $|\sigma|$  et distance  $d_{\kappa\varepsilon}$

`maillage.arestes(k,_MES), maillage.arestes(k,_DKL)`

- Mesures des quarts de diamant

`maillage.arestes(k,_MES_K_DEB), ...`

- Label ( $>=0$  à l'intérieur,  $=-1$  bord Dirichlet,  $<-1$  bord Neumann)

`maillage.arestes(k,_LABEL).`

## LES JEUX DE DONNÉES :

Structure générale similaire au cas 1D

- Liste de jeux de données : `cas_test=list(...,...,...)`
- Chaque variable de cette liste est une structure `donnees`
  - `donnees.nom`
  - `donnees.source`
  - `donnees.bordD`
  - `donnees.bordN`
  - `donnees.coeff_k`
  - `donnees.uxacte`
  - `donnees.maillages` : donne (éventuellement) une liste de noms de maillages spécifiquement utilisables pour ce cas test.
  - + d'autres paramètres éventuellement utiles pour le calcul.

## FONCTIONS D'ASSEMBLAGE DES SCHÉMAS

- Syntaxe générale :  $[A, b] = \text{const\_schema}_{\textcolor{red}{xxxx}}(m, \text{donnees})$ 
  - Entrée :  $m$  est un maillage et  $\text{donnees}$  un jeu de données.
  - Sortie :  $A$  est la matrice du système et  $b$  le second membre.
- Trois schémas codés :
  - $\textcolor{red}{xxxx}=\text{VF4}$
  - $\textcolor{red}{xxxx}=\text{DDFV}$
  - $\textcolor{red}{xxxx}=\text{DDFV\_mat}$

### STRUCTURE DU PROGRAMME VF2D.sce

- Chargement des libraires de fonctions.
- Interrogation utilisateur :
  - Choix du cas test
  - Choix du maillage (la liste des maillages proposée peut dépendre du cas test)
  - S'il s'agit d'une famille de maillages : choix du niveau de raffinement.
  - Choix du schéma à utiliser (VF4 ou DDFV).
- Lecture du maillage
- Assemblage du schéma
- Résolution du système linéaire (par UMFPACK)
- Tracé de la solution approchée (et exacte si disponible) et évaluation de l'erreur.
- Eventuellement : tracé de la fonction de courant.

## STRUCTURE DU PROGRAMME `courbes_erreur2D.sce`

- Chargement des libraires de fonctions.
- Interrogation utilisateur :
  - Choix du cas test
  - Choix d'une **famille** de maillages
  - Choix des niveaux de raffinement min et max souhaités
  - Choix du schéma à utiliser (VF4 ou DDFV).
- Pour chaque maillage choisi :
  - Lecture du maillage
  - Assemblage du schéma
  - Résolution du système linéaire (par UMFPACK)
  - Evaluation et stockage de l'erreur.
- Tracé des courbes d'erreur en fonction du pas du maillage en échelle logarithmique.

# MISE EN OEUVRE SCILAB

## DESCRIPTION DU CODE 8/8

### Implémentation avec des boucles

extrait de [A,b]=const\_schema\_VF4\_boucles(m,donnees)

```
for i=1:m.nb_are

    centre(_X) = ( m.sommets(m.aretes(i,_DEB),_X)    ...
                    + m.sommets(m.aretes(i,_FIN),_X))/2;
    centre(_Y) = (m.sommets(m.aretes(i,_DEB),_Y)    ...
                    + m.sommets(m.aretes(i,_FIN),_Y))/2;

    coeff_diff = donnees.coeff_k(centre(_X),centre(_Y));

    tauKL = coeff_diff*m.aretes(i,_MES)/m.aretes(i,_DKL);

    A(m.aretes(i,_K),m.aretes(i,_K)) = A(m.aretes(i,_K),m.aretes(i,_K)) ...
                                         + tauKL;

    if (m.aretes(i,_L)>0) then
        A(m.aretes(i,_K),m.aretes(i,_L)) = - tauKL;
        A(m.aretes(i,_L),m.aretes(i,_L)) = A(m.aretes(i,_L),m.aretes(i,_L)) ...
                                         + tauKL;
        A(m.aretes(i,_L),m.aretes(i,_K)) = - tauKL;
    end;
```

## ③ SCHÉMA VF DE BASE POUR LAPLACE 2D

- Notations. Construction
- Analyse du schéma VF4
- Implémentation
- Extensions de VF4

## ④ MÉTHODE DDFV EN 2D - CAS LINÉAIRE

- Les limitations de VF4
- Construction du schéma
- Analyse du schéma
- Implémentation
- Le schéma m-DDFV

## ⑤ MÉTHODE DDFV EN 2D - CAS NON LINÉAIRE

- Construction du schéma
- Analyse du schéma
- m-DDFV dans le cas non-linéaire
- Construction et analyse d'un solveur

## PROBLÈME ISOTROPE HÉTÉROGÈNE

On veut résoudre

$$\begin{cases} -\operatorname{div}(k(x)\nabla u) = f, & \text{dans } \Omega, \\ u = 0, & \text{sur } \Omega. \end{cases}$$

avec  $k \in L^\infty(\Omega, \mathbb{R})$  et  $\inf_\Omega k > 0$ .

## PROBLÈME ISOTROPE HÉTÉROGÈNE

On veut résoudre

$$\begin{cases} -\operatorname{div}(k(x)\nabla u) = f, & \text{dans } \Omega, \\ u = 0, & \text{sur } \Omega. \end{cases}$$

avec  $k \in L^\infty(\Omega, \mathbb{R})$  et  $\inf_{\Omega} k > 0$ .

## SCHÉMA VF4

- Structure générale inchangée

$$\forall \kappa \in \mathcal{T}, \quad |\kappa|f_\kappa = \sum_{\sigma \in \mathcal{E}_\kappa} F_{\kappa,\sigma}(u^\tau),$$

il faut bien sûr changer la définition des flux :

$$F_{\kappa,\sigma}(u^\tau) = |\sigma|k_\sigma \frac{u_{\mathcal{L}} - u_\kappa}{d_{\kappa\mathcal{L}}}.$$

- **QUESTION :** Que prendre pour  $k_\sigma$  ?

## THÉORÈME

*Si on construit les  $k_\sigma$  de telle sorte que*

$$\sum_{\sigma \in \mathcal{E}} k_\sigma \mathbf{1}_{\mathcal{D}} \xrightarrow[\text{size}(T) \rightarrow 0]{} k, \quad \text{dans } L^2(\Omega),$$

*alors le schéma converge.*

## THÉORÈME

*Si on construit les  $k_\sigma$  de telle sorte que*

$$\sum_{\sigma \in \mathcal{E}} k_\sigma \mathbf{1}_{\mathcal{D}} \xrightarrow[\text{size}(\mathcal{T}) \rightarrow 0]{} k, \quad \text{dans } L^2(\Omega),$$

*alors le schéma converge.*

- OK (sans autre hypothèse) si on prend

$$k_\sigma = \frac{1}{|\mathcal{D}|} \int_{\mathcal{D}} k(x) dx.$$

- Si le maillage est tel que  $k$  est Lip. sur chaque diamant

$$k_\sigma = \frac{1}{|\sigma|} \int_{\sigma} k(x) dx, \quad \text{ou} \quad k_\sigma = k(x_{\mathcal{D}}), x_{\mathcal{D}} \in \mathcal{D}.$$

- Si le maillage est tel que  $k$  est Lip. sur chaque volume de contrôle

$$k_\sigma = \frac{d_{\mathcal{K}\sigma} k_{\mathcal{K}} + d_{\mathcal{L}\sigma} k_{\mathcal{L}}}{d_{\mathcal{K}\mathcal{L}}}, \quad \text{avec } k_{\mathcal{K}} = \frac{1}{|\mathcal{K}|} \int_{\mathcal{K}} k(x) dx, \quad \text{ou } k_{\mathcal{K}} = k(x_{\mathcal{K}}).$$

## LE CAS RÉGULIER

## PROPOSITION

Si  $k$  est Lipschitzienne sur  $\overline{\Omega}$  et que  $u$  est  $H^2$  sur chaque diamant, alors on a **convergence à l'ordre 1** comme pour le problème de Laplace.

▶ Estimation coeff reg VF4

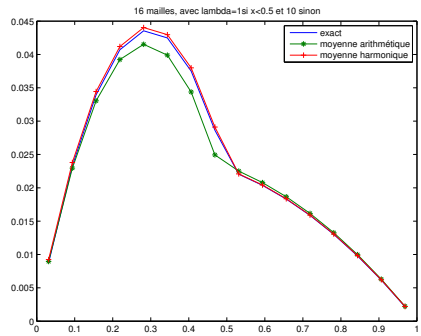
## LE CAS RÉGULIER PAR MORCEAUX

- Si  $k$  est seulement Lipschitzienne sur chaque volume de contrôle, on perd la convergence à l'ordre 1.
- On peut retrouver cette convergence optimale en choisissant

$$k_\sigma = \frac{d_{\kappa\mathcal{L}}}{\frac{d_{\kappa\sigma}}{k_\kappa} + \frac{d_{\mathcal{L}\sigma}}{k_{\mathcal{L}}}}.$$

## EXEMPLE 1D

- $k_\sigma = \text{moy. arithmétique}$   
ordre  $\frac{1}{2}$
- $k_\sigma = \text{moy. harmonique}$   
ordre 1



## D'où vient cette formule de moyenne harmonique ?

- La solution  $u$  est continue (au sens des traces sur les arêtes).
- Le gradient de  $u$  n'est pas continu.
- Mais, le **flux total**  $k(x)\nabla u \cdot \nu$  est continu (faiblement) aux arêtes.

## D'où vient cette formule de moyenne harmonique ?

- La solution  $u$  est continue (au sens des traces sur les arêtes).
- Le gradient de  $u$  n'est pas continu.
- Mais, le **flux total**  $k(x)\nabla u \cdot \nu$  est continu (faiblement) aux arêtes.
- On introduit une inconnue artificielle sur l'arête  $u_\sigma$ .
- On définit les flux venant de  $\kappa$  et de  $\mathcal{L}$

$$F_{\kappa,\sigma} = |\sigma| k_\kappa \frac{u_\sigma - u_\kappa}{d_{\kappa\sigma}}, \quad F_{\mathcal{L},\sigma} = |\sigma| k_{\mathcal{L}} \frac{u_\sigma - u_{\mathcal{L}}}{d_{\mathcal{L}\sigma}}.$$

## D'où vient cette formule de moyenne harmonique ?

- La solution  $u$  est continue (au sens des traces sur les arêtes).
- Le gradient de  $u$  n'est pas continu.
- Mais, le **flux total**  $k(x)\nabla u \cdot \nu$  est continu (faiblement) aux arêtes.
- On introduit une inconnue artificielle sur l'arête  $u_\sigma$ .
- On définit les flux venant de  $\kappa$  et de  $\mathcal{L}$

$$F_{\kappa,\sigma} = |\sigma| k_\kappa \frac{u_\sigma - u_\kappa}{d_{\kappa\sigma}}, \quad F_{\mathcal{L},\sigma} = |\sigma| k_{\mathcal{L}} \frac{u_\sigma - u_{\mathcal{L}}}{d_{\mathcal{L}\sigma}}.$$

- On **demande** la conservativité locale

$$F_{\kappa,\sigma} = -F_{\mathcal{L},\sigma}.$$

## D'où vient cette formule de moyenne harmonique ?

- La solution  $u$  est continue (au sens des traces sur les arêtes).
- Le gradient de  $u$  n'est pas continu.
- Mais, le **flux total**  $k(x)\nabla u \cdot \nu$  est continu (faiblement) aux arêtes.
- On introduit une inconnue artificielle sur l'arête  $u_\sigma$ .
- On définit les flux venant de  $\kappa$  et de  $\mathcal{L}$

$$F_{\kappa,\sigma} = |\sigma| k_\kappa \frac{u_\sigma - u_\kappa}{d_{\kappa\sigma}}, \quad F_{\mathcal{L},\sigma} = |\sigma| k_{\mathcal{L}} \frac{u_\sigma - u_{\mathcal{L}}}{d_{\mathcal{L}\sigma}}.$$

- On demande la conservativité locale

$$F_{\kappa,\sigma} = -F_{\mathcal{L},\sigma}.$$

- On en déduit la valeur de  $u_\sigma$  puis le flux numérique

$$\implies u_\sigma = \frac{\frac{k_\kappa}{d_{\kappa\sigma}} u_\kappa + \frac{k_{\mathcal{L}}}{d_{\mathcal{L}\sigma}} u_{\mathcal{L}}}{\frac{k_\kappa}{d_{\kappa\sigma}} + \frac{k_{\mathcal{L}}}{d_{\mathcal{L}\sigma}}},$$

$$\implies F_{\kappa\mathcal{L}} = |\sigma| \left( \frac{d_{\kappa\mathcal{L}}}{\frac{d_{\kappa\sigma}}{k_\kappa} + \frac{d_{\mathcal{L}\sigma}}{k_{\mathcal{L}}}} \right) \frac{u_{\mathcal{L}} - u_\kappa}{d_{\kappa\mathcal{L}}} \quad \text{▶ Estimation consistance}$$

- **Sauts de flux imposés :**

Si  $f = \rho(x)\delta_\Gamma$  où  $\Gamma$  est une courbe polygonale et si le maillage suit cette courbe (sinon il faut adapter).

$$|\kappa|f_\kappa \stackrel{\text{def}}{=} \sum_{\substack{\sigma \in \mathcal{E}_\kappa \\ \sigma \subset \Gamma}} |\sigma| \frac{d_{\mathcal{L}\sigma}}{d_{\kappa\sigma} + d_{\mathcal{L}\sigma}} \rho(x_\sigma).$$

- **Sauts de flux imposés :**

Si  $f = \rho(x)\delta_\Gamma$  où  $\Gamma$  est une courbe polygonale et si le maillage suit cette courbe (sinon il faut adapter).

$$|\kappa|f_\kappa \stackrel{\text{def}}{=} \sum_{\substack{\sigma \in \mathcal{E}_\kappa \\ \sigma \subset \Gamma}} |\sigma| \frac{d_{\mathcal{L}\sigma}}{d_{\kappa\sigma} + d_{\mathcal{L}\sigma}} \rho(x_\sigma).$$

- **Sauts d'inconnue imposés :**

On définit

$$F_{\kappa,\sigma} \stackrel{\text{def}}{=} |\sigma| \frac{u_{\kappa,\sigma} - u_\kappa}{d_{\kappa\sigma}},$$

$$F_{\mathcal{L},\sigma} \stackrel{\text{def}}{=} |\sigma| \frac{u_{\mathcal{L},\sigma} - u_{\mathcal{L}}}{d_{\mathcal{L}\sigma}}.$$

On impose

$$u_{\mathcal{L},\sigma} - u_{\kappa,\sigma} = S_\sigma \leftarrow \text{donnée du saut de } u$$

$$F_{\mathcal{L},\sigma} + F_{\kappa,\sigma} = 0 \leftarrow \text{continuité du flux.}$$

De ces deux égalités, on tire les formules donnant  $u_{\kappa,\sigma}$  et  $u_{\mathcal{L},\sigma}$  en fonction de  $u_\kappa$ ,  $u_{\mathcal{L}}$  et de  $S_\sigma$ , on en déduit les flux numériques.

# UN EXEMPLE CONCRET :

## ÉCOULEMENT DARCÉEN EN MILIEU POREUX FRACTURÉ

### CONTEXTE :

- Une matrice poreuse (2D) avec une perméabilité isotrope et constante ( $= 1$  pour simplifier).
- Des fractures de petite épaisseur  $b$  dans le domaine dans laquelle la perméabilité  $k$  est inférieure à celle de la matrice.

### MODÈLE :

- On “remplace” les fractures par des lignes de discontinuité en négligeant leur épaisseur.
- On rend compte de l’écoulement interne à la fracture par un modèle asymptotique :
  - **Hyp 1** : L’écoulement est seulement transverse à la fracture :  
⇒ en tout point le flux entrant transversalement dans la fracture est égal au flux sortant.
  - **Hyp 2** : La pression est essentiellement linéaire dans la direction transverse de la fracture.
- Sur les fractures, on écrit donc

$$\begin{cases} \llbracket \nabla u \cdot \mathbf{n} \rrbracket = 0, \\ \nabla u \cdot \mathbf{n} = -\frac{k}{b} \llbracket u \rrbracket. \end{cases}$$

# UN EXEMPLE CONCRET

ÉCOULEMENT D'ARCÉEN EN MILIEU PORCEUX FRACTURÉ

$$\begin{cases} \llbracket \nabla u \cdot \mathbf{n} \rrbracket = 0, \\ \nabla u \cdot \mathbf{n} = -k \frac{\llbracket u \rrbracket}{b}. \end{cases} \quad (\text{S})$$

## RAPPEL

$$F_{\kappa,\sigma} \stackrel{\text{def}}{=} |\sigma| \frac{u_{\kappa,\sigma} - u_\kappa}{d_{\kappa\sigma}},$$
$$F_{\mathcal{L},\sigma} \stackrel{\text{def}}{=} |\sigma| \frac{u_{\mathcal{L},\sigma} - u_{\mathcal{L}}}{d_{\mathcal{L}\sigma}}.$$

Les conditions (S) se traduisent par

$$F_{\kappa,\mathcal{L}} \stackrel{\text{def}}{=} F_{\kappa,\sigma} = -F_{\mathcal{L},\sigma} = -|\sigma| k \frac{u_{\mathcal{L},\sigma} - u_{\kappa,\sigma}}{b}.$$

On peut alors éliminer  $u_{\kappa,\sigma}$  et  $u_{\mathcal{L},\sigma}$  et obtenir

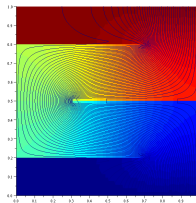
$$F_{\kappa,\mathcal{L}} = -|\sigma| \frac{\beta d_{\kappa\mathcal{L}}}{1 + \beta d_{\kappa\mathcal{L}}} \frac{u_{\mathcal{L}} - u_\kappa}{d_{\kappa\mathcal{L}}},$$

avec  $\beta = \frac{k}{b}$ .

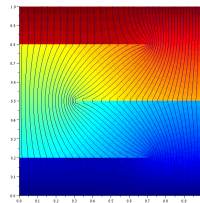
# UN EXEMPLE CONCRET

## ÉCOULEMENT DARCÉEN EN MILIEU POREUX FRACTURÉ

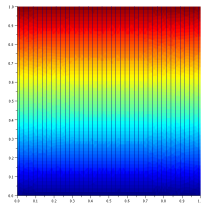
### RÉSULTATS NUMÉRIQUES



$$\beta = 0$$



$$\beta = 1$$



$$\beta = +\infty$$

# PLAN

## 3 SCHÉMA VF DE BASE POUR LAPLACE 2D

- Notations. Construction
- Analyse du schéma VF4
- Implémentation
- Extensions de VF4

## 4 MÉTHODE DDFV EN 2D - CAS LINÉAIRE

- Les limitations de VF4
- Construction du schéma
- Analyse du schéma
- Implémentation
- Le schéma m-DDFV

## 5 MÉTHODE DDFV EN 2D - CAS NON LINÉAIRE

- Construction du schéma
- Analyse du schéma
- m-DDFV dans le cas non-linéaire
- Construction et analyse d'un solveur

# LIMITATIONS DE VF4

## COMMENT TROUVER DES MAILLAGES ORTHOGONaux ADMISSIBLES

- Les maillages cartésiens : les volumes de contrôle sont des parallèlipipèdes rectangles et  $x_{\kappa}$  est le centre de gravité.

# LIMITATIONS DE VF4

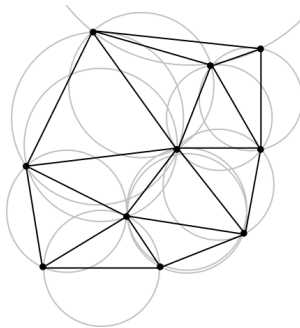
COMMENT TROUVER DES MAILLAGES ORTHOGONAUX ADMISSIBLES

- Les maillages cartésiens :
- Les maillages triangles conformes :

On prend  $x_\kappa$  = centre du cercle circonscrit ; **MAIS :**

- $x_\kappa \in \kappa$  n'est pas garanti (même  $x_\kappa \in \Omega$  n'est pas certain).
- On peut avoir  $x_\kappa = x_\mathcal{L}$  pour  $\kappa \neq \mathcal{L} \Rightarrow d_{\kappa\mathcal{L}} = 0$ !
- Généralisation possible au cas où

$$(x_\mathcal{L} - x_\kappa) \cdot \nu_{\kappa\mathcal{L}} > 0 \Leftrightarrow \text{Condition de Delaunay}$$



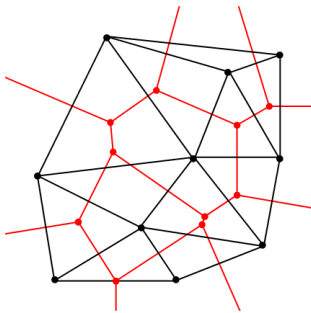
- Pour presque toute famille de points dans le plan, il existe une unique triangulation de Delaunay correspondant.

# LIMITATIONS DE VF4

## COMMENT TROUVER DES MAILLAGES ORTHOGONAUX ADMISSIBLES

- Construction duale :

Diagramme de Voronoï d'un ensemble de points.



- Il existe des algorithmes assez efficaces de triangulation de Delaunay et de construction du diagramme de Voronoï.

# LIMITATIONS DE VF4

DANS BEAUCOUP DE NOMBREUX CAS ...

- Sur un maillage triangle non conforme : la condition d'orthogonalité est impossible à remplir.
- Sur un maillage quadrangle non cartésien : Idem

# LIMITATIONS DE VF4

DANS BEAUCOUP DE NOMBREUX CAS ...

- Sur un maillage triangle non conforme : la condition d'orthogonalité est impossible à remplir.
- Sur un maillage quadrangle non cartésien : Idem
- Dans le cas anisotrope homogène :

$$-\operatorname{div}(A \nabla u) = f,$$

la condition devient la *A-orthogonalité*

$$x_{\mathcal{L}} - x_{\kappa} \parallel A \boldsymbol{\nu}_{\kappa \mathcal{L}} \iff A^{-1}(x_{\mathcal{L}} - x_{\kappa}) \perp \sigma.$$

~~> Le choix du maillage dépend du problème à résoudre.

# LIMITATIONS DE VF4

DANS BEAUCOUP DE NOMBREUX CAS ...

- Sur un maillage triangle non conforme : la condition d'orthogonalité est impossible à remplir.
- Sur un maillage quadrangle non cartésien : Idem
- Dans le cas anisotrope homogène :

$$-\operatorname{div}(A \nabla u) = f,$$

la condition devient la **A-orthogonalité**

$$x_{\mathcal{L}} - x_{\kappa} \parallel A \boldsymbol{\nu}_{\kappa \mathcal{L}} \iff A^{-1}(x_{\mathcal{L}} - x_{\kappa}) \perp \sigma.$$

~~> Le choix du maillage dépend du problème à résoudre.

- Dans le cas anisotrope hétérogène :

$$-\operatorname{div}(A(x) \nabla u) = f,$$

la condition va dépendre de  $x$  ...

- Sur un maillage triangle non conforme : la condition d'orthogonalité est impossible à remplir.
- Sur un maillage quadrangle non cartésien : Idem
- Dans le cas anisotrope homogène :

$$-\operatorname{div}(A \nabla u) = f,$$

la condition devient la **A-orthogonalité**

$$x_{\mathcal{L}} - x_{\kappa} \parallel A \boldsymbol{\nu}_{\kappa \mathcal{L}} \iff A^{-1}(x_{\mathcal{L}} - x_{\kappa}) \perp \sigma.$$

~~> Le choix du maillage dépend du problème à résoudre.

- Dans le cas anisotrope hétérogène :

$$-\operatorname{div}(A(x) \nabla u) = f,$$

la condition va dépendre de  $x$  ...

- Pour des problèmes non linéaires :

$$-\operatorname{div}(\varphi(\nabla u)) = f,$$

il est impossible d'approcher le flux par un schéma à deux points.

## LE GRADIENT DISCRET VF4 N'EST PAS BON

- Il n'approche correctement le gradient que dans une direction.
- La convergence du gradient est toujours en un sens faible.

## LE GRADIENT DISCRET VF4 N'EST PAS BON

- Il n'approche correctement le gradient que dans une direction.
- La convergence du gradient est toujours en un sens faible.

### BILAN :

Il faut utiliser plus de 2 inconnues pour approcher les flux  
≈ approcher le gradient de la solution dans toutes les directions

- Schémas cell-centered : On utilise les inconnues sur les mailles voisines.
- Schémas primal/dual : On utilise de nouvelles inconnues aux sommets (maillage dual) ⇒ DDFV
- Schémas mimétiques/hybrides/mixtes : On utilise des inconnues aux arêtes.

# PLAN

## 3 SCHÉMA VF DE BASE POUR LAPLACE 2D

- Notations. Construction
- Analyse du schéma VF4
- Implémentation
- Extensions de VF4

## 4 MÉTHODE DDFV EN 2D - CAS LINÉAIRE

- Les limitations de VF4
- Construction du schéma
- Analyse du schéma
- Implémentation
- Le schéma m-DDFV

## 5 MÉTHODE DDFV EN 2D - CAS NON LINÉAIRE

- Construction du schéma
- Analyse du schéma
- m-DDFV dans le cas non-linéaire
- Construction et analyse d'un solveur

- Problème elliptique scalaire de la forme

$$-\operatorname{div}(A(x)\nabla u) = f, \text{ dans } \Omega,$$

avec conditions de Dirichlet homogène sur le bord et  
 $x \mapsto A(x) \in M_2(\mathbb{R})$  vérifiant une condition de coercivité usuelle.

- Problème elliptique scalaire de la forme

$$-\operatorname{div}(A(x)\nabla u) = f, \text{ dans } \Omega,$$

avec conditions de Dirichlet homogène sur le bord et  
 $x \mapsto A(x) \in M_2(\mathbb{R})$  vérifiant une condition de coercivité usuelle.

- Maillages généraux :

- Possible non conformité des volumes de contrôle.
- Condition d'orthogonalité non satisfaite (et pas nécessairement pertinente !)

# CONTEXTE

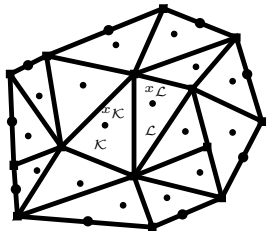
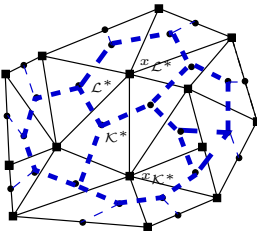
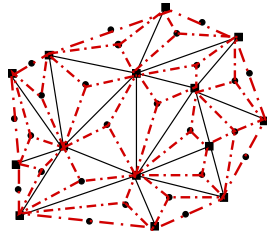
- Problème elliptique scalaire de la forme

$$-\operatorname{div}(A(x)\nabla u) = f, \text{ dans } \Omega,$$

avec conditions de Dirichlet homogène sur le bord et  
 $x \mapsto A(x) \in M_2(\mathbb{R})$  vérifiant une condition de coercivité usuelle.

- Maillages généraux :
  - Possible non conformité des volumes de contrôle.
  - Condition d'orthogonalité non satisfaite (et pas nécessairement pertinente !)
- Idées de base :
  - Mettre des inconnues aux centres **et aux sommets**.
  - Rajouter aussi des équations aux sommets.
- C'est donc plus cher que VF4 ( $\approx 2$  fois plus d'inconnues) mais bien plus robuste et efficace.

(Hermeline '00) (Domelevo-Omnes '05) (Andreianov-Boyer-Hubert '07)  
MAILLAGES

mesh  $\mathfrak{M}$ mesh  $\mathfrak{M}^*$ mesh  $\mathfrak{D}$ 

Maillage primal  
 $\rightsquigarrow (u_\kappa)_{\kappa \in \mathfrak{M}}$

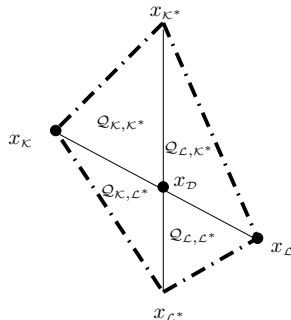
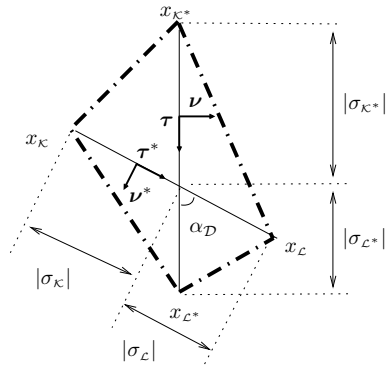
Maillage dual  
 $\rightsquigarrow (u_{\kappa^*})_{\kappa^* \in \mathfrak{M}^*}$

Maillage diamant  
 $\rightsquigarrow$  gradient discret

SOLUTION APPROCHÉE :

$$u^\tau = \left( (u_\kappa)_\kappa, (u_{\kappa^*})_{\kappa^*} \right)$$

### QUELQUES NOTATIONS



### RÉGULARITÉ DES MAILLAGES

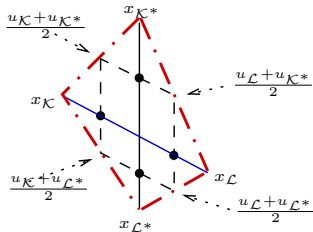
$$\sin \alpha_T \stackrel{\text{def}}{=} \min_{\mathcal{D} \in \mathfrak{D}} |\sin \alpha_{\mathcal{D}}|,$$

$$\text{reg}(T) \stackrel{\text{def}}{=} \max \left( \frac{1}{\alpha_T}, \max_{\mathcal{D} \in \mathfrak{D}} \max_{\mathcal{Q} \in \mathfrak{Q}_{\mathcal{D}}} \frac{d_{\mathcal{D}}}{\sqrt{|\mathcal{Q}|}}, \max_{\substack{\kappa \in \mathfrak{M} \\ \mathcal{D} \in \mathfrak{D}_{\kappa}}} \frac{d_{\kappa}}{d_{\mathcal{D}}}, \max_{\substack{\kappa^* \in \mathfrak{M}^* \\ \mathcal{D} \in \mathfrak{D}_{\kappa^*}}} \frac{d_{\kappa^*}}{d_{\mathcal{D}}} \right).$$

# SCHÉMA DDFV POUR $-\operatorname{div}(A(x)\nabla u) = f$

## GRADIENT DISCRET

$$\nabla_{\mathcal{D}}^{\tau} u^{\tau} = \frac{1}{\sin \alpha_{\mathcal{D}}} \left( \frac{u_{\mathcal{L}} - u_{\mathcal{K}}}{|\sigma^*|} \boldsymbol{\nu} + \frac{u_{\mathcal{L}^*} - u_{\mathcal{K}^*}}{|\sigma|} \boldsymbol{\nu}^* \right), \quad \forall \text{ diamant } \mathcal{D}.$$



## REMARQUE

$$|\sigma| = d_{\mathcal{K}^* \mathcal{L}^*},$$

$$|\sigma^*| = d_{\mathcal{K} \mathcal{L}}.$$

Définition équivalente  $\nabla_{\mathcal{D}}^{\tau} u^{\tau} = \frac{1}{2|\mathcal{D}|} \left( |\sigma|(u_{\mathcal{L}} - u_{\mathcal{K}}) \boldsymbol{\nu} + |\sigma^*|(u_{\mathcal{L}^*} - u_{\mathcal{K}^*}) \boldsymbol{\nu}^* \right)$ ,

Autre définition équivalente  $\begin{cases} \nabla_{\mathcal{D}}^{\tau} u^{\tau} \cdot (x_{\mathcal{L}} - x_{\mathcal{K}}) = u_{\mathcal{L}} - u_{\mathcal{K}}, \\ \nabla_{\mathcal{D}}^{\tau} u^{\tau} \cdot (x_{\mathcal{L}^*} - x_{\mathcal{K}^*}) = u_{\mathcal{L}^*} - u_{\mathcal{K}^*}. \end{cases}$

# SCHÉMA DDFV POUR $-\operatorname{div}(A(x)\nabla u) = f$

## GRADIENT DISCRET

$$\nabla_{\mathcal{D}}^{\tau} u^{\tau} = \frac{1}{\sin \alpha_{\mathcal{D}}} \left( \frac{u_{\mathcal{L}} - u_{\mathcal{K}}}{|\sigma^*|} \boldsymbol{\nu} + \frac{u_{\mathcal{L}^*} - u_{\mathcal{K}^*}}{|\sigma|} \boldsymbol{\nu}^* \right), \quad \forall \text{ diamant } \mathcal{D}.$$

## MÉTHODE DDFV

Formulation Volumes Finis :

$$a_{\mathcal{K}}(u^{\tau}) \stackrel{\text{def}}{=} - \sum_{\sigma \in \mathcal{E}_{\mathcal{K}}} |\sigma| (A_{\mathcal{D}} \nabla_{\mathcal{D}}^{\tau} u^{\tau}, \boldsymbol{\nu}_{\mathcal{K}}) = |\mathcal{K}| f_{\mathcal{K}}, \quad \forall \mathcal{K} \in \mathfrak{M},$$

$$a_{\mathcal{K}^*}(u^{\tau}) \stackrel{\text{def}}{=} - \sum_{\sigma^* \in \mathcal{E}_{\mathcal{K}^*}} |\sigma^*| (A_{\mathcal{D}} \nabla_{\mathcal{D}}^{\tau} u^{\tau}, \boldsymbol{\nu}_{\mathcal{K}^*}) = |\mathcal{K}^*| f_{\mathcal{K}^*}, \quad \forall \mathcal{K}^* \in \mathfrak{M}^*,$$

où

$$A_{\mathcal{D}} = \frac{1}{|\mathcal{D}|} \int_{\mathcal{D}} A(x) dx, \text{ perméabilité approchée sur le diamant}$$

# SCHÉMA DDFV POUR $-\operatorname{div}(A(x)\nabla u) = f$

## GRADIENT DISCRET

$$\nabla_{\mathcal{D}}^{\tau} u^{\tau} = \frac{1}{\sin \alpha_{\mathcal{D}}} \left( \frac{u_{\mathcal{L}} - u_{\kappa}}{|\sigma^*|} \boldsymbol{\nu} + \frac{u_{\mathcal{L}^*} - u_{\kappa^*}}{|\sigma|} \boldsymbol{\nu}^* \right), \quad \forall \text{ diamant } \mathcal{D}.$$

## MÉTHODE DDFV

Formulation Volumes Finis :

$$a_{\kappa}(u^{\tau}) \stackrel{\text{def}}{=} - \sum_{\sigma \in \mathcal{E}_{\kappa}} |\sigma| (A_{\mathcal{D}} \nabla_{\mathcal{D}}^{\tau} u^{\tau}, \boldsymbol{\nu}_{\kappa}) = |\kappa| f_{\kappa}, \quad \forall \kappa \in \mathfrak{M},$$

$$a_{\kappa^*}(u^{\tau}) \stackrel{\text{def}}{=} - \sum_{\sigma^* \in \mathcal{E}_{\kappa^*}} |\sigma^*| (A_{\mathcal{D}} \nabla_{\mathcal{D}}^{\tau} u^{\tau}, \boldsymbol{\nu}_{\kappa^*}) = |\kappa^*| f_{\kappa^*}, \quad \forall \kappa^* \in \mathfrak{M}^*,$$

## PROPOSITION (INTÉGRATION PAR PARTIES DISCRÈTES)

Pour tous  $u^{\tau}, v^{\tau} \in \mathbb{R}^{\mathcal{T}}$ , on a

$$\sum_{\kappa \in \mathfrak{M}} a_{\kappa}(u^{\tau}) v_{\kappa} + \sum_{\kappa^* \in \mathfrak{M}^*} a_{\kappa^*}(u^{\tau}) v_{\kappa^*} = 2 \sum_{\mathcal{D} \in \mathfrak{D}} |\mathcal{D}| (A_{\mathcal{D}} \nabla_{\mathcal{D}}^{\tau} u^{\tau}, \nabla_{\mathcal{D}}^{\tau} v^{\tau}).$$

# SCHÉMA DDFV POUR $-\operatorname{div}(A(x)\nabla u) = f$

## GRADIENT DISCRET

$$\nabla_{\mathcal{D}}^{\tau} u^{\tau} = \frac{1}{\sin \alpha_{\mathcal{D}}} \left( \frac{u_{\mathcal{L}} - u_{\kappa}}{|\sigma^*|} \boldsymbol{\nu} + \frac{u_{\mathcal{L}^*} - u_{\kappa^*}}{|\sigma|} \boldsymbol{\nu}^* \right), \quad \forall \text{ diamant } \mathcal{D}.$$

## MÉTHODE DDFV

### PROPOSITION (INTÉGRATION PAR PARTIES DISCRÈTES)

Pour tous  $u^{\tau}, v^{\tau} \in \mathbb{R}^{\mathcal{T}}$ , on a

$$\sum_{\kappa \in \mathfrak{M}} a_{\kappa}(u^{\tau}) v_{\kappa} + \sum_{\kappa^* \in \mathfrak{M}^*} a_{\kappa^*}(u^{\tau}) v_{\kappa^*} = 2 \sum_{\mathcal{D} \in \mathfrak{D}} |\mathcal{D}| (A_{\mathcal{D}} \nabla_{\mathcal{D}}^{\tau} u^{\tau}, \nabla_{\mathcal{D}}^{\tau} v^{\tau}).$$

Formulation équivalente (**Dualité Discrète**) :

On cherche  $u^{\tau} \in \mathbb{R}^{\mathcal{T}}$  tel que  $\forall v^{\tau} \in \mathbb{R}^{\mathcal{T}}$ ,

$$2 \sum_{\mathcal{D} \in \mathfrak{D}} |\mathcal{D}| (A_{\mathcal{D}} \nabla_{\mathcal{D}}^{\tau} u^{\tau}, \nabla_{\mathcal{D}}^{\tau} v^{\tau}) = \sum_{\kappa \in \mathfrak{M}} |\kappa| f_{\kappa} v_{\kappa} + \sum_{\kappa^* \in \mathfrak{M}^*} |\kappa^*| f_{\kappa^*} v_{\kappa^*}.$$

## 3 SCHÉMA VF DE BASE POUR LAPLACE 2D

- Notations. Construction
- Analyse du schéma VF4
- Implémentation
- Extensions de VF4

## 4 MÉTHODE DDFV EN 2D - CAS LINÉAIRE

- Les limitations de VF4
- Construction du schéma
- Analyse du schéma
- Implémentation
- Le schéma m-DDFV

## 5 MÉTHODE DDFV EN 2D - CAS NON LINÉAIRE

- Construction du schéma
- Analyse du schéma
- m-DDFV dans le cas non-linéaire
- Construction et analyse d'un solveur

## PROPOSITION (INTÉGRATION PAR PARTIES DISCRÈTES)

Pour tous  $u^\tau, v^\tau \in \mathbb{R}^\mathcal{T}$ , on a

$$\sum_{\kappa \in \mathfrak{M}} a_\kappa(u^\tau) v_\kappa + \sum_{\kappa^* \in \mathfrak{M}^*} a_{\kappa^*}(u^\tau) v_{\kappa^*} = 2 \sum_{\mathcal{D} \in \mathfrak{D}} |\mathcal{D}| (A_{\mathcal{D}} \nabla_{\mathcal{D}}^\tau u^\tau, \nabla_{\mathcal{D}}^\tau v^\tau).$$

L'application

$$a : u^\tau \mapsto a(u^\tau) \stackrel{\text{def}}{=} \left( (a_\kappa(u^\tau))_\kappa, (a_{\kappa^*}(u^\tau))_{\kappa^*} \right) \in \mathbb{R}^\mathcal{T},$$

est donc linéaire et coercive (si toutes les matrices  $A_{\mathcal{D}}$  le sont) car

$$\|u^\tau\|_{1,\tau} \stackrel{\text{def}}{=} \left( \sum_{\mathcal{D} \in \mathfrak{D}} |\mathcal{D}| |\nabla_{\mathcal{D}}^\tau u^\tau|^2 \right)^{\frac{1}{2}}$$

est une norme sur  $\mathbb{R}^\mathcal{T}$ .

- La formule d'intégration par parties discrète avec  $v^\tau = u^\tau$  donne

$$2 \sum_{\mathcal{D} \in \mathfrak{D}} |\mathcal{D}| (A_{\mathcal{D}} \nabla_{\mathcal{D}}^\tau u^\tau, \nabla_{\mathcal{D}}^\tau u^\tau) = \sum_{\kappa \in \mathfrak{M}} |\kappa| f_\kappa u_\kappa + \sum_{\kappa^* \in \mathfrak{M}^*} |\kappa^*| f_{\kappa^*} u_{\kappa^*}.$$

- D'où

$$\alpha \|u^\tau\|_{1,\mathcal{T}}^2 \leq \|f\|_{L^2} (\|u^{\mathfrak{m}}\|_{L^2} + \|u^{\mathfrak{m}^*}\|_{L^2}).$$

### THÉORÈME (INÉGALITÉ DE POINCARÉ ▶ Preuve)

*Il existe une constante  $C$  dépendant de  $\Omega$  et de  $\text{reg}(\mathcal{T})$  telle que*

$$\forall u^\tau \in \mathbb{R}^{\mathcal{T}}, \quad \|u^{\mathfrak{m}}\|_{L^2} + \|u^{\mathfrak{m}^*}\|_{L^2} \leq C \|u^\tau\|_{1,\mathcal{T}}.$$

CONCLUSION : La solution vérifie  $\|u^\tau\|_{1,\mathcal{T}} \leq C \|f\|_{L^2}$ .

## THÉORÈME

Soit  $\mathcal{T}_n$  une suite de maillages DDFV, telle que  $\text{size}(\mathcal{T}_n) \rightarrow 0$  et  $\text{reg}(\mathcal{T}_n)$  est bornée.

Alors, la solution  $u^{\mathcal{T}_n}$  du schéma converge vers la solution exacte de la façon suivante

$$u^{\mathfrak{M}_n} \xrightarrow[n \rightarrow \infty]{} u \text{ dans } L^2(\Omega),$$

$$u^{\mathfrak{M}_n^*} \xrightarrow[n \rightarrow \infty]{} u \text{ dans } L^2(\Omega),$$

$$\nabla^{\mathcal{T}_n} u^{\mathcal{T}_n} \xrightarrow[n \rightarrow \infty]{} \nabla u \text{ dans } (L^2(\Omega))^2.$$

REMARQUE : On a convergence **forte** des gradients.

▶ Preuve convergence

ON SUPPOSE QUE  $A$  EST RÉGULIÈRE PAR RAPPORT À  $x$ 

- Equation de Laplace (Domelevo - Omnès, 05)  
⇒ Convergence à l'ordre 1 de la solution et du gradient + des résultats récents de super-convergence dans  $L^2$  (Omnès, 10)
- Cas général : (Andreianov - B. - Hubert, 07)

## THÉORÈME

On suppose que  $u \in H^2(\Omega)$  et  $x \mapsto A(x)$  est Lipschitzienne alors il existe  $C(\text{reg}(\mathcal{T}))$  telle que on a

$$\|u - u^{\mathfrak{M}}\|_{L^2} + \|u - u^{\mathfrak{M}^*}\|_{L^2} + \|\nabla u - \nabla^\tau u^\tau\|_{L^2} \leq C \text{size}(\mathcal{T}).$$

## 3 SCHÉMA VF DE BASE POUR LAPLACE 2D

- Notations. Construction
- Analyse du schéma VF4
- Implémentation
- Extensions de VF4

## 4 MÉTHODE DDFV EN 2D - CAS LINÉAIRE

- Les limitations de VF4
- Construction du schéma
- Analyse du schéma
- Implémentation**
- Le schéma m-DDFV

## 5 MÉTHODE DDFV EN 2D - CAS NON LINÉAIRE

- Construction du schéma
- Analyse du schéma
- m-DDFV dans le cas non-linéaire
- Construction et analyse d'un solveur

- La matrice est construite en parcourant les arêtes (i.e. les diamants). Pour chacune de ces arêtes, on assemble  $4 \times 4$  termes.
- Stencil :
  - Indépendant du tenseur de diffusion.
  - La ligne correspondant à une inconnue  $u_\kappa$  a au plus  $2N + 1$  coefficients non nuls où  $N$  est le nombre d'arêtes de  $\kappa$ .
- La matrice est symétrique définie positive.
- Dans le cas d'un maillage orthogonal admissible, le système se découple en deux schémas VF4.
- Possibilité de résoudre le schéma par décomposition de domaine sans recouvrement.(B.-Hubert-Krell, '10)

## 3 SCHÉMA VF DE BASE POUR LAPLACE 2D

- Notations. Construction
- Analyse du schéma VF4
- Implémentation
- Extensions de VF4

## 4 MÉTHODE DDFV EN 2D - CAS LINÉAIRE

- Les limitations de VF4
- Construction du schéma
- Analyse du schéma
- Implémentation
- Le schéma m-DDFV

## 5 MÉTHODE DDFV EN 2D - CAS NON LINÉAIRE

- Construction du schéma
- Analyse du schéma
- m-DDFV dans le cas non-linéaire
- Construction et analyse d'un solveur

## OBJECTIFS

- Prendre en compte les discontinuités de coefficients dans le problème sans perdre la précision.
- Possibilité de faire fonctionner la méthode sur des problèmes non-linéaires.
- Les discontinuités peuvent avoir lieu à travers
  - Les arêtes primales.
  - Les arêtes duales.
  - Les deux ...
- On veut conserver le même stencil que pour DDFV.

### OBJECTIFS

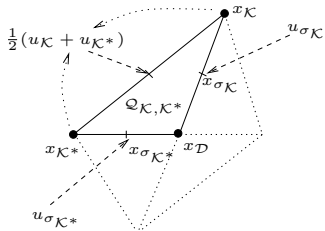
- Prendre en compte les discontinuités de coefficients dans le problème sans perdre la précision.
- Possibilité de faire fonctionner la méthode sur des problèmes non-linéaires.
- Les discontinuités peuvent avoir lieu à travers
  - Les arêtes primales.
  - Les arêtes duales.
  - Les deux ...
- On veut conserver le même stencil que pour DDFV.

### PRINCIPE GÉNÉRAL

- On s'inspire du travail effectué pour VF4 :
  - On introduit des inconnues artificielles bien choisies sur les arêtes.
  - On demande une forme de conservativité locale des flux.
  - On élimine les inconnues intermédiaires et on obtient des flux numériques qui ne dépendent que des inconnues principales du problème.
- Il faut bien tenir compte de la géométrie particulière du schéma.

►  $\nabla_{\mathcal{D}}^{\mathcal{N}} u^{\tau}$  est constant sur chaque quart de diamant

$$\nabla_{\mathcal{D}}^{\mathcal{N}} u^{\tau} = \sum_{\mathcal{Q} \in \mathfrak{Q}_{\mathcal{D}}} 1_{\mathcal{Q}} \nabla_{\mathcal{Q}}^{\mathcal{N}} u^{\tau},$$



$$\begin{aligned} \nabla_{Q_{K,K*}}^{\mathcal{N}} u^{\tau} &= \frac{2}{\sin \alpha_{\mathcal{D}}} \left( \frac{u_{\sigma_K} - \frac{1}{2}(u_K + u_{K*})}{|\sigma_K|} \boldsymbol{\nu} \right. \\ &\quad \left. + \frac{u_{\sigma_K} - \frac{1}{2}(u_K + u_{K*})}{|\sigma_{K*}|} \boldsymbol{\nu}^* \right) \end{aligned}$$

$$\leadsto \nabla_{\mathcal{Q}}^{\mathcal{N}} u^{\tau} = \nabla_{\mathcal{D}}^{\tau} u^{\tau} + B_{\mathcal{Q}} \delta^{\mathcal{D}}, \forall \mathcal{Q} \subset \mathcal{D}.$$

- $\delta^{\mathcal{D}} = {}^t(\delta_K^{\mathcal{D}}, \delta_L^{\mathcal{D}}, \delta_{K*}^{\mathcal{D}}, \delta_{L*}^{\mathcal{D}}) \in \mathbb{R}^4$  est à déterminer.
- $B_{\mathcal{Q}}$  est une matrice  $2 \times 4$  qui ne dépend que de la géométrie.

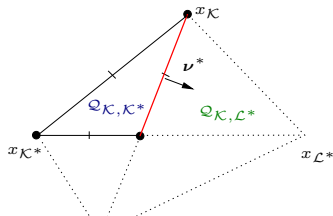
$$B_{Q_{K,K*}} = \frac{2}{\sin \alpha_{\mathcal{D}}} \left( \frac{\boldsymbol{\nu}^*}{|\sigma_{K*}|}, 0, \frac{\boldsymbol{\nu}}{|\sigma_K|}, 0 \right) = \frac{1}{|Q_{K,K*}|} (|\sigma_K| \boldsymbol{\nu}^*, 0, |\sigma_{K*}| \boldsymbol{\nu}, 0).$$

## ON DEMANDE LA CONSERVATIVITÉ DES FLUX NUMÉRIQUES

On note

$$A_{\mathcal{Q}} \stackrel{\text{def}}{=} \frac{1}{|\mathcal{Q}|} \int_{\mathcal{Q}} A(x) dx.$$

On cherche à déterminer  $\delta^{\mathcal{D}} \in \mathbb{R}^4$  tel que



$$(A_{Q_{K,K^*}} (\nabla_{\mathcal{D}}^\tau u^\tau + B_{Q_{K,K^*}} \delta^{\mathcal{D}}), \nu^*) = (A_{Q_{K,L^*}} (\nabla_{\mathcal{D}}^\tau u^\tau + B_{Q_{K,L^*}} \delta^{\mathcal{D}}), \nu^*)$$

## ON DEMANDE LA CONSERVATIVITÉ DES FLUX NUMÉRIQUES

On note

$$A_{\mathcal{Q}} \stackrel{\text{def}}{=} \frac{1}{|\mathcal{Q}|} \int_{\mathcal{Q}} A(x) dx.$$

On cherche à déterminer  $\delta^D \in \mathbb{R}^4$  tel que

$$\left\{ \begin{array}{l} (A_{\mathcal{Q}_{K,K^*}} (\nabla_D^\tau u^\tau + B_{\mathcal{Q}_{K,K^*}} \delta^D), \nu^*) = (A_{\mathcal{Q}_{K,L^*}} (\nabla_D^\tau u^\tau + B_{\mathcal{Q}_{K,L^*}} \delta^D), \nu^*) \\ (A_{\mathcal{Q}_{L,K^*}} (\nabla_D^\tau u^\tau + B_{\mathcal{Q}_{L,K^*}} \delta^D), \nu^*) = (A_{\mathcal{Q}_{L,L^*}} (\nabla_D^\tau u^\tau + B_{\mathcal{Q}_{L,L^*}} \delta^D), \nu^*) \\ (A_{\mathcal{Q}_{K,K^*}} (\nabla_D^\tau u^\tau + B_{\mathcal{Q}_{K,K^*}} \delta^D), \nu) = (A_{\mathcal{Q}_{L,K^*}} (\nabla_D^\tau u^\tau + B_{\mathcal{Q}_{L,K^*}} \delta^D), \nu) \\ (A_{\mathcal{Q}_{K,L^*}} (\nabla_D^\tau u^\tau + B_{\mathcal{Q}_{K,L^*}} \delta^D), \nu) = (A_{\mathcal{Q}_{L,L^*}} (\nabla_D^\tau u^\tau + B_{\mathcal{Q}_{L,L^*}} \delta^D), \nu) \end{array} \right. \iff \sum_{\mathcal{Q} \in \mathfrak{Q}_D} |\mathcal{Q}|^t B_{\mathcal{Q}} \cdot A_{\mathcal{Q}} (\nabla_D^\tau u^\tau + B_{\mathcal{Q}} \delta^D) = 0.$$

## DANS LE CAS LINÉAIRE

$$\underbrace{\left( \sum_{\mathcal{Q} \in \mathfrak{Q}_D} |\mathcal{Q}|^t B_{\mathcal{Q}} A_{\mathcal{Q}} B_{\mathcal{Q}} \right)}_{\text{matrice SDP}} \delta^D = \text{second membre linéaire en } \nabla_D^\tau u^\tau.$$

## ON DEMANDE LA CONSERVATIVITÉ DES FLUX NUMÉRIQUES

On note

$$A_{\mathcal{Q}} \stackrel{\text{def}}{=} \frac{1}{|\mathcal{Q}|} \int_{\mathcal{Q}} A(x) dx.$$

On cherche à déterminer  $\delta^{\mathcal{D}} \in \mathbb{R}^4$  tel que

$$\left\{ \begin{array}{l} (A_{\mathcal{Q}_{\mathcal{K}, \mathcal{K}^*}} (\nabla_{\mathcal{D}}^\tau u^\tau + B_{\mathcal{Q}_{\mathcal{K}, \mathcal{K}^*}} \delta^{\mathcal{D}}), \boldsymbol{\nu}^*) = (A_{\mathcal{Q}_{\mathcal{K}, \mathcal{L}^*}} (\nabla_{\mathcal{D}}^\tau u^\tau + B_{\mathcal{Q}_{\mathcal{K}, \mathcal{L}^*}} \delta^{\mathcal{D}}), \boldsymbol{\nu}^*) \\ (A_{\mathcal{Q}_{\mathcal{L}, \mathcal{K}^*}} (\nabla_{\mathcal{D}}^\tau u^\tau + B_{\mathcal{Q}_{\mathcal{L}, \mathcal{K}^*}} \delta^{\mathcal{D}}), \boldsymbol{\nu}^*) = (A_{\mathcal{Q}_{\mathcal{L}, \mathcal{L}^*}} (\nabla_{\mathcal{D}}^\tau u^\tau + B_{\mathcal{Q}_{\mathcal{L}, \mathcal{L}^*}} \delta^{\mathcal{D}}), \boldsymbol{\nu}^*) \\ (A_{\mathcal{Q}_{\mathcal{K}, \mathcal{K}^*}} (\nabla_{\mathcal{D}}^\tau u^\tau + B_{\mathcal{Q}_{\mathcal{K}, \mathcal{K}^*}} \delta^{\mathcal{D}}), \boldsymbol{\nu}) = (A_{\mathcal{Q}_{\mathcal{L}, \mathcal{K}^*}} (\nabla_{\mathcal{D}}^\tau u^\tau + B_{\mathcal{Q}_{\mathcal{L}, \mathcal{K}^*}} \delta^{\mathcal{D}}), \boldsymbol{\nu}) \\ (A_{\mathcal{Q}_{\mathcal{K}, \mathcal{L}^*}} (\nabla_{\mathcal{D}}^\tau u^\tau + B_{\mathcal{Q}_{\mathcal{K}, \mathcal{L}^*}} \delta^{\mathcal{D}}), \boldsymbol{\nu}) = (A_{\mathcal{Q}_{\mathcal{L}, \mathcal{L}^*}} (\nabla_{\mathcal{D}}^\tau u^\tau + B_{\mathcal{Q}_{\mathcal{L}, \mathcal{L}^*}} \delta^{\mathcal{D}}), \boldsymbol{\nu}) \end{array} \right. \iff \sum_{\mathcal{Q} \in \mathfrak{Q}_{\mathcal{D}}} |\mathcal{Q}|^t B_{\mathcal{Q}} \cdot A_{\mathcal{Q}} (\nabla_{\mathcal{D}}^\tau u^\tau + B_{\mathcal{Q}} \delta^{\mathcal{D}}) = 0.$$

## PROPOSITION

Pour tout  $u^\tau \in \mathbb{R}^{\mathcal{T}}$ , et tout diamant  $\mathcal{D}$ , il existe un **unique**  $\delta^{\mathcal{D}} \in \mathbb{R}^4$  assurant la conservativité des flux.

Pour tout  $\mathcal{D}$ , l'application  $\nabla_{\mathcal{D}}^\tau u^\tau \mapsto \delta^{\mathcal{D}} (\nabla_{\mathcal{D}}^\tau u^\tau)$  est linéaire.

## LE SCHÉMA M-DDFV

On remplace dans le schéma DDFV, la perméabilité approchée

$$A_{\mathcal{D}} \cdot \nabla_{\mathcal{D}}^\tau u^\tau = \left( \frac{1}{|\mathcal{D}|} \int_{\mathcal{D}} A(x) dx \right) \nabla_{\mathcal{D}}^\tau u^\tau,$$

par

$$A_{\mathcal{D}}^{\mathcal{N}} \cdot \nabla_{\mathcal{D}}^\tau u^\tau = \frac{1}{|\mathcal{D}|} \sum_{\mathcal{Q} \in \mathfrak{Q}_{\mathcal{D}}} |\mathcal{Q}| A_{\mathcal{Q}} \underbrace{(\nabla_{\mathcal{D}}^\tau u^\tau + B_{\mathcal{Q}} \delta^{\mathcal{D}}(\nabla_{\mathcal{D}}^\tau u^\tau))}_{= \nabla_{\mathcal{Q}}^{\mathcal{N}} u^\tau},$$

## LE SCHÉMA M-DDFV

On remplace dans le schéma DDFV, la perméabilité approchée

$$A_{\mathcal{D}} \cdot \nabla_{\mathcal{D}}^\tau u^\tau = \left( \frac{1}{|\mathcal{D}|} \int_{\mathcal{D}} A(x) dx \right) \nabla_{\mathcal{D}}^\tau u^\tau,$$

par

$$A_{\mathcal{D}}^{\mathcal{N}} \cdot \nabla_{\mathcal{D}}^\tau u^\tau = \frac{1}{|\mathcal{D}|} \sum_{\mathcal{Q} \in \mathfrak{Q}_{\mathcal{D}}} |\mathcal{Q}| A_{\mathcal{Q}} \underbrace{(\nabla_{\mathcal{D}}^\tau u^\tau + B_{\mathcal{Q}} \delta^{\mathcal{D}}(\nabla_{\mathcal{D}}^\tau u^\tau))}_{= \nabla_{\mathcal{Q}}^{\mathcal{N}} u^\tau},$$

## FORMULATION EN DUALITÉ DISCRÈTE SUR LES DIAMANTS

$$2 \sum_{\mathcal{D} \in \mathfrak{D}} |\mathcal{D}| (A_{\mathcal{D}}^{\mathcal{N}} \cdot \nabla_{\mathcal{D}}^\tau u^\tau, \nabla_{\mathcal{D}}^\tau v^\tau) = \int_{\Omega} f v^{\mathfrak{M}} dx + \int_{\Omega} f v^{\mathfrak{M}^*} dx, \quad \forall v^\tau \in \mathbb{R}^{\mathcal{T}}.$$

## LE SCHÉMA M-DDFV

On remplace dans le schéma DDFV, la perméabilité approchée

$$A_{\mathcal{D}} \cdot \nabla_{\mathcal{D}}^{\tau} u^{\tau} = \left( \frac{1}{|\mathcal{D}|} \int_{\mathcal{D}} A(x) dx \right) \nabla_{\mathcal{D}}^{\tau} u^{\tau},$$

par

$$A_{\mathcal{D}}^{\mathcal{N}} \cdot \nabla_{\mathcal{D}}^{\tau} u^{\tau} = \frac{1}{|\mathcal{D}|} \sum_{\mathcal{Q} \in \mathfrak{Q}_{\mathcal{D}}} |\mathcal{Q}| A_{\mathcal{Q}} \underbrace{(\nabla_{\mathcal{D}}^{\tau} u^{\tau} + B_{\mathcal{Q}} \delta^{\mathcal{D}}(\nabla_{\mathcal{D}}^{\tau} u^{\tau}))}_{= \nabla_{\mathcal{Q}}^{\mathcal{N}} u^{\tau}},$$

## FORMULATION EN DUALITÉ DISCRÈTE SUR LES DIAMANTS

$$2 \sum_{\mathcal{D} \in \mathfrak{D}} |\mathcal{D}| (A_{\mathcal{D}}^{\mathcal{N}} \cdot \nabla_{\mathcal{D}}^{\tau} u^{\tau}, \nabla_{\mathcal{D}}^{\tau} v^{\tau}) = \int_{\Omega} f v^{\mathfrak{M}} dx + \int_{\Omega} f v^{\mathfrak{M}^*} dx, \quad \forall v^{\tau} \in \mathbb{R}^{\tau}.$$

## FORMULATION EN DUALITÉ DISCRÈTE SUR LES QUARTS DE DIAMANT

$$2 \sum_{\mathcal{Q} \in \mathfrak{Q}} |\mathcal{Q}| (A_{\mathcal{Q}} \cdot \nabla_{\mathcal{Q}}^{\mathcal{N}} u^{\tau}, \nabla_{\mathcal{Q}}^{\mathcal{N}} v^{\tau}) = \int_{\Omega} f v^{\mathfrak{M}} dx + \int_{\Omega} f v^{\mathfrak{M}^*} dx, \quad \forall v^{\tau} \in \mathbb{R}^{\tau}.$$

## EXEMPLE DANS UN CAS “SIMPLE”

Si  $A$  est **constante par mailles primales**, on retrouve les schémas de **Hermeline (03)**. Le tenseur de diffusion équivalent obtenu est :

$$(A_{\mathcal{D}}^N \boldsymbol{\nu}, \boldsymbol{\nu}) = \frac{(|\sigma_K| + |\sigma_L|)(A_K \boldsymbol{\nu}, \boldsymbol{\nu})(A_L \boldsymbol{\nu}, \boldsymbol{\nu})}{|\sigma_L|(A_K \boldsymbol{\nu}, \boldsymbol{\nu}) + |\sigma_K|(A_L \boldsymbol{\nu}, \boldsymbol{\nu})},$$

$$\begin{aligned} (A_{\mathcal{D}}^N \boldsymbol{\nu}^*, \boldsymbol{\nu}^*) &= \frac{|\sigma_L|(A_L \boldsymbol{\nu}^*, \boldsymbol{\nu}^*) + |\sigma_K|(A_K \boldsymbol{\nu}^*, \boldsymbol{\nu}^*)}{|\sigma_K| + |\sigma_L|} \\ &\quad - \frac{|\sigma_K||\sigma_L|}{|\sigma_K| + |\sigma_L|} \frac{((A_K \boldsymbol{\nu}, \boldsymbol{\nu}^*) - (A_L \boldsymbol{\nu}, \boldsymbol{\nu}^*))^2}{|\sigma_L|(A_K \boldsymbol{\nu}, \boldsymbol{\nu}) + |\sigma_K|(A_L \boldsymbol{\nu}, \boldsymbol{\nu})}, \end{aligned}$$

$$(A_{\mathcal{D}}^N \boldsymbol{\nu}, \boldsymbol{\nu}^*) = \frac{|\sigma_L|(A_L \boldsymbol{\nu}, \boldsymbol{\nu}^*)(A_K \boldsymbol{\nu}, \boldsymbol{\nu}) + |\sigma_K|(A_K \boldsymbol{\nu}, \boldsymbol{\nu}^*)(A_L \boldsymbol{\nu}, \boldsymbol{\nu})}{|\sigma_L|(A_K \boldsymbol{\nu}, \boldsymbol{\nu}) + |\sigma_K|(A_L \boldsymbol{\nu}, \boldsymbol{\nu})}.$$

- Les applications  $\xi \mapsto \delta^{\mathcal{D}}(\xi)$  sont linéaires et leurs matrices sont calculées au tout début de la résolution (elles ne dépendent que du maillage et des  $A_{\mathcal{Q}}$ ).
- On peut, par exemple, appliquer une méthode de pivot de Gauss pour résoudre simultanément tous les petits systèmes indépendants  $4 \times 4$ .
- La matrice globale du schéma m-DDFV est donc symétrique, définie positive, et a exactement le même stencil que celle du schéma DDFV classique. **Cette variante est donc totalement indolore du point de vue des coûts de calcul.**

# ANALYSE DU SCHÉMA M-DDFV

## THÉORÈME

*Le schéma m-DDFV possède une **unique** solution  $u^\tau \in \mathbb{R}^T$  qui dépend continûment des données.*

## THÉORÈME

*On suppose que  $x \mapsto A(x)$  est régulière par morceaux et que le maillage est compatible avec les discontinuités de  $A$ .*

*Si  $u$  est régulière **sur chaque quart de diamant**  $\mathcal{Q}$ , on a*

$$\|u - u^{\mathfrak{M}}\|_{L^2} + \|u - u^{\mathfrak{M}^*}\|_{L^2} + \|\nabla u - \nabla^{\mathcal{N}} u^\tau\|_{L^2} \leq C h.$$

► Eléments de preuve

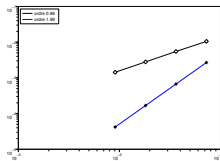
# DDFV VS M-DDFV

$\overline{\Omega} = \overline{\Omega_1} \cup \overline{\Omega_2}$  avec  $\Omega_1 = ]0, 0.5[ \times ]0, 1[$  et  $\Omega_2 = ]0.5, 1[ \times ]0, 1[$

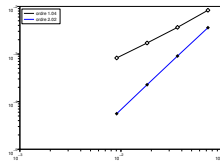
UN EXEMPLE LINÉAIRE :

$-\operatorname{div}(A(x)\nabla u) = f$ , avec  $A(x) = \operatorname{Id}$  dans  $\Omega_1$ ,  $A(x) = \begin{pmatrix} 10 & 2 \\ 2 & 1 \end{pmatrix}$  dans  $\Omega_2$ .

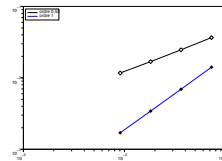
- schéma DDFV : ordre  $\frac{1}{2}$
- schéma m-DDFV : ordre 1



$L^\infty$



$L^2$



$H^1$

## 3 SCHÉMA VF DE BASE POUR LAPLACE 2D

- Notations. Construction
- Analyse du schéma VF4
- Implémentation
- Extensions de VF4

## 4 MÉTHODE DDFV EN 2D - CAS LINÉAIRE

- Les limitations de VF4
- Construction du schéma
- Analyse du schéma
- Implémentation
- Le schéma m-DDFV

## 5 MÉTHODE DDFV EN 2D - CAS NON LINÉAIRE

- Construction du schéma
- Analyse du schéma
- m-DDFV dans le cas non-linéaire
- Construction et analyse d'un solveur

# PROBLÉMATIQUE ET NOTATIONS

► Schéma DDFV pour

$$\begin{cases} -\operatorname{div}(\varphi(x, \nabla u(x))) = f(x), & \text{dans } \Omega, \\ u = 0, & \text{sur } \partial\Omega, \end{cases}$$

- $\Omega$  est un ouvert polygonal de  $\mathbb{R}^2$ .
- $u \mapsto -\operatorname{div}(\varphi(\cdot, \nabla u))$  est monotone coercif (de type Leray–Lions).

## EXEMPLES

- Contient la loi de Darcy

$$-\operatorname{div}(A(x)\nabla u) = f, \quad \text{avec } A \text{ SDP},$$

- Loi de Darcy-Forchheimer

$$-\operatorname{div}\left(\frac{\alpha \nabla u}{1 + \sqrt{1 + \beta |\nabla u|}}\right) = f.$$

- Ecoulements non Newtoniens

$$-\operatorname{div}(|\nabla u|^{p-2} \nabla u) = f.$$

# HYPOTHÈSES SUR $\varphi$

$$\begin{cases} -\operatorname{div}(\varphi(x, \nabla u(x))) = f(x), & \text{dans } \Omega, \\ u = 0, & \text{sur } \partial\Omega, \end{cases} \quad (\star)$$

- Soit  $p \in ]1, \infty[$ ,  $p' = \frac{p}{p-1}$  et  $f \in L^{p'}(\Omega)$ . ►  $p \geq 2$  pour simplifier.
- $\varphi : \Omega \times \mathbb{R}^2 \rightarrow \mathbb{R}^2$  est une fonction de Caratheodory telle que :

$$(\varphi(x, \xi), \xi) \geq C_\varphi |\xi|^p - \frac{1}{C_\varphi}, \quad (\mathcal{H}_1)$$

$$|\varphi(x, \xi)| \leq C_\varphi (|\xi|^{p-1} + 1). \quad (\mathcal{H}_2)$$

$$(\varphi(x, \xi) - \varphi(x, \eta), \xi - \eta) \geq \frac{1}{C_\varphi} |\xi - \eta|^p. \quad (\mathcal{H}_3)$$

$$|\varphi(x, \xi) - \varphi(x, \eta)| \leq C_\varphi (1 + |\xi|^{p-2} + |\eta|^{p-2}) |\xi - \eta|. \quad (\mathcal{H}_4)$$

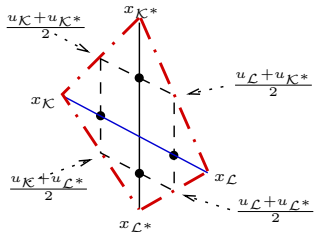
## THÉORÈME

*Sous ces hypothèses, le problème  $(\star)$  admet une unique solution dans  $W_0^{1,p}(\Omega)$ .*

# SCHÉMAS DDFV POUR $-\operatorname{div}(\varphi(x, \nabla u)) = f$

## GRADIENT DISCRET

$$\nabla_{\mathcal{D}}^{\tau} u^{\tau} = \frac{1}{\sin \alpha_{\mathcal{D}}} \left( \frac{u_{\mathcal{L}} - u_{\mathcal{K}}}{|\sigma^*|} \boldsymbol{\nu} + \frac{u_{\mathcal{L}^*} - u_{\mathcal{K}^*}}{|\sigma|} \boldsymbol{\nu}^* \right), \quad \forall \text{ diamant } \mathcal{D}.$$



## REMARQUE

$$|\sigma| = d_{\mathcal{K}^* \mathcal{L}^*},$$

$$|\sigma^*| = d_{\mathcal{K} \mathcal{L}}.$$

Définition équivalente  $\nabla_{\mathcal{D}}^{\tau} u^{\tau} = \frac{1}{2|\mathcal{D}|} \left( |\sigma|(u_{\mathcal{L}} - u_{\mathcal{K}}) \boldsymbol{\nu} + |\sigma^*|(u_{\mathcal{L}^*} - u_{\mathcal{K}^*}) \boldsymbol{\nu}^* \right)$ ,

Autre définition équivalente  $\begin{cases} \nabla_{\mathcal{D}}^{\tau} u^{\tau} \cdot (x_{\mathcal{L}} - x_{\mathcal{K}}) = u_{\mathcal{L}} - u_{\mathcal{K}}, \\ \nabla_{\mathcal{D}}^{\tau} u^{\tau} \cdot (x_{\mathcal{L}^*} - x_{\mathcal{K}^*}) = u_{\mathcal{L}^*} - u_{\mathcal{K}^*}. \end{cases}$

## GRADIENT DISCRET

$$\nabla_{\mathcal{D}}^{\tau} u^{\tau} = \frac{1}{\sin \alpha_{\mathcal{D}}} \left( \frac{u_{\mathcal{L}} - u_{\mathcal{K}}}{|\sigma^*|} \boldsymbol{\nu} + \frac{u_{\mathcal{L}^*} - u_{\mathcal{K}^*}}{|\sigma|} \boldsymbol{\nu}^* \right), \quad \forall \text{ diamant } \mathcal{D}.$$

## MÉTHODE DDFV

Formulation Volumes Finis :

$$a_{\mathcal{K}}(u^{\tau}) \stackrel{\text{def}}{=} - \sum_{\sigma \in \mathcal{E}_{\mathcal{K}}} |\sigma| (\varphi_{\mathcal{D}}(\nabla_{\mathcal{D}}^{\tau} u^{\tau}), \boldsymbol{\nu}_{\mathcal{K}}) = |\mathcal{K}| f_{\mathcal{K}}, \quad \forall \mathcal{K} \in \mathfrak{M},$$

$$a_{\mathcal{K}^*}(u^{\tau}) \stackrel{\text{def}}{=} - \sum_{\sigma^* \in \mathcal{E}_{\mathcal{K}^*}} |\sigma^*| (\varphi_{\mathcal{D}}(\nabla_{\mathcal{D}}^{\tau} u^{\tau}), \boldsymbol{\nu}_{\mathcal{K}^*}) = |\mathcal{K}^*| f_{\mathcal{K}^*}, \quad \forall \mathcal{K}^* \in \mathfrak{M}^*,$$

où

$$\varphi_{\mathcal{D}}(\xi) = \frac{1}{|\mathcal{D}|} \int_{\mathcal{D}} \varphi(x, \xi) dx, \quad \text{flux de masse approché sur le diamant}$$

## GRADIENT DISCRET

$$\nabla_{\mathcal{D}}^{\tau} u^{\tau} = \frac{1}{\sin \alpha_{\mathcal{D}}} \left( \frac{u_{\mathcal{L}} - u_{\kappa}}{|\sigma^*|} \boldsymbol{\nu} + \frac{u_{\mathcal{L}^*} - u_{\kappa^*}}{|\sigma|} \boldsymbol{\nu}^* \right), \quad \forall \text{ diamant } \mathcal{D}.$$

## MÉTHODE DDFV

Formulation Volumes Finis :

$$a_{\kappa}(u^{\tau}) \stackrel{\text{def}}{=} - \sum_{\sigma \in \mathcal{E}_{\kappa}} |\sigma| (\varphi_{\mathcal{D}}(\nabla_{\mathcal{D}}^{\tau} u^{\tau}), \boldsymbol{\nu}_{\kappa}) = |\kappa| f_{\kappa}, \quad \forall \kappa \in \mathfrak{M},$$

$$a_{\kappa^*}(u^{\tau}) \stackrel{\text{def}}{=} - \sum_{\sigma^* \in \mathcal{E}_{\kappa^*}} |\sigma^*| (\varphi_{\mathcal{D}}(\nabla_{\mathcal{D}}^{\tau} u^{\tau}), \boldsymbol{\nu}_{\kappa^*}) = |\kappa^*| f_{\kappa^*}, \quad \forall \kappa^* \in \mathfrak{M}^*,$$

## PROPOSITION (INTÉGRATION PAR PARTIES DISCRÈTES)

Pour tous  $u^{\tau}, v^{\tau} \in \mathbb{R}^{\mathcal{T}}$ , on a

$$\sum_{\kappa \in \mathfrak{M}} a_{\kappa}(u^{\tau}) v_{\kappa} + \sum_{\kappa^* \in \mathfrak{M}^*} a_{\kappa^*}(u^{\tau}) v_{\kappa^*} = 2 \sum_{\mathcal{D} \in \mathfrak{D}} |\mathcal{D}| (\varphi_{\mathcal{D}}(\nabla_{\mathcal{D}}^{\tau} u^{\tau}), \nabla_{\mathcal{D}}^{\tau} v^{\tau}).$$

## GRADIENT DISCRET

$$\nabla_{\mathcal{D}}^{\tau} u^{\tau} = \frac{1}{\sin \alpha_{\mathcal{D}}} \left( \frac{u_{\mathcal{L}} - u_{\kappa}}{|\sigma^*|} \boldsymbol{\nu} + \frac{u_{\mathcal{L}^*} - u_{\kappa^*}}{|\sigma|} \boldsymbol{\nu}^* \right), \quad \forall \text{ diamant } \mathcal{D}.$$

## MÉTHODE DDFV

### PROPOSITION (INTÉGRATION PAR PARTIES DISCRÈTES)

Pour tous  $u^{\tau}, v^{\tau} \in \mathbb{R}^{\mathcal{T}}$ , on a

$$\sum_{\kappa \in \mathfrak{M}} a_{\kappa}(u^{\tau}) v_{\kappa} + \sum_{\kappa^* \in \mathfrak{M}^*} a_{\kappa^*}(u^{\tau}) v_{\kappa^*} = 2 \sum_{\mathcal{D} \in \mathfrak{D}} |\mathcal{D}| (\varphi_{\mathcal{D}}(\nabla_{\mathcal{D}}^{\tau} u^{\tau}), \nabla_{\mathcal{D}}^{\tau} v^{\tau}).$$

Formulation équivalente (**Dualité Discrète**) :

On cherche  $u^{\tau} \in \mathbb{R}^{\mathcal{T}}$  tel que  $\forall v^{\tau} \in \mathbb{R}^{\mathcal{T}}$ ,

$$2 \sum_{\mathcal{D} \in \mathfrak{D}} |\mathcal{D}| (\varphi_{\mathcal{D}}(\nabla_{\mathcal{D}}^{\tau} u^{\tau}), \nabla_{\mathcal{D}}^{\tau} v^{\tau}) = \sum_{\kappa \in \mathfrak{M}} |\kappa| f_{\kappa} v_{\kappa} + \sum_{\kappa^* \in \mathfrak{M}^*} |\kappa^*| f_{\kappa^*} v_{\kappa^*}.$$

# PLAN

## 3 SCHÉMA VF DE BASE POUR LAPLACE 2D

- Notations. Construction
- Analyse du schéma VF4
- Implémentation
- Extensions de VF4

## 4 MÉTHODE DDFV EN 2D - CAS LINÉAIRE

- Les limitations de VF4
- Construction du schéma
- Analyse du schéma
- Implémentation
- Le schéma m-DDFV

## 5 MÉTHODE DDFV EN 2D - CAS NON LINÉAIRE

- Construction du schéma
- Analyse du schéma**
- m-DDFV dans le cas non-linéaire
- Construction et analyse d'un solveur

## PROPOSITION (INTÉGRATION PAR PARTIES DISCRÈTES)

Pour tous  $u^\tau, v^\tau \in \mathbb{R}^\mathcal{T}$ , on a

$$\sum_{\kappa \in \mathfrak{M}} a_\kappa(u^\tau) v_\kappa + \sum_{\kappa^* \in \mathfrak{M}^*} a_{\kappa^*}(u^\tau) v_{\kappa^*} = 2 \sum_{\mathcal{D} \in \mathfrak{D}} |\mathcal{D}| (\varphi_{\mathcal{D}}(\nabla_{\mathcal{D}}^\tau u^\tau), \nabla_{\mathcal{D}}^\tau v^\tau).$$

On veut montrer la bijectivité de l'application

$$a : u^\tau \mapsto a(u^\tau) \stackrel{\text{def}}{=} \left( (a_\kappa(u^\tau))_\kappa, (a_{\kappa^*}(u^\tau))_{\kappa^*} \right) \in \mathbb{R}^\mathcal{T}.$$

- **Monotonie :**  $\varphi$  monotone  $\Rightarrow a$  est monotone.
- **Surjectivité :**  $\varphi$  coercive  $\Rightarrow a$  est coercive car

$$\|u^\tau\|_{1,p,\mathcal{T}} \stackrel{\text{def}}{=} \left( \sum_{\mathcal{D} \in \mathfrak{D}} |\mathcal{D}| |\nabla_{\mathcal{D}}^\tau u^\tau|^p \right)^{\frac{1}{p}}$$

est une norme sur  $\mathbb{R}^\mathcal{T}$ .

- La formule d'intégration par parties discrète avec  $v^\tau = u^\tau$  donne

$$2 \sum_{\mathcal{D} \in \mathfrak{D}} |\mathcal{D}| (\varphi_{\mathcal{D}}(\nabla_{\mathcal{D}}^\tau u^\tau), \nabla_{\mathcal{D}}^\tau u^\tau) = \sum_{\kappa \in \mathfrak{M}} |\kappa| f_\kappa u_\kappa + \sum_{\kappa^* \in \mathfrak{M}^*} |\kappa^*| f_{\kappa^*} u_{\kappa^*}.$$

- Mais, par hypothèse sur  $\varphi$

$$\forall \mathcal{D} \in \mathfrak{D}, \quad (\varphi_{\mathcal{D}}(\nabla_{\mathcal{D}}^\tau u^\tau), \nabla_{\mathcal{D}}^\tau u^\tau) \geq C_1 |\nabla_{\mathcal{D}}^\tau u^\tau|^p - C_2,$$

- D'où

$$2C_1 \|u^\tau\|_{1,p,\mathcal{T}}^p \leq 2C_2 |\Omega| + \|f\|_{L^{p'}} (\|u^{\mathfrak{M}}\|_{L^p} + \|u^{\mathfrak{M}^*}\|_{L^p}).$$

### THÉORÈME (INÉGALITÉ DE POINCARÉ)

*Il existe une constante  $C$  dépendant de  $\Omega$ , de  $p$  et de  $\text{reg}(\mathcal{T})$  telle que*

$$\forall u^\tau \in \mathbb{R}^\mathcal{T}, \quad \|u^{\mathfrak{M}}\|_{L^p} + \|u^{\mathfrak{M}^*}\|_{L^p} \leq C \|u^\tau\|_{1,p,\mathcal{T}}.$$

CONCLUSION : La solution vérifie  $\|u^\tau\|_{1,p,\mathcal{T}} \leq C \left( 1 + \|f\|_{L^{p'}}^{\frac{1}{p-1}} \right).$

## THÉORÈME

Soit  $\mathcal{T}_n$  une suite de maillages DDFV, telle que  $\text{size}(\mathcal{T}_n) \rightarrow 0$  et  $\text{reg}(\mathcal{T}_n)$  est bornée.

Alors, la solution  $u^{\tau_n}$  du schéma converge vers la solution exacte de la façon suivante

$$u^{\mathfrak{m}_n} \xrightarrow[n \rightarrow \infty]{} u \text{ dans } L^p(\Omega),$$

$$u^{\mathfrak{m}_n^*} \xrightarrow[n \rightarrow \infty]{} u \text{ dans } L^p(\Omega),$$

$$\nabla^{\tau_n} u^{\tau_n} \xrightarrow[n \rightarrow \infty]{} \nabla u \text{ dans } (L^p(\Omega))^2,$$

$$\sum_{\mathcal{D} \in \mathfrak{D}} \mathbf{1}_{\mathcal{D}} \varphi_{\mathcal{D}}(\nabla^{\tau_n} u^{\tau_n}) \xrightarrow[n \rightarrow \infty]{} \varphi(\cdot, \nabla u) \text{ dans } (L^{p'}(\Omega))^2.$$

Outils similaires au cas linéaire + monotonie (**astuce de Minty**).

**REMARQUE :** On a convergence **forte** des gradients et des flux.

ON SUPPOSE QUE  $\varphi$  EST RÉGULIÈRE PAR RAPPORT À  $x$

(Andreianov - B. - Hubert, 07)

### THÉORÈME

On suppose que  $u \in W^{2,p}(\Omega)$  et

$$\varphi \text{ est Lip. sur } \Omega, \text{ avec } \left| \frac{\partial \varphi}{\partial x}(x, \xi) \right| \leq C_\varphi (1 + |\xi|^{p-1}), \quad \forall \xi \in \mathbb{R}^2, \quad (\mathcal{H}_5)$$

alors il existe  $C(\text{reg}(\mathcal{T}))$  telle que on a

$$\|u - u^\varpi\|_{L^p} + \|u - u^{\varpi^*}\|_{L^p} + \|\nabla u - \nabla^\tau u^\tau\|_{L^p} \leq C \text{size}(\mathcal{T})^{\frac{1}{p-1}}.$$

Résultat analogue pour  $1 < p < 2$ .

## 3 SCHÉMA VF DE BASE POUR LAPLACE 2D

- Notations. Construction
- Analyse du schéma VF4
- Implémentation
- Extensions de VF4

## 4 MÉTHODE DDFV EN 2D - CAS LINÉAIRE

- Les limitations de VF4
- Construction du schéma
- Analyse du schéma
- Implémentation
- Le schéma m-DDFV

## 5 MÉTHODE DDFV EN 2D - CAS NON LINÉAIRE

- Construction du schéma
- Analyse du schéma
- m-DDFV dans le cas non-linéaire
- Construction et analyse d'un solveur

## OBJECTIFS

- Prendre en compte les discontinuités de coefficients dans le problème sans perdre la précision.
- Possibilité de coupler deux problèmes avec des non-linéarités différentes (Darcy / Darcy–Forcheimer).
- Les discontinuités peuvent avoir lieu à travers
  - Les arêtes primales.
  - Les arêtes duales.
  - Les deux ...
- On veut conserver le même stencil que pour DDFV.

## OBJECTIFS

- Prendre en compte les discontinuités de coefficients dans le problème sans perdre la précision.
- Possibilité de coupler deux problèmes avec des non-linéarités différentes (Darcy / Darcy–Forcheimer).
- Les discontinuités peuvent avoir lieu à travers
  - Les arêtes primales.
  - Les arêtes duales.
  - Les deux ...
- On veut conserver le même stencil que pour DDFV.

## PRINCIPE GÉNÉRAL

- On s'inspire du travail effectué pour VF4 :
  - On introduit des inconnues artificielles bien choisies sur les arêtes.
  - On demande une forme de conservativité locale des flux.
  - On élimine les inconnues intermédiaires et on obtient des flux numériques qui ne dépendent que des inconnues principales du problème.
- Il faut adapter à la diffusion non-linéaire.
- Il faut bien tenir compte de la géométrie particulière du schéma.

$$\Omega = ]-1, 1[, \quad \varphi(x, \cdot) = \begin{cases} \varphi_-(\cdot), & \text{si } x < 0, \\ \varphi_+(\cdot), & \text{si } x > 0. \end{cases}$$

$$-\partial_x(\varphi(x, \partial_x u)) = f, \quad \text{dans } \Omega \iff \begin{cases} -\partial_x(\varphi_-(\partial_x u)) = f, & \text{sur } ]-1, 0[, \\ -\partial_x(\varphi_+(\partial_x u)) = f, & \text{sur } ]0, 1[, \\ u^+(0) = u^-(0), \\ \varphi_+(\partial_x u^+(0)) = \varphi_-(\partial_x u^-(0)). \end{cases}$$

$$\Omega = ]-1, 1[, \quad \varphi(x, \cdot) = \begin{cases} \varphi_-(\cdot), & \text{si } x < 0, \\ \varphi_+(\cdot), & \text{si } x > 0. \end{cases}$$

Soit  $x_0 = -1 < \dots < x_N = 0 < \dots < x_{N+M} = 1$  une subdivision de  $[-1, 1]$ . Le schéma VF en 1D s'écrit pour  $i \in \{0, N + M - 1\}$  :

$$-F_{i+1} + F_i = \int_{x_i}^{x_{i+1}} f(x) dx. \quad (5)$$

avec

$$F_i = \varphi(x_i, \nabla_i u^\tau), \quad \nabla_i u^\tau = \frac{u_{i+\frac{1}{2}} - u_{i-\frac{1}{2}}}{x_{i+\frac{1}{2}} - x_{i-\frac{1}{2}}}, \quad \forall i \neq N, \quad (6)$$

QUESTION : Comment définir le flux  $F_N$  ?

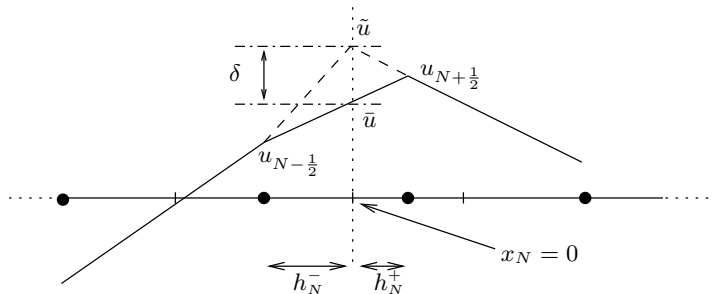
# LE NOUVEAU GRADIENT

On cherche  $\tilde{u}$  tel que pour

$$\nabla_N^+ u^\tau = \frac{u_{N+\frac{1}{2}} - \tilde{u}}{h_N^+}, \quad \nabla_N^- u^\tau = \frac{\tilde{u} - u_{N-\frac{1}{2}}}{h_N^-},$$

on ait

$$\varphi_+(\nabla_N^+ u^\tau) = \varphi_-(\nabla_N^- u^\tau).$$



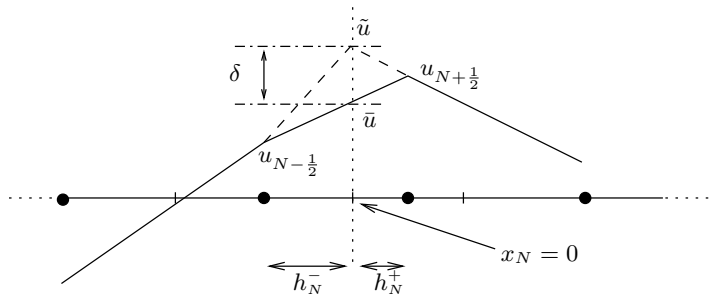
# LE NOUVEAU GRADIENT

On cherche en fait  $\tilde{u}$  sous la forme

$$\tilde{u} = \bar{u} + \delta, \quad \text{avec } \bar{u} = \frac{h_N^- u_{N+\frac{1}{2}} + h_N^+ u_{N-\frac{1}{2}}}{h_N^- + h_N^+}.$$

soit

$$\nabla_N^+ u^\tau = \nabla_N u^\tau - \frac{\delta}{h_N^+}, \quad \text{et} \quad \nabla_N^- u^\tau = \nabla_N u^\tau + \frac{\delta}{h_N^-}.$$



## THÉORÈME (CAS $p \geq 2$ )

- Pour tout  $u^\tau \in \mathbb{R}^N$ , il existe un unique  $\delta$  tel que

$$F_N \stackrel{\text{def}}{=} \varphi_- \left( \nabla_N u^\tau + \frac{\delta}{h_N^-} \right) = \varphi_+ \left( \nabla_N u^\tau - \frac{\delta}{h_N^+} \right),$$

celui-ci est noté  $\delta_N(\nabla_N u^\tau)$ .

- L'application  $\nabla_N u^\tau \mapsto \delta_N(\nabla_N u^\tau)$  est monotone.
- Le nouveau schéma VF admet une unique solution  $u^\tau \in \mathbb{R}^T$ .
- Le flux  $F_N$  est consistant à l'ordre  $h^{\frac{1}{p-1}}$ . ▶ Preuve

PREUVE DES TROIS PREMIERS POINTS : Monotonie, coercivité, ...

## EXEMPLE

Pour deux flux de type p-laplacien

$$\begin{aligned}\varphi_-(\xi) &= k_- |\xi + G_-|^{p-2} (\xi + G_-), \\ \varphi_+(\xi) &= k_+ |\xi + G_+|^{p-2} (\xi + G_+),\end{aligned}$$

où  $k_-, k_+ \in \mathbb{R}^+$  et  $G_-, G_+ \in \mathbb{R}^2$ . Tous calculs faits on trouve

$$F_N = \left( \frac{k_-^{\frac{1}{p-1}} k_+^{\frac{1}{p-1}} (h_N^- + h_N^+)}{h_N^+ k_-^{\frac{1}{p-1}} + h_N^- k_+^{\frac{1}{p-1}}} \right)^{p-1} |\nabla_N u^\tau + \bar{G}|^{p-2} (\nabla_N u^\tau + \bar{G}),$$

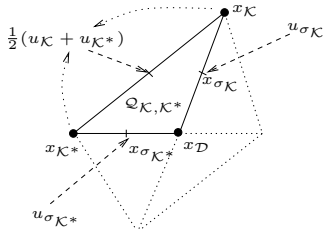
où  $\bar{G}$  est la moyenne arithmétique pondérée de  $G_-$  et  $G_+$  définie par

$$\bar{G} = \frac{h_N^- G_- + h_N^+ G_+}{h_N^- + h_N^+}.$$

**Attention : les calculs ne sont en général pas explicites.**

►  $\nabla_{\mathcal{D}}^{\mathcal{N}} u^{\tau}$  est constant sur chaque quart de diamant

$$\nabla_{\mathcal{D}}^{\mathcal{N}} u^{\tau} = \sum_{\mathcal{Q} \in \mathfrak{Q}_{\mathcal{D}}} 1_{\mathcal{Q}} \nabla_{\mathcal{Q}}^{\mathcal{N}} u^{\tau},$$



$$\begin{aligned} \nabla_{Q_{K,K^*}}^{\mathcal{N}} u^{\tau} &= \frac{2}{\sin \alpha_{\mathcal{D}}} \left( \frac{u_{\sigma_K} - \frac{1}{2}(u_K + u_{K^*})}{|\sigma_K|} \boldsymbol{\nu} \right. \\ &\quad \left. + \frac{u_{\sigma_K^*} - \frac{1}{2}(u_K + u_{K^*})}{|\sigma_{K^*}|} \boldsymbol{\nu}^* \right) \end{aligned}$$

$$\leadsto \nabla_{\mathcal{Q}}^{\mathcal{N}} u^{\tau} = \nabla_{\mathcal{D}}^{\tau} u^{\tau} + B_{\mathcal{Q}} \delta^{\mathcal{D}}, \forall \mathcal{Q} \subset \mathcal{D}.$$

- $\delta^{\mathcal{D}} = {}^t(\delta_K^{\mathcal{D}}, \delta_L^{\mathcal{D}}, \delta_{K^*}^{\mathcal{D}}, \delta_{L^*}^{\mathcal{D}}) \in \mathbb{R}^4$  est à déterminer.
- $B_{\mathcal{Q}}$  est une matrice  $2 \times 4$  qui ne dépend que de la géométrie.

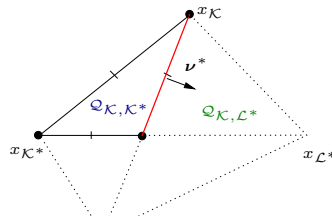
$$B_{Q_{K,K^*}} = \frac{2}{\sin \alpha_{\mathcal{D}}} \left( \frac{\boldsymbol{\nu}^*}{|\sigma_{K^*}|}, 0, \frac{\boldsymbol{\nu}}{|\sigma_K|}, 0 \right) = \frac{1}{|Q_{K,K^*}|} (|\sigma_K| \boldsymbol{\nu}^*, 0, |\sigma_{K^*}| \boldsymbol{\nu}, 0).$$

## ON DEMANDE LA CONSERVATIVITÉ DES FLUX NUMÉRIQUES

On note

$$\varphi_{\mathcal{Q}}(\xi) = \frac{1}{|\mathcal{Q}|} \int_{\mathcal{Q}} \varphi(x, \xi) dx.$$

On cherche à déterminer  $\delta^{\textcolor{red}{D}} \in \mathbb{R}^4$  tel que



$$(\varphi_{\mathcal{Q}_{K,K^*}} (\nabla_D^\tau u^\tau + B_{\mathcal{Q}_{K,K^*}} \delta^{\textcolor{red}{D}}), \nu^*) = (\varphi_{\mathcal{Q}_{K,L^*}} (\nabla_D^\tau u^\tau + B_{\mathcal{Q}_{K,L^*}} \delta^{\textcolor{red}{D}}), \nu^*)$$

## ON DEMANDE LA CONSERVATIVITÉ DES FLUX NUMÉRIQUES

On note

$$\varphi_{\mathcal{Q}}(\xi) = \frac{1}{|\mathcal{Q}|} \int_{\mathcal{Q}} \varphi(x, \xi) dx.$$

On cherche à déterminer  $\delta^{\mathcal{D}} \in \mathbb{R}^4$  tel que

$$\left\{ \begin{array}{l} (\varphi_{\mathcal{Q}_{K,K^*}}(\nabla_{\mathcal{D}}^\tau u^\tau + B_{\mathcal{Q}_{K,K^*}} \delta^{\mathcal{D}}), \nu^*) = (\varphi_{\mathcal{Q}_{K,L^*}}(\nabla_{\mathcal{D}}^\tau u^\tau + B_{\mathcal{Q}_{K,L^*}} \delta^{\mathcal{D}}), \nu^*) \\ (\varphi_{\mathcal{Q}_{L,K^*}}(\nabla_{\mathcal{D}}^\tau u^\tau + B_{\mathcal{Q}_{L,K^*}} \delta^{\mathcal{D}}), \nu^*) = (\varphi_{\mathcal{Q}_{L,L^*}}(\nabla_{\mathcal{D}}^\tau u^\tau + B_{\mathcal{Q}_{L,L^*}} \delta^{\mathcal{D}}), \nu^*) \\ (\varphi_{\mathcal{Q}_{K,K^*}}(\nabla_{\mathcal{D}}^\tau u^\tau + B_{\mathcal{Q}_{K,K^*}} \delta^{\mathcal{D}}), \nu) = (\varphi_{\mathcal{Q}_{L,K^*}}(\nabla_{\mathcal{D}}^\tau u^\tau + B_{\mathcal{Q}_{L,K^*}} \delta^{\mathcal{D}}), \nu) \\ (\varphi_{\mathcal{Q}_{K,L^*}}(\nabla_{\mathcal{D}}^\tau u^\tau + B_{\mathcal{Q}_{K,L^*}} \delta^{\mathcal{D}}), \nu) = (\varphi_{\mathcal{Q}_{L,L^*}}(\nabla_{\mathcal{D}}^\tau u^\tau + B_{\mathcal{Q}_{L,L^*}} \delta^{\mathcal{D}}), \nu) \end{array} \right. \iff \sum_{\mathcal{Q} \in \mathfrak{Q}_{\mathcal{D}}} |\mathcal{Q}|^t B_{\mathcal{Q}} \cdot \varphi_{\mathcal{Q}} (\nabla_{\mathcal{D}}^\tau u^\tau + B_{\mathcal{Q}} \delta^{\mathcal{D}}) = 0.$$

## DANS LE CAS LINÉAIRE

$$\underbrace{\left( \sum_{\mathcal{Q} \in \mathfrak{Q}_{\mathcal{D}}} |\mathcal{Q}|^t B_{\mathcal{Q}} A_{\mathcal{Q}} B_{\mathcal{Q}} \right)}_{\text{matrice SDP}} \delta^{\mathcal{D}} = \text{second membre linéaire en } \nabla_{\mathcal{D}}^\tau u^\tau.$$

## ON DEMANDE LA CONSERVATIVITÉ DES FLUX NUMÉRIQUES

On note

$$\varphi_{\mathcal{Q}}(\xi) = \frac{1}{|\mathcal{Q}|} \int_{\mathcal{Q}} \varphi(x, \xi) dx.$$

On cherche à déterminer  $\delta^{\mathcal{D}} \in \mathbb{R}^4$  tel que

$$\left\{ \begin{array}{l} (\varphi_{\mathcal{Q}_{K,K^*}}(\nabla_{\mathcal{D}}^\tau u^\tau + B_{\mathcal{Q}_{K,K^*}} \delta^{\mathcal{D}}), \nu^*) = (\varphi_{\mathcal{Q}_{K,L^*}}(\nabla_{\mathcal{D}}^\tau u^\tau + B_{\mathcal{Q}_{K,L^*}} \delta^{\mathcal{D}}), \nu^*) \\ (\varphi_{\mathcal{Q}_{L,K^*}}(\nabla_{\mathcal{D}}^\tau u^\tau + B_{\mathcal{Q}_{L,K^*}} \delta^{\mathcal{D}}), \nu^*) = (\varphi_{\mathcal{Q}_{L,L^*}}(\nabla_{\mathcal{D}}^\tau u^\tau + B_{\mathcal{Q}_{L,L^*}} \delta^{\mathcal{D}}), \nu^*) \\ (\varphi_{\mathcal{Q}_{K,K^*}}(\nabla_{\mathcal{D}}^\tau u^\tau + B_{\mathcal{Q}_{K,K^*}} \delta^{\mathcal{D}}), \nu) = (\varphi_{\mathcal{Q}_{L,K^*}}(\nabla_{\mathcal{D}}^\tau u^\tau + B_{\mathcal{Q}_{L,K^*}} \delta^{\mathcal{D}}), \nu) \\ (\varphi_{\mathcal{Q}_{K,L^*}}(\nabla_{\mathcal{D}}^\tau u^\tau + B_{\mathcal{Q}_{K,L^*}} \delta^{\mathcal{D}}), \nu) = (\varphi_{\mathcal{Q}_{L,L^*}}(\nabla_{\mathcal{D}}^\tau u^\tau + B_{\mathcal{Q}_{L,L^*}} \delta^{\mathcal{D}}), \nu) \end{array} \right. \iff \sum_{\mathcal{Q} \in \mathfrak{Q}_{\mathcal{D}}} |\mathcal{Q}|^t B_{\mathcal{Q}} \cdot \varphi_{\mathcal{Q}} (\nabla_{\mathcal{D}}^\tau u^\tau + B_{\mathcal{Q}} \delta^{\mathcal{D}}) = 0.$$

## PROPOSITION (CAS GÉNÉRAL)

Pour tout  $u^\tau \in \mathbb{R}^{\mathcal{T}}$ , et tout diamant  $\mathcal{D}$ , il existe un **unique**  $\delta^{\mathcal{D}} \in \mathbb{R}^4$  assurant la conservativité des flux.

Pour tout  $\mathcal{D}$ , l'application  $\nabla_{\mathcal{D}}^\tau u^\tau \mapsto \delta^{\mathcal{D}}(\nabla_{\mathcal{D}}^\tau u^\tau)$  est monotone.

## LE SCHÉMA M-DDFV

On remplace dans le schéma DDFV, le flux approché

$$\varphi_{\mathcal{D}}(\nabla_{\mathcal{D}}^{\tau} u^{\tau}) = \frac{1}{|\mathcal{D}|} \int_{\mathcal{D}} \varphi(x, \nabla_{\mathcal{D}}^{\tau} u^{\tau}) dx,$$

par

$$\varphi_{\mathcal{D}}^N(\nabla_{\mathcal{D}}^{\tau} u^{\tau}) = \frac{1}{|\mathcal{D}|} \sum_{\mathcal{Q} \in \mathfrak{Q}_{\mathcal{D}}} |\mathcal{Q}| \varphi_{\mathcal{Q}} \left( \underbrace{\nabla_{\mathcal{D}}^{\tau} u^{\tau} + B_{\mathcal{Q}} \delta^{\mathcal{D}}(\nabla_{\mathcal{D}}^{\tau} u^{\tau})}_{= \nabla_{\mathcal{Q}}^N u^{\tau}} \right),$$

## LE SCHÉMA M-DDFV

On remplace dans le schéma DDFV, le flux approché

$$\varphi_{\mathcal{D}}(\nabla_{\mathcal{D}}^{\tau} u^{\tau}) = \frac{1}{|\mathcal{D}|} \int_{\mathcal{D}} \varphi(x, \nabla_{\mathcal{D}}^{\tau} u^{\tau}) dx,$$

par

$$\varphi_{\mathcal{D}}^N(\nabla_{\mathcal{D}}^{\tau} u^{\tau}) = \frac{1}{|\mathcal{D}|} \sum_{\mathcal{Q} \in \mathfrak{Q}_{\mathcal{D}}} |\mathcal{Q}| \varphi_{\mathcal{Q}} \underbrace{(\nabla_{\mathcal{D}}^{\tau} u^{\tau} + B_{\mathcal{Q}} \delta^{\mathcal{D}}(\nabla_{\mathcal{D}}^{\tau} u^{\tau}))}_{= \nabla_{\mathcal{Q}}^N u^{\tau}},$$

## FORMULATION EN DUALITÉ DISCRÈTE SUR LES DIAMANTS

$$2 \sum_{\mathcal{D} \in \mathfrak{D}} |\mathcal{D}| (\varphi_{\mathcal{D}}^N(\nabla_{\mathcal{D}}^{\tau} u^{\tau}), \nabla_{\mathcal{D}}^{\tau} v^{\tau}) = \int_{\Omega} f v^{\mathfrak{M}} dx + \int_{\Omega} f v^{\mathfrak{M}^*} dx, \quad \forall v^{\tau} \in \mathbb{R}^{\mathcal{T}}.$$

## LE SCHÉMA M-DDFV

On remplace dans le schéma DDFV, le flux approché

$$\varphi_{\mathcal{D}}(\nabla_{\mathcal{D}}^{\tau} u^{\tau}) = \frac{1}{|\mathcal{D}|} \int_{\mathcal{D}} \varphi(x, \nabla_{\mathcal{D}}^{\tau} u^{\tau}) dx,$$

par

$$\varphi_{\mathcal{D}}^N(\nabla_{\mathcal{D}}^{\tau} u^{\tau}) = \frac{1}{|\mathcal{D}|} \sum_{\mathcal{Q} \in \mathfrak{Q}_{\mathcal{D}}} |\mathcal{Q}| \varphi_{\mathcal{Q}} \underbrace{(\nabla_{\mathcal{D}}^{\tau} u^{\tau} + B_{\mathcal{Q}} \delta^{\mathcal{D}}(\nabla_{\mathcal{D}}^{\tau} u^{\tau}))}_{= \nabla_{\mathcal{Q}}^N u^{\tau}},$$

## FORMULATION EN DUALITÉ DISCRÈTE SUR LES DIAMANTS

$$2 \sum_{\mathcal{D} \in \mathfrak{D}} |\mathcal{D}| (\varphi_{\mathcal{D}}^N(\nabla_{\mathcal{D}}^{\tau} u^{\tau}), \nabla_{\mathcal{D}}^{\tau} v^{\tau}) = \int_{\Omega} f v^{\mathfrak{M}} dx + \int_{\Omega} f v^{\mathfrak{M}^*} dx, \quad \forall v^{\tau} \in \mathbb{R}^{\mathcal{T}}.$$

## FORMULATION EN DUALITÉ DISCRÈTE SUR LES QUARTS DE DIAMANT

$$2 \sum_{\mathcal{Q} \in \mathfrak{Q}} |\mathcal{Q}| (\varphi_{\mathcal{Q}}(\nabla_{\mathcal{Q}}^N u^{\tau}), \nabla_{\mathcal{Q}}^N v^{\tau}) = \int_{\Omega} f v^{\mathfrak{M}} dx + \int_{\Omega} f v^{\mathfrak{M}^*} dx, \quad \forall v^{\tau} \in \mathbb{R}^{\mathcal{T}}.$$

Le schéma obtenu s'écrit

$$\mathcal{F} \left( \left( \nabla_{\mathcal{D}}^{\tau} u^{\tau} + B_{\mathcal{Q}} \delta^{\mathcal{D}}(\nabla_{\mathcal{D}}^{\tau} u^{\tau}) \right)_{\mathcal{Q} \in \mathfrak{Q}} \right) = \text{termes sources},$$

avec sur chaque diamant

$$\delta^{\mathcal{D}}(\xi) = \mathcal{G}_{\xi}^{-1}(0) \quad \longleftarrow \text{syst. de 4 éq à 4 inconnues.}$$

Le schéma obtenu s'écrit

$$\mathcal{F}\left(\left(\nabla_{\mathcal{D}}^{\tau} u^{\tau} + B_{\mathcal{Q}} \delta^{\mathcal{D}}(\nabla_{\mathcal{D}}^{\tau} u^{\tau})\right)_{\mathcal{Q} \in \mathfrak{Q}}\right) = \text{termes sources},$$

avec sur chaque diamant

$$\delta^{\mathcal{D}}(\xi) = \mathcal{G}_{\xi}^{-1}(0) \quad \leftarrow \text{syst. de 4 éq à 4 inconnues.}$$

### CAS LINÉAIRE

- Les applications  $\xi \mapsto \delta^{\mathcal{D}}(\xi)$  sont linéaires et leurs matrices sont calculées au tout début de la résolution (elles ne dépendent que du maillage et de  $\varphi$ ). On peut, par exemple, appliquer une méthode de pivot de Gauss pour résoudre simultanément tous les petits systèmes  $4 \times 4$ .
- La matrice globale du schéma m-DDFV est donc : linéaire, symétrique, défini positive, et a exactement le même stencil que celle du schéma DDFV classique. **Cette variante est donc totalement indolore du point de vue des coûts de calcul.**

Le schéma obtenu s'écrit

$$\mathcal{F}\left(\left(\nabla_{\mathcal{D}}^{\tau} u^{\tau} + B_{\mathcal{Q}} \delta^{\mathcal{D}}(\nabla_{\mathcal{D}}^{\tau} u^{\tau})\right)_{\mathcal{Q} \in \mathfrak{Q}}\right) = \text{termes sources},$$

avec sur chaque diamant

$$\delta^{\mathcal{D}}(\xi) = \mathcal{G}_{\xi}^{-1}(0) \quad \leftarrow \text{syst. de 4 éq à 4 inconnues.}$$

### CAS NON-LINÉAIRE

- Le calcul exact des applications non-linéaires  $\xi \mapsto \delta^{\mathcal{D}}(\xi)$  est impossible en général.
- La résolution du système global par une méthode de Newton est possible mais pas nécessairement aisée (le calcul de la Jacobienne du système n'est pas trivial ...).

# ANALYSE DU SCHÉMA M-DDFV

## THÉORÈME

Le schéma  $m$ -DDFV possède une **unique** solution  $u^\tau \in \mathbb{R}^T$  qui dépend continûment des données.

## THÉORÈME (CAS $p \geq 2$ )

On suppose que  $\varphi$  est régulière par morceaux et que le maillage est compatible avec les discontinuités de  $\varphi$ .

Si  $u$  est régulière **sur chaque quart de diamant**  $\mathcal{Q}$ , on a

$$\|u - u^{\mathfrak{M}}\|_{L^p} + \|u - u^{\mathfrak{M}^*}\|_{L^p} + \|\nabla u - \nabla^{\mathcal{N}} u^\tau\|_{L^p} \leq C h^{\frac{1}{p-1}}.$$

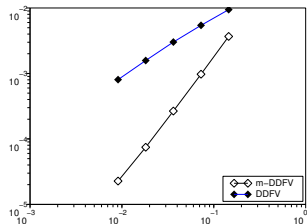
Dans le cas linéaire ( $p = 2$ ) on retrouve la convergence à l'ordre 1 attendue.

# DDFV VS M-DDFV

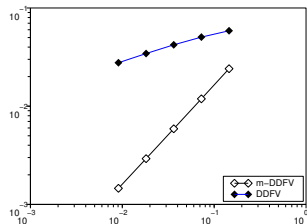
UN EXEMPLE NON-LINÉAIRE

$$\begin{cases} \text{Pour } x \in \Omega_1, & \varphi(x, \xi) = |\xi|^{p-2} \xi, \\ \text{Pour } x \in \Omega_2, & \varphi(x, \xi) = (A\xi, \xi)^{\frac{p-2}{2}} A\xi, \text{ avec } A = \begin{pmatrix} 2 & 0 \\ 0 & 5 \end{pmatrix}. \end{cases}$$

ON CHOISIT  $p = 3.0$



$L^\infty$  - ordres 1.71 et 0.97



$W^{1,p}$  - ordres 1.0 et 0.3

# DDFV VS M-DDFV

UN COUPLAGE LINÉAIRE / NON-LINÉAIRE

$$\varphi(x, \xi) = |\xi|^{p_i-2} \xi \text{ dans } \Omega_i$$

$$u(x) = \begin{cases} x_1 \left( \left( \lambda^{\frac{p_2-1}{p_1-1}} - 1 \right) (2x_1 - 1) + 1 \right) & \text{pour } x_1 \leq 0.5 \\ (1 - x_1)((1 + \lambda)(2x_1 - 1) + 1) & \text{pour } x_1 \geq 0.5 \end{cases}$$

↔ Sauts de gradient importants à l'interface

On prend  $p_1 = 2, p_2 = 4$

| $h$      | DDFV<br>$L^p(\Omega)$ | m-DDFV<br>$L^p(\Omega)$ | DDFV<br>$W^{1,p}(\Omega)$ | m-DDFV<br>$W^{1,p}(\Omega)$ |
|----------|-----------------------|-------------------------|---------------------------|-----------------------------|
| 7.25E-02 | 4.70E-01              | 3.61E-02                | 2.5E+01                   | 1.41                        |
| 3.63E-02 | 2.36E-01              | 9.14E-02                | 2.03E+01                  | 6.62E-01                    |
| 1.81E-02 | 1.19E-01              | 2.24E-03                | 1.65E+01                  | 3.11E-01                    |
| 9.07E-03 | 6.01E-02              | 4.46E-04                | 1.34E+01                  | 1.47E-01                    |
| ordres   | 0.98                  | 2.11                    | 0.30                      | 1.08                        |

# PLAN

## 3 SCHÉMA VF DE BASE POUR LAPLACE 2D

- Notations. Construction
- Analyse du schéma VF4
- Implémentation
- Extensions de VF4

## 4 MÉTHODE DDFV EN 2D - CAS LINÉAIRE

- Les limitations de VF4
- Construction du schéma
- Analyse du schéma
- Implémentation
- Le schéma m-DDFV

## 5 MÉTHODE DDFV EN 2D - CAS NON LINÉAIRE

- Construction du schéma
- Analyse du schéma
- m-DDFV dans le cas non-linéaire
- Construction et analyse d'un solveur

# REMARQUES SUR LE CAS POTENTIEL

Si  $\varphi$  provient d'un potentiel  $\Phi$

$$\begin{cases} \varphi(x, \xi) &= \nabla_\xi \Phi(x, \xi), \text{ pour tout } \xi \in \mathbb{R}^2 \text{ p.p. } x \in \Omega, \\ \Phi(x, 0) &= 0, \text{ p.p. } x \in \Omega. \end{cases}$$

## PROPOSITION

La solution  $u^\tau$  du schéma m-DDFV est l'unique minimum de

$$J^\tau(v^\tau) = 2 \sum_{\mathcal{D} \in \mathfrak{D}} \sum_{\mathcal{Q} \in \mathfrak{Q}_{\mathcal{D}}} |\mathcal{Q}| \Phi_{\mathcal{Q}}(\nabla_{\mathcal{Q}}^{\mathcal{N}} v^\tau) - \sum_{\kappa} |\kappa| f_\kappa v_\kappa - \sum_{\kappa^*} |\kappa^*| f_{\kappa^*} v_{\kappa^*}, \quad \forall v^\tau \in \mathbb{R}^\mathcal{T}$$

avec  $\Phi_{\mathcal{Q}}(\cdot) = \frac{1}{|\mathcal{Q}|} \int_{\mathcal{Q}} \Phi(x, \cdot) dx.$

# REMARQUES SUR LE CAS POTENTIEL

**Notation :**  $\Delta = (\mathbb{R}^4)^{\mathfrak{D}}$ .

## PROPOSITION

*Le couple  $(u^\tau, (\delta^{\mathcal{D}}(\nabla_{\mathcal{D}}^\tau u^\tau))_{\mathcal{D}})$  est l'unique minimum de la fonctionnelle*

$$J^{\mathcal{T}, \Delta}(v^\tau, \tilde{\delta}) = 2 \sum_{\mathcal{D} \in \mathfrak{D}} \sum_{\mathcal{Q} \in \mathfrak{Q}_{\mathcal{D}}} |\mathcal{Q}| \Phi_{\mathcal{Q}}(\nabla_{\mathcal{D}}^\tau v^\tau + B_{\mathcal{Q}} \tilde{\delta}^{\mathcal{D}}) - \sum_{\kappa} |\kappa| f_\kappa v_\kappa - \sum_{\kappa^*} |\kappa^*| f_{\kappa^*} v_{\kappa^*}, \quad \forall v^\tau \in \mathbb{R}^{\mathcal{T}}, \quad \forall \tilde{\delta} \in \Delta.$$

## PRINCIPE

Pour un diamant  $\mathcal{D}$  fixé,  $\delta^{\mathcal{D}}(\nabla_{\mathcal{D}}^\tau u^\tau)$  minimise la contribution élémentaire

$$\tilde{\delta}^{\mathcal{D}} \in \mathbb{R}^4 \mapsto \sum_{\mathcal{Q} \in \mathfrak{Q}_{\mathcal{D}}} |\mathcal{Q}| \Phi_{\mathcal{Q}}(\nabla_{\mathcal{D}}^\tau u^\tau + B_{\mathcal{Q}} \tilde{\delta}^{\mathcal{D}}).$$

FONCTIONNELLE NON QUADRATIQUE (voir (**Glowinsky & al.**))

On se donne une famille  $\mathcal{A} = (A_{\mathcal{Q}})_{\mathcal{Q} \in \mathfrak{Q}}$  de matrices  $2 \times 2$  SDP

$$\begin{aligned}
 L_{\mathcal{A}}^{\mathcal{T}, \Delta}(v^{\mathcal{T}}, \tilde{\delta}, g, \lambda) &\stackrel{\text{def}}{=} 2 \sum_{\mathcal{Q} \in \mathfrak{Q}} |\mathcal{Q}| \Phi_{\mathcal{Q}}(g_{\mathcal{Q}}) - \sum_{\kappa} |\kappa| f_{\kappa} v_{\kappa} - \sum_{\kappa^*} |\kappa^*| f_{\kappa^*} v_{\kappa^*} \\
 &\quad + 2 \sum_{\mathcal{Q} \in \mathfrak{Q}} |\mathcal{Q}| (\lambda_{\mathcal{Q}}, g_{\mathcal{Q}} - \nabla_{\mathcal{D}}^{\mathcal{T}} v^{\mathcal{T}} - B_{\mathcal{Q}} \tilde{\delta}^{\mathcal{D}}) \\
 &\quad + \sum_{\mathcal{Q} \in \mathfrak{Q}} |\mathcal{Q}| \left( A_{\mathcal{Q}} (g_{\mathcal{Q}} - \nabla_{\mathcal{D}}^{\mathcal{T}} v^{\mathcal{T}} - B_{\mathcal{Q}} \tilde{\delta}^{\mathcal{D}}), (g_{\mathcal{Q}} - \nabla_{\mathcal{D}}^{\mathcal{T}} v^{\mathcal{T}} - B_{\mathcal{Q}} \tilde{\delta}^{\mathcal{D}}) \right), \\
 &\qquad \forall v^{\mathcal{T}} \in \mathbb{R}^{\mathcal{T}}, \forall \tilde{\delta} \in \Delta, \forall g, \lambda \in (\mathbb{R}^2)^{\mathfrak{Q}}.
 \end{aligned}$$

### THÉORÈME

*La solution  $u^{\mathcal{T}}$  du schéma m-DDFV s'obtient à partir de l'unique point-selle du Lagrangien  $L_{\mathcal{A}}^{\mathcal{T}, \Delta}$ .*

- Terme d'augmentation standard :  $A_{\mathcal{Q}} = r \text{Id}$ .

- Etape 1 : Trouver  $(u^{\tau,n}, \delta_{\mathcal{D}}^n) \in \mathbb{R}^T \times \Delta$  solution de

$$\begin{aligned} 2 \sum_{\mathcal{Q} \in \mathfrak{Q}} |\mathcal{Q}| & \left( A_{\mathcal{Q}} (\nabla_{\mathcal{D}}^{\tau} u^{\tau,n} + B_{\mathcal{Q}} \delta_{\mathcal{D}}^n - g_{\mathcal{Q}}^{n-1}), \nabla_{\mathcal{D}}^{\tau} v^{\tau} \right) \\ &= \sum_{\kappa} |\kappa| f_{\kappa} v_{\kappa} + \sum_{\kappa^*} |\kappa^*| f_{\kappa^*} v_{\kappa^*} + 2 \sum_{\mathcal{Q} \in \mathfrak{Q}} |\mathcal{Q}| (\lambda_{\mathcal{Q}}^{n-1}, \nabla_{\mathcal{D}}^{\tau} v^{\tau}), \quad \forall v^{\tau} \in \mathbb{R}^T. \end{aligned}$$

$$\sum_{\mathcal{Q} \in \mathfrak{Q}_{\mathcal{D}}} |\mathcal{Q}|^t B_{\mathcal{Q}} A_{\mathcal{Q}} (B_{\mathcal{Q}} \delta_{\mathcal{D}}^n + \nabla_{\mathcal{D}}^{\tau} u^{\tau,n} - g_{\mathcal{Q}}^{n-1}) - \sum_{\mathcal{Q} \in \mathfrak{Q}_{\mathcal{D}}} |\mathcal{Q}|^t B_{\mathcal{Q}} \lambda_{\mathcal{Q}}^{n-1} = 0, \quad \forall \mathcal{D} \in \mathfrak{D}.$$

- Etape 1 : Trouver  $(u^{\tau,n}, \delta_{\mathcal{D}}^n) \in \mathbb{R}^{\mathcal{T}} \times \Delta$  solution de

$$\begin{aligned} & 2 \sum_{\mathcal{Q} \in \mathfrak{Q}} |\mathcal{Q}| \left( A_{\mathcal{Q}} (\nabla_{\mathcal{D}}^{\tau} u^{\tau,n} + B_{\mathcal{Q}} \delta_{\mathcal{D}}^n - g_{\mathcal{Q}}^{n-1}), \nabla_{\mathcal{D}}^{\tau} v^{\tau} \right) \\ &= \sum_{\kappa} |\kappa| f_{\kappa} v_{\kappa} + \sum_{\kappa^*} |\kappa^*| f_{\kappa^*} v_{\kappa^*} + 2 \sum_{\mathcal{Q} \in \mathfrak{Q}} |\mathcal{Q}| (\lambda_{\mathcal{Q}}^{n-1}, \nabla_{\mathcal{D}}^{\tau} v^{\tau}), \quad \forall v^{\tau} \in \mathbb{R}^{\mathcal{T}}. \end{aligned}$$

$$\sum_{\mathcal{Q} \in \mathfrak{Q}_{\mathcal{D}}} |\mathcal{Q}|^t B_{\mathcal{Q}} A_{\mathcal{Q}} (B_{\mathcal{Q}} \delta_{\mathcal{D}}^n + \nabla_{\mathcal{D}}^{\tau} u^{\tau,n} - g_{\mathcal{Q}}^{n-1}) - \sum_{\mathcal{Q} \in \mathfrak{Q}_{\mathcal{D}}} |\mathcal{Q}|^t B_{\mathcal{Q}} \lambda_{\mathcal{Q}}^{n-1} = 0, \quad \forall \mathcal{D} \in \mathfrak{D}.$$

- Etape 2 : Sur chaque  $\mathcal{Q}$ , trouver  $g_{\mathcal{Q}}^n \in \mathbb{R}^2$  solution de

$$\varphi_{\mathcal{Q}}(g_{\mathcal{Q}}^n) + \lambda_{\mathcal{Q}}^{n-1} + A_{\mathcal{Q}}(g_{\mathcal{Q}}^n - \nabla_{\mathcal{D}}^{\tau} u^{\tau,n} - B_{\mathcal{Q}} \delta_{\mathcal{D}}^n) = 0.$$

- Etape 1 : Trouver  $(u^{\tau,n}, \delta_{\mathcal{D}}^n) \in \mathbb{R}^{\mathcal{T}} \times \Delta$  solution de

$$\begin{aligned} 2 \sum_{\mathcal{Q} \in \mathfrak{Q}} |\mathcal{Q}| & \left( A_{\mathcal{Q}} (\nabla_{\mathcal{D}}^{\tau} u^{\tau,n} + B_{\mathcal{Q}} \delta_{\mathcal{D}}^n - g_{\mathcal{Q}}^{n-1}), \nabla_{\mathcal{D}}^{\tau} v^{\tau} \right) \\ &= \sum_{\kappa} |\kappa| f_{\kappa} v_{\kappa} + \sum_{\kappa^*} |\kappa^*| f_{\kappa^*} v_{\kappa^*} + 2 \sum_{\mathcal{Q} \in \mathfrak{Q}} |\mathcal{Q}| (\lambda_{\mathcal{Q}}^{n-1}, \nabla_{\mathcal{D}}^{\tau} v^{\tau}), \quad \forall v^{\tau} \in \mathbb{R}^{\mathcal{T}}. \end{aligned}$$

$$\sum_{\mathcal{Q} \in \mathfrak{Q}_{\mathcal{D}}} |\mathcal{Q}|^t B_{\mathcal{Q}} A_{\mathcal{Q}} (B_{\mathcal{Q}} \delta_{\mathcal{D}}^n + \nabla_{\mathcal{D}}^{\tau} u^{\tau,n} - g_{\mathcal{Q}}^{n-1}) - \sum_{\mathcal{Q} \in \mathfrak{Q}_{\mathcal{D}}} |\mathcal{Q}|^t B_{\mathcal{Q}} \lambda_{\mathcal{Q}}^{n-1} = 0, \quad \forall \mathcal{D} \in \mathfrak{D}.$$

- Etape 2 : Sur chaque  $\mathcal{Q}$ , trouver  $g_{\mathcal{Q}}^n \in \mathbb{R}^2$  solution de

$$\varphi_{\mathcal{Q}}(g_{\mathcal{Q}}^n) + \lambda_{\mathcal{Q}}^{n-1} + A_{\mathcal{Q}}(g_{\mathcal{Q}}^n - \nabla_{\mathcal{D}}^{\tau} u^{\tau,n} - B_{\mathcal{Q}} \delta_{\mathcal{D}}^n) = 0.$$

- Etape 3 : Sur chaque  $\mathcal{Q}$  calculer  $\lambda_{\mathcal{Q}}^n \in \mathbb{R}^2$  par

$$\lambda_{\mathcal{Q}}^n = \lambda_{\mathcal{Q}}^{n-1} + A_{\mathcal{Q}}(g_{\mathcal{Q}}^n - \nabla_{\mathcal{D}}^{\tau} u^{\tau,n} - B_{\mathcal{Q}} \delta_{\mathcal{D}}^n).$$

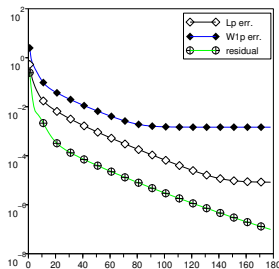
### THÉORÈME

*Pour toute famille de matrices d'augmentation  $\mathcal{A}$ , l'algorithme précédent converge vers l'unique solution du schéma m-DDFV.*

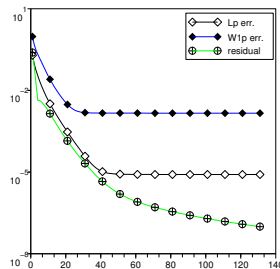
Bien qu'issu de l'optimisation, le solveur itératif et le théorème sont valables aussi dans le cas **non-potentiel**.

## THÉORÈME

Pour toute famille de matrices d'augmentation  $\mathcal{A}$ , l'algorithme précédent converge vers l'unique solution du schéma  $m$ -DDFV.



augmentation isotrope  
 $A_Q = r \text{ Id.}$



augmentation anisotrope  
 $A_Q$  adaptée au problème

## 6 QUELQUES GRANDES CLASSES DE MÉTHODES

- Présentation générale
- Schémas MPFA
- Schémas diamants
- Schémas VF monotones non-linéaires
- Schémas DDFV
- Schémas mimétiques
- Schémas VF mixtes
- Schémas SUCCES / SUSHI

## 7 COMPARAISONS : BENCHMARK FVCA 5

- Présentation
- Test 1 : Anisotropie modérée
- Test 3 : Ecoulement oblique
- Test 4 : Faille verticale
- Test 5 : Anisotropie tournante hétérogène
- Test 8 : Source ponctuelle
- Bilan

## PROBLÈMES LINÉAIRES

$$-\operatorname{div}(A(x)\nabla u) = f$$

### • SCHÉMAS PUREMENT CELL-CENTERED

- MPFA (Aavatsmark et al. '98 → '08)  
(Edwards et al. '06, '08)
- Schémas diamant (Coudière-Vila-Villedieu '99, '00)  
(Manzini et al ... '04 → '07)
- SUSHI (version barycentrique) = SUCCES  
(Eymard-Gallouet-Herbin '08)

## PROBLÈMES LINÉAIRES

$$-\operatorname{div}(A(x)\nabla u) = f$$

### • SCHÉMAS PUREMENT CELL-CENTERED

- MPFA (Avatsmark et al. '98 → '08)  
(Edwards et al. '06, '08)
- Schémas diamant (Coudière-Vila-Villedieu '99, '00)  
(Manzini et al ... '04 → '07)
- SUSHI (version barycentrique) = SUCCES  
(Eymard-Gallouet-Herbin '08)

### • SCHÉMAS VF MONOTONES NON-LINÉAIRES

- Schémas diamant non-linéaire (Bertolazzo-Manzini '07)
- NMVF (Le Potier '05) (Lipnikov et al '07)

## PROBLÈMES LINÉAIRES

$$-\operatorname{div}(A(x)\nabla u) = f$$

### • SCHÉMAS PUREMENT CELL-CENTERED

- MPFA (Avatsmark et al. '98 → '08)  
(Edwards et al. '06, '08)
- Schémas diamant (Coudière-Vila-Villedieu '99, '00)  
(Manzini et al ... '04 → '07)
- SUSHI (version barycentrique) = SUCCES  
(Eymard-Gallouet-Herbin '08)

### • SCHÉMAS VF MONOTONES NON-LINÉAIRES

- Schémas diamant non-linéaire (Bertolazzo-Manzini '07)
- NMFV (Le Potier '05) (Lipnikov et al '07)

### • SCHÉMAS SUR MAILLAGES PRIMAL ET DUAL

- DDFV (Hermeline '00) (Domelevo-Omnes '05)  
(Pierre '06) (Andreianov-B.-Hubert '07)
- m-DDFV (Hermeline '03) (B.-Hubert '08)

## PROBLÈMES LINÉAIRES

$$-\operatorname{div}(A(x)\nabla u) = f$$

- SCHÉMAS PUREMENT CELL-CENTERED
  - MPFA (Avatsmark et al. '98 → '08)  
(Edwards et al. '06, '08)
  - Schémas diamant (Coudière-Vila-Villedieu '99, '00)  
(Manzini et al ... '04 → '07)
  - SUSHI (version barycentrique) = SUCCES  
(Eymard-Gallouet-Herbin '08)
- SCHÉMAS VF MONOTONES NON-LINÉAIRES
  - Schémas diamant non-linéaire (Bertolazzo-Manzini '07)
  - NMVF (Le Potier '05) (Lipnikov et al '07)
- SCHÉMAS SUR MAILLAGES PRIMAL ET DUAL
  - DDFV (Hermeline '00) (Domelevo-Omnes '05)  
(Pierre '06) (Andreianov-B.-Hubert '07)
  - m-DDFV (Hermeline '03) (B.-Hubert '08)
- SCHÉMAS MIXTES OU HYBRIDES
  - Schémas mimétiques (Brezzi, Lipnikov et al '05 → '08)  
(Manzini et al '07-'08)
  - VF mixtes (Droniou-Eymard '06)
  - SUSHI (version hybride) (Eymard-Gallouet-Herbin '08)

## 6 QUELQUES GRANDES CLASSES DE MÉTHODES

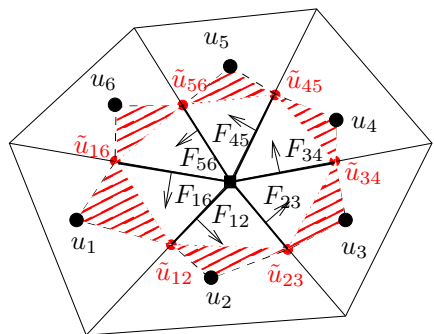
- Présentation générale
- Schémas MPFA
- Schémas diamants
- Schémas VF monotones non-linéaires
- Schémas DDFV
- Schémas mimétiques
- Schémas VF mixtes
- Schémas SUCCES / SUSHI

## 7 COMPARAISONS : BENCHMARK FVCA 5

- Présentation
- Test 1 : Anisotropie modérée
- Test 3 : Ecoulement oblique
- Test 4 : Faille verticale
- Test 5 : Anisotropie tournante hétérogène
- Test 8 : Source ponctuelle
- Bilan

## SCHÉMA O

(Aavatsmark et al. '98 → '08)

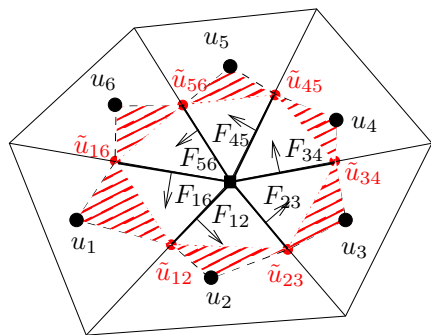


- Inconnues intermédiaires :  $\tilde{u}_{ij}$
- Calcul d'un gradient sur chaque triangle rouge  $T_i$

$$\nabla_i u^\tau = \frac{\tilde{u}_{i,i+1} - u_i}{2|T_i|} (\tilde{x}_{i-1,i} - x_i)^\perp + \frac{\tilde{u}_{i-1,i} - u_i}{2|T_i|} (\tilde{x}_{i,i+1} - x_i)^\perp.$$

## SCHÉMA O

(Aavatsmark et al. '98 → '08)



- Inconnues intermédiaires :  $\tilde{u}_{ij}$
- Calcul d'un gradient sur chaque triangle rouge  $T_i$

$$\nabla_i u^\tau = \frac{\tilde{u}_{i,i+1} - u_i}{2|\mathcal{T}_i|} (\tilde{x}_{i-1,i} - x_i)^\perp + \frac{\tilde{u}_{i-1,i} - u_i}{2|\mathcal{T}_i|} (\tilde{x}_{i,i+1} - x_i)^\perp.$$

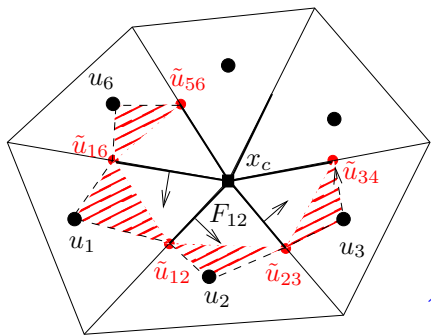
- On écrit la continuité des flux

$$F_{i,i+1} \stackrel{\text{def}}{=} [(A_i \nabla_i u^\tau) \cdot \boldsymbol{\nu}_{i,i+1} = (A_{i+1} \nabla_{i+1} u^\tau) \cdot \boldsymbol{\nu}_{i,i+1}].$$

- Etant donnés les  $u_i$ , on calcule les  $\tilde{u}_{i,i+1}$  puis les flux  $F_{i,i+1}$ .

SCHÉMA U : On veut calculer  $F_{12}$ 

(Aavatsmark et al. '98 → '08)



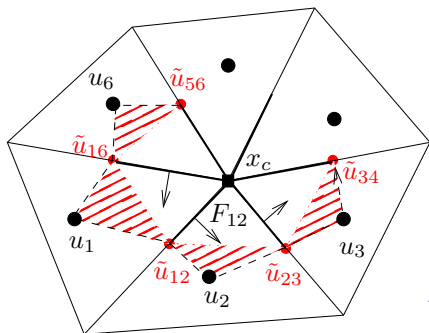
- Inconnues intermédiaires :  $\tilde{u}_{ij}$
- Calcul d'un gradient sur chaque triangle rouge  $T_i$

$$\nabla_i u^\tau = \frac{\tilde{u}_{i,i+1} - u_i}{2|T_i|} (\tilde{x}_{i-1,i} - x_i)^\perp + \frac{\tilde{u}_{i-1,i} - u_i}{2|T_i|} (\tilde{x}_{i,i+1} - x_i)^\perp.$$

⇒ Cela définit une fonction affine  $U_i(x)$  sur chaque cellule.

SCHÉMA U : On veut calculer  $F_{12}$ 

(Aavatsmark et al. '98 → '08)



- Inconnues intermédiaires :  $\tilde{u}_{ij}$
- Calcul d'un gradient sur chaque triangle rouge  $T_i$

$$\begin{aligned}\nabla_i u^\tau &= \frac{\tilde{u}_{i,i+1} - u_i}{2|\textcolor{red}{T}_i|} (\tilde{x}_{i-1,i} - x_i)^\perp \\ &\quad + \frac{\tilde{u}_{i-1,i} - u_i}{2|\textcolor{red}{T}_i|} (\tilde{x}_{i,i+1} - x_i)^\perp.\end{aligned}$$

↝ Cela définit une fonction affine  $U_i(x)$  sur chaque cellule.

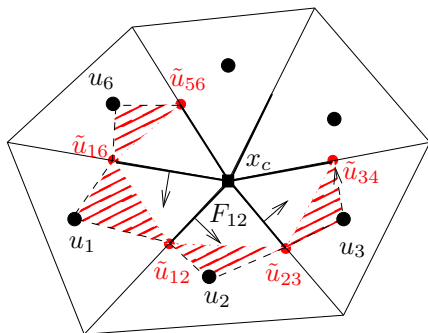
- On écrit la continuité des flux pour  $F_{12}$ ,  $F_{23}$  et  $F_{61}$

$$F_{i,i+1} \stackrel{\text{def}}{=} [(A_i \nabla_i u^\tau) \cdot \boldsymbol{\nu}_{i,i+1} = (A_{i+1} \nabla_{i+1} u^\tau) \cdot \boldsymbol{\nu}_{i,i+1}], \quad i \in \{1, 2, 6\}$$

- Il manque deux équations.

SCHÉMA U : On veut calculer  $F_{12}$ 

(Aavatsmark et al. '98 → '08)



- Inconnues intermédiaires :  $\tilde{u}_{ij}$
- Calcul d'un gradient sur chaque triangle rouge  $T_i$

$$\begin{aligned}\nabla_i u^\tau &= \frac{\tilde{u}_{i,i+1} - u_i}{2|T_i|} (\tilde{x}_{i-1,i} - x_i)^\perp \\ &\quad + \frac{\tilde{u}_{i-1,i} - u_i}{2|T_i|} (\tilde{x}_{i,i+1} - x_i)^\perp.\end{aligned}$$

⇒ Cela définit une fonction affine  $U_i(x)$  sur chaque cellule.

- On écrit la continuité des flux pour  $F_{12}$ ,  $F_{23}$  et  $F_{61}$

$$F_{i,i+1} \stackrel{\text{def}}{=} [(A_i \nabla_i u^\tau) \cdot \boldsymbol{\nu}_{i,i+1}] = [(A_{i+1} \nabla_{i+1} u^\tau) \cdot \boldsymbol{\nu}_{i,i+1}], \quad i \in \{1, 2, 6\}$$

- Il manque deux équations. On écrit :

$$U_2(x_c) = U_3(x_c), \quad \text{et} \quad U_1(x_c) = U_6(x_c).$$

- Etant donnés les  $u_i$ , on calcule les  $\tilde{u}_{i,i+1}$  puis le flux  $F_{12}$ .

### PROPRIÉTÉS

- En général :
  - le système linéaire obtenu n'est pas symétrique.
  - coercivité/stabilité en défaut pour de fortes anisotropies et/ou hétérogénéités et/ou distorsions du maillage.
- Version symétrique/stabilisée sur des quad. dans (**Le Potier, '05**).

## PROPRIÉTÉS

- En général :
  - le système linéaire obtenu n'est pas symétrique.
  - coercivité/stabilité en défaut pour de fortes anisotropies et/ou hétérogénéités et/ou distorsions du maillage.
- Version symétrique/stabilisée sur des quad. dans (**Le Potier, '05**).
- Stencil :
  - La méthode O engendre un stencil trop grand.
  - Pour la méthode U sur des triangles conformes : un flux dépend de 6 inconnues.
  - En général, l'équation sur un volume de contrôle  $\kappa$  dépend des voisins de  $\kappa$  et des voisins des voisins de  $\kappa$ .

## PROPRIÉTÉS

- En général :
  - le système linéaire obtenu n'est pas symétrique.
  - coercivité/stabilité en défaut pour de fortes anisotropies et/ou hétérogénéités et/ou distorsions du maillage.
- Version symétrique/stabilisée sur des quad. dans (**Le Potier, '05**).
- Stencil :
  - La méthode O engendre un stencil trop grand.
  - Pour la méthode U sur des triangles conformes : un flux dépend de 6 inconnues.
  - En général, l'équation sur un volume de contrôle  $\kappa$  dépend des voisins de  $\kappa$  et des voisins des voisins de  $\kappa$ .
- Pas de gradient discret complet naturellement à disposition.

## PROPRIÉTÉS

- En général :
  - le système linéaire obtenu n'est pas symétrique.
  - coercivité/stabilité en défaut pour de fortes anisotropies et/ou hétérogénéités et/ou distorsions du maillage.
- Version symétrique/stabilisée sur des quad. dans (**Le Potier, '05**).
- Stencil :
  - La méthode O engendre un stencil trop grand.
  - Pour la méthode U sur des triangles conformes : un flux dépend de 6 inconnues.
  - En général, l'équation sur un volume de contrôle  $\kappa$  dépend des voisins de  $\kappa$  et des voisins des voisins de  $\kappa$ .
- Pas de gradient discret complet naturellement à disposition.
- Pas de principe du maximum pour les méthodes de base.  
Variantes pour assurer la monotonie dans certains cas.
- Convergence dans le cas général sous une hypothèse géométrique de coercivité (**Agelas-Masson, '08**), (**Agelas-DiPietro-Droniou, '10**)

## 6 QUELQUES GRANDES CLASSES DE MÉTHODES

- Présentation générale
- Schémas MPFA
- Schémas diamants
- Schémas VF monotones non-linéaires
- Schémas DDFV
- Schémas mimétiques
- Schémas VF mixtes
- Schémas SUCCES / SUSHI

## 7 COMPARAISONS : BENCHMARK FVCA 5

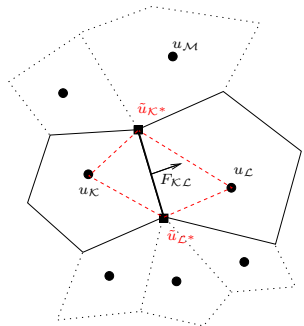
- Présentation
- Test 1 : Anisotropie modérée
- Test 3 : Ecoulement oblique
- Test 4 : Faille verticale
- Test 5 : Anisotropie tournante hétérogène
- Test 8 : Source ponctuelle
- Bilan

# SCHÉMAS DIAMANTS POUR LE LAPLACIEN

VERSION DE BASE ... CONSTRUCTION

(Coudière-Vila-Villedieu, '99, '00)

- Inconnues intermédiaires aux sommets  $\tilde{u}_{\mathcal{K}^*}$ ,  $\tilde{u}_{\mathcal{L}^*}$ .



# SCHÉMAS DIAMANTS POUR LE LAPLACIEN

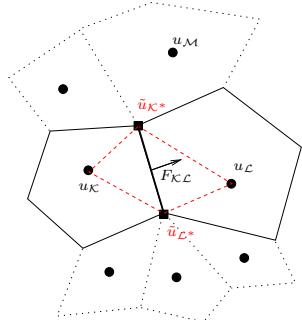
VERSION DE BASE ... CONSTRUCTION

(Coudière-Vila-Villedieu, '99, '00)

- Inconnues intermédiaires aux sommets  $\tilde{u}_{\kappa^*}, \tilde{u}_{\mathcal{L}^*}$ .
- Gradient discret sur la cellule diamant  $\mathcal{D}$  :

$$\nabla_{\mathcal{D}}^\tau u^\tau = \frac{u_{\mathcal{L}} - u_\kappa}{d_{\kappa\mathcal{L}} \sin \alpha_{\mathcal{D}}} \boldsymbol{\nu}_{\kappa\mathcal{L}} + \frac{\tilde{u}_{\mathcal{L}^*} - \tilde{u}_{\kappa^*}}{d_{\kappa^*\mathcal{L}^*} \sin \alpha_{\mathcal{D}}} \boldsymbol{\nu}_{\kappa^*\mathcal{L}^*}.$$

$$\Leftrightarrow \begin{cases} \nabla_{\mathcal{D}}^\tau u^\tau \cdot (x_{\mathcal{L}} - x_\kappa) = u_{\mathcal{L}} - u_\kappa, \\ \nabla_{\mathcal{D}}^\tau u^\tau \cdot (x_{\mathcal{L}^*} - x_{\kappa^*}) = \tilde{u}_{\mathcal{L}^*} - \tilde{u}_{\kappa^*}. \end{cases}$$

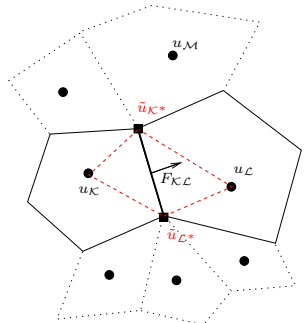


# SCHÉMAS DIAMANTS POUR LE LAPLACIEN

VERSION DE BASE ... CONSTRUCTION

(Coudière-Vila-Villedieu, '99, '00)

- Inconnues intermédiaires aux sommets  $\tilde{u}_{\kappa^*}, \tilde{u}_{\mathcal{L}^*}$ .
  - Gradient discret sur la cellule diamant  $\mathcal{D}$  :



$$\nabla_{\mathcal{D}}^\tau u^\tau = \frac{u_{\mathcal{L}} - u_\kappa}{d_{\kappa\mathcal{L}} \sin \alpha_{\mathcal{D}}} \boldsymbol{\nu}_{\kappa\mathcal{L}} + \frac{\tilde{u}_{\mathcal{L}^*} - \tilde{u}_{\kappa^*}}{d_{\kappa^*\mathcal{L}^*} \sin \alpha_{\mathcal{D}}} \boldsymbol{\nu}_{\kappa^*\mathcal{L}^*}.$$

$$\Leftrightarrow \begin{cases} \nabla_{\mathcal{D}}^\tau u^\tau \cdot (x_{\mathcal{L}} - x_\kappa) = u_{\mathcal{L}} - u_\kappa, \\ \nabla_{\mathcal{D}}^\tau u^\tau \cdot (x_{\mathcal{L}^*} - x_{\kappa^*}) = \tilde{u}_{\mathcal{L}^*} - \tilde{u}_{\kappa^*}. \end{cases}$$

- $\tilde{u}_{\kappa^*}$  et  $\tilde{u}_{\mathcal{L}^*}$  sont calculés par

$$\tilde{u}_{\kappa^*} = \sum_{\mathcal{M}} \underbrace{\gamma_{\mathcal{M},\kappa^*}}_{\geq 0} u_{\mathcal{M}}, \quad \tilde{u}_{\mathcal{L}^*} = \sum_{\mathcal{M}} \underbrace{\gamma_{\mathcal{M},\mathcal{L}^*}}_{\geq 0} u_{\mathcal{M}},$$

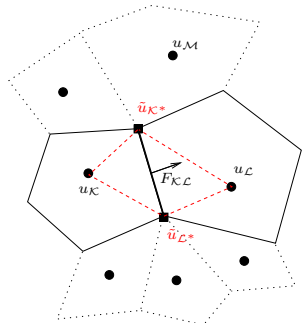
$$\text{avec } \sum_{\mathcal{M}} \gamma_{\mathcal{M},\kappa^*} = 1, \quad \sum_{\mathcal{M}} \gamma_{\mathcal{M},\mathcal{L}^*} x_{\mathcal{M}} = x_{\kappa^*}.$$

# SCHÉMAS DIAMANTS POUR LE LAPLACIEN

VERSION DE BASE ... CONSTRUCTION

(Coudière-Vila-Villedieu, '99, '00)

- Inconnues intermédiaires aux sommets  $\tilde{u}_{\kappa^*}, \tilde{u}_{\mathcal{L}^*}$ .
  - Gradient discret sur la cellule diamant  $\mathcal{D}$  :



$$\nabla_{\mathcal{D}}^{\tau} u^{\tau} = \frac{u_{\mathcal{L}} - u_{\kappa}}{d_{\kappa\mathcal{L}} \sin \alpha_{\mathcal{D}}} \boldsymbol{\nu}_{\kappa\mathcal{L}} + \frac{\tilde{u}_{\mathcal{L}^*} - \tilde{u}_{\kappa^*}}{d_{\kappa^*\mathcal{L}^*} \sin \alpha_{\mathcal{D}}} \boldsymbol{\nu}_{\kappa^*\mathcal{L}^*}.$$

$$\Leftrightarrow \begin{cases} \nabla_{\mathcal{D}}^{\tau} u^{\tau} \cdot (x_{\mathcal{L}} - x_{\kappa}) = u_{\mathcal{L}} - u_{\kappa}, \\ \nabla_{\mathcal{D}}^{\tau} u^{\tau} \cdot (x_{\mathcal{L}^*} - x_{\kappa^*}) = \tilde{u}_{\mathcal{L}^*} - \tilde{u}_{\kappa^*}. \end{cases}$$

- $\tilde{u}_{\kappa^*}$  et  $\tilde{u}_{\mathcal{L}^*}$  sont calculés par

$$\tilde{u}_{\kappa^*} = \sum_{\mathcal{M}} \underbrace{\gamma_{\mathcal{M}, \kappa^*}}_{\geq 0} u_{\mathcal{M}}, \quad \tilde{u}_{\mathcal{L}^*} = \sum_{\mathcal{M}} \underbrace{\gamma_{\mathcal{M}, \mathcal{L}^*}}_{\geq 0} u_{\mathcal{M}},$$

$$\text{avec } \sum_{\mathcal{M}} \gamma_{\mathcal{M}, \kappa^*} = 1, \quad \sum_{\mathcal{M}} \gamma_{\mathcal{M}, \mathcal{L}^*} x_{\mathcal{M}} = x_{\kappa^*}.$$

- Le flux s'écrit alors

$$F_{\kappa\mathcal{L}} = -|\sigma| \nabla_{\mathcal{D}}^{\tau} u^{\tau} \cdot \boldsymbol{\nu}_{\kappa\mathcal{L}}.$$

## PROPRIÉTÉS

- Les poids  $\gamma_{\mathcal{M}, \kappa^*}$  sont calculés par moindres carrés.
- La consistance du schéma au sens des volumes finis est assurée.

## PROPRIÉTÉS

- Les poids  $\gamma_{\mathcal{M}, \kappa^*}$  sont calculés par moindres carrés.
- La consistance du schéma au sens des volumes finis est assurée.
- La coercivité/stabilité **n'est pas assurée** sauf pour des maillages “proches” de maillages rectangles.
- Si on a coercivité, alors on a les estimations d'erreur en  $O(h)$  pour  $u$  et  $\nabla u$  en norme  $L^2$ .

## PROPRIÉTÉS

- Les poids  $\gamma_{\mathcal{M}, \kappa^*}$  sont calculés par moindres carrés.
- La consistance du schéma au sens des volumes finis est assurée.
- La coercivité/stabilité **n'est pas assurée** sauf pour des maillages “proches” de maillages rectangles.
- Si on a coercivité, alors on a les estimations d'erreur en  $O(h)$  pour  $u$  et  $\nabla u$  en norme  $L^2$ .
- Le schéma peut s'écrire sur des maillages généraux mais n'est analysé que pour des simplexes (2D/3D) et des quadrangles en 2D.
- En général, le schéma **n'est pas symétrique**.

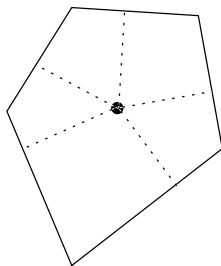
# SCHÉMAS DIAMANTS POUR LE LAPLACIEN

VERSION NON-LINÉAIRE ... CONSTRUCTION

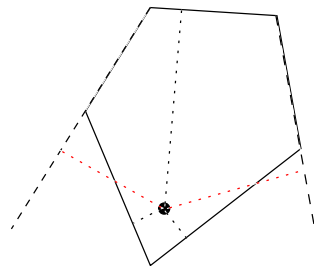
(Manzini et al ... '04 → '07)

- On suppose que les centres se projettent orthogonalement sur les arêtes.

OK



pas OK



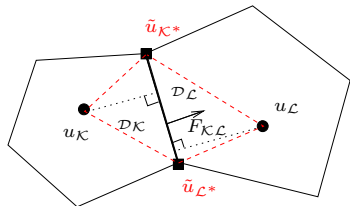
- Les auteurs donnent un algorithme qui donnent des poids  $\gamma_{\mathcal{M}, \kappa^*}$ , tels que

$$\gamma_{\mathcal{M}, \kappa^*} \geq C_0 > 0, \quad \forall \mathcal{M} \text{ contenant } x_{\kappa^*}.$$

# SCHÉMAS DIAMANTS POUR LE LAPLACIEN

VERSION NON-LINÉAIRE ... CONSTRUCTION

(Manzini et al ... '04 → '07)



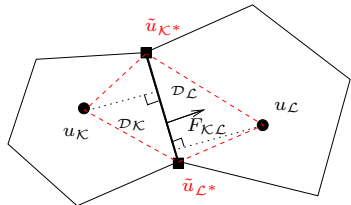
Définition d'un gradient sur chaque demi-diamant  $\mathcal{D}_{\mathcal{K}}$  et  $\mathcal{D}_{\mathcal{L}}$  à partir de trois valeurs :

$$\nabla_{\mathcal{D}_{\mathcal{K}}} u^\tau, \quad \nabla_{\mathcal{D}_{\mathcal{L}}} u^\tau.$$

# SCHÉMAS DIAMANTS POUR LE LAPLACIEN

VERSION NON-LINÉAIRE ... CONSTRUCTION

(Manzini et al ... '04 → '07)



- On regarde alors les deux flux correspondant

$$-|\sigma| \nabla_{\mathcal{D}_K} u^\tau \cdot \boldsymbol{\nu}_{KL} = \underbrace{\alpha_K^\kappa}_{>0} (u_K - u_L) + \sum_{M \neq L} \underbrace{\alpha_M^\kappa}_{\geq 0} (u_K - u_M),$$

$$-|\sigma| \nabla_{\mathcal{D}_L} u^\tau \cdot \boldsymbol{\nu}_{KL} = \underbrace{\alpha_L^\kappa}_{>0} (u_K - u_L) + \sum_{M \neq K} \underbrace{\alpha_M^\kappa}_{\geq 0} (u_M - u_L).$$

On pose  $\alpha = \min(\alpha_K^\kappa, \alpha_L^\kappa) > 0$ .

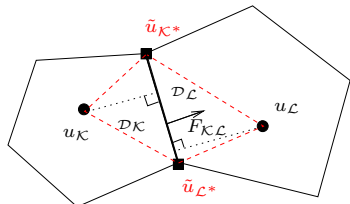
Définition d'un gradient sur chaque demi-diamant  $\mathcal{D}_K$  et  $\mathcal{D}_L$  à partir de trois valeurs :

$$\nabla_{\mathcal{D}_K} u^\tau, \quad \nabla_{\mathcal{D}_L} u^\tau.$$

# SCHÉMAS DIAMANTS POUR LE LAPLACIEN

VERSION NON-LINÉAIRE ... CONSTRUCTION

(Manzini et al ... '04 → '07)



- On regarde alors les deux flux correspondant

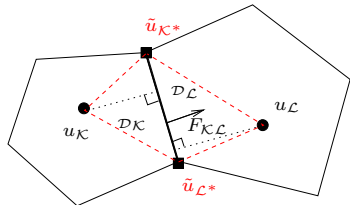
$$-|\sigma| \nabla_{\mathcal{D}_{\mathcal{K}}} u^\tau \cdot \boldsymbol{\nu}_{\mathcal{K}\mathcal{L}} = \alpha(u_{\mathcal{K}} - u_{\mathcal{L}}) + \underbrace{\sum_{\mathcal{M}} (\underbrace{\alpha_{\mathcal{M}}^{\mathcal{K}} - \alpha \delta_{\mathcal{M}\mathcal{L}}}_{\geq 0}) (u_{\mathcal{K}} - u_{\mathcal{M}})}_{\stackrel{\text{def}}{=} g_{\mathcal{K}}(u)},$$

$$-|\sigma| \nabla_{\mathcal{D}_{\mathcal{L}}} u^\tau \cdot \boldsymbol{\nu}_{\mathcal{K}\mathcal{L}} = \alpha(u_{\mathcal{K}} - u_{\mathcal{L}}) + \underbrace{\sum_{\mathcal{M}} (\underbrace{\alpha_{\mathcal{M}}^{\mathcal{K}} - \alpha \delta_{\mathcal{M}\mathcal{K}}}_{\geq 0}) (u_{\mathcal{M}} - u_{\mathcal{L}})}_{\stackrel{\text{def}}{=} g_{\mathcal{L}}(u)}.$$

# SCHÉMAS DIAMANTS POUR LE LAPLACIEN

VERSION NON-LINÉAIRE ... CONSTRUCTION

(Manzini et al ... '04 → '07)



Définition d'un gradient sur chaque demi-diamant  $d_K$  et  $d_L$  à partir de trois valeurs :

$$\nabla_{d_K} u^\tau, \quad \nabla_{d_L} u^\tau.$$

$$-|\sigma| \nabla_{d_K} u^\tau \cdot \nu_{KL} = \alpha(u_K - u_L) + g_K(u^\tau),$$

$$-|\sigma| \nabla_{d_L} u^\tau \cdot \nu_{KL} = \alpha(u_K - u_L) + g_L(u^\tau).$$

- On pose  $\omega_D(u^\tau) = \frac{|g_L(u^\tau)|}{|g_K(u^\tau)| + |g_L(u^\tau)|}$  et on va prendre comme gradient

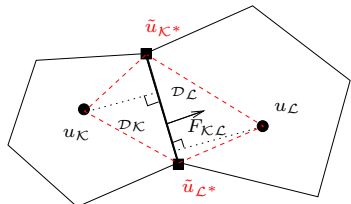
$$\nabla_D u^\tau = \omega_D(u^\tau) \nabla_{d_K} u^\tau + (1 - \omega_D(u^\tau)) \nabla_{d_L} u^\tau.$$

$$\Rightarrow F_{KL} \stackrel{\text{def}}{=} -|\sigma| \nabla_D u^\tau \cdot \nu_{KL} = \alpha(u_K - u_L) + \underbrace{\frac{g_K(u^\tau)|g_L(u^\tau)| + g_L(u^\tau)|g_K(u^\tau)|}{|g_K(u^\tau)| + |g_L(u^\tau)|}}_{=T}.$$

# SCHÉMAS DIAMANTS POUR LE LAPLACIEN

VERSION NON-LINÉAIRE ... CONSTRUCTION

(Manzini et al ... '04 → '07)



Définition d'un gradient sur chaque demi-diamant  $\mathcal{D}_K$  et  $\mathcal{D}_L$  à partir de trois valeurs :

$$\nabla_{\mathcal{D}_K} u^\tau, \quad \nabla_{\mathcal{D}_L} u^\tau.$$

$$F_{KL} = -|\sigma| \nabla_{\mathcal{D}} u^\tau \cdot \nu_{KL} = \alpha(u_K - u_L) + \underbrace{\frac{g_K(u^\tau)|g_L(u^\tau)| + g_L(u^\tau)|g_K(u^\tau)|}{|g_K(u^\tau)| + |g_L(u^\tau)|}}_{=T}.$$

- Si  $g_K(u^\tau)g_L(u^\tau) < 0$  :

$$T = 0.$$

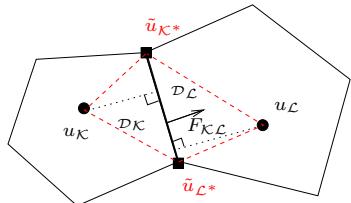
- Si  $g_K(u^\tau)g_L(u^\tau) > 0$  :

$$T = \frac{2g_K(u^\tau)g_L(u^\tau)}{g_K(u^\tau) + g_L(u^\tau)} \Rightarrow \begin{cases} T \text{ est un multiple } \mathbf{positif} \text{ de } g_K(u^\tau) \\ T \text{ est un multiple } \mathbf{positif} \text{ de } g_L(u^\tau) \end{cases}$$

# SCHÉMAS DIAMANTS POUR LE LAPLACIEN

VERSION NON-LINÉAIRE ... CONSTRUCTION

(Manzini et al ... '04 → '07)



Définition d'un gradient sur chaque demi-diamant  $\mathcal{D}_K$  et  $\mathcal{D}_L$  à partir de trois valeurs :

$$\nabla_{\mathcal{D}_K} u^\tau, \quad \nabla_{\mathcal{D}_L} u^\tau.$$

$$F_{KL} = -|\sigma| \nabla_{\mathcal{D}} u^\tau \cdot \nu_{KL} = \alpha(u_K - u_L) + \underbrace{\frac{g_K(u^\tau)|g_L(u^\tau)| + g_L(u^\tau)|g_K(u^\tau)|}{|g_K(u^\tau)| + |g_L(u^\tau)|}}_{=T}.$$

$$F_{K,L} = \alpha(u_K - u_L) + \underbrace{C_K}_{\geq 0} \sum_M (\alpha_M^K - \alpha \delta_{M,L})(u_K - u_M),$$

$$F_{K,L} = \alpha(u_K - u_L) + \underbrace{C_L}_{\geq 0} \sum_M (\alpha_M^K - \alpha \delta_{M,K})(u_M - u_L).$$

(Manzini et al ... '04 → '07)

## PROPRIÉTÉS

- Consistance OK.
- Existence d'au moins une solution du schéma non-linéaire (bien que non régulier !).
- Quasi-unicité : toutes les solutions sont dans des boules de rayon  $O(\text{size}(\mathcal{T})^2)$ .
- Résolution par un solveur itératif qui nécessite l'inversion d'une unique matrice (non SDP).

(Manzini et al ... '04 → '07)

## PROPRIÉTÉS

- Consistance OK.
- Existence d'au moins une solution du schéma non-linéaire (bien que non régulier !).
- Quasi-unicité : toutes les solutions sont dans des boules de rayon  $O(\text{size}(\mathcal{T})^2)$ .
- Résolution par un solveur itératif qui nécessite l'inversion d'une unique matrice (non SDP).
- Cette solution vérifie le principe du maximum discret.
- On n'a pas le principe du max à chaque itération du solveur.

(Manzini et al ... '04 → '07)

## PROPRIÉTÉS

- Consistance OK.
- Existence d'au moins une solution du schéma non-linéaire (bien que non régulier !).
- Quasi-unicité : toutes les solutions sont dans des boules de rayon  $O(\text{size}(\mathcal{T})^2)$ .
- Résolution par un solveur itératif qui nécessite l'inversion d'une unique matrice (non SDP).
- Cette solution vérifie le principe du maximum discret.
- On n'a pas le principe du max à chaque itération du solveur.
- Pas d'analyse de convergence *a priori*.
- Numériquement on obtient de l'ordre 2 en norme  $L^2$ .
- Possibilité de rajouter un terme d'advection avec une technique de type “limiteur de pente”.

## 6 QUELQUES GRANDES CLASSES DE MÉTHODES

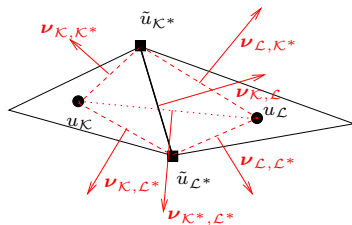
- Présentation générale
- Schémas MPFA
- Schémas diamants
- Schémas VF monotones non-linéaires
- Schémas DDFV
- Schémas mimétiques
- Schémas VF mixtes
- Schémas SUCCES / SUSHI

## 7 COMPARAISONS : BENCHMARK FVCA 5

- Présentation
- Test 1 : Anisotropie modérée
- Test 3 : Ecoulement oblique
- Test 4 : Faille verticale
- Test 5 : Anisotropie tournante hétérogène
- Test 8 : Source ponctuelle
- Bilan

POUR SIMPLIFIER :  $A(x) = A$       (Le Potier '05) (Lipnikov et al '07)

- Maillage de triangles.
- Les centres  $x_K$  et  $x_L$  seront déterminés par la suite.
- Les valeurs aux sommets  $\tilde{u}_{K^*}$  et  $\tilde{u}_{L^*}$  sont données par



$$\tilde{u}_{K^*} = \sum_{\mathcal{M}} \underbrace{\gamma_{MK^*}}_{0 \leq \cdot \leq 1} u_{\mathcal{M}}.$$

- Propriétés géométriques de base :

$$\nu_{K,K^*} + \nu_{L,K^*} + \nu_{K^*,L^*} = 0,$$

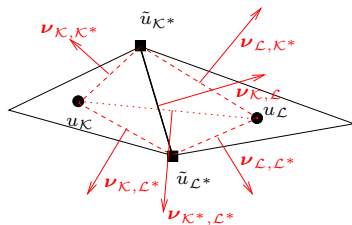
$$\nu_{K,L^*} + \nu_{L,L^*} - \nu_{K^*,L^*} = 0,$$

$$\nu_{K,K^*} + \nu_{K,L^*} + \nu_{K,L} = 0,$$

$$\nu_{L,K^*} + \nu_{L,L^*} - \nu_{K,L} = 0,$$

POUR SIMPLIFIER :  $A(x) = A$       (Le Potier '05) (Lipnikov et al '07)

- Maillage de triangles.
- Les centres  $x_K$  et  $x_L$  seront déterminés par la suite.
- Les valeurs aux sommets  $\tilde{u}_{K^*}$  et  $\tilde{u}_{L^*}$  sont données par



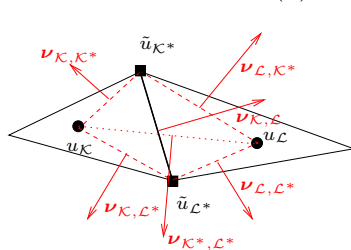
$$\tilde{u}_{K^*} = \sum_{\mathcal{M}} \underbrace{\gamma_{MK^*}}_{0 \leq \cdot \leq 1} u_{\mathcal{M}}.$$

- On définit deux gradients discrets

$$\nabla_{\mathcal{D}_{K^*}} u^\tau = \frac{1}{C_{K^*}} \left( -u_L \boldsymbol{\nu}_{K,K^*} - u_K \boldsymbol{\nu}_{L,K^*} + \tilde{u}_{K^*} (\boldsymbol{\nu}_{K,K^*} + \boldsymbol{\nu}_{L,K^*}) \right),$$

$$\nabla_{\mathcal{D}_{L^*}} u^\tau = \frac{1}{C_{L^*}} \left( -u_L \boldsymbol{\nu}_{K,L^*} - u_K \boldsymbol{\nu}_{L,L^*} + \tilde{u}_{L^*} (\boldsymbol{\nu}_{K,L^*} + \boldsymbol{\nu}_{L,L^*}) \right).$$

POUR SIMPLIFIER :  $A(x) = A$  (Le Potier '05) (Lipnikov et al '07)



- Maillage de triangles.
- Les centres  $x_K$  et  $x_L$  seront déterminés par la suite.
- Les valeurs aux sommets  $\tilde{u}_{K^*}$  et  $\tilde{u}_{L^*}$  sont données par

$$\tilde{u}_{K^*} = \sum_M \underbrace{\gamma_{MK^*}}_{0 \leq \cdot \leq 1} u_M.$$

- On définit deux gradients discrets

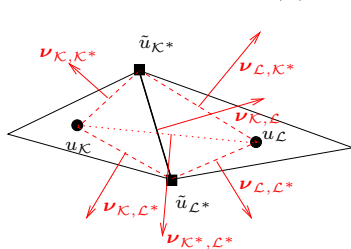
$$\nabla_{D_{K^*}} u^\tau = \frac{1}{C_{K^*}} \left( -u_L \nu_{K,K^*} - u_K \nu_{L,K^*} + \boxed{\tilde{u}_{K^*} (\nu_{K,K^*} + \nu_{L,K^*})} \right),$$

$$\nabla_{D_{L^*}} u^\tau = \frac{1}{C_{L^*}} \left( -u_L \nu_{K,L^*} - u_K \nu_{L,L^*} + \boxed{\tilde{u}_{L^*} (\nu_{K,L^*} + \nu_{L,L^*})} \right).$$

- Soit  $F_{K,L} \stackrel{\text{def}}{=} -\mu |\sigma| (A \nabla_{D_{K^*}} u^\tau) \cdot \nu_{K,L} - (1-\mu) |\sigma| (A \nabla_{D_{L^*}} u^\tau) \cdot \nu_{K,L}$   
On cherche la forme d'un flux à deux points :

$$\frac{\mu \tilde{u}_{K^*}}{C_{K^*}} A (\nu_{K,K^*} + \nu_{L,K^*}) \cdot \nu_{K,L} + \frac{(1-\mu) \tilde{u}_{L^*}}{C_{L^*}} A (\nu_{K,L^*} + \nu_{L,L^*}) \cdot \nu_{K,L} = 0.$$

POUR SIMPLIFIER :  $A(x) = A$       (Le Potier '05) (Lipnikov et al '07)



- Maillage de triangles.
- Les centres  $x_K$  et  $x_L$  seront déterminés par la suite.
- Les valeurs aux sommets  $\tilde{u}_{K^*}$  et  $\tilde{u}_{L^*}$  sont données par

$$\tilde{u}_{K^*} = \sum_M \underbrace{\gamma_{MK^*}}_{0 \leq \cdot \leq 1} u_M.$$

- On définit deux gradients discrets

$$\nabla_{D_{K^*}} u^\tau = \frac{1}{C_{K^*}} \left( -u_L \nu_{K,K^*} - u_K \nu_{L,K^*} + \boxed{\tilde{u}_{K^*} (\nu_{K,K^*} + \nu_{L,K^*})} \right),$$

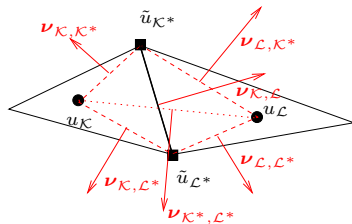
$$\nabla_{D_{L^*}} u^\tau = \frac{1}{C_{L^*}} \left( -u_L \nu_{K,L^*} - u_K \nu_{L,L^*} + \boxed{\tilde{u}_{L^*} (\nu_{K,L^*} + \nu_{L,L^*})} \right).$$

- Soit  $F_{K,L} \stackrel{\text{def}}{=} -\mu |\sigma| (A \nabla_{D_{K^*}} u^\tau) \cdot \nu_{K,L} - (1-\mu) |\sigma| (A \nabla_{D_{L^*}} u^\tau) \cdot \nu_{K,L}$   
On cherche la forme d'un flux à deux points :

$$\left( \frac{\mu \tilde{u}_{K^*}}{C_{K^*}} - \frac{(1-\mu) \tilde{u}_{L^*}}{C_{L^*}} \right) = 0.$$

POUR SIMPLIFIER :  $A(x) = A$       (Le Potier '05) (Lipnikov et al '07)

- Maillage de triangles.
- Les centres  $x_K$  et  $x_L$  seront déterminés par la suite.
- Les valeurs aux sommets  $\tilde{u}_{K^*}$  et  $\tilde{u}_{L^*}$  sont données par



$$\tilde{u}_{K^*} = \sum_M \underbrace{\gamma_{MK^*}}_{0 \leq \cdot \leq 1} u_M.$$

- On définit deux gradients discrets

$$\nabla_{D_{K^*}} u^\tau = \frac{1}{C_{K^*}} \left( -u_L \nu_{K,K^*} - u_K \nu_{L,K^*} + \boxed{\tilde{u}_{K^*} (\nu_{K,K^*} + \nu_{L,K^*})} \right),$$

$$\nabla_{D_{L^*}} u^\tau = \frac{1}{C_{L^*}} \left( -u_L \nu_{K,L^*} - u_K \nu_{L,L^*} + \boxed{\tilde{u}_{L^*} (\nu_{K,L^*} + \nu_{L,L^*})} \right).$$

- Soit  $F_{K,L} \stackrel{\text{def}}{=} -\mu |\sigma| (A \nabla_{D_{K^*}} u^\tau) \cdot \nu_{K,L} - (1-\mu) |\sigma| (A \nabla_{D_{L^*}} u^\tau) \cdot \nu_{K,L}$   
On cherche la forme d'un flux à deux points :

$$\mu(u) = \frac{\tilde{u}_{L^*}/C_{L^*}}{\tilde{u}_{K^*}/C_{K^*} + \tilde{u}_{L^*}/C_{L^*}}.$$

BILAN :

(Le Potier '05) (Lipnikov et al '07)

- Le flux numérique s'écrit comme un flux à deux points non-linéaire

$$F_{\kappa,\mathcal{L}} = \tau_{\kappa,\sigma}(u^\tau)|\sigma| \textcolor{red}{u}_\kappa - \tau_{\mathcal{L},\sigma}(u^\tau)|\sigma| \textcolor{red}{u}_{\mathcal{L}},$$

avec

$$\tau_{\kappa,\sigma}(u^\tau) = \frac{\mu(u^\tau)}{C_{\kappa^*}}(A\boldsymbol{\nu}_{\mathcal{L},\kappa^*}) \cdot \boldsymbol{\nu}_{\kappa,\mathcal{L}} + \frac{1-\mu(u^\tau)}{C_{\mathcal{L}^*}}(A\boldsymbol{\nu}_{\mathcal{L},\mathcal{L}^*}) \cdot \boldsymbol{\nu}_{\kappa,\mathcal{L}},$$

$$\tau_{\mathcal{L},\sigma}(u^\tau) = -\frac{\mu(u^\tau)}{C_{\kappa^*}}(A\boldsymbol{\nu}_{\kappa,\kappa^*}) \cdot \boldsymbol{\nu}_{\kappa,\mathcal{L}} - \frac{1-\mu(u^\tau)}{C_{\mathcal{L}^*}}(A\boldsymbol{\nu}_{\mathcal{L},\mathcal{L}^*}) \cdot \boldsymbol{\nu}_{\kappa,\mathcal{L}},$$

BILAN :

(Le Potier '05) (Lipnikov et al '07)

- Le flux numérique s'écrit comme un flux à deux points non-linéaire

$$F_{\kappa,\mathcal{L}} = \tau_{\kappa,\sigma}(u^\tau)|\sigma| \textcolor{red}{u}_\kappa - \tau_{\mathcal{L},\sigma}(u^\tau)|\sigma| \textcolor{red}{u}_{\mathcal{L}},$$

avec

$$\begin{aligned} \tau_{\kappa,\sigma}(u^\tau) &= \frac{\left( \tilde{u}_{\mathcal{L}^*}(A\nu_{\mathcal{L},\kappa^*}) \cdot \nu_{\kappa,\mathcal{L}} + \tilde{u}_{\kappa^*}(A\nu_{\mathcal{L},\mathcal{L}^*}) \cdot \nu_{\kappa,\mathcal{L}} \right)}{\tilde{u}_{\kappa^*} C_{\mathcal{L}^*} + \tilde{u}_{\mathcal{L}^*} C_{\kappa^*}}. \\ \tau_{\mathcal{L},\sigma}(u^\tau) &= - \frac{\left( \tilde{u}_{\mathcal{L}^*}(A\nu_{\kappa,\mathcal{L}^*}) \cdot \nu_{\kappa,\mathcal{L}} + \tilde{u}_{\kappa^*}(A\nu_{\mathcal{L},\mathcal{L}^*}) \cdot \nu_{\kappa,\mathcal{L}} \right)}{\tilde{u}_{\kappa^*} C_{\mathcal{L}^*} + \tilde{u}_{\mathcal{L}^*} C_{\kappa^*}}. \end{aligned}$$

BILAN :

(Le Potier '05) (Lipnikov et al '07)

- Le flux numérique s'écrit comme un flux à deux points non-linéaire

$$F_{\kappa,\mathcal{L}} = \tau_{\kappa,\sigma}(u^\tau)|\sigma| \textcolor{red}{u}_\kappa - \tau_{\mathcal{L},\sigma}(u^\tau)|\sigma| \textcolor{red}{u}_{\mathcal{L}},$$

avec

$$\tau_{\kappa,\sigma}(u^\tau) = \frac{\left( \tilde{u}_{\mathcal{L}^*}(A\nu_{\mathcal{L},\kappa^*}) \cdot \nu_{\kappa,\mathcal{L}} + \tilde{u}_{\kappa^*}(A\nu_{\mathcal{L},\mathcal{L}^*}) \cdot \nu_{\kappa,\mathcal{L}} \right)}{\tilde{u}_{\kappa^*} C_{\mathcal{L}^*} + \tilde{u}_{\mathcal{L}^*} C_{\kappa^*}}.$$

$$\tau_{\mathcal{L},\sigma}(u^\tau) = - \frac{\left( \tilde{u}_{\mathcal{L}^*}(A\nu_{\kappa,\kappa^*}) \cdot \nu_{\kappa,\mathcal{L}} + \tilde{u}_{\kappa^*}(A\nu_{\kappa,\mathcal{L}^*}) \cdot \nu_{\kappa,\mathcal{L}} \right)}{\tilde{u}_{\kappa^*} C_{\mathcal{L}^*} + \tilde{u}_{\mathcal{L}^*} C_{\kappa^*}}.$$

- Il faut maintenant montrer que sous de bonnes hypothèses on a

$$u^\tau \geq 0 \implies \tau_{\kappa,\sigma}(u^\tau) \geq 0, \quad \text{et} \quad \tau_{\mathcal{L},\sigma}(u^\tau) \geq 0.$$

BILAN :

(Le Potier '05) (Lipnikov et al '07)

- Le flux numérique s'écrit comme un flux à deux points non-linéaire

$$F_{\kappa,\mathcal{L}} = \tau_{\kappa,\sigma}(u^\tau)|\sigma| \textcolor{red}{u}_\kappa - \tau_{\mathcal{L},\sigma}(u^\tau)|\sigma| \textcolor{red}{u}_{\mathcal{L}},$$

avec

$$\begin{aligned} \tau_{\kappa,\sigma}(u^\tau) &= \frac{\left( \tilde{u}_{\mathcal{L}^*}(A\nu_{\mathcal{L},\kappa^*}) \cdot \nu_{\kappa,\mathcal{L}} + \tilde{u}_{\kappa^*}(A\nu_{\mathcal{L},\mathcal{L}^*}) \cdot \nu_{\kappa,\mathcal{L}} \right)}{\tilde{u}_{\kappa^*} C_{\mathcal{L}^*} + \tilde{u}_{\mathcal{L}^*} C_{\kappa^*}}. \\ \tau_{\mathcal{L},\sigma}(u^\tau) &= - \frac{\left( \tilde{u}_{\mathcal{L}^*}(A\nu_{\kappa,\kappa^*}) \cdot \nu_{\kappa,\mathcal{L}} + \tilde{u}_{\kappa^*}(A\nu_{\kappa,\mathcal{L}^*}) \cdot \nu_{\kappa,\mathcal{L}} \right)}{\tilde{u}_{\kappa^*} C_{\mathcal{L}^*} + \tilde{u}_{\mathcal{L}^*} C_{\kappa^*}}. \end{aligned}$$

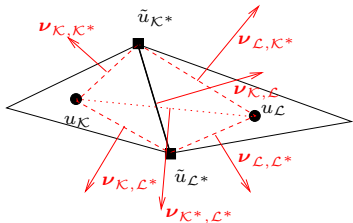
- Il faut maintenant montrer que sous de bonnes hypothèses on a

$$(A\nu_{\mathcal{L},\kappa^*}) \cdot \nu_{\kappa,\mathcal{L}} \geq 0, \quad (A\nu_{\mathcal{L},\mathcal{L}^*}) \cdot \nu_{\kappa,\mathcal{L}} \geq 0,$$

$$(A\nu_{\kappa,\kappa^*}) \cdot \nu_{\kappa,\mathcal{L}} \leq 0, \quad (A\nu_{\kappa,\mathcal{L}^*}) \cdot \nu_{\kappa,\mathcal{L}} \leq 0.$$

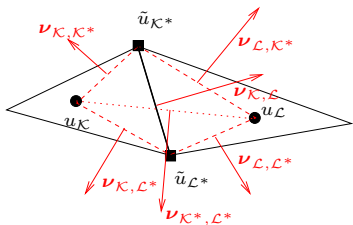
Pour cela, on montre qu'il existe un bon choix des centres  $x_\kappa$ .

# SCHÉMAS MONOTONES NON-LINÉAIRES

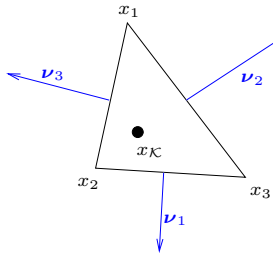


On veut  $\begin{cases} (A\nu_{L,K*}) \cdot \nu_{K,L} \geq 0, & (A\nu_{L,L*}) \cdot \nu_{K,L} \geq 0, \\ (A\nu_{K,K*}) \cdot \nu_{K,L} \leq 0, & (A\nu_{K,L*}) \cdot \nu_{K,L} \leq 0. \end{cases}$

# SCHÉMAS MONOTONES NON-LINÉAIRES



On veut  $\begin{cases} (A\nu_{L,K*}) \cdot \nu_{K,L} \geq 0, & (A\nu_{L,L*}) \cdot \nu_{K,L} \geq 0, \\ (A\nu_{K,K*}) \cdot \nu_{K,L} \leq 0, & (A\nu_{K,L*}) \cdot \nu_{K,L} \leq 0. \end{cases}$



Un choix convenable :

$$x_K = \frac{\|\nu_1\|_A x_1 + \|\nu_2\|_A x_2 + \|\nu_3\|_A x_3}{\|\nu_1\|_A + \|\nu_2\|_A + \|\nu_3\|_A},$$

avec

$$\|\xi\|_A = \sqrt{A\xi \cdot \xi}, \quad \forall \xi \in \mathbb{R}^2.$$

## PROPRIÉTÉS

- L'existence d'une solution au problème non-linéaire n'est pas prouvée.
- Pas de résultat de convergence.

## PROPRIÉTÉS

- L'existence d'une solution au problème non-linéaire n'est pas prouvée.
  - Pas de résultat de convergence.
- 
- En pratique, on résout le problème par une méthode itérative qui **préserve la positivité au cours des itérations**.
  - Le système linéaire à résoudre change à chaque itération et n'est pas symétrique.

## PROPRIÉTÉS

- L'existence d'une solution au problème non-linéaire n'est pas prouvée.
- Pas de résultat de convergence.
- En pratique, on résout le problème par une méthode itérative qui **préserve la positivité au cours des itérations**.
- Le système linéaire à résoudre change à chaque itération et n'est pas symétrique.
- Le principe du schéma se généralise (difficilement) à des maillages polygonaux seulement dans le cas où
  - $A(x)$  est isotrope.
  - Le maillage est régulier et les volumes de contrôle sont étoilés.

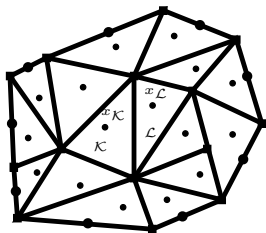
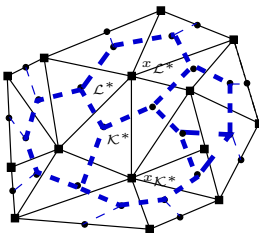
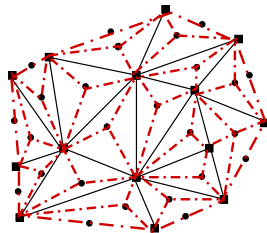
## 6 QUELQUES GRANDES CLASSES DE MÉTHODES

- Présentation générale
- Schémas MPFA
- Schémas diamants
- Schémas VF monotones non-linéaires
- **Schémas DDFV**
- Schémas mimétiques
- Schémas VF mixtes
- Schémas SUCCES / SUSHI

## 7 COMPARAISONS : BENCHMARK FVCA 5

- Présentation
- Test 1 : Anisotropie modérée
- Test 3 : Ecoulement oblique
- Test 4 : Faille verticale
- Test 5 : Anisotropie tournante hétérogène
- Test 8 : Source ponctuelle
- Bilan

(Hermeline '00) (Domelevo-Omnes '05) (Andreianov-Boyer-Hubert '07)  
MAILLAGES

mesh  $\mathfrak{M}$ mesh  $\mathfrak{M}^*$ mesh  $\mathfrak{D}$ 

Maillage primal  
 $\rightsquigarrow (u_\kappa)_{\kappa \in \mathfrak{M}}$

Maillage dual  
 $\rightsquigarrow (u_{\kappa^*})_{\kappa^* \in \mathfrak{M}^*}$

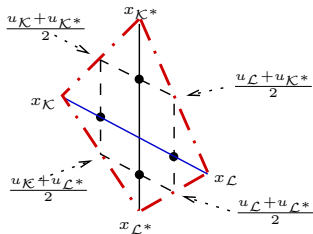
Maillage diamant  
 $\rightsquigarrow$  gradient discret

SOLUTION APPROCHÉE :

$$u^\tau = \left( (u_\kappa)_\kappa, (u_{\kappa^*})_{\kappa^*} \right)$$

## GRADIENT DISCRET

$$\nabla_{\mathcal{D}}^{\tau} u^{\tau} = \frac{1}{\sin \alpha_{\mathcal{D}}} \left( \frac{u_{\mathcal{L}} - u_{\mathcal{K}}}{|\sigma^*|} \boldsymbol{\nu}_{\mathcal{K}\mathcal{L}} + \frac{u_{\mathcal{L}^*} - u_{\mathcal{K}^*}}{|\sigma|} \boldsymbol{\nu}_{\mathcal{K}^*\mathcal{L}^*} \right), \quad \forall \text{ diamant } \mathcal{D}.$$



Définition équivalente

$$\begin{cases} \nabla_{\mathcal{D}}^{\tau} u^{\tau} \cdot (x_{\mathcal{L}} - x_{\mathcal{K}}) = u_{\mathcal{L}} - u_{\mathcal{K}}, \\ \nabla_{\mathcal{D}}^{\tau} u^{\tau} \cdot (x_{\mathcal{L}^*} - x_{\mathcal{K}^*}) = u_{\mathcal{L}^*} - u_{\mathcal{K}^*}. \end{cases}$$

## GRADIENT DISCRET

$$\nabla_{\mathcal{D}}^{\tau} u^{\tau} = \frac{1}{\sin \alpha_{\mathcal{D}}} \left( \frac{u_{\mathcal{L}} - u_{\mathcal{K}}}{|\sigma^*|} \boldsymbol{\nu}_{\mathcal{K}\mathcal{L}} + \frac{u_{\mathcal{L}^*} - u_{\mathcal{K}^*}}{|\sigma|} \boldsymbol{\nu}_{\mathcal{K}^*\mathcal{L}^*} \right), \quad \forall \text{ diamant } \mathcal{D}.$$

## MÉTHODE DDFV

Formulation Volumes Finis :

$$\begin{aligned} & - \sum_{\sigma \in \mathcal{E}_{\mathcal{K}}} |\sigma| (A_{\mathcal{D}} \nabla_{\mathcal{D}}^{\tau} u^{\tau}, \boldsymbol{\nu}_{\mathcal{K}}) = |\mathcal{K}| f_{\mathcal{K}}, \quad \forall \mathcal{K} \in \mathfrak{M}, \\ & - \sum_{\sigma^* \in \mathcal{E}_{\mathcal{K}^*}} |\sigma^*| (A_{\mathcal{D}} \nabla_{\mathcal{D}}^{\tau} u^{\tau}, \boldsymbol{\nu}_{\mathcal{K}^*}) = |\mathcal{K}^*| f_{\mathcal{K}^*}, \quad \forall \mathcal{K}^* \in \mathfrak{M}^*, \end{aligned}$$

où, par exemple, on prend un tenseur de diffusion approché sur le diamant par

$$A_{\mathcal{D}} \stackrel{\text{def}}{=} \frac{1}{|\mathcal{D}|} \int_{\mathcal{D}} A(x) dx.$$

## GRADIENT DISCRET

$$\nabla_{\mathcal{D}}^{\tau} u^{\tau} = \frac{1}{\sin \alpha_{\mathcal{D}}} \left( \frac{u_{\mathcal{L}} - u_{\kappa}}{|\sigma^*|} \boldsymbol{\nu}_{\kappa \mathcal{L}} + \frac{u_{\mathcal{L}^*} - u_{\kappa^*}}{|\sigma|} \boldsymbol{\nu}_{\kappa^* \mathcal{L}^*} \right), \quad \forall \text{ diamant } \mathcal{D}.$$

## MÉTHODE DDFV

Formulation équivalente (**Dualité Discrète**) :

$$2 \sum_{\mathcal{D} \in \mathfrak{D}} |\mathcal{D}| (A_{\mathcal{D}} \nabla_{\mathcal{D}}^{\tau} u^{\tau}, \nabla_{\mathcal{D}}^{\tau} v^{\tau}) = \int_{\Omega} f v^{\mathfrak{M}} dx + \int_{\Omega} f v^{\mathfrak{M}^*} dx, \quad \forall v^{\tau} \in \mathbb{R}^{\mathcal{T}}.$$

## PROPRIÉTÉS

- Nombre d'inconnues = nombre de cellules + nombre de sommets.
- La monotonie et la coercivité de l'opérateur sont préservées.
- Existence et unicité de la solution approchée.
- Convergence dans le cas général et estimation d'erreur dans le cas régulier en  $O(\operatorname{size}(\mathcal{T}))$  pour  $u$  et  $\nabla u$ .
- Prise en compte des coeffs discontinus  $\Rightarrow$  m-DDFV.

## 6 QUELQUES GRANDES CLASSES DE MÉTHODES

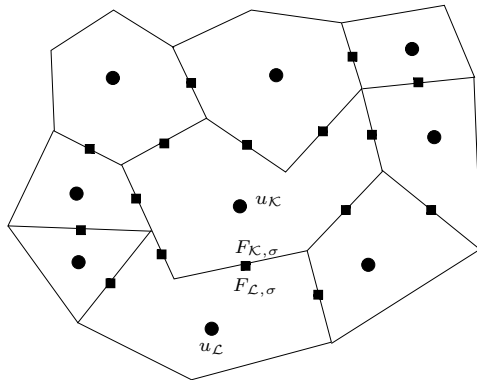
- Présentation générale
- Schémas MPFA
- Schémas diamants
- Schémas VF monotones non-linéaires
- Schémas DDFV
- Schémas mimétiques
- Schémas VF mixtes
- Schémas SUCCES / SUSHI

## 7 COMPARAISONS : BENCHMARK FVCA 5

- Présentation
- Test 1 : Anisotropie modérée
- Test 3 : Ecoulement oblique
- Test 4 : Faille verticale
- Test 5 : Anisotropie tournante hétérogène
- Test 8 : Source ponctuelle
- Bilan

# SCHÉMAS MIMÉTIQUES POUR $-\operatorname{div}(A(x)\nabla \cdot)$

(Lipnikov et al '05 → '08) (Manzini '08)



- Une inconnue scalaire  $u_\kappa$  sur chaque volume de contrôle  $\kappa \in \mathcal{T}$ .
- Deux inconnues **scalaires** de flux  $F_{\kappa,\sigma}$  et  $F_{\mathcal{L},\sigma}$  sur chaque arête  $\sigma \in \mathcal{E}$ .
- Elles sont liées par la relation de conservativité

$$F_{\kappa,\sigma} + F_{\mathcal{L},\sigma} = 0.$$

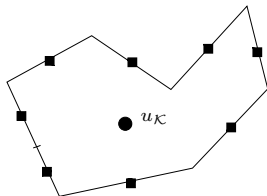
- On note  $\mathbb{R}^{\mathcal{T}}$  (resp.  $\mathbb{R}^{\mathcal{E}}$ ) l'ensemble des inconnues aux centres (resp. aux arêtes).

# SCHÉMAS MIMÉTIQUES POUR $-\operatorname{div}(A(x)\nabla \cdot)$

PRINCIPE : Se baser sur la formule de Green

$$\int_{\kappa} A_{\kappa}^{-1} (A_{\kappa} \nabla u) \cdot \xi \, dx + \int_{\kappa} u (\operatorname{div} \xi) \, dx = \int_{\partial \kappa} u (\xi \cdot \nu) \, ds.$$

- Si  $F \in \mathbb{R}^{\mathcal{E}}$ , on définit la div. discrète



$$\operatorname{div}^{\kappa} F = \frac{1}{|\kappa|} \sum_{\sigma \in \mathcal{E}_{\kappa}} \underbrace{|\sigma| F_{\kappa, \sigma}}_{\text{chgt de notation}}$$

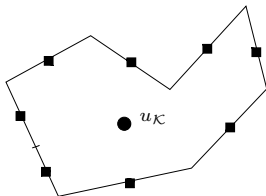
- On se donne un “produit scalaire”  $(\cdot, \cdot)_{A^{-1}, \kappa}$  sur l’ens. des ■ qui approche  $\int_{\kappa} A_{\kappa}^{-1} F \cdot G \, dx$ .

# SCHÉMAS MIMÉTIQUES POUR $-\operatorname{div}(A(x)\nabla \cdot)$

**PRINCIPE :** Se baser sur la formule de Green

$$\int_{\kappa} A_{\kappa}^{-1} (A_{\kappa} \nabla u) \cdot \xi \, dx + \int_{\kappa} u (\operatorname{div} \xi) \, dx = \int_{\partial \kappa} u (\xi \cdot \nu) \, ds.$$

- Si  $F \in \mathbb{R}^{\mathcal{E}}$ , on définit la div. discrète



$$\operatorname{div}^{\kappa} F = \frac{1}{|\kappa|} \sum_{\sigma \in \mathcal{E}_{\kappa}} \underbrace{|\sigma| F_{\kappa, \sigma}}_{\text{chgt de notation}}$$

- On se donne un “produit scalaire”  $(\cdot, \cdot)_{A^{-1}, \kappa}$  sur l’ens. des ■ qui approche  $\int_{\kappa} A_{\kappa}^{-1} F \cdot G \, dx$ .

**HYPOTHÈSES**

Coercivité :  $\underline{C} |\kappa| \sum_{\sigma \in \mathcal{E}_{\kappa}} |F_{\kappa, \sigma}|^2 \leq (F, F)_{A^{-1}, \kappa} \leq \overline{C} |\kappa| \sum_{\sigma \in \mathcal{E}_{\kappa}} |F_{\kappa, \sigma}|^2, \quad \forall \kappa,$

Consistance :  $((A_{\kappa} \nabla \varphi), G)_{A^{-1}, \kappa} + \int_{\kappa} \varphi \operatorname{div}^{\kappa} G \, dx$   
 $= \sum_{\sigma \in \mathcal{E}_{\kappa}} G_{\kappa, \sigma} \left( \int_{\sigma} \varphi \right), \forall \kappa, \forall G \in \mathbb{R}^{\mathcal{E}}, \forall \varphi \text{ affine.}$

## PRODUITS SCALAIRES GLOBAUX

$$(F, G)_{A^{-1}} = \sum_{\kappa} (F, G)_{A^{-1}, \kappa},$$

$$(u, v) = \sum_{\kappa} |\kappa| u_{\kappa} v_{\kappa},$$

OPERATEUR FLUX APPROCHÉ :  $\Phi : u \in \mathbb{R}^{\mathcal{T}} \mapsto \Phi u \in \mathbb{R}^{\mathcal{E}} \approx (A\nabla u) \cdot \boldsymbol{\nu}$

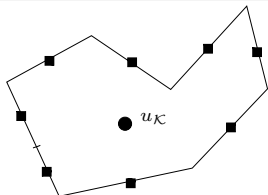
$$(G, \Phi u)_{A^{-1}} = -(u, \operatorname{div}^{\kappa} G), \quad \forall u \in \mathbb{R}_0^{\mathcal{T}}, \forall G \in \mathbb{R}^{\mathcal{E}}.$$

Le schéma s'écrit alors :

$$-\operatorname{div}^{\kappa} (\Phi u) = f_{\kappa}, \quad \forall \kappa.$$

Tout se ramène à construire un p.s.  $(\cdot, \cdot)_{A^{-1}, \kappa}$  convenable vérifiant les hypothèses de consistance et coercivité

# SCHÉMAS MIMÉTIQUES POUR $-\operatorname{div}(A(x)\nabla \cdot)$



ON CHERCHE

$$(F, G)_{A^{-1}, \kappa} \stackrel{\text{def}}{=} {}^t \left( F_{\kappa, \sigma} \right)_\sigma \color{red}{M_\kappa} \left( G_{\kappa, \sigma} \right)_\sigma,$$

avec  $M_\kappa$  SDP de taille  $m \times m$ .

## DÉFINITIONS

$$R_\kappa = \begin{pmatrix} |\sigma_1|^t (x_{\sigma_1} - x_\kappa) \\ \vdots \\ |\sigma_m|^t (x_{\sigma_m} - x_\kappa) \end{pmatrix}, \quad N_\kappa = \begin{pmatrix} {}^t \boldsymbol{\nu}_{\sigma_1} \\ \vdots \\ {}^t \boldsymbol{\nu}_{\sigma_m} \end{pmatrix} A_\kappa, \quad \text{de taille } m \times 2,$$

## PROPOSITION

La condition de consistance est équivalente à

$$M_\kappa N_\kappa = R_\kappa \iff M_\kappa = \frac{1}{|\kappa|} R_\kappa A_\kappa^{-1 t} R_\kappa + C_\kappa \color{red}{U_\kappa} {}^t C_\kappa,$$

où  $C_\kappa$  de taille  $m \times (m-2)$  est telle que  ${}^t C_\kappa N_\kappa = 0$  et  $\color{red}{U_\kappa}$  est une matrice SDP quelconque de taille  $m-2$ .

▶ Preuve

## PROPRIÉTÉS

- Les mailles doivent être étoilées par rapport à leur barycentre.
- Le nombre total d'inconnues est égal au nombre d'éléments + le nombre d'arêtes.
- Le système linéaire à résoudre est de type point-selle.

## PROPRIÉTÉS

- Les mailles doivent être étoilées par rapport à leur barycentre.
- Le nombre total d'inconnues est égal au nombre d'éléments + le nombre d'arêtes.
- Le système linéaire à résoudre est de type point-selle.
- On peut voir ces schémas comme une généralisation des éléments finis mixtes associés à des formules de quadrature bien choisies.

## PROPRIÉTÉS

- Les mailles doivent être étoilées par rapport à leur barycentre.
- Le nombre total d'inconnues est égal au nombre d'éléments + le nombre d'arêtes.
- Le système linéaire à résoudre est de type point-selle.
- On peut voir ces schémas comme une généralisation des éléments finis mixtes associés à des formules de quadrature bien choisies.
- Sous de bonnes hypothèses de régularité, on peut montrer la convergence à l'ordre 2 en norme  $L^2$  et à l'ordre 1 en norme  $H^1$ .
- Pas encore d'estimations d'erreurs dans le cas de coefficients discontinus.

## 6 QUELQUES GRANDES CLASSES DE MÉTHODES

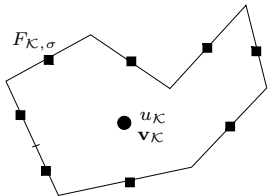
- Présentation générale
- Schémas MPFA
- Schémas diamants
- Schémas VF monotones non-linéaires
- Schémas DDFV
- Schémas mimétiques
- Schémas VF mixtes
- Schémas SUCCES / SUSHI

## 7 COMPARAISONS : BENCHMARK FVCA 5

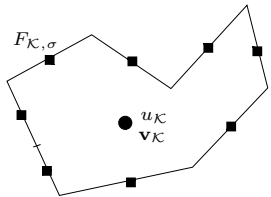
- Présentation
- Test 1 : Anisotropie modérée
- Test 3 : Ecoulement oblique
- Test 4 : Faille verticale
- Test 5 : Anisotropie tournante hétérogène
- Test 8 : Source ponctuelle
- Bilan

(Droniou-Eymard '06) (Droniou '07)

- Une inconnue scalaire  $u_\kappa$  sur chaque  $\kappa \in \mathcal{T}$ .
- Une inconnue vectorielle  $\mathbf{v}_\kappa$  sur chaque  $\kappa \in \mathcal{T}$ .
- Deux inconnues **scalaires** de flux  $F_{\kappa,\sigma}$  et  $F_{\mathcal{L},\sigma}$  sur chaque arête  $\sigma \in \mathcal{E}$ .
- Elles sont liées par la relation de conservativité



$$F_{\kappa,\sigma} + F_{\mathcal{L},\sigma} = 0.$$



(Droniou-Eymard '06) (Droniou '07)

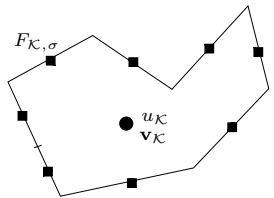
- Une inconnue scalaire  $u_{\kappa}$  sur chaque  $\kappa \in \mathcal{T}$ .
- Une inconnue vectorielle  $\mathbf{v}_{\kappa}$  sur chaque  $\kappa \in \mathcal{T}$ .
- Deux inconnues **scalaires** de flux  $F_{\kappa, \sigma}$  et  $F_{\mathcal{L}, \sigma}$  sur chaque arête  $\sigma \in \mathcal{E}$ .
- Elles sont liées par la relation de conservativité

$$F_{\kappa, \sigma} + F_{\mathcal{L}, \sigma} = 0.$$

- Continuité de l'approximation au barycentre  $x_{\sigma}$  de  $\sigma$  :

$$u_{\kappa} + \mathbf{v}_{\kappa} \cdot (x_{\sigma} - x_{\kappa}) - \nu_{\kappa} |\kappa| F_{\kappa, \sigma} = u_{\mathcal{L}} + \mathbf{v}_{\mathcal{L}} \cdot (x_{\sigma} - x_{\mathcal{L}}) - \nu_{\mathcal{L}} |\mathcal{L}| F_{\mathcal{L}, \sigma}.$$

# SCHÉMAS VF MIXTES



(Droniou-Eymard '06) (Droniou '07)

- Une inconnue scalaire  $u_\kappa$  sur chaque  $\kappa \in \mathcal{T}$ .
- Une inconnue vectorielle  $\mathbf{v}_\kappa$  sur chaque  $\kappa \in \mathcal{T}$ .
- Deux inconnues **scalaires** de flux  $F_{\kappa,\sigma}$  et  $F_{\ell,\sigma}$  sur chaque arête  $\sigma \in \mathcal{E}$ .
- Elles sont liées par la relation de conservativité

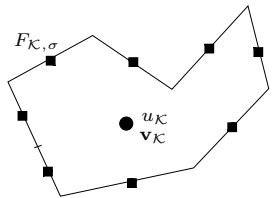
$$F_{\kappa,\sigma} + F_{\ell,\sigma} = 0.$$

- Continuité de l'approximation au barycentre  $x_\sigma$  de  $\sigma$  :

$$u_\kappa + \mathbf{v}_\kappa \cdot (x_\sigma - x_\kappa) - \nu_\kappa |\kappa| F_{\kappa,\sigma} = u_\ell + \mathbf{v}_\ell \cdot (x_\sigma - x_\ell) - \nu_\ell |\ell| F_{\ell,\sigma}.$$

- Formule de “géométrie”

$$|\kappa| \xi = \underbrace{\int_{\kappa} \operatorname{div} \left( (x - x_\kappa) \otimes \xi \right) dx}_{=\xi} = \int_{\partial \kappa} (\xi \cdot \nu) (x - x_\kappa) dx, \quad \forall \xi \in \mathbb{R}^2.$$



(Droniou-Eymard '06) (Droniou '07)

- Une inconnue scalaire  $u_\kappa$  sur chaque  $\kappa \in \mathcal{T}$ .
- Une inconnue vectorielle  $\mathbf{v}_\kappa$  sur chaque  $\kappa \in \mathcal{T}$ .
- Deux inconnues **scalaires** de flux  $F_{\kappa,\sigma}$  et  $F_{\mathcal{L},\sigma}$  sur chaque arête  $\sigma \in \mathcal{E}$ .
- Elles sont liées par la relation de conservativité

$$F_{\kappa,\sigma} + F_{\mathcal{L},\sigma} = 0.$$

- Continuité de l'approximation au barycentre  $x_\sigma$  de  $\sigma$  :

$$u_\kappa + \mathbf{v}_\kappa \cdot (x_\sigma - x_\kappa) - \nu_\kappa |\kappa| F_{\kappa,\sigma} = u_{\mathcal{L}} + \mathbf{v}_{\mathcal{L}} \cdot (x_\sigma - x_{\mathcal{L}}) - \nu_{\mathcal{L}} |\mathcal{L}| F_{\mathcal{L},\sigma}.$$

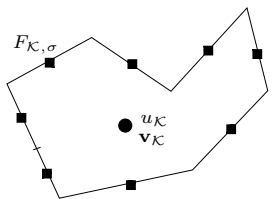
- Formule de “géométrie”

$$|\kappa| \xi = \sum_{\sigma \in \mathcal{E}_\kappa} |\sigma| (\xi \cdot \nu_{\kappa,\sigma}) (x_\sigma - x_\kappa), \quad \forall \xi \in \mathbb{R}^2.$$

# SCHÉMAS VF MIXTES

(Droniou-Eymard '06) (Droniou '07)

- Une inconnue scalaire  $u_\kappa$  sur chaque  $\kappa \in \mathcal{T}$ .
- Une inconnue vectorielle  $\mathbf{v}_\kappa$  sur chaque  $\kappa \in \mathcal{T}$ .
- Deux inconnues **scalaires** de flux  $F_{\kappa,\sigma}$  et  $F_{\mathcal{L},\sigma}$  sur chaque arête  $\sigma \in \mathcal{E}$ .
- Elles sont liées par la relation de conservativité



$$F_{\kappa,\sigma} + F_{\mathcal{L},\sigma} = 0.$$

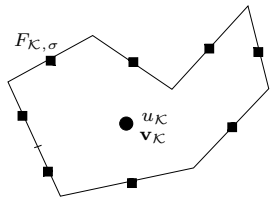
- Continuité de l'approximation au barycentre  $x_\sigma$  de  $\sigma$  :

$$u_\kappa + \mathbf{v}_\kappa \cdot (x_\sigma - x_\kappa) - \nu_\kappa |\kappa| F_{\kappa,\sigma} = u_{\mathcal{L}} + \mathbf{v}_{\mathcal{L}} \cdot (x_\sigma - x_{\mathcal{L}}) - \nu_{\mathcal{L}} |\mathcal{L}| F_{\mathcal{L},\sigma}.$$

- Formule de “géométrie”

$$|\kappa| A_\kappa \mathbf{v}_\kappa = - \sum_{\sigma \in \mathcal{E}_\kappa} F_{\kappa,\sigma} (x_\sigma - x_\kappa).$$

# SCHÉMAS VF MIXTES



(Droniou-Eymard '06) (Droniou '07)

- Une inconnue scalaire  $u_\kappa$  sur chaque  $\kappa \in \mathcal{T}$ .
- Une inconnue vectorielle  $\mathbf{v}_\kappa$  sur chaque  $\kappa \in \mathcal{T}$ .
- Deux inconnues **scalaires** de flux  $F_{\kappa,\sigma}$  et  $F_{\ell,\sigma}$  sur chaque arête  $\sigma \in \mathcal{E}$ .
- Elles sont liées par la relation de conservativité

$$F_{\kappa,\sigma} + F_{\ell,\sigma} = 0.$$

- Continuité de l'approximation au barycentre  $x_\sigma$  de  $\sigma$  :

$$u_\kappa + \mathbf{v}_\kappa \cdot (x_\sigma - x_\kappa) - \nu_\kappa |\kappa| F_{\kappa,\sigma} = u_\ell + \mathbf{v}_\ell \cdot (x_\sigma - x_\ell) - \nu_\ell |\ell| F_{\ell,\sigma}.$$

- Formule de “géométrie”

$$|\kappa| A_\kappa \mathbf{v}_\kappa = - \sum_{\sigma \in \mathcal{E}_\kappa} F_{\kappa,\sigma} (x_\sigma - x_\kappa).$$

- Bilan des flux  $\sum_{\sigma \in \mathcal{E}_\kappa} F_{\kappa,\sigma} = |\kappa| f_\kappa$ .

(Droniou-Eymard '06) (Droniou '07)

## PROPRIÉTÉS

- On a 3 inconnues scalaires par volume de contrôle et deux inconnues scalaires (en réalité une seule) par arête.
- Sur maillage simplicial, le problème est bien posé sans le terme de pénalisation.
- Le schéma s'adapte sans grandes différences au cas non linéaire  $-\operatorname{div}(\varphi(x, \nabla u)) = f$ .

(Droniou-Eymard '06) (Droniou '07)

## PROPRIÉTÉS

- On a 3 inconnues scalaires par volume de contrôle et deux inconnues scalaires (en réalité une seule) par arête.
- Sur maillage simplicial, le problème est bien posé sans le terme de pénalisation.
- Le schéma s'adapte sans grandes différences au cas non linéaire  $-\operatorname{div}(\varphi(x, \nabla u)) = f$ .
- Résultat de convergence de la solution  $u^\tau = (u_\kappa)_\kappa$  et du gradient  $\mathbf{v}^\tau = (\mathbf{v}_\kappa)_\kappa$ , pour un maillage quelconque et des données peu régulières.

(Droniou-Eymard '06) (Droniou '07)

## PROPRIÉTÉS

- On a 3 inconnues scalaires par volume de contrôle et deux inconnues scalaires (en réalité une seule) par arête.
- Sur maillage simplicial, le problème est bien posé sans le terme de pénalisation.
- Le schéma s'adapte sans grandes différences au cas non linéaire  $-\operatorname{div}(\varphi(x, \nabla u)) = f$ .
- Résultat de convergence de la solution  $u^\tau = (u_\kappa)_\kappa$  et du gradient  $\mathbf{v}^\tau = (\mathbf{v}_\kappa)_\kappa$ , pour un maillage quelconque et des données peu régulières.
  - Inégalité de Poincaré.
  - Estimation *a priori*.
  - Compacité.
  - Convergence.

▶ Preuve

▶ Preuve

(Droniou-Eymard '06) (Droniou '07)

## PROPRIÉTÉS

- On a 3 inconnues scalaires par volume de contrôle et deux inconnues scalaires (en réalité une seule) par arête.
- Sur maillage simplicial, le problème est bien posé sans le terme de pénalisation.
- Le schéma s'adapte sans grandes différences au cas non linéaire  $-\operatorname{div}(\varphi(x, \nabla u)) = f$ .
- Résultat de convergence de la solution  $u^\tau = (u_\kappa)_\kappa$  et du gradient  $\mathbf{v}^\tau = (\mathbf{v}_\kappa)_\kappa$ , pour un maillage quelconque et des données peu régulières.
- Sous des hypothèses de régularité de la solution et des coefficients du problème :
  - Maillages généraux : Estimation d'erreur théorique en  $O(\sqrt{\operatorname{size}(\mathcal{T})})$  pour la solution et son gradient.
  - Maillages simpliciaux : Estimation en  $O(\operatorname{size}(\mathcal{T}))$ .

(Droniou-Eymard '06) (Droniou '07)

## IMPLÉMENTATION

- Initialement, le nombre d'inconnues est important.
- Le système linéaire n'a pas de structure simple.

## IMPLÉMENTATION

- Initialement, le nombre d'inconnues est important.
- Le système linéaire n'a pas de structure simple.

## HYBRIDATION (CAS LINÉAIRE)

**But :** Ramener le problème à un système SDP plus petit.

- On définit une inconnue scalaire par arête par

$$u_\sigma \stackrel{\text{def}}{=} u_\kappa + \mathbf{v}_\kappa \cdot (x_\kappa - x_\sigma) - \nu_\kappa |\kappa| F_{\kappa,\sigma} = u_\kappa + \mathbf{v}_\kappa \cdot (x_\kappa - x_\sigma) - \nu_\kappa |\kappa| F_{\kappa,\sigma}.$$

- On utilise

$$\mathbf{v}_\kappa = -\frac{1}{|\kappa|} \sum_{\sigma \in \mathcal{E}_\kappa} F_{\kappa,\sigma} A_\kappa^{-1} (x_\sigma - x_\kappa).$$

- D'où  $(u_\sigma - u_\kappa)_{\sigma \in \mathcal{E}_\kappa} = B_\kappa (F_{\kappa,\sigma})_{\sigma \in \mathcal{E}_\kappa}$ , où  $B_\kappa$  est S.D.P. et ne dépend que de la géométrie de  $\kappa$  et de  $\nu_\kappa$ .

## IMPLÉMENTATION

- Initialement, le nombre d'inconnues est important.
- Le système linéaire n'a pas de structure simple.

## HYBRIDATION (CAS LINÉAIRE)

**But :** Ramener le problème à un système SDP plus petit.

- On définit une inconnue scalaire par arête par

$$u_\sigma \stackrel{\text{def}}{=} u_\kappa + \mathbf{v}_\kappa \cdot (x_\kappa - x_\sigma) - \nu_\kappa |\kappa| F_{\kappa,\sigma} = u_\kappa + \mathbf{v}_\kappa \cdot (x_\kappa - x_\sigma) - \nu_\kappa |\kappa| F_{\kappa,\sigma}.$$

- On utilise

$$\mathbf{v}_\kappa = -\frac{1}{|\kappa|} \sum_{\sigma \in \mathcal{E}_\kappa} F_{\kappa,\sigma} A_\kappa^{-1} (x_\sigma - x_\kappa).$$

- D'où

$$(F_{\kappa,\sigma})_{\sigma \in \mathcal{E}_\kappa} = B_\kappa^{-1} (u_\sigma - u_\kappa)_{\sigma \in \mathcal{E}_\kappa}.$$

## IMPLÉMENTATION

- Initialement, le nombre d'inconnues est important.
- Le système linéaire n'a pas de structure simple.

## HYBRIDATION (CAS LINÉAIRE)

**But :** Ramener le problème à un système SDP plus petit.

- On définit une inconnue scalaire par arête par

$$u_\sigma \stackrel{\text{def}}{=} u_{\mathcal{K}} + \mathbf{v}_{\mathcal{K}} \cdot (x_{\mathcal{K}} - x_\sigma) - \nu_{\mathcal{K}} |\mathcal{K}| F_{\mathcal{K},\sigma} = u_{\mathcal{L}} + \mathbf{v}_{\mathcal{L}} \cdot (x_{\mathcal{L}} - x_\sigma) - \nu_{\mathcal{L}} |\mathcal{L}| F_{\mathcal{L},\sigma}.$$

- On utilise

$$\mathbf{v}_{\mathcal{K}} = -\frac{1}{|\mathcal{K}|} \sum_{\sigma \in \mathcal{E}_{\mathcal{K}}} F_{\mathcal{K},\sigma} A_{\mathcal{K}}^{-1} (x_\sigma - x_{\mathcal{K}}).$$

- D'où  $(F_{\mathcal{K},\sigma})_{\sigma \in \mathcal{E}_{\mathcal{K}}} = B_{\mathcal{K}}^{-1} (u_\sigma - u_{\mathcal{K}})_{\sigma \in \mathcal{E}_{\mathcal{K}}}$ .
- Elimination de  $u_{\mathcal{K}}$

$$\sum_{\sigma \in \mathcal{E}_{\mathcal{K}}} F_{\mathcal{K},\sigma} = |\mathcal{K}| f_{\mathcal{K}}$$

## IMPLÉMENTATION

- Initialement, le nombre d'inconnues est important.
- Le système linéaire n'a pas de structure simple.

## HYBRIDATION (CAS LINÉAIRE)

**But :** Ramener le problème à un système SDP plus petit.

- On définit une inconnue scalaire par arête par

$$u_\sigma \stackrel{\text{def}}{=} u_\kappa + \mathbf{v}_\kappa \cdot (x_\kappa - x_\sigma) - \nu_\kappa |\kappa| F_{\kappa,\sigma} = u_\kappa + \mathbf{v}_\kappa \cdot (x_\kappa - x_\sigma) - \nu_\kappa |\kappa| F_{\kappa,\sigma}.$$

- On utilise

$$\mathbf{v}_\kappa = -\frac{1}{|\kappa|} \sum_{\sigma \in \mathcal{E}_\kappa} F_{\kappa,\sigma} A_\kappa^{-1} (x_\sigma - x_\kappa).$$

- D'où  $(F_{\kappa,\sigma})_{\sigma \in \mathcal{E}_\kappa} = B_\kappa^{-1} (u_\sigma - u_\kappa)_{\sigma \in \mathcal{E}_\kappa}$ .
- Elimination de  $u_\kappa$

$$\sum_{\sigma \in \mathcal{E}_\kappa} c_{\kappa,\sigma} (u_\sigma - u_\kappa) = |\kappa| f_\kappa$$

## IMPLÉMENTATION

- Initialement, le nombre d'inconnues est important.
- Le système linéaire n'a pas de structure simple.

## HYBRIDATION (CAS LINÉAIRE)

**But :** Ramener le problème à un système SDP plus petit.

- On définit une inconnue scalaire par arête par

$$u_\sigma \stackrel{\text{def}}{=} u_\kappa + \mathbf{v}_\kappa \cdot (x_\kappa - x_\sigma) - \nu_\kappa |\kappa| F_{\kappa,\sigma} = u_\kappa + \mathbf{v}_\kappa \cdot (x_\kappa - x_\sigma) - \nu_\kappa |\kappa| F_{\kappa,\sigma}.$$

- On utilise

$$\mathbf{v}_\kappa = -\frac{1}{|\kappa|} \sum_{\sigma \in \mathcal{E}_\kappa} F_{\kappa,\sigma} A_\kappa^{-1} (x_\sigma - x_\kappa).$$

- D'où  $(F_{\kappa,\sigma})_{\sigma \in \mathcal{E}_\kappa} = B_\kappa^{-1} (u_\sigma - u_\kappa)_{\sigma \in \mathcal{E}_\kappa}$ .
- Elimination de  $u_\kappa \Rightarrow u_\kappa = b_\kappa + \sum_{\sigma \in \mathcal{E}_\kappa} \tilde{c}_{\kappa,\sigma} u_\sigma$ .

## IMPLÉMENTATION

- Initialement, le nombre d'inconnues est important.
- Le système linéaire n'a pas de structure simple.

## HYBRIDATION (CAS LINÉAIRE)

**But :** Ramener le problème à un système SDP plus petit.

- On définit une inconnue scalaire par arête par

$$u_\sigma \stackrel{\text{def}}{=} u_\kappa + \mathbf{v}_\kappa \cdot (x_\kappa - x_\sigma) - \nu_\kappa |\kappa| F_{\kappa,\sigma} = u_\kappa + \mathbf{v}_\kappa \cdot (x_\kappa - x_\sigma) - \nu_\kappa |\kappa| F_{\kappa,\sigma}.$$

- On utilise

$$\mathbf{v}_\kappa = -\frac{1}{|\kappa|} \sum_{\sigma \in \mathcal{E}_\kappa} F_{\kappa,\sigma} A_\kappa^{-1} (x_\sigma - x_\kappa).$$

- D'où  $(F_{\kappa,\sigma})_{\sigma \in \mathcal{E}_\kappa} = B_\kappa^{-1} (u_\sigma - u_\kappa)_{\sigma \in \mathcal{E}_\kappa}$ .

- Elimination de  $u_\kappa \Rightarrow u_\kappa = b_\kappa + \sum_{\sigma \in \mathcal{E}_\kappa} \tilde{c}_{\kappa,\sigma} u_\sigma$ .

$$\Rightarrow (F_{\kappa,\sigma})_{\sigma \in \mathcal{E}_\kappa} = C_\kappa (u_\sigma - u_{\sigma'})_{\sigma, \sigma' \in \mathcal{E}_\kappa} + (G_{\kappa,\sigma})_{\sigma \in \mathcal{E}_\kappa}.$$

## IMPLÉMENTATION

- Initialement, le nombre d'inconnues est important.
- Le système linéaire n'a pas de structure simple.

## HYBRIDATION (CAS LINÉAIRE)

**But :** Ramener le problème à un système SDP plus petit.

- On définit une inconnue scalaire par arête par

$$u_\sigma \stackrel{\text{def}}{=} u_\kappa + \mathbf{v}_\kappa \cdot (x_\kappa - x_\sigma) - \nu_\kappa |\kappa| F_{\kappa,\sigma} = u_\kappa + \mathbf{v}_\kappa \cdot (x_\kappa - x_\sigma) - \nu_\kappa |\kappa| F_{\kappa,\sigma}.$$

- On utilise

$$\mathbf{v}_\kappa = -\frac{1}{|\kappa|} \sum_{\sigma \in \mathcal{E}_\kappa} F_{\kappa,\sigma} A_\kappa^{-1} (x_\sigma - x_\kappa).$$

- D'où  $(F_{\kappa,\sigma})_{\sigma \in \mathcal{E}_\kappa} = B_\kappa^{-1} (u_\sigma - u_\kappa)_{\sigma \in \mathcal{E}_\kappa}$ .

- Elimination de  $u_\kappa \Rightarrow u_\kappa = b_\kappa + \sum_{\sigma \in \mathcal{E}_\kappa} \tilde{c}_{\kappa,\sigma} u_\sigma$ .

$$\Rightarrow (F_{\kappa,\sigma})_{\sigma \in \mathcal{E}_\kappa} = C_\kappa (u_\sigma - u_{\sigma'})_{\sigma, \sigma' \in \mathcal{E}_\kappa} + (G_{\kappa,\sigma})_{\sigma \in \mathcal{E}_\kappa}.$$

- $F_{\kappa,\sigma} + F_{\kappa,\sigma'} = 0 \Rightarrow$  Une équation par arête liant les  $(u_\sigma)_\sigma$ .

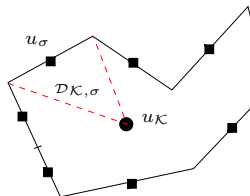
## 6 QUELQUES GRANDES CLASSES DE MÉTHODES

- Présentation générale
- Schémas MPFA
- Schémas diamants
- Schémas VF monotones non-linéaires
- Schémas DDFV
- Schémas mimétiques
- Schémas VF mixtes
- Schémas SUCCES / SUSHI

## 7 COMPARAISONS : BENCHMARK FVCA 5

- Présentation
- Test 1 : Anisotropie modérée
- Test 3 : Ecoulement oblique
- Test 4 : Faille verticale
- Test 5 : Anisotropie tournante hétérogène
- Test 8 : Source ponctuelle
- Bilan

(Eymard-Gallouët-Herbin '08)



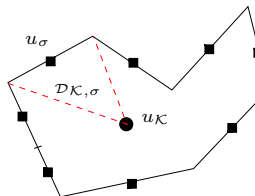
- Inconnues aux centres  $u_K$  et aux arêtes  $u_\sigma$ .
- L'ensemble des arêtes est divisé en deux

$$\mathcal{E} = \mathcal{E}_B \cup \mathcal{E}_H.$$

- Les inconnues  $u_\sigma$  correspondant à  $\sigma \in \mathcal{E}_B$  sont éliminées par une formule barycentrique  $u_\sigma = \sum_K \gamma_K^\sigma u_K$ .
- Les inconnues  $u_\sigma$  correspondant à  $\sigma \in \mathcal{E}_H$  sont libres.
- Formule “géométrique”  $\Rightarrow$  définition d'un gradient discret :

$$\begin{aligned}
 |\mathcal{K}| \xi &= \int_{\mathcal{K}} \nabla \left( \xi \cdot (x - x_K) \right) dx = \sum_{\sigma \in \mathcal{E}_{\mathcal{K}}} \int_{\sigma} \left( \xi \cdot (x - x_K) \right) \boldsymbol{\nu}_{K,\sigma} dx \\
 &= \sum_{\sigma \in \mathcal{E}_{\mathcal{K}}} |\sigma| \left( \xi \cdot (x_\sigma - x_K) \right) \boldsymbol{\nu}_{K,\sigma}.
 \end{aligned}$$

(Eymard-Gallouët-Herbin '08)



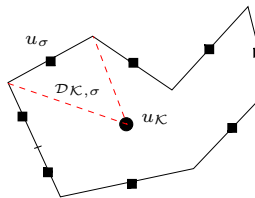
- Inconnues aux centres  $u_\kappa$  et aux arêtes  $u_\sigma$ .
- L'ensemble des arêtes est divisé en deux

$$\mathcal{E} = \mathcal{E}_B \cup \mathcal{E}_H.$$

- Les inconnues  $u_\sigma$  correspondant à  $\sigma \in \mathcal{E}_B$  sont éliminées par une formule barycentrique  $u_\sigma = \sum_\kappa \gamma_\kappa^\sigma u_\kappa$ .
- Les inconnues  $u_\sigma$  correspondant à  $\sigma \in \mathcal{E}_H$  sont libres.
- Formule “géométrique”  $\implies$  définition d'un gradient discret :

$$|\kappa| \nabla u \approx \sum_{\sigma \in \mathcal{E}_\kappa} |\sigma| (u(x_\sigma) - u(x_\kappa)) \boldsymbol{\nu}_{\kappa, \sigma}.$$

(Eymard-Gallouët-Herbin '08)



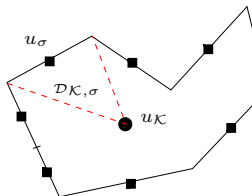
- Inconnues aux centres  $u_\kappa$  et aux arêtes  $u_\sigma$ .
- L'ensemble des arêtes est divisé en deux

$$\mathcal{E} = \mathcal{E}_B \cup \mathcal{E}_H.$$

- Les inconnues  $u_\sigma$  correspondant à  $\sigma \in \mathcal{E}_B$  sont éliminées par une formule barycentrique  $u_\sigma = \sum_\kappa \gamma_\kappa^\sigma u_\kappa$ .
- Les inconnues  $u_\sigma$  correspondant à  $\sigma \in \mathcal{E}_H$  sont libres.
- Formule “géométrique”  $\implies$  définition d'un gradient discret :

$$\nabla_\kappa u^\tau \stackrel{\text{def}}{=} \frac{1}{|\kappa|} \sum_{\sigma \in \mathcal{E}_\kappa} |\sigma| (u_\sigma - u_\kappa) \boldsymbol{\nu}_{\kappa,\sigma}.$$

(Eymard-Gallouët-Herbin '08)



- Inconnues aux centres  $u_\kappa$  et aux arêtes  $u_\sigma$ .
- L'ensemble des arêtes est divisé en deux

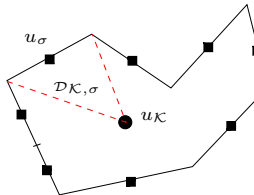
$$\mathcal{E} = \mathcal{E}_B \cup \mathcal{E}_H.$$

- Les inconnues  $u_\sigma$  correspondant à  $\sigma \in \mathcal{E}_B$  sont éliminées par une formule barycentrique  $u_\sigma = \sum_\kappa \gamma_\kappa^\sigma u_\kappa$ .
- Les inconnues  $u_\sigma$  correspondant à  $\sigma \in \mathcal{E}_H$  sont libres.
- Formule “géométrique”  $\Rightarrow$  définition d'un gradient discret :

$$\nabla_\kappa u^\tau \stackrel{\text{def}}{=} \frac{1}{|\kappa|} \sum_{\sigma \in \mathcal{E}_\kappa} |\sigma| (u_\sigma - u_\kappa) \boldsymbol{\nu}_{\kappa,\sigma}.$$

- Err. de consistance  $R_{\kappa,\sigma}(u^\tau) = \frac{\alpha}{d_{\kappa,\sigma}} \left( u_\sigma - u_\kappa - \nabla_\kappa u^\tau \cdot (x_\sigma - x_\kappa) \right)$ .

(Eymard-Gallouët-Herbin '08)



- Inconnues aux centres  $u_\kappa$  et aux arêtes  $u_\sigma$ .
- L'ensemble des arêtes est divisé en deux

$$\mathcal{E} = \mathcal{E}_B \cup \mathcal{E}_H.$$

- Les inconnues  $u_\sigma$  correspondant à  $\sigma \in \mathcal{E}_B$  sont éliminées par une formule barycentrique  $u_\sigma = \sum_\kappa \gamma_\kappa^\sigma u_\kappa$ .
- Les inconnues  $u_\sigma$  correspondant à  $\sigma \in \mathcal{E}_H$  sont libres.
- Formule “géométrique”  $\Rightarrow$  définition d'un gradient discret :

$$\nabla_\kappa u^\tau \stackrel{\text{def}}{=} \frac{1}{|\kappa|} \sum_{\sigma \in \mathcal{E}_\kappa} |\sigma| (u_\sigma - u_\kappa) \boldsymbol{\nu}_{\kappa,\sigma}.$$

- Err. de consistance  $R_{\kappa,\sigma}(u^\tau) = \frac{\alpha}{d_{\kappa,\sigma}} \left( u_\sigma - u_\kappa - \nabla_\kappa u^\tau \cdot (x_\sigma - x_\kappa) \right)$ .
- Sur chaque triangle  $\mathcal{D}_{\kappa,\sigma}$  on définit un gradient stabilisé

$$\nabla_{\kappa,\sigma} u^\tau = \nabla_\kappa u^\tau + R_{\kappa,\sigma}(u^\tau) \boldsymbol{\nu}_{\kappa,\sigma}.$$

- Le schéma s'écrit sous forme “variationnelle”

$$\int_{\Omega} (A(x) \nabla^{\tau} u^{\tau}) \cdot \nabla^{\tau} v^{\tau} dx = \sum_{\kappa} |\kappa| v_{\kappa} f_{\kappa}, \quad \forall v^{\tau} = ((v_{\kappa})_{\kappa}, (v_{\sigma})_{\sigma}).$$

- Le schéma s'écrit sous forme “variationnelle”

$$\int_{\Omega} (A(x) \nabla^{\tau} u^{\tau}) \cdot \nabla^{\tau} v^{\tau} dx = \sum_{\kappa} |\kappa| v_{\kappa} f_{\kappa}, \quad \forall v^{\tau} = ((v_{\kappa})_{\kappa}, (v_{\sigma})_{\sigma}).$$

- On peut l'écrire sous forme VF

$$\sum_{\kappa} \sum_{\sigma \in \mathcal{E}_{\kappa}} F_{\kappa, \sigma}(u^{\tau})(v_{\kappa} - v_{\sigma}) = \sum_{\kappa} |\kappa| v_{\kappa} f_{\kappa}, \quad \forall v^{\tau} = ((v_{\kappa})_{\kappa}, (v_{\sigma})_{\sigma}),$$

avec  $F_{\kappa, \sigma}(u^{\tau}) = \sum_{\sigma' \in \mathcal{E}_{\kappa}} \alpha_{\kappa}^{\sigma, \sigma'} (u_{\kappa} - u_{\sigma'})$ ,  $\alpha_{\kappa}^{\sigma, \sigma'}$  dépend des données.

- Le schéma s'écrit sous forme “variationnelle”

$$\int_{\Omega} (A(x) \nabla^{\tau} u^{\tau}) \cdot \nabla^{\tau} v^{\tau} dx = \sum_{\kappa} |\kappa| v_{\kappa} f_{\kappa}, \quad \forall v^{\tau} = ((v_{\kappa})_{\kappa}, (v_{\sigma})_{\sigma}).$$

- On peut l'écrire sous forme VF

$$\sum_{\kappa} \sum_{\sigma \in \mathcal{E}_{\kappa}} F_{\kappa, \sigma}(u^{\tau})(v_{\kappa} - v_{\sigma}) = \sum_{\kappa} |\kappa| v_{\kappa} f_{\kappa}, \quad \forall v^{\tau} = ((v_{\kappa})_{\kappa}, (v_{\sigma})_{\sigma}),$$

avec  $F_{\kappa, \sigma}(u^{\tau}) = \sum_{\sigma' \in \mathcal{E}_{\kappa}} \alpha_{\kappa}^{\sigma, \sigma'} (u_{\kappa} - u_{\sigma'})$ ,  $\alpha_{\kappa}^{\sigma, \sigma'}$  dépend des données.

- Pour les arêtes  $\sigma \in \mathcal{E}_H$ , l'inconnue  $v_{\sigma}$  est un degré de liberté, donc

$$F_{\kappa, \sigma}(u) + F_{\mathcal{L}, \sigma}(u) = 0.$$

- Pour les arêtes  $\sigma \in \mathcal{E}_B$ , **ceci est faux**.

- Le schéma s'écrit sous forme “variationnelle”

$$\int_{\Omega} (A(x) \nabla^{\tau} u^{\tau}) \cdot \nabla^{\tau} v^{\tau} dx = \sum_{\kappa} |\kappa| v_{\kappa} f_{\kappa}, \quad \forall v^{\tau} = ((v_{\kappa})_{\kappa}, (v_{\sigma})_{\sigma}).$$

- On peut l'écrire sous forme VF

$$\sum_{\kappa} \sum_{\sigma \in \mathcal{E}_{\kappa}} F_{\kappa, \sigma}(u^{\tau})(v_{\kappa} - v_{\sigma}) = \sum_{\kappa} |\kappa| v_{\kappa} f_{\kappa}, \quad \forall v^{\tau} = ((v_{\kappa})_{\kappa}, (v_{\sigma})_{\sigma}),$$

avec  $F_{\kappa, \sigma}(u^{\tau}) = \sum_{\sigma' \in \mathcal{E}_{\kappa}} \alpha_{\kappa}^{\sigma, \sigma'} (u_{\kappa} - u_{\sigma'})$ ,  $\alpha_{\kappa}^{\sigma, \sigma'}$  dépend des données.

- Pour les arêtes  $\sigma \in \mathcal{E}_H$ , l'inconnue  $v_{\sigma}$  est un degré de liberté, donc

$$F_{\kappa, \sigma}(u) + F_{\mathcal{L}, \sigma}(u) = 0.$$

- Pour les arêtes  $\sigma \in \mathcal{E}_B$ , **ceci est faux**.

### CHOIX DES ARÈTES BARYCENTRIQUES/HYBRIDES

- On décide que  $\sigma \in \mathcal{E}_B$  si le tenseur  $A$  est régulier près de  $\sigma$ .
- On décide que  $\sigma \in \mathcal{E}_H$  si  $A$  est discontinu à travers  $\sigma$  pour assurer une bonne précision et la conservativité locale.

### PROPRIÉTÉS

(Eymard-Gallouët-Herbin '08)

- Schéma barycentrique/hybride adapté à la géométrie à mi-chemin entre VF et EF mixtes, proche des schémas mimétiques.

### PROPRIÉTÉS

(Eymard-Gallouët-Herbin '08)

- Schéma barycentrique/hybride adapté à la géométrie à mi-chemin entre VF et EF mixtes, proche des schémas mimétiques.
- La conservativité locale n'est assurée que sur les arêtes "hybrides".
  - Schéma totalement barycentrique :  
peu d'inconnues / profil large / pas de conservativité locale
  - Schéma totalement hybride :  
beaucoup d'inconnues / profil réduit / conservativité locale
- Dans le cas barycentrique, la notion de "flux local" n'est pas très claire.

## PROPRIÉTÉS

(Eymard-Gallouët-Herbin '08)

- Schéma barycentrique/hybride adapté à la géométrie à mi-chemin entre VF et EF mixtes, proche des schémas mimétiques.
- La conservativité locale n'est assurée que sur les arêtes "hybrides".
  - Schéma totalement barycentrique :  
peu d'inconnues / profil large / pas de conservativité locale
  - Schéma totalement hybride :  
beaucoup d'inconnues / profil réduit / conservativité locale
- Dans le cas barycentrique, la notion de "flux local" n'est pas très claire.
- Le système linéaire à résoudre est symétrique.
- Existence et unicité de la solution.
- Théorème de convergence dans le cas général.
- Estimation d'erreur en  $O(\text{size}(\mathcal{T}))$  pour  $u$  et  $\nabla u$  dans le cas **isotrope régulier**.

(Droniou–Eymard–Gallouët–Herbin '09)

## THÉORÈME (ÉNONCÉ SIMPLIFIÉ)

*Les trois méthodes suivantes*

- Mimétique
- VF mixtes
- SUCCES

*sont algébriquement équivalentes (en choisissant convenablement les paramètres).*

## 6 QUELQUES GRANDES CLASSES DE MÉTHODES

- Présentation générale
- Schémas MPFA
- Schémas diamants
- Schémas VF monotones non-linéaires
- Schémas DDFV
- Schémas mimétiques
- Schémas VF mixtes
- Schémas SUCCES / SUSHI

## 7 COMPARAISONS : BENCHMARK FVCA 5

- Présentation
- Test 1 : Anisotropie modérée
- Test 3 : Ecoulement oblique
- Test 4 : Faille verticale
- Test 5 : Anisotropie tournante hétérogène
- Test 8 : Source ponctuelle
- Bilan

# PRÉSENTATION RAPIDE DU BENCHMARK

(Herbin-Hubert, '08)

<http://www.latp.univ-mrs.fr/fvca5>

Actes de la conférence édités chez Wiley

*Ed. : Robert Eymard et Jean-Marc Hérard*

- 19 contributions.
- 9 cas tests.
- Une dizaine de familles de maillages.
- Quelques éléments de comparaison :
  - Nombre d'inconnues / d'éléments non nuls de la matrice.
  - Respect de la conservativité locale.
  - Erreurs  $L^\infty/L^2$  sur  $u$  et  $\nabla u$ .
  - Erreur sur l'approximation des flux aux interfaces.
  - Respect de la positivité / Principe du maximum discret.
  - Bilan énergétique discret.

## 6 QUELQUES GRANDES CLASSES DE MÉTHODES

- Présentation générale
- Schémas MPFA
- Schémas diamants
- Schémas VF monotones non-linéaires
- Schémas DDFV
- Schémas mimétiques
- Schémas VF mixtes
- Schémas SUCCES / SUSHI

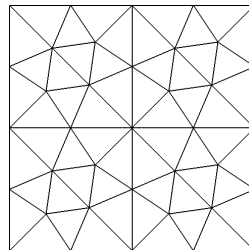
## 7 COMPARAISONS : BENCHMARK FVCA 5

- Présentation
- Test 1 : Anisotropie modérée
- Test 3 : Ecoulement oblique
- Test 4 : Faille verticale
- Test 5 : Anisotropie tournante hétérogène
- Test 8 : Source ponctuelle
- Bilan

# TEST 1 : ANISOTROPIE MODÉRÉE

$$-\operatorname{div}(A \nabla u) = f \text{ dans } \Omega$$

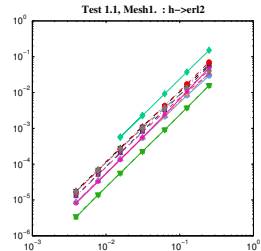
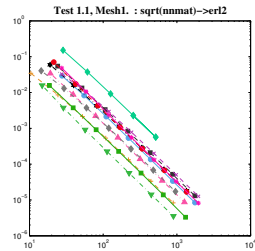
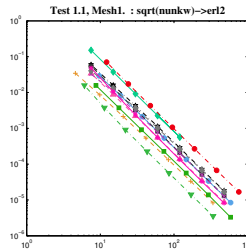
avec  $A = \begin{pmatrix} 1.5 & 0.5 \\ 0.5 & 1.5 \end{pmatrix}$  et  $u(x, y) = 16x(1-x)y(1-y)$ .



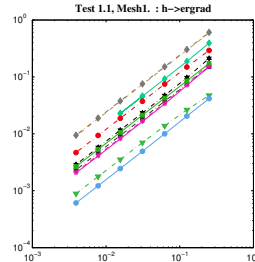
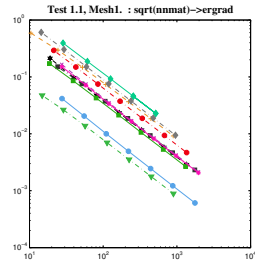
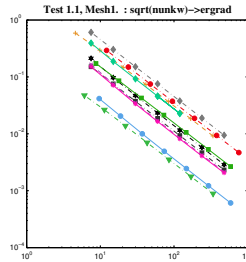
Mesh1

# TEST 1 : ANISOTROPIE MODÉRÉE

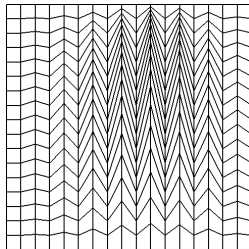
## ERREUR $L^2$ SUR LA SOLUTION (ORDRE 2)



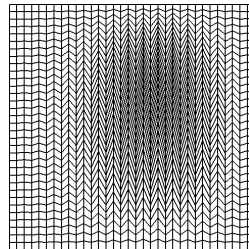
ET SUR LE GRADIENT (ORDRE 1)



# TEST 1 : ANISOTROPIE MODÉRÉE



Mesh4\_1



Mesh4\_2

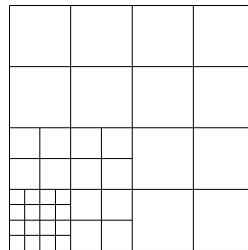
## MINIMUM ET MAXIMUM DE LA SOLUTION APPROCHÉE

|       | mesh 4_1 |                 | mesh 4_2 |                 |
|-------|----------|-----------------|----------|-----------------|
|       | umin     | umax            | umin     | umax            |
| CMPFA | 9.95E-03 | 1.00E+00        | 2.73E-03 | 9.99E-01        |
| CVFE  | 0.00E+00 | 8.43E-01        | 0.00E+00 | 9.14E-01        |
| DDFV  | 1.33E-02 | 9.96E-01        | 3.63E-03 | 9.99E-01        |
| FEQ1  | 0.00E+00 | 8.61E-01        | 0.00E+00 | 9.37E-01        |
| FVHYB | 2.14E-03 | 9.84E-01        | 7.16E-04 | 9.93E-01        |
| FVSYM | 7.34E-03 | 9.59E-01        | 2.33E-03 | 9.89E-01        |
| MFD   | 6.64E-03 | 9.71E-01        | 1.50E-03 | 9.93E-01        |
| MFV   | 1.08E-02 | 9.42E-01        | 3.34E-03 | 9.82E-01        |
| NMFV  | 1.30E-02 | <b>1.11E+00</b> | 3.61E-03 | <b>1.04E+00</b> |
| SUSHI | 7.64E-03 | 8.88E-01        | 2.33E-03 | 9.61E-01        |

# TEST 1 : ANISOTROPIE MODÉRÉE

$$-\operatorname{div}(A \nabla u) = f \text{ dans } \Omega$$

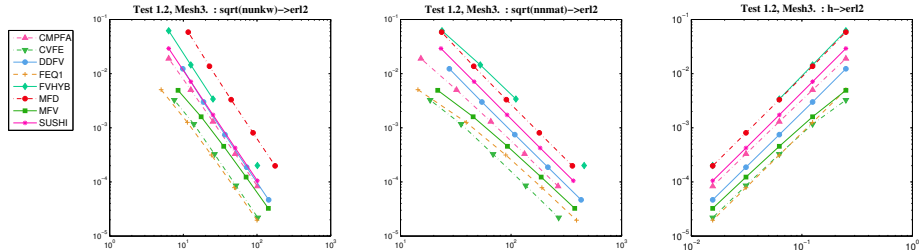
avec  $A = \begin{pmatrix} 1.5 & 0.5 \\ 0.5 & 1.5 \end{pmatrix}$  et  
 $u(x, y) = \sin((1-x)(1-y)) + (1-x)^3(1-y)^2.$



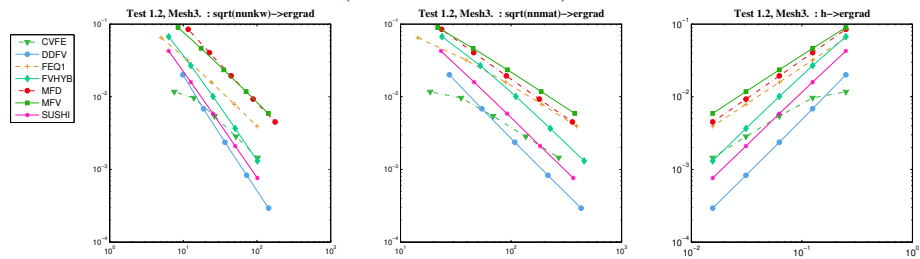
Mesh3

# TEST 1 : ANISOTROPIE MODÉRÉE

## ERREUR $L^2$ SUR LA SOLUTION (ORDRE 2)



## ET SUR LE GRADIENT (ORDRES 0.5 OU 1)



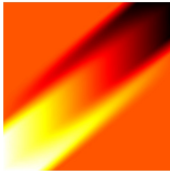
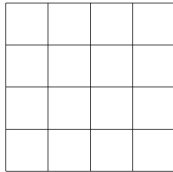
## 6 QUELQUES GRANDES CLASSES DE MÉTHODES

- Présentation générale
- Schémas MPFA
- Schémas diamants
- Schémas VF monotones non-linéaires
- Schémas DDFV
- Schémas mimétiques
- Schémas VF mixtes
- Schémas SUCCES / SUSHI

## 7 COMPARAISONS : BENCHMARK FVCA 5

- Présentation
- Test 1 : Anisotropie modérée
- **Test 3 : Ecoulement oblique**
- Test 4 : Faille verticale
- Test 5 : Anisotropie tournante hétérogène
- Test 8 : Source ponctuelle
- Bilan

# TEST 3 : ECOULEMENT OBLIQUE



$$-\operatorname{div}(A \nabla u) = 0 \text{ dans } \Omega$$

$$\text{avec } A = R_\theta \begin{pmatrix} 1 & 0 \\ 0 & 10^{-3} \end{pmatrix} R_\theta^{-1}, \theta = 40^\circ$$

La donnée au bord  $\bar{u}$  est continue et linéaire par morceaux sur  $\partial\Omega$  :

$$\bar{u}(x, y) = \begin{cases} 1 & \text{sur } (0, .2) \times \{0\} \cup \{0\} \times (0, .2) \\ 0 & \text{sur } (.8, 1.) \times \{1\} \cup \{1\} \times (.8, 1.) \\ \frac{1}{2} & \text{sur } ((.3, 1.) \times \{0\} \cup \{0\} \times (.3, 1.) \\ \frac{1}{2} & \text{sur } (0, .7) \times \{1\} \cup \{1\} \times (0, 0.7) \end{cases}$$

# TEST 3 : ECOULEMENT OBLIQUE

## MINIMUM ET MAXIMUM DES SOLUTIONS APPROCHÉES

|       | umin_i           | umax_i          | i |
|-------|------------------|-----------------|---|
| CMPFA | 6.90E-02         | 9.31E-01        | 1 |
|       | 9.83E-04         | 9.99E-01        | 7 |
| CVFE  | 0.00E+00         | 1.00E+00        | 1 |
|       | 0.00E+00         | 1.00E+00        | 7 |
| DDFV  | <b>-4.72E-03</b> | 1.00E+00        | 1 |
|       | <b>-5.31E-04</b> | 1.00E+00        | 7 |
| FEQ1  | 0.00E+00         | 1.00E+00        | 1 |
|       | 0.00E+00         | 1.00E+00        | 7 |
| FVHYB | <b>-1.75E-01</b> | <b>1.17E+00</b> | 1 |
|       | <b>-1.00E-03</b> | 1.00E+00        | 6 |
| FVSYM | 6.85E-02         | 9.32E-01        | 1 |
|       | 4.92E-04         | 9.99E-01        | 8 |
| MFD   | 7.56E-02         | 9.24E-01        | 1 |
|       | 8.01E-04         | 9.99E-01        | 8 |
| MFE   | 3.12E-02         | 9.69E-01        | 1 |
|       | 5.08E-04         | 9.99E-01        | 8 |
| MFV   | 1.22E-02         | 8.78E-01        | 1 |
|       | 7.92E-04         | 9.99E-01        | 7 |
| NMFV  | 1.11e-01         | 8.88e-01        | 1 |
|       | 1.28E-03         | 9.99E-01        | 7 |
| SUSHI | 6.03E-02         | 9.40E-01        | 1 |
|       | 8.52E-04         | 9.99E-01        | 7 |

# TEST 3 : ECOULEMENT OBLIQUE

## LES ÉNERGIES

|       | ener1           | eren     | i |
|-------|-----------------|----------|---|
| CMPFA | N/A             | N/A      |   |
|       | N/A             | N/A      |   |
| CVFE  | 2.24E-01        | 8.42E-02 | 1 |
|       | 2.42E-01        | 3.33E-03 | 7 |
| DDFV  | 2.14E-01        | 9.60E-02 | 1 |
|       | 2.42E-01        | 7.11E-06 | 7 |
| FEQ1  | 2.21E-01        | 3.67E-01 | 1 |
|       | 2.44E-01        | 3.17E-02 | 7 |
| FVHYB | 2.13E-01        | 2.55E-01 | 1 |
|       | 2.42E-01        | 8.19E-03 | 6 |
| FVSYM | 2.20E-01        | 0.00E+00 | 1 |
|       | 2.42E-01        | 0.00E+00 | 8 |
| MFD   | <b>1.91E-01</b> | 1.87E-14 | 1 |
|       | 2.42E-01        | 3.70E-14 | 8 |
| MFE   | <b>1.25E-01</b> | 2.46E-02 | 1 |
|       | 2.41E-01        | 2.91E-03 | 8 |
| MFV   | <b>4.85E-01</b> | 8.23E-07 | 1 |
|       | 2.42E-01        | 9.74E-06 | 7 |
| NMFV  | 2.33e-01        | 1.45e-01 | 1 |
|       | 2.45E-01        | 1.94E-02 | 7 |
| SUSHI | 2.25E-01        | 3.01E-01 | 1 |
|       | 2.43E-01        | 1.28E-02 | 7 |

Energie de volume

$$\text{ener1} \approx \int_{\Omega} A \nabla u \cdot \nabla u \, dx,$$

Energie de bord

$$\text{ener2} \approx \int_{\partial\Omega} A \nabla u \cdot \boldsymbol{\nu} \, dx.$$

Sur le problème continu :

$$\text{eren1} = \text{eren2}.$$

Erreur sur le bilan d'énergie

$$\text{eren} = \text{ener1} - \text{ener2}.$$

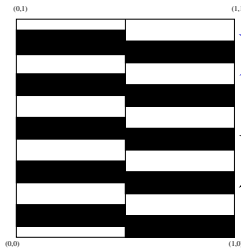
## 6 QUELQUES GRANDES CLASSES DE MÉTHODES

- Présentation générale
- Schémas MPFA
- Schémas diamants
- Schémas VF monotones non-linéaires
- Schémas DDFV
- Schémas mimétiques
- Schémas VF mixtes
- Schémas SUCCES / SUSHI

## 7 COMPARAISONS : BENCHMARK FVCA 5

- Présentation
- Test 1 : Anisotropie modérée
- Test 3 : Ecoulement oblique
- **Test 4 : Faille verticale**
- Test 5 : Anisotropie tournante hétérogène
- Test 8 : Source ponctuelle
- Bilan

## TEST 4 : FAILLE VERTICALE



$$-\operatorname{div}(A \nabla u) = 0 \text{ dans } \Omega$$

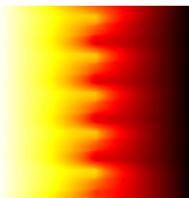
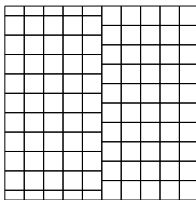
$$u = \bar{u} \text{ sur } \partial\Omega$$

$$\Omega_1$$

$$\Omega_2$$

$$A = \begin{pmatrix} \alpha & 0 \\ 0 & \beta \end{pmatrix}, \text{ avec } \begin{cases} \begin{pmatrix} \alpha \\ \beta \end{pmatrix} = \begin{pmatrix} 10^2 \\ 10 \end{pmatrix} \text{ dans } \Omega_1, \\ \begin{pmatrix} \alpha \\ \beta \end{pmatrix} = \begin{pmatrix} 10^{-2} \\ 10^{-3} \end{pmatrix} \text{ dans } \Omega_2 \end{cases}$$

$$\text{et } \bar{u}(x, y) = 1 - x.$$



mesh5

# TEST 4 : FAILLE VERTICALE

## PRINCIPE DU MAXIMUM

- Vérifié par toutes les méthodes présentées ici.

## VALEURS DES ÉNERGIES

|         | ener1<br>mesh5 | eren<br>mesh5 | ener1<br>mesh5_ref | eren<br>mesh5_ref |
|---------|----------------|---------------|--------------------|-------------------|
| CVFE    | 45.9           | 1.04E-02      | <b>43.3</b>        | 6.25E-04          |
| DDFV    | <b>42.1</b>    | 3.65E-02      | <b>43.2</b>        | 1.27E-03          |
| FVHYB   | <b>41.4</b>    | 6.12E-02      | /                  | /                 |
| MFD-BLS | 33.9           | 7.93E-14      | <b>43.2</b>        | 2.84E-12          |
| MFD     | 31.4           | 1.16E-12      | <b>43.2</b>        | 4.71E-14          |
| MFV     | 49.9           | 4.21E-05      | <b>43.2</b>        | 1.88E-05          |
| NMFV    | /              | /             | <b>43.2</b>        | 5.92E-04          |
| SUSHI   | 39.1           | 6.67E-02      | <b>43.1</b>        | 8.88E-04          |

# TEST 4 : FAILLE VERTICALE

## APPROXIMATION DES FLUX SORTANT

$$\text{flux en } x = 0 : \int_{\partial\Omega \cap \{x=0\}} A \nabla u \cdot \boldsymbol{\nu},$$

|       | flux0<br>mesh5 | flux0<br>mesh5_ref | flux1<br>mesh5 | flux1<br>mesh5_ref | fluy0<br>mesh5 | fluy0<br>mesh5_ref | fluy1<br>mesh5 |
|-------|----------------|--------------------|----------------|--------------------|----------------|--------------------|----------------|
| CMPFA | -45.2          | <b>-42.1</b>       | 46.1           | <b>44.4</b>        | -0.95          | <b>-2.33</b>       | 4.84E-04       |
| CVFE  | -46.6          | <b>-42.2</b>       | 48.5           | <b>44.5</b>        | 0.87           | -2.25              | 8.02E-04       |
| DDFV  | -40.0          | <b>-42.1</b>       | 41.8           | <b>44.4</b>        | -1.81          | <b>-2.33</b>       | 9.08E-04       |
| FEQ1  | /              | <b>-42.2</b>       | /              | <b>44.5</b>        | /              | -2.16              | /              |
| FVHYB | -44.3          | /                  | 46.3           | /                  | 0.49           | /                  | 1.55E-04       |
| MFD   | -29.7          | <b>-42.1</b>       | 34.1           | <b>44.4</b>        | -4.37          | <b>-2.33</b>       | 1.01E-03       |
| MFV   | -44.0          | <b>-42.1</b>       | 50.3           | <b>44.4</b>        | -8.03          | <b>-2.33</b>       | 1.72E+00       |
| NMFV  | <b>-43.2</b>   | <b>-42.1</b>       | <b>44.5</b>    | <b>44.4</b>        | -1.23          | <b>-2.33</b>       | 2.32E-04       |
| SUSHI | <b>-40.9</b>   | <b>-42.1</b>       | <b>43.1</b>    | <b>44.4</b>        | <b>-2.21</b>   | <b>-2.33</b>       | 6.94E-04       |

## 6 QUELQUES GRANDES CLASSES DE MÉTHODES

- Présentation générale
- Schémas MPFA
- Schémas diamants
- Schémas VF monotones non-linéaires
- Schémas DDFV
- Schémas mimétiques
- Schémas VF mixtes
- Schémas SUCCES / SUSHI

## 7 COMPARAISONS : BENCHMARK FVCA 5

- Présentation
- Test 1 : Anisotropie modérée
- Test 3 : Ecoulement oblique
- Test 4 : Faille verticale
- **Test 5 : Anisotropie tournante hétérogène**
- Test 8 : Source ponctuelle
- Bilan

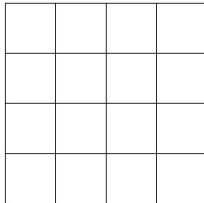
# TEST 5 : ANISOTROPIE TOURNANTE HÉTÉROGÈNE

$$-\operatorname{div}(A \nabla u) = f \text{ dans } \Omega$$

avec

$$A = \frac{1}{(x^2 + y^2)} \begin{pmatrix} 10^{-3}x^2 + y^2 & (10^{-3} - 1)xy \\ (10^{-3} - 1)xy & x^2 + 10^{-3}y^2 \end{pmatrix}$$

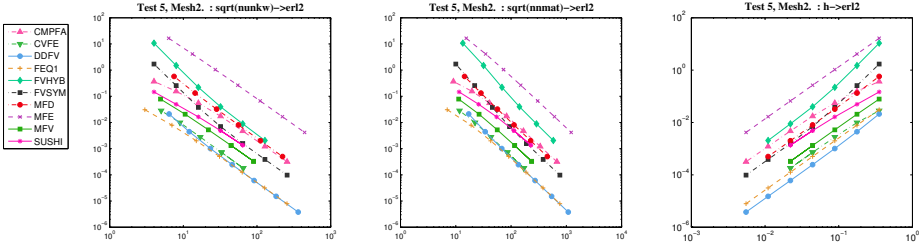
et  $u(x, y) = \sin \pi x \sin \pi y$ .



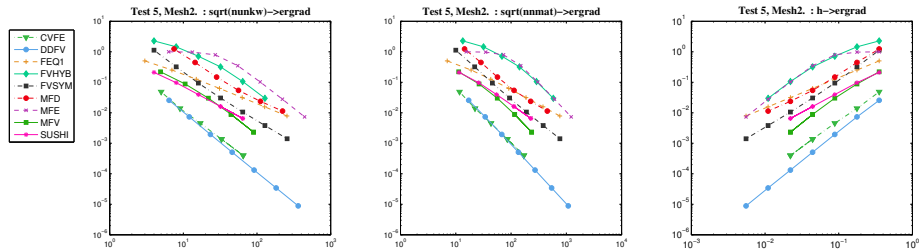
mesh2

# TEST 5 : ANISOTROPIE TOURNANTE HÉTÉROGÈNE

## ERREUR EN NORME $L^2$ SUR LA SOLUTION (ORDRE 2)



## ET SUR SON GRADIENT (ORDRES COMPRIS ENTRE 1 ET 2)



# TEST 5 : ANISOTROPIE TOURNANTE HÉTÉROGÈNE

CERTAINS SCHÉMAS NE VÉRIFIENT PAS LE PRINCIPE DU MAXIMUM

|       | umin      | umax     |
|-------|-----------|----------|
| CMPFA | -1.06E-01 | 1.09E+00 |
| FEQ1  | 0.00E+00  | 1.05E+00 |
| FVHYB | -1.92E+01 | 5.38E+00 |
| FVSYM | -8.67E-01 | 2.57E+00 |
| MFE   | -1.62E+00 | 1.90E+01 |

## 6 QUELQUES GRANDES CLASSES DE MÉTHODES

- Présentation générale
- Schémas MPFA
- Schémas diamants
- Schémas VF monotones non-linéaires
- Schémas DDFV
- Schémas mimétiques
- Schémas VF mixtes
- Schémas SUCCES / SUSHI

## 7 COMPARAISONS : BENCHMARK FVCA 5

- Présentation
- Test 1 : Anisotropie modérée
- Test 3 : Ecoulement oblique
- Test 4 : Faille verticale
- Test 5 : Anisotropie tournante hétérogène
- **Test 8 : Source ponctuelle**
- Bilan

# TEST 8 : SOURCE PONCTUELLE

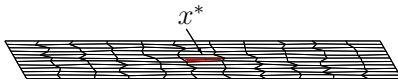
SUR DES PARALLÈLOGRAMMES DÉFORMÉS

$$-\Delta u = f \text{ dans } \Omega$$

Conditions de Dirichlet homogènes

Terme source “mesure” :  $f = 0$  sauf dans la cellule  $C^*$

- $C^* = \text{cell}(6, 6)$
- $\int_{\text{cell}(6, 6)} f(x) dx = 1.$
- $C^* = x^*$
- $f = \delta_{x^*}.$



Le maillage quadrangle utilisé  
mesh9



Solution de référence sur une grille  
fine régulière

# TEST 8 : SOURCE PONCTUELLE

SUR DES PARALLÈLOGRAMMES DÉFORMÉS

## VALEURS EXTRÊMES DES SOLUTIONS APPROCHÉES

|           | umin            | umax            |
|-----------|-----------------|-----------------|
| Fine grid | <b>1.07E-24</b> | <b>4.10E-01</b> |
| CMPFA     | -2.31E-02       | 1.03E-01        |
| CVFE      | -1.23E-03       | 4.24E-02        |
| DDFV      | -1.25E-03       | 8.22E-02        |
| FEQ1      | -4.17E-03       | 4.90E-02        |
| FVHYB     | -3.38E-02       | 1.12E-01        |

|         | umin             | umax            |
|---------|------------------|-----------------|
| FVSYM   | -7.21E-02        | 1.52E-01        |
| FVPMM   | <b>1.22E-09</b>  | <b>3.99E-01</b> |
| MFD     | <b>-1.03E-01</b> | 1.85E-01        |
| MFV     | -8.08E-03        | 5.81E-02        |
| NMFV    | <b>3.05E-15</b>  | 9.42E-02        |
| SUSHI   | -1.19E-03        | 5.65E-02        |
| SUSHI-P | <b>3.26E-06</b>  | <b>6.77E-03</b> |

# TEST 8 : SOURCE PONCTUELLE

SUR DES PARALLÉLOGRAMMES DÉFORMÉS

## FLUX DE MASSE SUR LES QUATRE CÔTÉS DU DOMAINE

|           | flux0             | flux1            | fluy0           | fluy1           |
|-----------|-------------------|------------------|-----------------|-----------------|
| Fine grid | <b>5.46E-21</b>   | <b>5.46E-21</b>  | <b>5.00E-01</b> | <b>5.00E-01</b> |
| CVFE      | -1.17E-05         | 2.63E-05         | 2.87E-01        | 5.54E-01        |
| DDFV      | <b>-5.814E-10</b> | <b>-3.35E-10</b> | <b>4.97E-01</b> | <b>5.02E-01</b> |
| FEQ1      | 5.51E-06          | 7.15E-05         | 5.46E-01        | 4.89E-01        |
| FVSYM     | 1.37E-04          | -1.15E-04        | <b>4.96E-01</b> | <b>5.04E-01</b> |
| FVPMMD    | 1.76E-06          | 3.5E-06          | 4.55E-01        | 5.44E-01        |
| MFD       | -5.14E-04         | -3.13E-03        | <b>5.01E-01</b> | <b>5.03E-01</b> |
| MFV       | -2.30E-02         | 4.95E-02         | 2.74E-01        | 6.99E-01        |
| NMFV      | <b>0.00E+00</b>   | <b>0.00E+00</b>  | <b>4.99E-01</b> | <b>5.01E-01</b> |
| SUSHI     | 7.35E-04          | 1.29E-04         | <b>4.99E-01</b> | <b>5.00E-01</b> |
| SUSHI-P   | -4.21E-02         | -3.29E-02        | 5.38E-01        | 5.37E-01        |

## 6 QUELQUES GRANDES CLASSES DE MÉTHODES

- Présentation générale
- Schémas MPFA
- Schémas diamants
- Schémas VF monotones non-linéaires
- Schémas DDFV
- Schémas mimétiques
- Schémas VF mixtes
- Schémas SUCCES / SUSHI

## 7 COMPARAISONS : BENCHMARK FVCA 5

- Présentation
- Test 1 : Anisotropie modérée
- Test 3 : Ecoulement oblique
- Test 4 : Faille verticale
- Test 5 : Anisotropie tournante hétérogène
- Test 8 : Source ponctuelle
- Bilan

## COMMENT CHOISIR UN SCHÉMA ?

- Ai-je besoin d'utiliser un maillage vraiment général (non conforme, déformé, ...) ?
- Ai-je besoin d'assurer la positivité/monotonie ?
- Ai-je besoin d'une approximation précise du gradient/des flux ?
- Ai-je besoin d'une approximation précise des énergies ?

## COMMENT CHOISIR UN SCHÉMA ?

- Ai-je besoin d'utiliser un maillage vraiment général (non conforme, déformé, ...) ?
  - Ai-je besoin d'assurer la positivité/monotonie ?
  - Ai-je besoin d'une approximation précise du gradient/des flux ?
  - Ai-je besoin d'une approximation précise des énergies ?
- 
- Avec quelles autres équations dois-je envisager un couplage ?  
Avec un code déjà existant ?
  - Si oui, quelle est la structure de données dont je dispose dans mon code ?

## COMMENT CHOISIR UN SCHÉMA ?

- Ai-je besoin d'utiliser un maillage vraiment général (non conforme, déformé, ...) ?
  - Ai-je besoin d'assurer la positivité/monotonie ?
  - Ai-je besoin d'une approximation précise du gradient/des flux ?
  - Ai-je besoin d'une approximation précise des énergies ?
- 
- Avec quelles autres équations dois-je envisager un couplage ?  
Avec un code déjà existant ?
  - Si oui, quelle est la structure de données dont je dispose dans mon code ?
- 
- Ai-je besoin d'être rassuré par des théorèmes ?

## 8 SCHÉMAS DDFV EN 3D

- Reconstruction de gradient en 3D
- L'approche de Coudière-Pierre et Andreianov & al.
- Le schéma de Hermeline
- L'approche Coudière-Hubert
- Implémentation
- Résultats théoriques
- Résultats numériques

# RECONSTRUCTION D'UN GRADIENT EN 3D

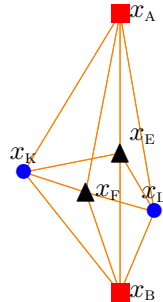
EN 3D, on considère 6 points de  $\mathbb{R}^3$  qui définissent 3 directions indépendantes.

On définit  $\nabla^\tau u^\tau \in \mathbb{R}^3$  par les formules

$$\nabla^\tau u^\tau \cdot (x_L - x_K) = u_L - u_K$$

$$\nabla^\tau u^\tau \cdot (x_A - x_B) = u_A - u_B$$

$$\nabla^\tau u^\tau \cdot (x_F - x_E) = u_F - u_E$$



On appelle **cellule diamant** le polyhèdre dont les faces sont les triangles  $(x_K, x_A, x_F)$ ,  $(x_L, x_A, x_F)$ ,  $(x_K, x_B, x_F)$ ,  $(x_L, x_B, x_F)$ ,  $(x_K, x_A, x_E)$ ,  $(x_L, x_A, x_E)$ ,  $(x_K, x_B, x_E)$ ,  $(x_L, x_B, x_E)$ .

# RECONSTRUCTION DE GRADIENT EN 3D

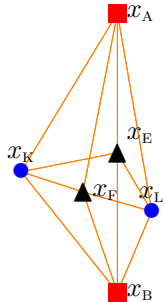
Le vecteur  $\nabla^T u^T$  de  $\mathbb{R}^3$  satisfaisant

$$\nabla^T u^T \cdot (x_L - x_K) = u_L - u_K$$

$$\nabla^T u^T \cdot (x_A - x_B) = u_A - u_B$$

$$\nabla^T u^T \cdot (x_F - x_E) = u_F - u_E$$

est donné par



$$\nabla^T u^T = \frac{1}{3|D|} \left( (u_L - u_K)N_{KL} + (u_B - u_A)N_{AB} + (u_F - u_E)N_{EF} \right)$$

avec

$$N_{KL} = \frac{1}{2}(x_A - x_B) \wedge (x_F - x_E),$$

$$N_{AB} = \frac{1}{2}(x_F - x_E) \wedge (x_L - x_K),$$

$$N_{EF} = \frac{1}{2}(x_L - x_K) \wedge (x_A - x_B)$$

# RECONSTRUCTION DE GRADIENT EN 3D

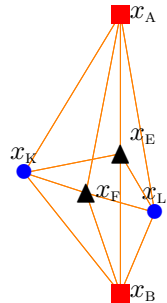
Le vecteur  $\nabla^T u^T$  de  $\mathbb{R}^3$  satisfaisant

$$\nabla^T u^T \cdot (x_L - x_K) = u_L - u_K$$

$$\nabla^T u^T \cdot (x_A - x_B) = u_A - u_B$$

$$\nabla^T u^T \cdot (x_F - x_E) = u_F - u_E$$

est donné par



$$\nabla^T u^T = \frac{1}{3|D|} \left( (u_L - u_K)N_{KL} + (u_B - u_A)N_{AB} + (u_F - u_E)N_{EF} \right)$$

## CHOIX DES POINTS

- On prend naturellement
  - $x_K, x_L$  centres de deux cellules primales voisines
  - $x_A, x_B$  deux sommets communs à K et L
- On a par contre plusieurs possibilités pour les points  $x_F$  et  $x_E$ .

# LES DIFFÉRENTES APPROCHES

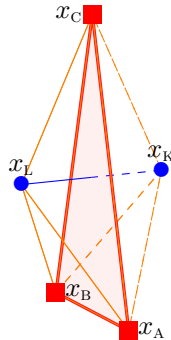
- Inconnues aux centres et aux sommets des cellules  
**(Coudière-Pierre 07')**  
**(Andreianov and al 08')**  
⇒  $x_F, x_E$  sont aussi des sommets des cellules primales  
~~ Ne fonctionne que pour les maillages conformes
- Inconnues aux centres des cellules, aux sommets et aux centres des faces  
**(Hermeline 07')**  
⇒  $x_F$  est le centre de la face entre K et L,  $x_E$  est le centre de l'arête  $x_Ax_B \subset \partial x_F$ .  
~~ Le système linéaire obtenu n'est pas symétrique en général.
- Inconnues aux centres, aux sommets, aux centres des faces et aux centres des arêtes.  
**(Coudière-H. 09')**  
⇒  $x_F$  est le centre de la face entre K et L,  $x_E$  est le centre de l'arête  $x_Ax_B \subset \partial x_F$ .  
~~ Aucune restriction sur le maillage, prise en compte de discontinuité dans la perméabilité.

## 8 SCHÉMAS DDFV EN 3D

- Reconstruction de gradient en 3D
- L'approche de Coudière-Pierre et Andreianov & al.
- Le schéma de Hermeline
- L'approche Coudière-Hubert
- Implémentation
- Résultats théoriques
- Résultats numériques

## SI TOUTES LES FACES SONT DES TRIANGLES

- On prend pour  $x_F$  et  $x_E$  un autre couple de sommets de la face. Ainsi si  $F = (x_A, x_B C)$ , on prend par exemple  $x_F = x_A$  et  $x_E = C$ .
- Les diamants sont la réunion de deux pyramides de base  $F$  et de sommets  $x_K$  et  $x_L$ .



- Le gradient discret d'écrit

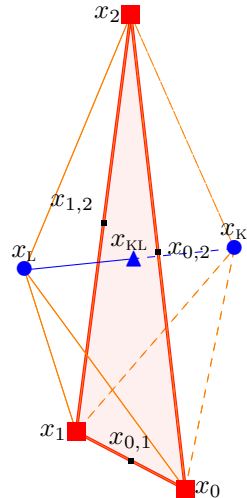
$$3|D|\nabla^\tau u^\tau = (u_L - u_K)N_{KL} + (u_B - u_A)N_{AB} + (u_A - u_C)N_{CA}$$

## CAS GÉNÉRAL

- On numérote les sommets de la face F :  $(x_i)_i$ .
- Si on suppose une condition d'orthogonalité  $(x_L - x_K) \perp F$ , le gradient s'écrit

$$\begin{aligned}\nabla^\tau u^\tau &= \frac{u_L - u_K}{|x_L - x_K|} n_{KL} \\ &+ \sum_i \alpha_{i,i+1} \frac{u_{i+1} - u_i}{|x_{i+1} - x_i|} (x_{i,i+1} - x_{KL})^\perp\end{aligned}$$

pour un bon choix des coefficients  $\alpha_{i,i+1}$ .



- On a des inconnues aux centres et aux sommets du maillage primal.
- A chaque sommet  $x_A$ , on associe un volume de contrôle  $A$ , appelé **cellule duale** ou **cellule nodale**.
- On écrit un bilan de flux discret à la fois sur les **cellules primales** et sur les **cellules duales** :

$$\begin{aligned} -\operatorname{div}_K \varphi^D(\nabla^\tau u^\tau) &= f_K \\ -\operatorname{div}_A \varphi^D(\nabla^\tau u^\tau) &= f_A \\ &+ BC \end{aligned}$$

IL FAUT PRÉCISER LA DÉFINITION DE LA MAILLE DUALE  $A \in \mathcal{N}$ .

# DÉFINITION DES MAILLES DUALES

Coudière, Pierre, Andreianov & al.

DEUX POSSIBILITÉS :

Coudière-Pierre

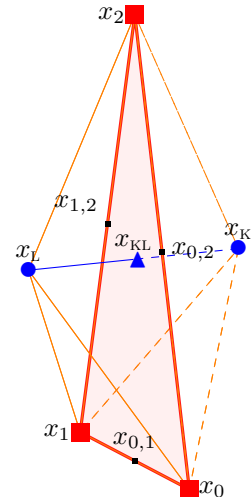
- Les faces de la maille duale  $P_i$  qui se trouvent dans le diamant D sont :

$$(x_K, x_{KL}, x_{i-1}), (x_K, x_{KL}, x_{i+1}), \\ (x_L, x_{KL}, x_{i-1}), (x_L, x_{KL}, x_{i+1})$$

Andreianov & al.

- Les faces de la maille duale  $P_i$  qui se trouvent dans le diamant D sont :

$$(x_K, x_{KL}, x_{i-1,i}), (x_K, x_{KL}, x_{i,i+1}), \\ (x_L, x_{KL}, x_{i,i-1}), (x_L, x_{KL}, x_{i,i+1})$$



# DÉFINITION DES MAILLES DUALES

Coudière, Pierre, Andreianov & al.

DEUX POSSIBILITÉS :

Coudière-Pierre

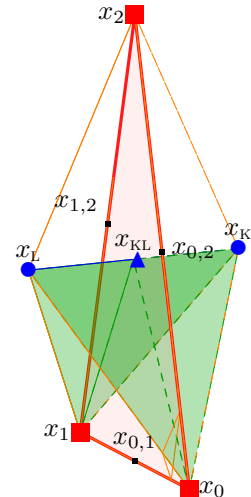
- Les faces de la maille duale  $P_i$  qui se trouvent dans le diamant D sont :

$$(x_K, x_{KL}, x_{i-1}), (x_K, x_{KL}, x_{i+1}), \\ (x_L, x_{KL}, x_{i-1}), (x_L, x_{KL}, x_{i+1})$$

Andreianov & al.

- Les faces de la maille duale  $P_i$  qui se trouvent dans le diamant D sont :

$$(x_K, x_{KL}, x_{i-1,i}), (x_K, x_{KL}, x_{i,i+1}), \\ (x_L, x_{KL}, x_{i,i-1}), (x_L, x_{KL}, x_{i,i+1})$$



# DÉFINITION DES MAILLES DUALES

Coudière, Pierre, Andreianov & al.

DEUX POSSIBILITÉS :

Coudière-Pierre

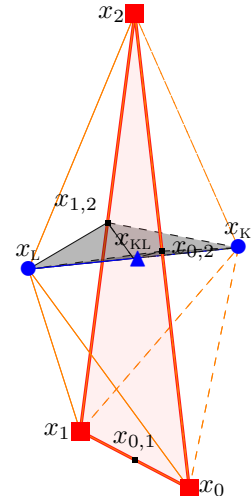
- Les faces de la maille duale  $P_i$  qui se trouvent dans le diamant D sont :

$$(x_K, x_{KL}, x_{i-1}), (x_K, x_{KL}, x_{i+1}), \\ (x_L, x_{KL}, x_{i-1}), (x_L, x_{KL}, x_{i+1})$$

Andreianov & al.

- Les faces de la maille duale  $P_i$  qui se trouvent dans le diamant D sont :

$$(x_K, x_{KL}, x_{i-1,i}), (x_K, x_{KL}, x_{i,i+1}), \\ (x_L, x_{KL}, x_{i,i-1}), (x_L, x_{KL}, x_{i,i+1})$$

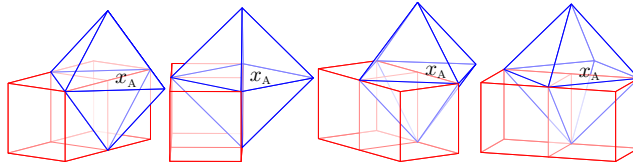


# CONSTRUCTION DU MAILLAGE

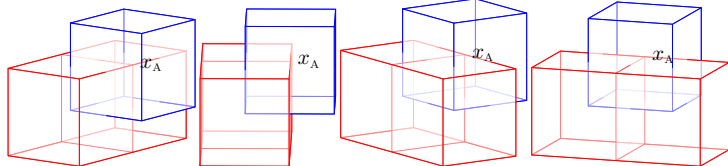
Coudière, Pierre, Andreianov & al.

Exemples de mailles duales pour un maillage primal cubique

Coudière, Pierre



Andreianov & al.



Le propriété de dualité discrète s'écrit

$$-\llbracket \operatorname{div}^\tau \xi^{\mathcal{D}}, u^\tau \rrbracket = ((\xi^{\mathcal{D}}, \nabla^\tau u^\tau)) = \sum_{\mathbf{D}} |\mathbf{D}| \xi^{\mathbf{D}} \nabla_{\mathcal{D}}^\tau u^\tau$$

avec **ATTENTION**

Coudière-Pierre

$$\llbracket u^\tau, v^\tau \rrbracket = \frac{1}{3} \left( \sum_{K \in \mathcal{M}} |K| u_K v_K + \sum_{A \in \mathcal{N}} |A| u_A v_A \right)$$

Andreianov & al.

$$\llbracket u^\tau, v^\tau \rrbracket = \frac{1}{3} \left( \sum_{K \in \mathcal{M}} |K| u_K v_K + 2 \sum_{A \in \mathcal{N}} |A| u_A v_A \right)$$

⇒ **Bilan :** Le domaine est recouvert 3 fois !

## AVANTAGES

- Monotonie et coercivité sont préservées.
- Existence et unicité de la solution prouvées.
- Consistance des opérateurs discrets.
- Preuve de convergence, y compris dans le cadre non linéaire.

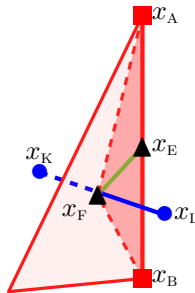
## INCONVÉNIENTS

- Restreint aux maillages conformes

## 8 SCHÉMAS DDFV EN 3D

- Reconstruction de gradient en 3D
- L'approche de Coudière-Pierre et Andreianov & al.
- **Le schéma de Hermeline**
- L'approche Coudière-Hubert
- Implémentation
- Résultats théoriques
- Résultats numériques

- Pour chaque face  $F = \partial K \cap \partial L$ , et chaque arête  $E \subset \partial x_F$ , qui connecte les sommets  $x_A, x_B \in \partial e$ .



On a trois directions non coplanaire naturelles :

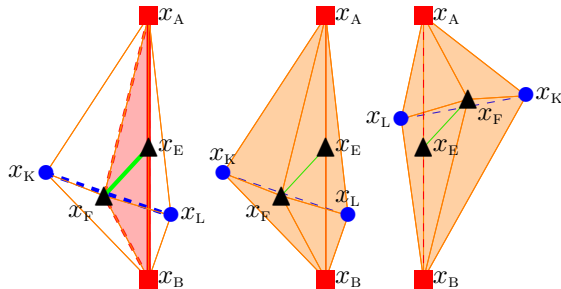
- La direction  $x_Kx_L$
- La direction  $x_Ax_B$
- La direction  $x_Fx_E$

# CONSTRUCTION DES MAILLES DIAMANTS

Hermeline

- Pour chaque face  $F = \partial K \cap \partial L$ , et chaque arête  $E \subset \partial x_F$ , qui connecte les sommets  $x_A, x_B \in \partial e$ .

⇒ D'où la cellule diamant :



et le gradient discret

$$\nabla^\tau u^\tau = \frac{1}{3|D|} ((u_L - u_K)N_{KL} + (u_A - u_B)N_{AB} + (u_F - u_E)N_{FE})$$

- Les inconnues au centre des arêtes sont déterminées par

$$u_E = \frac{1}{2}(u_A + u_B)$$

- Les inconnues au centre des faces  $u_F$  sont aussi éliminées par interpolation barycentrique à partir des valeurs aux sommets de la face :

$$u_F = \sum_{A_i} \alpha_i u_{A_i}$$

- On a donc, *in fine*, seulement des inconnues principales du schéma aux centres des volumes primal et aux sommets.
- Il faut préciser la définition de la maille dual associée.
- Ensuite, il suffit d'écrire le bilan de flux sur les **mailles primales** et les **mailles duals** :

$$\begin{aligned} -\operatorname{div}_K \varphi^D(\nabla^\tau u^\tau) &= f_K \\ -\operatorname{div}_A \varphi^D(\nabla^\tau u^\tau) &= f_A \\ &+ BC \end{aligned}$$

# DÉFINITION DU MAILLAGE DUAL

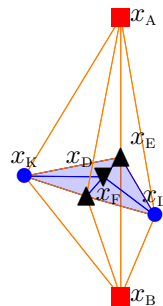
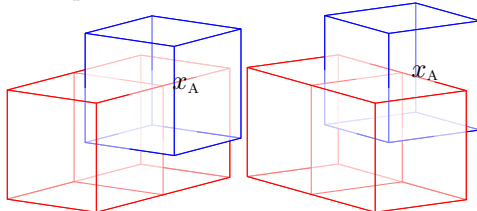
Hermeline

Même définition que celle de **Andreianov & al.**

- Les faces de la cellule duale associée à  $x_A$  qui sont dans  $D$  sont :

$$(x_D, x_K, x_F), (x_D, x_K, x_E), \\ (x_D, x_L, x_F), (x_D, x_L, x_E)$$

- Exemple de maille duale



## AVANTAGES

- Adapté à des maillages généraux, y compris non conformes.
- Prise en compte naturelle des sauts de perméabilité

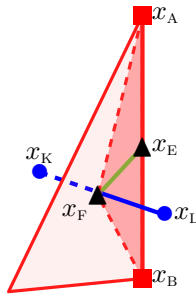
## INCONVÉNIENTS

- Le système linéaire obtenu est en général non symétrique, y compris pour le Laplacien !
  - Pas de formulation en dualité discrète.
- ⇒ Peu de résultats théoriques.

## 8 SCHÉMAS DDFV EN 3D

- Reconstruction de gradient en 3D
- L'approche de Coudière-Pierre et Andreianov & al.
- Le schéma de Hermeline
- L'approche Coudière-Hubert
- Implémentation
- Résultats théoriques
- Résultats numériques

- Pour chaque face  $F = \partial K \cap \partial L$ , chaque arête  $E \subset \partial x_F$ , qui connecte les sommets  $x_A, x_B \in \partial e$



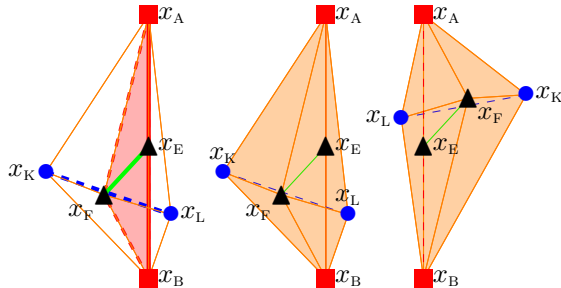
On a trois directions indépendantes

- La direction  $x_K x_L$
- La direction  $x_A x_B$
- La direction  $x_F x_E$

# CONSTRUCTION DES CELLULES DIAMANT

Coudière-Hubert

- Pour chaque face  $F = \partial K \cap \partial L$ , chaque arête  $E \subset \partial x_F$ , qui connecte les sommets  $x_A, x_B \in \partial e$
- ⇒ On lui associe la cellule diamant :



et le gradient discret

$$\nabla^\tau u^\tau = \frac{1}{3|D|} ((u_L - u_K)N_{KL} + (u_A - u_B)N_{AB} + (u_F - u_E)N_{FE})$$

## MAILLAGE CUBIQUE LOCALEMENT RAFFINÉ

On peut ainsi traiter des maillages non conformes.

- On associe à chaque inconnue  $u_K, u_L, u_A, u_B, u_F, u_E$ , un volume de contrôle.
- ⇒ On a donc trois familles de maillages
- Le maillage initiale (**maillage primal**)
  - Le maillage associé aux sommets (**maillage nodal**)
  - Le maillage associé aux couples faces/arêtes (**maillage faces/arêtes**)
- Ecrire le bilan discret sur chaque volume de contrôle en utilisant la divergence discrète et le gradient discret.

$$-\operatorname{div}_K \varphi^D(\nabla^\tau u^\tau) = f_K$$

$$-\operatorname{div}_A \varphi^D(\nabla^\tau u^\tau) = f_A$$

$$\begin{aligned} -\operatorname{div}_F \varphi^D(\nabla^\tau u^\tau) &= f_F, \quad -\operatorname{div}_E \varphi^D(\nabla^\tau u^\tau) = f_E \\ &+ BC \end{aligned}$$

LE MAILLAGE PRIMAL  $\mathcal{M}$ 

- Les faces de K contenues dans D :

$$\cup \left( x_D, \begin{pmatrix} x_A \\ x_B \end{pmatrix}, \begin{pmatrix} x_E \\ x_F \end{pmatrix} \right)$$

LE MAILLAGE NODAL  $\mathcal{N}$ 

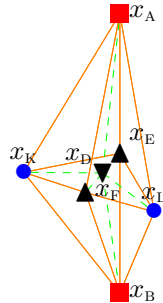
- Les faces de A contenues dans D :

$$\cup \left( x_D, \begin{pmatrix} x_K \\ x_L \end{pmatrix}, \begin{pmatrix} x_E \\ x_F \end{pmatrix} \right)$$

LE MAILLAGE FACES ARÈTES  $\hat{\mathcal{F}}\mathcal{E}$ 

- Les faces de F ou E contenues dans D :

$$\cup \left( x_D, \begin{pmatrix} x_A \\ x_B \end{pmatrix}, \begin{pmatrix} x_K \\ x_L \end{pmatrix} \right)$$



## LE MAILLAGE PRIMAL $\mathcal{M}$

- Les faces de K contenues dans D :

$$\cup \left( x_D, \begin{pmatrix} x_A \\ x_B \end{pmatrix}, \begin{pmatrix} x_E \\ x_F \end{pmatrix} \right)$$

## LE MAILLAGE NODAL $\mathcal{N}$

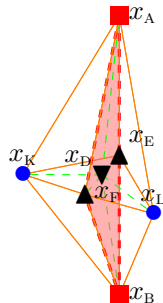
- Les faces de A contenues dans D :

$$\cup \left( x_D, \begin{pmatrix} x_K \\ x_L \end{pmatrix}, \begin{pmatrix} x_E \\ x_F \end{pmatrix} \right)$$

## LE MAILLAGE FACES ARÈTES $\hat{\mathcal{F}}\mathcal{E}$

- Les faces de F ou E contenues dans D :

$$\cup \left( x_D, \begin{pmatrix} x_A \\ x_B \end{pmatrix}, \begin{pmatrix} x_K \\ x_L \end{pmatrix} \right)$$



LE MAILLAGE PRIMAL  $\mathcal{M}$ 

- Les faces de K contenues dans D :

$$\cup \left( x_D, \begin{pmatrix} x_A \\ x_B \end{pmatrix}, \begin{pmatrix} x_E \\ x_F \end{pmatrix} \right)$$

LE MAILLAGE NODAL  $\mathcal{N}$ 

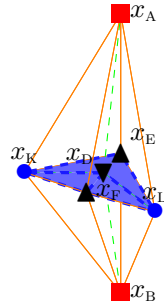
- Les faces de A contenues dans D :

$$\cup \left( x_D, \begin{pmatrix} x_K \\ x_L \end{pmatrix}, \begin{pmatrix} x_E \\ x_F \end{pmatrix} \right)$$

LE MAILLAGE FACES ARÈTES  $\mathcal{FE}$ 

- Les faces de F ou E contenues dans D :

$$\cup \left( x_D, \begin{pmatrix} x_A \\ x_B \end{pmatrix}, \begin{pmatrix} x_K \\ x_L \end{pmatrix} \right)$$



LE MAILLAGE PRIMAL  $\mathcal{M}$ 

- Les faces de K contenues dans D :

$$\cup \left( x_D, \begin{pmatrix} x_A \\ x_B \end{pmatrix}, \begin{pmatrix} x_E \\ x_F \end{pmatrix} \right)$$

LE MAILLAGE NODAL  $\mathcal{N}$ 

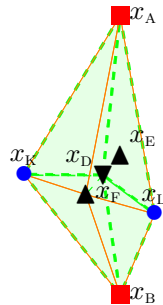
- Les faces de A contenues dans D :

$$\cup \left( x_D, \begin{pmatrix} x_K \\ x_L \end{pmatrix}, \begin{pmatrix} x_E \\ x_F \end{pmatrix} \right)$$

LE MAILLAGE FACES ARÈTES  $\hat{\mathcal{F}}\mathcal{E}$ 

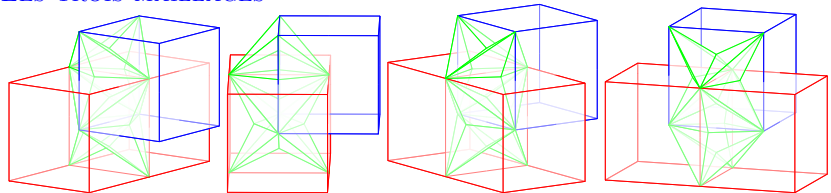
- Les faces de F ou E contenues dans D :

$$\cup \left( x_D, \begin{pmatrix} x_A \\ x_B \end{pmatrix}, \begin{pmatrix} x_K \\ x_L \end{pmatrix} \right)$$

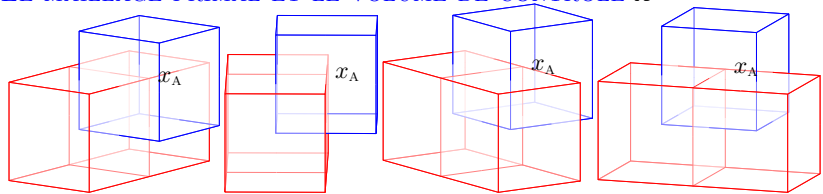


# EXEMPLE D'UN MAILLAGE CUBIQUE

## LES TROIS MAILLAGES

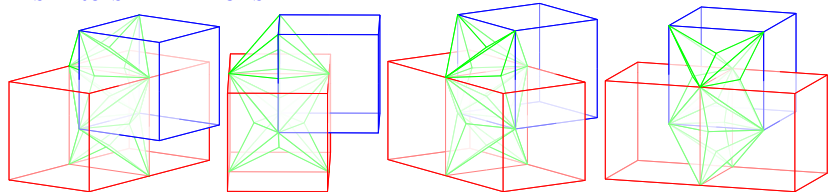


## LE MAILLAGE PRIMAL ET LE VOLUME DE CONTRÔLE A

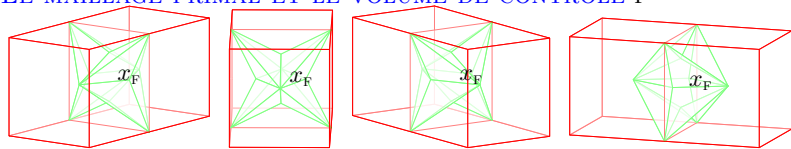


# EXEMPLE D'UN MAILLAGE CUBIQUE

## LES TROIS MAILLAGES

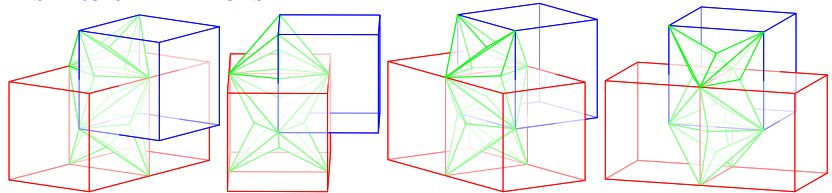


## LE MAILLAGE PRIMAL ET LE VOLUME DE CONTRÔLE F

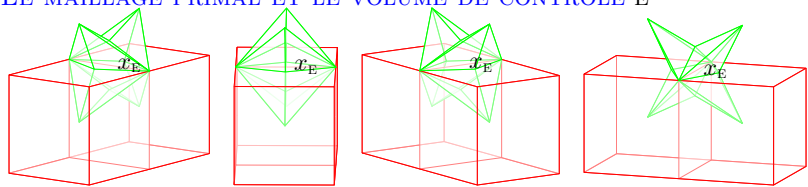


# EXEMPLE D'UN MAILLAGE CUBIQUE

## LES TROIS MAILLAGES

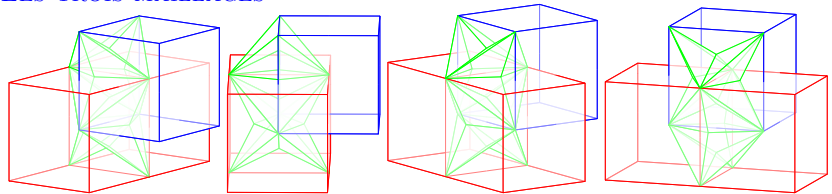


## LE MAILLAGE PRIMAL ET LE VOLUME DE CONTRÔLE E

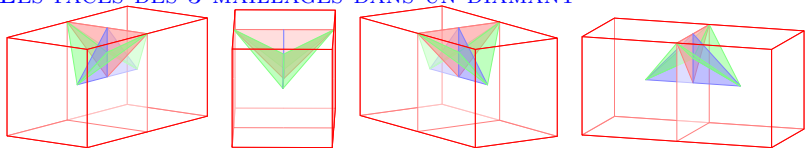


# EXEMPLE D'UN MAILLAGE CUBIQUE

LES TROIS MAILLAGES



LES FACES DES 3 MAILLAGES DANS UN DIAMANT



# EXEMPLE D'UN MAILLAGE CUBIQUE

# LES OPÉRATEURS DISCRETS

Coudière-Hubert

## LE SCHÉMA

$$-\operatorname{div}^{\mathcal{T}}(\varphi^{\mathcal{D}}(\nabla^{\tau} u^{\tau})) = f^{\tau}$$

## LE GRADIENT DISCRET

$$\forall D \in \mathcal{D}, \quad \nabla_D^{\tau} u^{\tau} = \frac{1}{3|D|} ((u_L - u_K)N_{KL} + (u_B - u_A)N_{AB} + (u_F - u_E)N_{EF}).$$

## LA DIVERGENCE

DISCRÈTE  $\operatorname{div}^{\mathcal{T}} = \left( (\operatorname{div}_K)_{K \in \mathcal{M}}, (\operatorname{div}_A)_{A \in \mathcal{N}}, (\operatorname{div}_E, \operatorname{div}_F)_{E, F \in \mathcal{FE}} \right)$

$$|K| \operatorname{div}_K \xi^{\mathcal{D}} = \sum_{D \in D_K} \xi_D N_{KL}, \quad |A| \operatorname{div}_A \xi^{\mathcal{D}} = \sum_{D \in D_A} \xi_D N_{AB},$$

$$|E| \operatorname{div}_E \xi^{\mathcal{D}} = \sum_{D \in D_E} \xi_D N_{EF}, \quad |F| \operatorname{div}_F \xi^{\mathcal{D}} = - \sum_{D \in D_F} \xi_D N_{EF}$$

$$N_{KL} = \frac{1}{2} (x_B - x_A) \times (x_F - x_E)$$

$$N_{AB} = \frac{1}{2} (x_F - x_E) \times (x_L - x_K)$$

$$N_{EF} = \frac{1}{2} (x_L - x_K) \times (x_B - x_A)$$

Avec des conditions de Dirichlet homogène, on a

$$-\llbracket \operatorname{div}^\tau \xi^{\mathcal{D}}, u^\tau \rrbracket = \sum_{D \in \mathcal{D}} |D| \xi^D \nabla^\tau u^\tau$$

avec

$$\llbracket u^\tau, v^\tau \rrbracket = \frac{1}{3} \left( \sum_{K \in \mathcal{M}} |K| u_K v_K + \sum_{A \in \mathcal{N}} |A| u_A v_A + \sum_{F \in \mathcal{F}} |F| u_F v_F + \sum_{E \in \mathcal{E}} |E| u_E v_E \right)$$

LE DOMAINE EST RECOUVERT 3 FOIS PAR LES MAILLAGES

## 8 SCHÉMAS DDFV EN 3D

- Reconstruction de gradient en 3D
- L'approche de Coudière-Pierre et Andreianov & al.
- Le schéma de Hermeline
- L'approche Coudière-Hubert
- **Implémentation**
- Résultats théoriques
- Résultats numériques

- Aucun des maillages  $\mathcal{N}$  ni  $\mathcal{FE}$  ne sont réellement construits en pratique.
- On a juste besoin du maillage primal et d'une **structure diamant** qui contient
  - une référence aux points  $x_A, x_B, x_K, x_L, x_E, x_F$ .
  - Les vecteurs  $N_{KL}, N_{AB}, N_{EF}$ .
  - Les mesures des 8 tétraèdres :  $(x_D, x_K, x_A, x_F), (x_D, x_K, x_A, x_E), \dots$
- Dans le cas linéaire  $\varphi(x, \xi) = A(x)\xi$ , la matrice du système est constituée de termes de la forme  $A^D N_{KL} \cdot N_{KL}, A^D N_{AB} \cdot N_{KL}, \dots$
- **Les termes sources** sont évalués dans chaque maille diamant que l'on découpe en tétraèdres.

## 8 SCHÉMAS DDFV EN 3D

- Reconstruction de gradient en 3D
- L'approche de Coudière-Pierre et Andreianov & al.
- Le schéma de Hermeline
- L'approche Coudière-Hubert
- Implémentation
- Résultats théoriques
- Résultats numériques

## LE SCHÉMA

$$-\operatorname{div}^T(\varphi^{\mathcal{D}}(\nabla^T u^T)) = f^T$$

- Nombre d'inconnues = # volumes de contrôle primaux + # sommets intérieurs + # faces intérieures + # arêtes intérieures.
  - Monotonie et coercivité du problème continu sont préservées.
  - Existence et unicité de la solution approchée.
  - Structure variationnelle préservée si  $\varphi = \nabla_\xi \Phi$ .
  - Estimations d'erreur en  $h^{p-1}$  si  $p \geq 2$ , dès que  $u_E \in W^{2,p}(\Omega)$ .
- ≈ Un benchmark diffusion anisotrope 3D est en cours  
[http://www.latp.univ-mrs.fr/latp\\_numerique/](http://www.latp.univ-mrs.fr/latp_numerique/)
- ≈ Workshop à Carry-le-Rouet : du 8 au 10 Septembre 2010

## LES AVANTAGES

- Implémentation aisée malgré les apparences !
- Bases théoriques solides.
- Possibilité de prendre naturellement en compte des sauts de perméabilité.
- Grande généralité de maillages.

## INCONVÉNIENTS

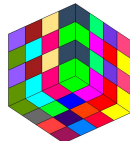
- Beaucoup d'inconnues par rapport à d'autres approches, mais il faudrait comparer les stencils.

## 8 SCHÉMAS DDFV EN 3D

- Reconstruction de gradient en 3D
- L'approche de Coudière-Pierre et Andreianov & al.
- Le schéma de Hermeline
- L'approche Coudière-Hubert
- Implémentation
- Résultats théoriques
- Résultats numériques

# RÉSULTATS NUMÉRIQUES

$$-\operatorname{div}(A(x, y, z)\nabla u) = f + \text{Dirichlet BC}$$



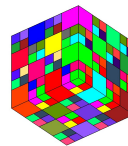
Maillage cubique  
(mesh 1)



Maillage  
tétraédrique  
(mesh 2)



Maillage de  
prismes  
(mesh 3)



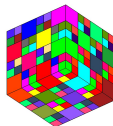
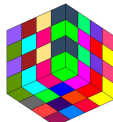
Maillage en  
“damier”  
(mesh 4)

| # | Mesh 1  |        | Mesh 2  |        | Mesh 3  |        | Mesh 4  |        |
|---|---------|--------|---------|--------|---------|--------|---------|--------|
|   | Nb vol. | Nb un. |
| 1 | 8       | 27     | 215     | 737    | 36      | 239    | 1210    | 12179  |
| 2 | 64      | 343    | 2003    | 7777   | 288     | 2543   | 8820    | 96759  |
| 3 | 512     | 3375   | 3898    | 15495  | 2304    | 23135  | 28830   | 325739 |
| 4 | 4096    | 29791  | 7711    | 31139  | 18432   | 196799 | —       | —      |
| 5 | 32768   | 250047 | 15266   | 62419  | —       | —      | —       | —      |

# RÉSULTATS NUMÉRIQUES

## TEST 1

$$-\operatorname{div}(A(x, y, z) \nabla u) = f + \text{DirichletBC}$$



$$A(x, y, z) = \begin{pmatrix} 1 & 0.5 & 0 \\ 0.5 & 1 & 0 \\ 0 & 0 & 1 \end{pmatrix}$$

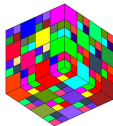
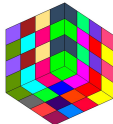
$$u(x, y, z) = 16(x(1-x) + y(1-y) + z(1-z))$$

| Mesh 1 |               |             |                   |             | Mesh 4        |             |                   |             |  |
|--------|---------------|-------------|-------------------|-------------|---------------|-------------|-------------------|-------------|--|
| #      | $\ \cdot\ _2$ | Ordre $L_2$ | $\ \cdot\ _{H_1}$ | Ordre $H_1$ | $\ \cdot\ _2$ | Ordre $L_2$ | $\ \cdot\ _{H_1}$ | Ordre $H_1$ |  |
| 1      | 0.18e+00      | —           | 0.12e+01          | —           | 0.78e+00      | —           | 0.28e+01          | —           |  |
| 2      | 0.37e-01      | 2.02        | 0.49e+00          | 1.10        | 0.22e+00      | 1.62        | 0.15e+01          | 0.80        |  |
| 3      | 0.24e-01      | 1.91        | 0.39e+00          | 0.96        | 0.57e-01      | 1.82        | 0.77e+00          | 0.90        |  |
| 4      | 0.15e-01      | 2.10        | 0.30e+00          | 1.09        | 0.14e-01      | 1.91        | 0.39e+00          | 0.95        |  |
| 5      | 0.95e-02      | 1.87        | 0.25e+00          | 0.93        | —             | —           | —                 | —           |  |

# RÉSULTATS NUMÉRIQUES

## TEST 1

$$-\operatorname{div}(A(x, y, z)\nabla u) = f + \text{DirichletBC}$$



$$A(x, y, z) = \begin{pmatrix} 1 & 0.5 & 0 \\ 0.5 & 1 & 0 \\ 0 & 0 & 1 \end{pmatrix}$$

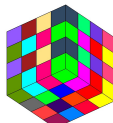
$$u(x, y, z) = 16(x(1-x) + y(1-y) + z(1-z))$$

|   |       | Mesh 1        |            | Mesh 4     |               |
|---|-------|---------------|------------|------------|---------------|
| # |       | $u_{\min}$    | $u_{\max}$ | $u_{\min}$ | $u_{\max}$    |
| 1 | 0.000 | 11.938        |            | 0.000      | <b>12.023</b> |
| 2 | 0.000 | <b>12.022</b> |            | 0.000      | 11.999        |
| 3 | 0.000 | 11.992        |            | 0.000      | 12.000        |
| 4 | 0.000 | <b>12.006</b> |            | 0.000      | 12.000        |
| 5 | 0.000 | <b>12.004</b> |            | —          | —             |

# RÉSULTATS NUMÉRIQUES

## TEST 2

$$-\operatorname{div}(A(x, y, z) \nabla u) = f + \text{DirichletBC}$$



$$A(x, y, z) = \begin{pmatrix} y^2 + z^2 + 1 & -xy & -xz \\ -xy & x^2 + z^2 + 1 & -yz \\ -xz & -yz & x^2 + y^2 + 1 \end{pmatrix}$$



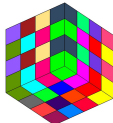
$$u(x, y, z) = x^3 y^2 z + x \sin(2\pi xz) \sin(2\pi xy) \sin(2\pi z)$$

| Mesh 1 |               |      |                   | Mesh 3 |               |      |                   |      |
|--------|---------------|------|-------------------|--------|---------------|------|-------------------|------|
| #      | $\ \cdot\ _2$ | Rate | $\ \cdot\ _{H_1}$ | Rate   | $\ \cdot\ _2$ | Rate | $\ \cdot\ _{H_1}$ | Rate |
| 1      | 0.25e+00      | —    | 0.85e+00          | —      | 0.12e-01      | —    | 0.18e+00          | —    |
| 2      | 0.54e-01      | 1.79 | 0.39e+00          | 0.92   | 0.33e-02      | 1.85 | 0.89e-01          | 1.03 |
| 3      | 0.17e-01      | 1.56 | 0.20e+00          | 0.87   | 0.15e-02      | 1.92 | 0.58e-01          | 1.05 |
| 4      | 0.44e-02      | 1.82 | 0.97e-01          | 1.01   | —             | —    | —                 | —    |
| 5      | 0.11e-02      | 1.92 | 0.47e-01          | 1.02   | —             | —    | —                 | —    |

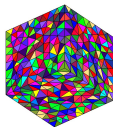
# RÉSULTATS NUMÉRIQUES

## TEST 3

$$-\operatorname{div}(A(x, y, z) \nabla u) = f + \text{DirichletBC}$$



$$A(x, y, z) = \begin{pmatrix} \frac{K_1 x^2 + K_2 y^2}{x^2 + y^2} & \frac{K_1 - K_2 xy}{x^2 + y^2} & 0 \\ \frac{(K_1 - K_2)xy}{x^2 + y^2} & \frac{K_2 x^2 + K_1 y^2}{x^2 + y^2} & 0 \\ 0 & 0 & 1.0 + K_3 z \end{pmatrix}$$



$$u(x, y, z) = \sin(2\pi x) \sin(2\pi y) \sin(2\pi z)$$

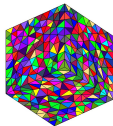
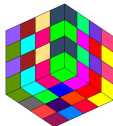
$$K_1 = 1, K_2 = 0.1, K_3 = 1$$

| Mesh 1 |               |             |                   |             | Mesh 2        |             |                   |             |  |
|--------|---------------|-------------|-------------------|-------------|---------------|-------------|-------------------|-------------|--|
| #      | $\ \cdot\ _2$ | Ordre $L_2$ | $\ \cdot\ _{H_1}$ | Ordre $H_1$ | $\ \cdot\ _2$ | Ordre $L_2$ | $\ \cdot\ _{H_1}$ | Ordre $H_1$ |  |
| 1      | 0.34e+00      | —           | 0.25e+00          | —           | 0.20e+01      | —           | 0.12e+01          | —           |  |
| 2      | 0.56e-01      | 2.14        | 0.62e+00          | 0.95        | 0.39e-01      | 2.06        | 0.51e+00          | 1.11        |  |
| 3      | 0.16e-01      | 1.67        | 0.36e+00          | 0.72        | 0.25e-01      | 2.00        | 0.40e+00          | 1.11        |  |
| 4      | 0.41e-02      | 1.86        | 0.18e+00          | 0.91        | 0.16e-01      | 1.97        | 0.31e+00          | 1.09        |  |
| 5      | 0.10e-02      | 1.96        | 0.93e-01          | 0.97        | 0.98e-02      | 2.00        | 0.24e+00          | 1.04        |  |

# RÉSULTATS NUMÉRIQUES

## TEST 3

$$-\operatorname{div}(A(x, y, z) \nabla u) = f + \text{DirichletBC}$$



$$A(x, y, z) = \begin{pmatrix} \frac{K_1 x^2 + K_2 y^2}{x^2 + y^2} & \frac{K_1 - K_2 xy}{x^2 + y^2} & 0 \\ \frac{(K_1 - K_2) xy}{x^2 + y^2} & \frac{K_2 x^2 + K_1 y^2}{x^2 + y^2} & 0 \\ 0 & 0 & 1.0 + K_3 z \end{pmatrix}$$

$$u(x, y, z) = \sin(2\pi x) \sin(2\pi y) \sin(2\pi z)$$

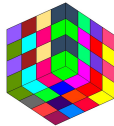
$$K_1 = 1, K_2 = 0.1, K_3 = 1$$

|   | Mesh 1     |            | Mesh 2     |            |
|---|------------|------------|------------|------------|
| # | $u_{\min}$ | $u_{\max}$ | $u_{\min}$ | $u_{\max}$ |
| 1 | -0.663     | 0.682      | -1.072     | 1.178      |
| 2 | -0.977     | 0.985      | -1.016     | 1.086      |
| 3 | -0.999     | 1.001      | -1.012     | 1.028      |
| 4 | -1.000     | 1.000      | -1.003     | 1.021      |
| 5 | -1.000     | 1.000      | -1.015     | 1.015      |

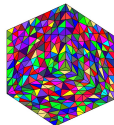
# RÉSULTATS NUMÉRIQUES

## TEST 4

$$-\operatorname{div}(A(x, y, z) \nabla u) = f + \text{DirichletBC}$$



$$A(x, y, z) = \begin{pmatrix} \frac{K_1 x^2 + K_2 y^2}{x^2 + y^2} & \frac{K_1 - K_2 x y}{x^2 + y^2} & 0 \\ \frac{(K_1 - K_2) x y}{x^2 + y^2} & \frac{K_2 x^2 + K_1 y^2}{x^2 + y^2} & 0 \\ 0 & 0 & 1.0 + K_3 z \end{pmatrix}$$



$$u(x, y, z) = \sin(2\pi x) \sin(2\pi y) \sin(2\pi z)$$

$$K_1 = 1, K_2 = 0.001, K_3 = 10$$

| Mesh 1 |               |             |                   | Mesh 2      |               |             |                   |             |
|--------|---------------|-------------|-------------------|-------------|---------------|-------------|-------------------|-------------|
| #      | $\ \cdot\ _2$ | Ordre $L_2$ | $\ \cdot\ _{H_1}$ | Ordre $H_1$ | $\ \cdot\ _2$ | Ordre $L_2$ | $\ \cdot\ _{H_1}$ | Ordre $H_1$ |
| 1      | 0.42e+00      | —           | 0.19e+01          | —           | 0.25e+00      | —           | 0.17e+01          | —           |
| 2      | 0.25e+00      | 0.61        | 0.29e+01          | -0.49       | 0.49e-01      | 0.83        | 0.79e+00          | 1.01        |
| 3      | 0.66e-01      | 1.74        | 0.16e+01          | 0.82        | 0.32e-01      | 1.90        | 0.61e+00          | 1.09        |
| 4      | 0.17e-01      | 1.88        | 0.80e+00          | 0.93        | 0.20e-01      | 1.94        | 0.49e+00          | 0.94        |
| 5      | 0.43e-02      | <b>1.94</b> | 0.40e+00          | <b>0.97</b> | 0.13e-01      | <b>2.05</b> | 0.38e+00          | <b>1.06</b> |

FIN

Soit  $u^\tau$  solution de  $Au^\tau = (h_i f_i)_i$ .

- On suppose  $(f_i)_i \geq 0$ , on veut montrer  $(u_i)_i \geq 0$ .

Soit  $u^\tau$  solution de  $Au^\tau = (h_i f_i)_i$ .

- On suppose  $(f_i)_i \geq 0$ , on veut montrer  $(u_i)_i \geq 0$ .
- Supposons  $U = (u_i)_i \not\geq 0$ , on pose alors

$$i_0 = \min\{1 \leq i \leq N, \text{ tel que } u_i = \min U\}.$$

Par hypothèse, on a  $u_{i_0} < 0 = u_0$  et donc

$$u_{i_0} < u_{i_0-1}, \text{ et } u_{i_0} \leq u_{i_0+1}.$$

# PREUVE DU PRINCIPE DU MAXIMUM 1D

Soit  $u^\tau$  solution de  $Au^\tau = (h_i f_i)_i$ .

- On suppose  $(f_i)_i \geq 0$ , on veut montrer  $(u_i)_i \geq 0$ .
- Supposons  $U = (u_i)_i \not\geq 0$ , on pose alors

$$i_0 = \min\{1 \leq i \leq N, \text{ tel que } u_i = \min U\}.$$

Par hypothèse, on a  $u_{i_0} < 0 = u_0$  et donc

$$u_{i_0} < u_{i_0-1}, \text{ et } u_{i_0} \leq u_{i_0+1}.$$

- On regarde la  $i_0$ -ième équation du système

$$\underbrace{-k_{i_0+1/2} \frac{u_{i_0+1} - u_{i_0}}{h_{i_0+1/2}} + k_{i_0-1/2} \frac{u_{i_0} - u_{i_0-1}}{h_{i_0-1/2}}}_{\leq 0} = \underbrace{h_{i_0} f_{i_0}}_{\geq 0}.$$

$\Rightarrow$  Contradiction.

◀ Retour

Soit  $u^\tau$  tel que  $Au^\tau = (h_i f_i)_i$ .

- On construit “explicitement” un vecteur  $V$  solution de

$$AV = (h_i)_i.$$

Soit  $u^\tau$  tel que  $Au^\tau = (h_i f_i)_i$ .

- On construit “explicitement” un vecteur  $V$  solution de

$$AV = (h_i)_i.$$

- Celui-ci vérifie  $\|V\|_\infty \leq C$  et  $v_i \approx v(x_i)$  où  $v$  est la solution de

$$-\partial_x(k(x)\partial_x v) = 1, \quad v(0) = v(1) = 0.$$

Soit  $u^\tau$  tel que  $Au^\tau = (h_i f_i)_i$ .

- On construit “explicitement” un vecteur  $V$  solution de

$$AV = (h_i)_i.$$

- Celui-ci vérifie  $\|V\|_\infty \leq C$  et  $v_i \approx v(x_i)$  ou  $v$  est la solution de

$$-\partial_x(k(x)\partial_x v) = 1, \quad v(0) = v(1) = 0.$$

- On a la propriété suivante

$$A(\|f\|_\infty V - U) = (h_i(\|f\|_\infty - f_i))_i \geq 0.$$

Soit  $u^\tau$  tel que  $Au^\tau = (h_i f_i)_i$ .

- On construit “explicitement” un vecteur  $V$  solution de

$$AV = (h_i)_i.$$

- Celui-ci vérifie  $\|V\|_\infty \leq C$  et  $v_i \approx v(x_i)$  ou  $v$  est la solution de

$$-\partial_x(k(x)\partial_x v) = 1, \quad v(0) = v(1) = 0.$$

- On a la propriété suivante

$$A(\|f\|_\infty V - U) = (h_i(\|f\|_\infty - f_i))_i \geq 0.$$

- Par le principe du maximum discret on en déduit

$$U \leq \|f\|_\infty V,$$

d'où

$$U \leq C\|f\|_\infty.$$

- On fait le même raisonnement avec  $-U$  pour conclure.

# PREUVE DE L'INÉGALITÉ DE POINCARÉ

- On suppose  $\Omega$  convexe (pour simplifier).
- On fixe une vecteur unitaire  $\xi \in \mathbb{R}^2$  et pour tout  $x \in \Omega$  on note  $y(x)$  la *projection* de  $x$  sur  $\partial\Omega$  dans la direction  $\xi$ .
- Pour toute arête  $\sigma \in \mathcal{E}$ , on note

$$\chi_\sigma(x, y) = \begin{cases} 1 & \text{si } [x, y] \cap \sigma \neq \emptyset \\ 0 & \text{si } [x, y] \cap \sigma = \emptyset. \end{cases}$$

# PREUVE DE L'INÉGALITÉ DE POINCARÉ

- On suppose  $\Omega$  convexe (pour simplifier).
- On fixe une vecteur unitaire  $\xi \in \mathbb{R}^2$  et pour tout  $x \in \Omega$  on note  $y(x)$  la *projection* de  $x$  sur  $\partial\Omega$  dans la direction  $\xi$ .
- Pour toute arête  $\sigma \in \mathcal{E}$ , on note

$$\chi_\sigma(x, y) = \begin{cases} 1 & \text{si } [x, y] \cap \sigma \neq \emptyset \\ 0 & \text{si } [x, y] \cap \sigma = \emptyset. \end{cases}$$

- On note

$$\tilde{\Omega} = \left\{ x \in \Omega, \quad [x, y(x)] \text{ ne rencontre aucun sommet et ne contient aucune arête} \right\}.$$

On vérifie que  $\tilde{\Omega}^c$  est de mesure nulle dans  $\Omega$ .

# PREUVE DE L'INÉGALITÉ DE POINCARÉ

- On suppose  $\Omega$  convexe (pour simplifier).
- On fixe une vecteur unitaire  $\xi \in \mathbb{R}^2$  et pour tout  $x \in \Omega$  on note  $y(x)$  la *projection* de  $x$  sur  $\partial\Omega$  dans la direction  $\xi$ .
- Pour toute arête  $\sigma \in \mathcal{E}$ , on note

$$\chi_\sigma(x, y) = \begin{cases} 1 & \text{si } [x, y] \cap \sigma \neq \emptyset \\ 0 & \text{si } [x, y] \cap \sigma = \emptyset. \end{cases}$$

- On note

$$\tilde{\Omega} = \left\{ x \in \Omega, \quad [x, y(x)] \text{ ne rencontre aucun sommet et ne contient aucune arête} \right\}.$$

On vérifie que  $\tilde{\Omega}^c$  est de mesure nulle dans  $\Omega$ .

- Soit maintenant  $\kappa \in \mathcal{T}$  et  $x \in \kappa \cap \tilde{\Omega}$ .

En parcourant le segment  $[x, y(x)]$ , on rencontre un nombre fini de volumes de contrôle noté  $(\kappa_i)_{1 \leq i \leq m}$  avec  $\kappa_1 = \kappa$  et  $\kappa_m$  est un volume de contrôle du bord.

# PREUVE DE L'INÉGALITÉ DE POINCARÉ

- On a donc une somme télescopique

$$u_{\kappa} = u_{\kappa_1} = \sum_{i=1}^{m-1} (u_{\kappa_i} - u_{\kappa_{i+1}}) + u_{\kappa_m},$$

$$|u_{\kappa}| \leq \sum_{i=1}^{m-1} |u_{\kappa_i} - u_{\kappa_{i+1}}| + |0 - u_{\kappa_m}|,$$

- Il vient

$$|u_{\kappa}| \leq \sum_{\sigma \in \mathcal{E}} d_{\sigma} |D_{\sigma}(u^{\tau})| \chi_{\sigma}(x, y(x)).$$

# PREUVE DE L'INÉGALITÉ DE POINCARÉ

- On a donc une somme télescopique

$$u_{\kappa} = u_{\kappa_1} = \sum_{i=1}^{m-1} (u_{\kappa_i} - u_{\kappa_{i+1}}) + u_{\kappa_m},$$

$$|u_{\kappa}| \leq \sum_{i=1}^{m-1} |u_{\kappa_i} - u_{\kappa_{i+1}}| + |0 - u_{\kappa_m}|,$$

- Il vient

$$|u_{\kappa}| \leq \sum_{\sigma \in \mathcal{E}} d_{\sigma} \sqrt{c_{\sigma}} \frac{1}{\sqrt{c_{\sigma}}} |D_{\sigma}(u^{\tau})| \chi_{\sigma}(x, y(x)).$$

avec  $c_{\sigma} = |\boldsymbol{\nu}_{\sigma} \cdot \xi|$  (qui est non nul car  $x \in \tilde{\Omega}$ ).

# PREUVE DE L'INÉGALITÉ DE POINCARÉ

- On a donc une somme télescopique

$$u_{\kappa} = u_{\kappa_1} = \sum_{i=1}^{m-1} (u_{\kappa_i} - u_{\kappa_{i+1}}) + u_{\kappa_m},$$

$$|u_{\kappa}| \leq \sum_{i=1}^{m-1} |u_{\kappa_i} - u_{\kappa_{i+1}}| + |0 - u_{\kappa_m}|,$$

- Il vient

$$|u_{\kappa}| \leq \sum_{\sigma \in \mathcal{E}} d_{\sigma} \sqrt{c_{\sigma}} \frac{1}{\sqrt{c_{\sigma}}} |D_{\sigma}(u^{\tau})| \chi_{\sigma}(x, y(x)).$$

avec  $c_{\sigma} = |\boldsymbol{\nu}_{\sigma} \cdot \xi|$  (qui est non nul car  $x \in \tilde{\Omega}$ ).

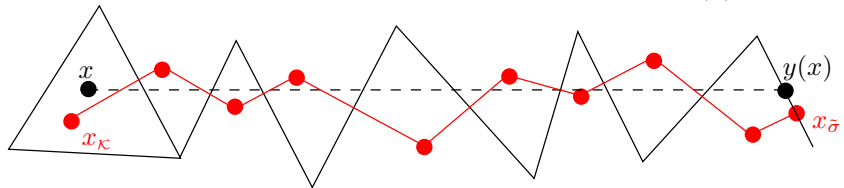
- Par Cauchy-Schwarz (rappel :  $x \in \kappa$ )

$$|u_{\kappa}|^2 \leq \left( \sum_{\sigma \in \mathcal{E}} d_{\sigma} c_{\sigma} \chi_{\sigma}(x, y(x)) \right) \left( \sum_{\sigma \in \mathcal{E}} \frac{d_{\sigma}}{c_{\sigma}} |D_{\sigma}(u^{\tau})|^2 \chi_{\sigma}(x, y(x)) \right).$$

# PREUVE DE L'INÉGALITÉ DE POINCARÉ

$$|u_\kappa|^2 \leq \left( \sum_{\sigma \in \mathcal{E}} d_\sigma c_\sigma \chi_\sigma(x, y(x)) \right) \left( \sum_{\sigma \in \mathcal{E}} \frac{d_\sigma}{c_\sigma} |D_\sigma(u^\tau)|^2 \chi_\sigma(x, y(x)) \right).$$

ESTIMATION DU PREMIER TERME Soit  $\tilde{\sigma} \in \mathcal{E}_{ext}$  telle que  $y(x) \in \tilde{\sigma}$ .

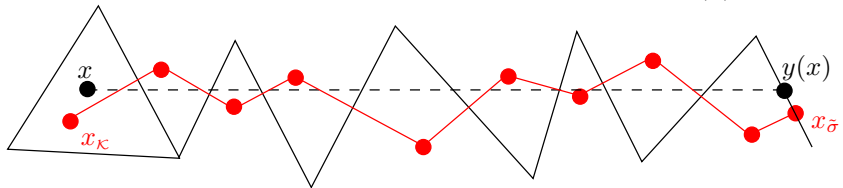


$$\sum_{i=1}^{m-1} (x_{\kappa_i} - x_{\kappa_{i+1}}) + x_{\kappa_m} - x_{\tilde{\sigma}} = x_{\kappa} - x_{\tilde{\sigma}},$$

# PREUVE DE L'INÉGALITÉ DE POINCARÉ

$$|u_\kappa|^2 \leq \left( \sum_{\sigma \in \mathcal{E}} d_\sigma c_\sigma \chi_\sigma(x, y(x)) \right) \left( \sum_{\sigma \in \mathcal{E}} \frac{d_\sigma}{c_\sigma} |D_\sigma(u^\tau)|^2 \chi_\sigma(x, y(x)) \right).$$

ESTIMATION DU PREMIER TERME Soit  $\tilde{\sigma} \in \mathcal{E}_{ext}$  telle que  $y(x) \in \tilde{\sigma}$ .

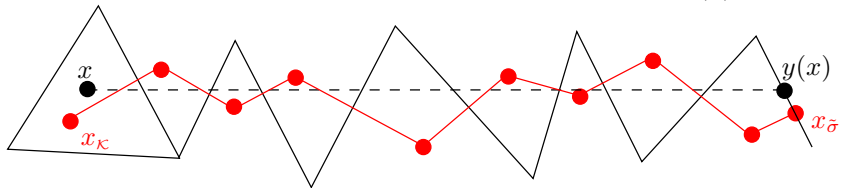


$$\sum_{i=1}^{m-1} (\textcolor{red}{x_{\kappa_i}} - \textcolor{red}{x_{\kappa_{i+1}}}) \cdot \xi + (\textcolor{red}{x_{\kappa_m}} - \textcolor{red}{x_{\tilde{\sigma}}}) \cdot \xi = (\textcolor{red}{x_{\kappa}} - \textcolor{red}{x_{\tilde{\sigma}}}) \cdot \xi,$$

# PREUVE DE L'INÉGALITÉ DE POINCARÉ

$$|u_\kappa|^2 \leq \left( \sum_{\sigma \in \mathcal{E}} d_\sigma c_\sigma \chi_\sigma(x, y(x)) \right) \left( \sum_{\sigma \in \mathcal{E}} \frac{d_\sigma}{c_\sigma} |D_\sigma(u^\tau)|^2 \chi_\sigma(x, y(x)) \right).$$

ESTIMATION DU PREMIER TERME Soit  $\tilde{\sigma} \in \mathcal{E}_{ext}$  telle que  $y(x) \in \tilde{\sigma}$ .

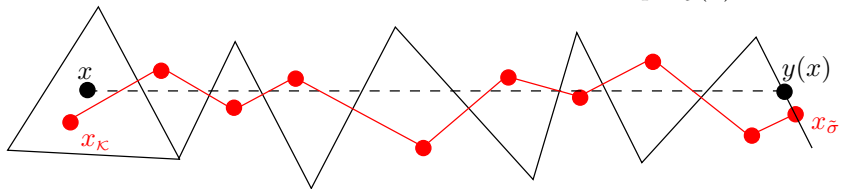


$$-\sum_{i=1}^{m-1} d_{\kappa_i \kappa_{i+1}} \boldsymbol{\nu}_{\kappa_i \kappa_{i+1}} \cdot \xi - d_{\kappa_m \tilde{\sigma}} \boldsymbol{\nu}_{\kappa_m \tilde{\sigma}} \cdot \xi = (x_\kappa - x_{\tilde{\sigma}}) \cdot \xi,$$

# PREUVE DE L'INÉGALITÉ DE POINCARÉ

$$|u_\kappa|^2 \leq \left( \sum_{\sigma \in \mathcal{E}} d_\sigma c_\sigma \chi_\sigma(x, y(x)) \right) \left( \sum_{\sigma \in \mathcal{E}} \frac{d_\sigma}{c_\sigma} |D_\sigma(u^\tau)|^2 \chi_\sigma(x, y(x)) \right).$$

ESTIMATION DU PREMIER TERME Soit  $\tilde{\sigma} \in \mathcal{E}_{ext}$  telle que  $y(x) \in \tilde{\sigma}$ .



$$-\sum_{i=1}^{m-1} d_{\kappa_i \kappa_{i+1}} \boldsymbol{\nu}_{\kappa_i \kappa_{i+1}} \cdot \xi - d_{\kappa_m \tilde{\sigma}} \boldsymbol{\nu}_{\kappa_m \tilde{\sigma}} \cdot \xi = (\mathbf{x}_\kappa - \mathbf{x}_{\tilde{\sigma}}) \cdot \xi,$$

$$\Rightarrow \sum_{\sigma \in \mathcal{E}} d_\sigma c_\sigma \chi_\sigma(x, y(x)) = |(\mathbf{x}_\kappa - \mathbf{x}_{\tilde{\sigma}}) \cdot \xi| \leq \text{diam}(\Omega).$$

# PREUVE DE L'INÉGALITÉ DE POINCARÉ

$$\forall \kappa \in \mathcal{T}, \forall x \in \kappa \cap \tilde{\Omega}, \quad |u_\kappa|^2 \leq \text{diam}(\Omega) \left( \sum_{\sigma \in \mathcal{E}} \frac{d_\sigma}{c_\sigma} |D_\sigma(u^\tau)|^2 \chi_\sigma(x, y(x)) \right).$$

# PREUVE DE L'INÉGALITÉ DE POINCARÉ

$$\forall \kappa \in \mathcal{T}, \forall x \in \kappa \cap \tilde{\Omega}, \quad |u_\kappa|^2 \leq \text{diam}(\Omega) \left( \sum_{\sigma \in \mathcal{E}} \frac{d_\sigma}{c_\sigma} |D_\sigma(u^\tau)|^2 \chi_\sigma(x, y(x)) \right).$$

On intègre sur  $\kappa \cap \tilde{\Omega}$  par rapport à  $x$ , puis on somme sur  $\kappa \in \mathcal{T}$

$$\sum_{\kappa \in \mathcal{T}} |\kappa| |u_\kappa|^2 \leq \text{diam}(\Omega) \sum_{\sigma \in \mathcal{E}} \frac{d_\sigma}{c_\sigma} |D_\sigma(u^\tau)|^2 \left( \int_{\Omega} \chi_\sigma(x, y(x)) dx \right),$$

# PREUVE DE L'INÉGALITÉ DE POINCARÉ

$$\forall \kappa \in \mathcal{T}, \forall x \in \kappa \cap \tilde{\Omega}, \quad |u_\kappa|^2 \leq \text{diam}(\Omega) \left( \sum_{\sigma \in \mathcal{E}} \frac{d_\sigma}{c_\sigma} |D_\sigma(u^\tau)|^2 \chi_\sigma(x, y(x)) \right).$$

On intègre sur  $\kappa \cap \tilde{\Omega}$  par rapport à  $x$ , puis on somme sur  $\kappa \in \mathcal{T}$

$$\sum_{\kappa \in \mathcal{T}} |\kappa| |u_\kappa|^2 \leq \text{diam}(\Omega) \sum_{\sigma \in \mathcal{E}} \frac{d_\sigma}{c_\sigma} |D_\sigma(u^\tau)|^2 \left( \int_{\Omega} \chi_\sigma(x, y(x)) dx \right),$$

## EVALUATION DE L'INTÉGRALE

$$\int_{\Omega} \chi_\sigma(x, y(x)) dx \leq \text{diam}(\Omega) |\sigma| c_\sigma.$$

# PREUVE DE L'INÉGALITÉ DE POINCARÉ

$$\forall \kappa \in \mathcal{T}, \forall x \in \kappa \cap \tilde{\Omega}, \quad |u_\kappa|^2 \leq \text{diam}(\Omega) \left( \sum_{\sigma \in \mathcal{E}} \frac{d_\sigma}{c_\sigma} |D_\sigma(u^\tau)|^2 \chi_\sigma(x, y(x)) \right).$$

On intègre sur  $\kappa \cap \tilde{\Omega}$  par rapport à  $x$ , puis on somme sur  $\kappa \in \mathcal{T}$

$$\sum_{\kappa \in \mathcal{T}} |\kappa| |u_\kappa|^2 \leq \text{diam}(\Omega) \sum_{\sigma \in \mathcal{E}} \frac{d_\sigma}{c_\sigma} |D_\sigma(u^\tau)|^2 \left( \int_{\Omega} \chi_\sigma(x, y(x)) dx \right),$$

## EVALUATION DE L'INTÉGRALE

$$\int_{\Omega} \chi_\sigma(x, y(x)) dx \leq \text{diam}(\Omega) |\sigma| c_\sigma.$$

## CONCLUSION

$$\|u^\tau\|_{L^2}^2 = \sum_{\kappa \in \mathcal{T}} |\kappa| |u_\kappa|^2 \leq \text{diam}(\Omega)^2 \sum_{\sigma \in \mathcal{E}} |\sigma| d_\sigma |D_\sigma(u^\tau)|^2 = \text{diam}(\Omega)^2 \|u^\tau\|_{1,\mathcal{T}}^2.$$

◀ Retour

242 / 237

# PREUVE DU THÉORÈME DE COMPACITÉ

ETAPE 1 : COMPACITÉ FORTE  $L^2$

- Soit  $u^n \in L^2(\mathbb{R}^2)$  le prolongement par 0 de  $u^{\tau_n} \in L^2(\Omega)$ .
- On va utiliser le théorème de Kolmogorov, pour cela il suffit d'obtenir une estimation sur les translatées

$$\|u^n(\cdot + \eta) - u^n\|_{L^2} \xrightarrow[\eta \rightarrow 0]{} 0, \text{ unif. par rapport à } n.$$

# PREUVE DU THÉORÈME DE COMPACITÉ

ETAPE 1 : COMPACITÉ FORTE  $L^2$

- Soit  $u^n \in L^2(\mathbb{R}^2)$  le prolongement par 0 de  $u^{\tau_n} \in L^2(\Omega)$ .
- On va utiliser le théorème de Kolmogorov, pour cela il suffit d'obtenir une estimation sur les translatées

$$\|u^n(\cdot + \eta) - u^n\|_{L^2} \xrightarrow[\eta \rightarrow 0]{} 0, \text{ unif. par rapport à } n.$$

- On fixe  $\eta \in \mathbb{R}^2$  non nul. Par sommes télescopiques on a

$$|u^n(x + \eta) - u^n(x)| \leq \sum_{\sigma \in \mathcal{E}} d_\sigma |D_\sigma(u^{\tau_n})| \chi_\sigma(x, x + \eta),$$

et par Cauchy-Schwarz

$$\begin{aligned} |u^n(x + \eta) - u^n(x)|^2 &\leq \left( \sum_{\sigma \in \mathcal{E}} \chi_\sigma(x, x + \eta) d_\sigma c_\sigma \right) \\ &\quad \times \left( \sum_{\sigma \in \mathcal{E}} \chi_\sigma(x, x + \eta) \frac{d_\sigma}{c_\sigma} |D_\sigma(u^{\tau_n})|^2 \right), \end{aligned}$$

avec  $c_\sigma = |\boldsymbol{\nu}_\sigma \cdot \frac{\eta}{|\eta|}|$ .

# PREUVE DU THÉORÈME DE COMPACITÉ

ETAPE 1 : COMPACITÉ FORTE  $L^2$

$$\begin{aligned}|u^n(x + \eta) - u^n(x)|^2 &\leq \left( \sum_{\sigma \in \mathcal{E}} \chi_\sigma(x, x + \eta) d_\sigma c_\sigma \right) \\ &\quad \times \left( \sum_{\sigma \in \mathcal{E}} \chi_\sigma(x, x + \eta) \frac{d_\sigma}{c_\sigma} |D_\sigma(u^{\tau, n})|^2 \right),\end{aligned}$$

avec  $c_\sigma = |\boldsymbol{\nu} \cdot \frac{\eta}{|\eta|}|$ .

## ESTIMATION DU PREMIER TERME

- On peut se ramener au cas où  $[x, x + \eta] \subset \Omega$ .
- Soient alors  $\kappa, \mathcal{L} \in \mathcal{T}$  tels que  $x \in \kappa$  et  $x + \eta \in \mathcal{L}$ , on a alors

$$\begin{aligned}\sum_{\sigma \in \mathcal{E}} \chi_\sigma(x, x + \eta) d_\sigma c_\sigma &= \left| (x_{\mathcal{L}} - x_{\kappa}) \cdot \frac{\eta}{|\eta|} \right| \leq |x_{\mathcal{L}} - x_{\kappa}| \\ &\leq |x_{\mathcal{L}} - (x + \eta)| + |(x + \eta) - x| + |x - x_{\kappa}| \\ &\leq |\eta| + 2\text{size}(\mathcal{T}_n).\end{aligned}$$

- On intègre en  $x \in \mathbb{R}^2$

# PREUVE DU THÉORÈME DE COMPACITÉ

ETAPE 1 : COMPACITÉ FORTE  $L^2$

$$|u^n(x+\eta) - u^n(x)|^2 \leq C(|\eta| + \text{size}(\mathcal{T}_n)) \sum_{\sigma \in \mathcal{E}} \left( \chi_\sigma(x, x + \eta) \frac{d_\sigma}{c_\sigma} |D_\sigma(u^{\tau, n})|^2 \right),$$

- On intègre en  $x \in \mathbb{R}^2$

$$\|u^n(\cdot + \eta) - u^n\|_{L^2}^2 \leq C(|\eta| + \text{size}(\mathcal{T}_n)) \sum_{\sigma \in \mathcal{E}} \frac{d_\sigma}{c_\sigma} |D_\sigma(u^{\tau, n})|^2 \left( \int_{\mathbb{R}^2} \chi_\sigma(x, x + \eta) dx \right)$$

# PREUVE DU THÉORÈME DE COMPACITÉ

ETAPE 1 : COMPACITÉ FORTE  $L^2$

$$|u^n(x+\eta) - u^n(x)|^2 \leq C(|\eta| + \text{size}(\mathcal{T}_n)) \sum_{\sigma \in \mathcal{E}} \left( \chi_\sigma(x, x + \eta) \frac{d_\sigma}{c_\sigma} |D_\sigma(u^{\tau, n})|^2 \right),$$

- On intègre en  $x \in \mathbb{R}^2$

$$\|u^n(\cdot + \eta) - u^n\|_{L^2}^2 \leq C(|\eta| + \text{size}(\mathcal{T}_n)) \sum_{\sigma \in \mathcal{E}} \frac{d_\sigma}{c_\sigma} |D_\sigma(u^{\tau, n})|^2 \left( \int_{\mathbb{R}^2} \chi_\sigma(x, x + \eta) dx \right)$$

- Calcul de l'intégrale

$$\int_{\mathbb{R}^2} \chi_\sigma(x, x + \eta) dx = |\eta| |\sigma| c_\sigma.$$

# PREUVE DU THÉORÈME DE COMPACITÉ

ETAPE 1 : COMPACITÉ FORTE  $L^2$

$$|u^n(x+\eta) - u^n(x)|^2 \leq C(|\eta| + \text{size}(\mathcal{T}_n)) \sum_{\sigma \in \mathcal{E}} \left( \chi_\sigma(x, x + \eta) \frac{d_\sigma}{c_\sigma} |D_\sigma(u^{\tau,n})|^2 \right),$$

- On intègre en  $x \in \mathbb{R}^2$

$$\|u^n(\cdot + \eta) - u^n\|_{L^2}^2 \leq C(|\eta| + \text{size}(\mathcal{T}_n)) \sum_{\sigma \in \mathcal{E}} \frac{d_\sigma}{c_\sigma} |D_\sigma(u^{\tau,n})|^2 \left( \int_{\mathbb{R}^2} \chi_\sigma(x, x + \eta) dx \right)$$

- Calcul de l'intégrale

$$\int_{\mathbb{R}^2} \chi_\sigma(x, x + \eta) dx = |\eta| |\sigma| c_\sigma.$$

## CONCLUSION

$$\|u^n(\cdot + \eta) - u^n\|_{L^2}^2 \leq C|\eta| \underbrace{(|\eta| + \text{size}(\mathcal{T}_n))}_{\leq \text{diam}(\Omega)} \underbrace{\|u^{\tau_n}\|_{1,\tau_n}^2}_{\text{borné}}.$$

∃ une sous-suite  $u^{\varphi(n)} \rightharpoonup u \in L^2(\mathbb{R}^2)$  avec  $u = 0$  en dehors de  $\Omega$ .

# PREUVE DU THÉORÈME DE COMPACITÉ

ETAPE 2 :  $u \in H_0^1(\Omega)$  ET CONVERGENCE DES GRADIENTS

- Par hypothèse, on a

$$\sup_n \|\nabla^{\tau_n} u^{\tau_n}\|_{L^2} < +\infty,$$

- Il existe donc  $G \in (L^2(\Omega))^2$  tel que (modulo une autre sous-suite)

$$\nabla^{\tau_{\varphi(n)}} u^{\tau_{\varphi(n)}} \xrightarrow[n \rightarrow \infty]{} G.$$

On veut montrer que  $u \in H_0^1(\Omega)$  et  $\nabla u = G$ .

# PREUVE DU THÉORÈME DE COMPACITÉ

ETAPE 2 :  $u \in H_0^1(\Omega)$  ET CONVERGENCE DES GRADIENTS

- Par hypothèse, on a

$$\sup_n \|\nabla^{\tau_n} u^{\tau_n}\|_{L^2} < +\infty,$$

- Il existe donc  $G \in (L^2(\Omega))^2$  tel que (modulo une autre sous-suite)

$$\nabla^{\tau_{\varphi(n)}} u^{\tau_{\varphi(n)}} \xrightarrow[n \rightarrow \infty]{} G.$$

On veut montrer que  $u \in H_0^1(\Omega)$  et  $\nabla u = G$ .

- Soit  $\Phi \in (\mathcal{C}^\infty(\mathbb{R}^2))^2$  (**on ne suppose pas**  $\Phi = 0$  sur  $\partial\Omega$ )

$$I_n \stackrel{\text{def}}{=} \int_{\Omega} u^{\tau_n} (\operatorname{div} \Phi) dx \xrightarrow[n \rightarrow \infty]{} \int_{\Omega} u (\operatorname{div} \Phi) dx.$$

# PREUVE DU THÉORÈME DE COMPACITÉ

ETAPE 2 :  $u \in H_0^1(\Omega)$  ET CONVERGENCE DES GRADIENTS

- Par hypothèse, on a

$$\sup_n \|\nabla^{\tau_n} u^{\tau_n}\|_{L^2} < +\infty,$$

- Il existe donc  $G \in (L^2(\Omega))^2$  tel que (modulo une autre sous-suite)

$$\nabla^{\tau_{\varphi(n)}} u^{\tau_{\varphi(n)}} \xrightarrow[n \rightarrow \infty]{} G.$$

On veut montrer que  $u \in H_0^1(\Omega)$  et  $\nabla u = G$ .

- Soit  $\Phi \in (\mathcal{C}^\infty(\mathbb{R}^2))^2$  (**on ne suppose pas**  $\Phi = 0$  sur  $\partial\Omega$ )

$$I_n \stackrel{\text{def}}{=} \int_{\Omega} u^{\tau_n} (\operatorname{div} \Phi) dx \xrightarrow[n \rightarrow \infty]{} \int_{\Omega} u (\operatorname{div} \Phi) dx.$$

- Mais on a aussi

$$I_n = \sum_{\kappa \in \mathcal{T}_n} u_{\kappa}^n \left( \int_{\kappa} \operatorname{div} \Phi dx \right) = \sum_{\kappa \in \mathcal{T}_n} u_{\kappa}^n \sum_{\sigma \in \mathcal{E}_{\kappa}} \left( \int_{\sigma} \Phi \cdot \boldsymbol{\nu}_{\kappa\sigma} dx \right).$$

# PREUVE DU THÉORÈME DE COMPACITÉ

ETAPE 2 :  $u \in H_0^1(\Omega)$  ET CONVERGENCE DES GRADIENTS

- Sommons par arête

$$I_n = \sum_{\sigma \in \mathcal{E}_{int}} (u_{\kappa}^n - u_{\mathcal{L}}^n) \left( \int_{\sigma} \Phi \cdot \boldsymbol{\nu}_{\kappa \mathcal{L}} \right) + \sum_{\sigma \in \mathcal{E}_{ext}} u_{\kappa}^n \left( \int_{\sigma} \Phi \cdot \boldsymbol{\nu}_{\kappa \sigma} \right).$$

# PREUVE DU THÉORÈME DE COMPACITÉ

ETAPE 2 :  $u \in H_0^1(\Omega)$  ET CONVERGENCE DES GRADIENTS

- Sommons par arête

$$I_n = \sum_{\sigma \in \mathcal{E}_{int}} (u_{\kappa}^n - u_{\mathcal{L}}^n) \boldsymbol{\nu}_{\kappa \mathcal{L}} \cdot \left( \int_{\sigma} \Phi \right) + \sum_{\sigma \in \mathcal{E}_{ext}} u_{\kappa}^n \boldsymbol{\nu}_{\kappa \sigma} \cdot \left( \int_{\sigma} \Phi \right).$$

# PREUVE DU THÉORÈME DE COMPACITÉ

ETAPE 2 :  $u \in H_0^1(\Omega)$  ET CONVERGENCE DES GRADIENTS

- Sommons par arête

$$\begin{aligned} I_n = & \sum_{\sigma \in \mathcal{E}_{int}} \frac{|\sigma| d_{\kappa\ell}}{d} \left( d \frac{u_\kappa^n - u_\ell^n}{d_{\kappa\ell}} \boldsymbol{\nu}_{\kappa\ell} \right) \cdot \left( \frac{1}{|\sigma|} \int_\sigma \Phi \right) \\ & + \sum_{\sigma \in \mathcal{E}_{ext}} \frac{|\sigma| d_{\kappa\sigma}}{d} \left( d \frac{u_\kappa^n}{d_{\kappa\sigma}} \boldsymbol{\nu}_{\kappa\sigma} \right) \cdot \left( \frac{1}{|\sigma|} \int_\sigma \Phi \right). \end{aligned}$$

# PREUVE DU THÉORÈME DE COMPACITÉ

ETAPE 2 :  $u \in H_0^1(\Omega)$  ET CONVERGENCE DES GRADIENTS

- Sommons par arête

$$I_n = - \sum_{\sigma \in \mathcal{E}} |\sigma| \nabla_{\sigma}^{\tau_n} u^{\tau_n} \cdot \left( \frac{1}{|\sigma|} \int_{\sigma} \Phi \right).$$

# PREUVE DU THÉORÈME DE COMPACITÉ

ETAPE 2 :  $u \in H_0^1(\Omega)$  ET CONVERGENCE DES GRADIENTS

- Sommons par arête

$$I_n = - \sum_{\sigma \in \mathcal{E}} |\mathcal{D}| \nabla_{\mathcal{D}}^{\mathcal{T}_n} u^{\mathcal{T}_n} \cdot \left( \frac{1}{|\sigma|} \int_{\sigma} \Phi \right).$$

- Comme  $\Phi$  est  $\mathcal{C}^\infty$

$$\forall \sigma \in \mathcal{E}, \left| \left( \frac{1}{|\sigma|} \int_{\sigma} \Phi \right) - \left( \frac{1}{|\mathcal{D}|} \int_{\mathcal{D}} \Phi \right) \right| \leq C \|\nabla \Phi\|_\infty \text{size}(\mathcal{T}_n).$$

# PREUVE DU THÉORÈME DE COMPACITÉ

ETAPE 2 :  $u \in H_0^1(\Omega)$  ET CONVERGENCE DES GRADIENTS

- Sommons par arête

$$I_n = - \sum_{\sigma \in \mathcal{E}} |\mathcal{D}| \nabla_{\mathcal{D}}^{\mathcal{T}_n} u^{\mathcal{T}_n} \cdot \left( \frac{1}{|\sigma|} \int_{\sigma} \Phi \right).$$

- Comme  $\Phi$  est  $\mathcal{C}^\infty$

$$\forall \sigma \in \mathcal{E}, \left| \left( \frac{1}{|\sigma|} \int_{\sigma} \Phi \right) - \left( \frac{1}{|\mathcal{D}|} \int_{\mathcal{D}} \Phi \right) \right| \leq C \|\nabla \Phi\|_\infty \text{size}(\mathcal{T}_n).$$

- Comme  $(\nabla^{\mathcal{T}_n} u^{\mathcal{T}_n})_n$  est bornée dans  $L^2$ , on a

$$I_n = - \sum_{\sigma \in \mathcal{E}} |\mathcal{D}| \nabla_{\mathcal{D}}^{\mathcal{T}_n} u^{\mathcal{T}_n} \cdot \left( \frac{1}{|\mathcal{D}|} \int_{\mathcal{D}} \Phi \right) + O_{\Phi}(\text{size}(\mathcal{T}_n)).$$

# PREUVE DU THÉORÈME DE COMPACITÉ

ETAPE 2 :  $u \in H_0^1(\Omega)$  ET CONVERGENCE DES GRADIENTS

- Sommons par arête

$$I_n = - \sum_{\sigma \in \mathcal{E}} |\sigma| \nabla_{\sigma}^{\mathcal{T}_n} u^{\mathcal{T}_n} \cdot \left( \frac{1}{|\sigma|} \int_{\sigma} \Phi \right).$$

- Comme  $\Phi$  est  $\mathcal{C}^\infty$

$$\forall \sigma \in \mathcal{E}, \left| \left( \frac{1}{|\sigma|} \int_{\sigma} \Phi \right) - \left( \frac{1}{|\mathcal{D}|} \int_{\mathcal{D}} \Phi \right) \right| \leq C \|\nabla \Phi\|_\infty \text{size}(\mathcal{T}_n).$$

- Comme  $(\nabla^{\mathcal{T}_n} u^{\mathcal{T}_n})_n$  est bornée dans  $L^2$ , on a

$$I_n = - \sum_{\sigma \in \mathcal{E}} \nabla_{\sigma}^{\mathcal{T}_n} u^{\mathcal{T}_n} \cdot \int_{\sigma} \Phi + O_{\Phi}(\text{size}(\mathcal{T}_n)).$$

# PREUVE DU THÉORÈME DE COMPACITÉ

ETAPE 2 :  $u \in H_0^1(\Omega)$  ET CONVERGENCE DES GRADIENTS

- Sommons par arête

$$I_n = - \sum_{\sigma \in \mathcal{E}} |\mathcal{D}| \nabla_{\mathcal{D}}^{\mathcal{T}_n} u^{\mathcal{T}_n} \cdot \left( \frac{1}{|\sigma|} \int_{\sigma} \Phi \right).$$

- Comme  $\Phi$  est  $\mathcal{C}^\infty$

$$\forall \sigma \in \mathcal{E}, \left| \left( \frac{1}{|\sigma|} \int_{\sigma} \Phi \right) - \left( \frac{1}{|\mathcal{D}|} \int_{\mathcal{D}} \Phi \right) \right| \leq C \|\nabla \Phi\|_\infty \text{size}(\mathcal{T}_n).$$

- Comme  $(\nabla^{\mathcal{T}_n} u^{\mathcal{T}_n})_n$  est bornée dans  $L^2$ , on a

$$I_n = - \int_{\Omega} \nabla^{\mathcal{T}_n} u^{\mathcal{T}_n} \cdot \Phi dx + O_{\Phi}(\text{size}(\mathcal{T}_n)).$$

# PREUVE DU THÉORÈME DE COMPACITÉ

ETAPE 2 :  $u \in H_0^1(\Omega)$  ET CONVERGENCE DES GRADIENTS

- Sommons par arête

$$I_n = - \sum_{\sigma \in \mathcal{E}} |\mathcal{D}| \nabla_{\mathcal{D}}^{\mathcal{T}_n} u^{\mathcal{T}_n} \cdot \left( \frac{1}{|\sigma|} \int_{\sigma} \Phi \right).$$

- Comme  $\Phi$  est  $\mathcal{C}^\infty$

$$\forall \sigma \in \mathcal{E}, \left| \left( \frac{1}{|\sigma|} \int_{\sigma} \Phi \right) - \left( \frac{1}{|\mathcal{D}|} \int_{\mathcal{D}} \Phi \right) \right| \leq C \|\nabla \Phi\|_\infty \text{size}(\mathcal{T}_n).$$

- Comme  $(\nabla^{\mathcal{T}_n} u^{\mathcal{T}_n})_n$  est bornée dans  $L^2$ , on a

$$I_n = - \int_{\Omega} \nabla^{\mathcal{T}_n} u^{\mathcal{T}_n} \cdot \Phi dx + O_{\Phi}(\text{size}(\mathcal{T}_n)).$$

- Bilan, pour tout  $\Phi \in (\mathcal{C}^\infty(\mathbb{R}^2))^2$

$$I_n \xrightarrow[n \rightarrow \infty]{} - \int_{\Omega} G \cdot \Phi dx, \quad \text{et} \quad I_n \xrightarrow[n \rightarrow \infty]{} \int_{\Omega} u \operatorname{div} \Phi dx.$$

◀ Retour

## ESTIMATION D'ÉNERGIE

$$\forall n \geq 0, \quad \|u^{\tau_n}\|_{1,\tau_n} \leq \text{diam}(\Omega) \|f\|_{L^2}.$$

## ESTIMATION D'ÉNERGIE

$$\forall n \geq 0, \quad \|u^{\tau_n}\|_{1,\tau_n} \leq \text{diam}(\Omega) \|f\|_{L^2}.$$

THÉORÈME DE COMPACITÉ  $\Rightarrow$  Il existe  $u \in H_0^1(\Omega)$  tq

$$u^{\tau_{\varphi(n)}} \xrightarrow[n \rightarrow \infty]{} u \text{ dans } L^2(\Omega),$$

$$\nabla^{\tau_{\varphi(n)}} u^{\tau_{\varphi(n)}} \xrightarrow[n \rightarrow \infty]{} \nabla u \text{ dans } (L^2(\Omega))^2.$$

## ESTIMATION D'ÉNERGIE

$$\forall n \geq 0, \quad \|u^{\tau_n}\|_{1,\tau_n} \leq \text{diam}(\Omega) \|f\|_{L^2}.$$

THÉORÈME DE COMPACITÉ  $\Rightarrow$  Il existe  $u \in H_0^1(\Omega)$  tq

$$u^{\tau_{\varphi(n)}} \xrightarrow[n \rightarrow \infty]{} u \text{ dans } L^2(\Omega),$$

$$\nabla^{\tau_{\varphi(n)}} u^{\tau_{\varphi(n)}} \xrightarrow[n \rightarrow \infty]{} \nabla u \text{ dans } (L^2(\Omega))^2.$$

## CE QU'IL RESTE À FAIRE

- On va montrer que  $u$  vérifie la formulation faible du problème  $-\Delta u = f$ .
- Par unicité on en déduit que les convergences ci-dessus ont lieu pour toute la suite  $(u^{\tau_n})_n$ .

$$\forall \varphi \in \mathcal{C}_c^\infty(\Omega), \quad \mathbb{P}^\tau \varphi \stackrel{\text{def}}{=} (\varphi(x_\kappa))_{\kappa \in \mathcal{T}} \in \mathbb{R}^\tau.$$

INTÉGRATION PAR PARTIES DISCRÈTE AVEC  $v^\tau = \mathbb{P}^\tau \varphi$

$$\sum_{\sigma \in \mathcal{E}_{int}} d_\sigma |\sigma| D_{\kappa_L}(u^{\tau_n}) \frac{\varphi(x_\kappa) - \varphi(x_\kappa)}{d_{\kappa_L}} = \sum_{\kappa \in \mathcal{T}_n} |\kappa| f_\kappa \varphi(x_\kappa).$$

**Remarque :** Pour  $n$  assez grand, les termes de bord sont nuls.

$$\forall \varphi \in \mathcal{C}_c^\infty(\Omega), \quad \mathbb{P}^\tau \varphi \stackrel{\text{def}}{=} (\varphi(x_\kappa))_{\kappa \in \mathcal{T}} \in \mathbb{R}^\tau.$$

INTÉGRATION PAR PARTIES DISCRÈTE AVEC  $v^\tau = \mathbb{P}^\tau \varphi$

$$\sum_{\sigma \in \mathcal{E}_{int}} d_\sigma |\sigma| D_{\kappa\ell}(u^{\tau_n}) \frac{\varphi(x_\ell) - \varphi(x_\kappa)}{d_{\kappa\ell}} = \sum_{\kappa \in \mathcal{T}_n} |\kappa| f_\kappa \varphi(x_\kappa).$$

**Remarque :** Pour  $n$  assez grand, les termes de bord sont nuls.

PAR DÉFINITION DU GRADIENT DISCRET

$$\sum_{\sigma \in \mathcal{E}_{int}} \underbrace{\frac{d_\sigma |\sigma|}{d}}_{=|\mathcal{D}|} \nabla_{\mathcal{D}}^{\tau_n} u^{\tau_n} \cdot \left( \frac{\varphi(x_\ell) - \varphi(x_\kappa)}{d_{\kappa\ell}} \boldsymbol{\nu}_{\kappa\ell} \right) = \sum_{\kappa \in \mathcal{T}_n} |\kappa| f_\kappa \varphi(x_\kappa).$$

$$\forall \varphi \in \mathcal{C}_c^\infty(\Omega), \quad \mathbb{P}^\tau \varphi \stackrel{\text{def}}{=} (\varphi(x_\kappa))_{\kappa \in \mathcal{T}} \in \mathbb{R}^\tau.$$

INTÉGRATION PAR PARTIES DISCRÈTE AVEC  $v^\tau = \mathbb{P}^\tau \varphi$

$$\sum_{\sigma \in \mathcal{E}_{int}} d_\sigma |\sigma| D_{\kappa\ell}(u^{\tau_n}) \frac{\varphi(x_\ell) - \varphi(x_\kappa)}{d_{\kappa\ell}} = \sum_{\kappa \in \mathcal{T}_n} |\kappa| f_\kappa \varphi(x_\kappa).$$

**Remarque :** Pour  $n$  assez grand, les termes de bord sont nuls.

PAR DÉFINITION DU GRADIENT DISCRET

$$\sum_{\sigma \in \mathcal{E}_{int}} \int_{\mathcal{D}} \nabla_{\mathcal{D}}^{\tau_n} u^{\tau_n} \cdot \left( \frac{\varphi(x_\ell) - \varphi(x_\kappa)}{d_{\kappa\ell}} \boldsymbol{\nu}_{\kappa\ell} \right) = \sum_{\kappa \in \mathcal{T}_n} \int_{\kappa} f(x) \varphi(x_\kappa) dx.$$

# PREUVE DE CONVERGENCE VF4

$$\forall \varphi \in \mathcal{C}_c^\infty(\Omega), \quad \mathbb{P}^T \varphi \stackrel{\text{def}}{=} (\varphi(x_\kappa))_{\kappa \in T} \in \mathbb{R}^T.$$

INTÉGRATION PAR PARTIES DISCRÈTE AVEC  $v^T = \mathbb{P}^T \varphi$

$$\sum_{\sigma \in \mathcal{E}_{int}} d_\sigma |\sigma| D_{\kappa\ell}(u^{\tau_n}) \frac{\varphi(x_\ell) - \varphi(x_\kappa)}{d_{\kappa\ell}} = \sum_{\kappa \in T_n} |\kappa| f_\kappa \varphi(x_\kappa).$$

**Remarque :** Pour  $n$  assez grand, les termes de bord sont nuls.

PAR DÉFINITION DU GRADIENT DISCRET

$$\begin{aligned} & \sum_{\sigma \in \mathcal{E}_{int}} \int_{\mathcal{D}} \nabla_{\mathcal{D}}^{\tau_n} u^{\tau_n} \cdot \left( \underbrace{\nabla \varphi(x) + \left( \frac{\varphi(x_\ell) - \varphi(x_\kappa)}{d_{\kappa\ell}} \boldsymbol{\nu}_{\kappa\ell} - (\nabla \varphi(x) \cdot \boldsymbol{\nu}_{\kappa\ell}) \boldsymbol{\nu}_{\kappa\ell} \right)}_{\stackrel{\text{def}}{=} R_1^n(x)} \right) dx \\ &= \sum_{\kappa \in T} \int_{\kappa} f(x) \left( \varphi(x) + \underbrace{(\varphi(x_\kappa) - \varphi(x))}_{\stackrel{\text{def}}{=} R_2^n(x)} \right) dx. \end{aligned}$$

## BILAN

$$\begin{aligned} & \int_{\Omega} \nabla^{\tau_n} u^{\tau_n} \cdot \nabla \varphi(x) dx - \int_{\Omega} f(x) \varphi(x) dx \\ &= - \int_{\Omega} \nabla^{\tau_n} u^{\tau_n} \cdot R_1^n(x) dx + \int_{\Omega} f(x) R_2^n(x) dx. \end{aligned}$$

## BILAN

$$\begin{aligned} & \int_{\Omega} \nabla^{\tau_n} u^{\tau_n} \cdot \nabla \varphi(x) dx - \int_{\Omega} f(x) \varphi(x) dx \\ &= - \int_{\Omega} \nabla^{\tau_n} u^{\tau_n} \cdot R_1^n(x) dx + \int_{\Omega} f(x) R_2^n(x) dx. \end{aligned}$$

$$|R_1^n(x)| = \left| \frac{\varphi(x_{\kappa}) - \varphi(x_{\kappa})}{d_{\kappa\kappa}} \boldsymbol{\nu}_{\kappa\kappa} - (\nabla \varphi(x) \cdot \boldsymbol{\nu}_{\kappa\kappa}) \boldsymbol{\nu}_{\kappa\kappa} \right| \leq C \|D^2 \varphi\|_{\infty} \text{size}(\mathcal{T}_n).$$

$$|R_2^n(x)| = |\varphi(x_{\kappa}) - \varphi(x)| \leq \|D\varphi\|_{\infty} \text{size}(\mathcal{T}_n).$$

## BILAN

$$\begin{aligned} \int_{\Omega} \nabla^{\tau_n} u^{\tau_n} \cdot \nabla \varphi(x) dx - \int_{\Omega} f(x) \varphi(x) dx \\ = - \int_{\Omega} \nabla^{\tau_n} u^{\tau_n} \cdot R_1^n(x) dx + \int_{\Omega} f(x) R_2^n(x) dx. \end{aligned}$$

$$|R_1^n(x)| = \left| \frac{\varphi(x_{\kappa}) - \varphi(x_{\kappa})}{d_{\kappa\kappa}} \boldsymbol{\nu}_{\kappa\kappa} - (\nabla \varphi(x) \cdot \boldsymbol{\nu}_{\kappa\kappa}) \boldsymbol{\nu}_{\kappa\kappa} \right| \leq C \|D^2 \varphi\|_{\infty} \text{size}(\mathcal{T}_n).$$

$$|R_2^n(x)| = |\varphi(x_{\kappa}) - \varphi(x)| \leq \|D\varphi\|_{\infty} \text{size}(\mathcal{T}_n).$$

ON PEUT DONC PASSER À LA LIMITÉ

$$\forall \varphi \in \mathcal{C}_c^{\infty}(\Omega), \quad \int_{\Omega} \nabla u \cdot \nabla \varphi dx = \int_{\Omega} f \varphi dx. \quad (\star)$$

Par densité,  $(\star)$  est encore vraie pour tout  $\varphi \in H_0^1(\Omega)$ , d'où le résultat.

## NON CONVERGENCE FORTE DES GRADIENTS

D'après la formule d'intégration par parties discrète, on a

$$\sum_{\sigma \in \mathcal{E}} d_\sigma |\sigma| |D_\sigma(u^{\tau_n})|^2 = \sum_{\kappa \in \mathcal{T}_n} |\kappa| f_\kappa u_\kappa^n = \int_{\Omega} f(x) u^{\tau_n} dx.$$

Comme  $\nabla_{\mathcal{D}}^{\tau_n} u^{\tau_n} = \textcolor{red}{d} D_\sigma(u^{\tau_n}) \boldsymbol{\nu}_\sigma$ , on en déduit

$$\frac{1}{d} \sum_{\sigma \in \mathcal{E}} \underbrace{\frac{d_\sigma |\sigma|}{d}}_{=|\mathcal{D}|} |\nabla_{\mathcal{D}}^{\tau_n} u^{\tau_n}|^2 = \int_{\Omega} f(x) u^{\tau_n} dx.$$

## NON CONVERGENCE FORTE DES GRADIENTS

D'après la formule d'intégration par parties discrète, on a

$$\sum_{\sigma \in \mathcal{E}} d_\sigma |\sigma| |D_\sigma(u^{\tau_n})|^2 = \sum_{\kappa \in \mathcal{T}_n} |\kappa| f_\kappa u_\kappa^n = \int_{\Omega} f(x) u^{\tau_n} dx.$$

Comme  $\nabla_{\mathcal{D}}^{\tau_n} u^{\tau_n} = \textcolor{red}{d} D_\sigma(u^{\tau_n}) \boldsymbol{\nu}_\sigma$ , on en déduit

$$\frac{1}{d} \|\nabla^{\tau_n} u^{\tau_n}\|_{L^2}^2 = \int_{\Omega} f(x) u^{\tau_n} dx.$$

## NON CONVERGENCE FORTE DES GRADIENTS

D'après la formule d'intégration par parties discrète, on a

$$\sum_{\sigma \in \mathcal{E}} d_\sigma |\sigma| |D_\sigma(u^{\tau_n})|^2 = \sum_{\kappa \in \mathcal{T}_n} |\kappa| f_\kappa u_\kappa^n = \int_{\Omega} f(x) u^{\tau_n} dx.$$

Comme  $\nabla_{\mathcal{D}}^{\tau_n} u^{\tau_n} = d D_\sigma(u^{\tau_n}) \nu_\sigma$ , on en déduit

$$\frac{1}{d} \|\nabla^{\tau_n} u^{\tau_n}\|_{L^2}^2 = \int_{\Omega} f(x) u^{\tau_n} dx.$$

On passe à la limite dans le terme de droite et on trouve

$$\lim_{n \rightarrow \infty} \|\nabla^{\tau_n} u^{\tau_n}\|_{L^2}^2 = d \int_{\Omega} f(x) u(x) dx = d \|\nabla u\|_{L^2}^2.$$

~ Si  $u \neq 0$  et  $d \geq 2$ , on n'a donc pas convergence forte des gradients.

[◀ Retour](#)

$$R_\sigma(u) = \frac{u(x_{\mathcal{L}}) - u(x_{\kappa})}{d_{\kappa\mathcal{L}}} - \frac{1}{|\sigma|} \int_{\sigma} \nabla u(x) \cdot \boldsymbol{\nu}_{\kappa\mathcal{L}} dx.$$

- Formules de Taylor avec reste intégral (pour  $u \in \mathcal{C}^2$  et  $x \in \sigma$ )

$$u(x_{\mathcal{L}}) = u(x) + \nabla u(x) \cdot (x_{\mathcal{L}} - x) + \int_0^1 (1-t) D^2 u(x+t(x_{\mathcal{L}} - x)) \cdot (x_{\mathcal{L}} - x)^2 dt,$$

$$u(x_{\kappa}) = u(x) + \nabla u(x) \cdot (x_{\kappa} - x) + \int_0^1 (1-t) D^2 u(x+t(x_{\kappa} - x)) \cdot (x_{\kappa} - x)^2 dt.$$

$$R_\sigma(u) = \frac{u(x_\mathcal{L}) - u(x_\kappa)}{d_{\kappa\mathcal{L}}} - \frac{1}{|\sigma|} \int_\sigma \nabla u(x) \cdot \boldsymbol{\nu}_{\kappa\mathcal{L}} dx.$$

- Formules de Taylor avec reste intégral (pour  $u \in \mathcal{C}^2$  et  $x \in \sigma$ )

$$u(x_\mathcal{L}) = u(x) + \nabla u(x) \cdot (x_\mathcal{L} - x) + \int_0^1 (1-t) D^2 u(x+t(x_\mathcal{L} - x)) \cdot (x_\mathcal{L} - x)^2 dt,$$

$$u(x_\kappa) = u(x) + \nabla u(x) \cdot (x_\kappa - x) + \int_0^1 (1-t) D^2 u(x+t(x_\kappa - x)) \cdot (x_\kappa - x)^2 dt.$$

- On soustrait et on utilise  $x_\mathcal{L} - x_\kappa = d_{\kappa\mathcal{L}} \boldsymbol{\nu}_{\kappa\mathcal{L}}$

$$\begin{aligned} u(x_\mathcal{L}) - u(x_\kappa) &= d_{\kappa\mathcal{L}} \nabla u(x) \cdot \boldsymbol{\nu}_{\kappa\mathcal{L}} + \int_0^1 (1-t) D^2 u(x+t(x_\mathcal{L} - x)) \cdot (x_\mathcal{L} - x)^2 dt \\ &\quad - \int_0^1 (1-t) D^2 u(x+t(x_\kappa - x)) \cdot (x_\kappa - x)^2 dt. \end{aligned}$$

$$R_\sigma(u) = \frac{u(x_\mathcal{L}) - u(x_\kappa)}{d_{\kappa\mathcal{L}}} - \frac{1}{|\sigma|} \int_\sigma \nabla u(x) \cdot \boldsymbol{\nu}_{\kappa\mathcal{L}} dx.$$

- Formules de Taylor avec reste intégral (pour  $u \in \mathcal{C}^2$  et  $x \in \sigma$ )

$$u(x_\mathcal{L}) = u(x) + \nabla u(x) \cdot (x_\mathcal{L} - x) + \int_0^1 (1-t) D^2 u(x+t(x_\mathcal{L} - x)) \cdot (x_\mathcal{L} - x)^2 dt,$$

$$u(x_\kappa) = u(x) + \nabla u(x) \cdot (x_\kappa - x) + \int_0^1 (1-t) D^2 u(x+t(x_\kappa - x)) \cdot (x_\kappa - x)^2 dt.$$

- Bilan :

$$\begin{aligned} R_\sigma(u) &= \underbrace{\frac{1}{d_{\kappa\mathcal{L}}|\sigma|} \int_\sigma \int_0^1 (1-t) D^2 u(x+t(x_\mathcal{L} - x)) \cdot (x_\mathcal{L} - x)^2 dt dx}_{=T_1} \\ &\quad - \underbrace{\frac{1}{d_{\kappa\mathcal{L}}|\sigma|} \int_\sigma \int_0^1 (1-t) D^2 u(x+t(x_\kappa - x)) \cdot (x_\kappa - x)^2 dt dx}_{=T_2}. \end{aligned}$$

$$T_1 = \frac{1}{d_{\kappa\mathcal{L}}|\sigma|} \int_{\sigma} \int_0^1 (1-t) D^2 u(x + t(x_{\mathcal{L}} - x)).(x_{\mathcal{L}} - x)^2 dt dx.$$

$$T_1 = \frac{1}{d_{\kappa_L} |\sigma|} \int_{\sigma} \int_0^1 (1-t) D^2 u(x + t(x_L - x)).(x_L - x)^2 dt dx.$$

## INÉGALITÉ DE JENSEN

$$|T_1|^2 \leq \frac{1}{d_{\kappa_L}^2 |\sigma|} \int_{\sigma} \int_0^1 |1-t|^2 |D^2 u(x + t(x_L - x))|^2 |x_L - x|^4 dt dx.$$

$$T_1 = \frac{1}{d_{\kappa_L} |\sigma|} \int_{\sigma} \int_0^1 (1-t) D^2 u(x + t(x_L - x)).(x_L - x)^2 dt dx.$$

## INÉGALITÉ DE JENSEN

$$|T_1|^2 \leq \frac{1}{d_{\kappa_L}^2 |\sigma|} \int_{\sigma} \int_0^1 |1-t|^2 |D^2 u(x + t(x_L - x))|^2 |x_L - x|^4 dt dx.$$

## CHANGEMENT DE VARIABLE

$$(t, x) \in [0, 1] \times \sigma \mapsto y = x + t(x_L - x) \in \mathcal{D}_L.$$

Le Jacobien vaut  $(1-t)(x_L - x) \cdot \nu_{\kappa_L} = (1-t)d_{\kappa_L \sigma}$ .

$$|T_1|^2 \leq \frac{d_{\mathcal{D}}^4}{d_{\kappa_L}^2 d_{\kappa_L \sigma} |\sigma|} \int_{\mathcal{D}_L} |D^2 u(y)|^2 dy \leq C(\text{reg}(\mathcal{T})) \frac{\text{size}(\mathcal{T})^2}{|\mathcal{D}|} \int_{\mathcal{D}} |D^2 u(y)|^2 dy.$$

Retour

$$R_\sigma(u) = k_\sigma \frac{u(x_{\mathcal{L}}) - u(x_{\mathcal{K}})}{d_{\mathcal{KL}}} - \frac{1}{|\sigma|} \int_{\sigma} k(x) \nabla u(x) \cdot \boldsymbol{\nu}_{\mathcal{KL}} dx.$$

NOUVEAU TERME DANS L'ESTIMATION

$$|R_\sigma(u)| \leq \left| k_\sigma - \frac{1}{|\sigma|} \int_{\sigma} k(x) dx \right| \left| \frac{u(x_{\mathcal{L}}) - u(x_{\mathcal{K}})}{d_{\mathcal{KL}}} \right| + O(\text{size}(\mathcal{T})).$$

$$R_\sigma(u) = k_\sigma \frac{u(x_{\mathcal{L}}) - u(x_{\mathcal{K}})}{d_{\mathcal{KL}}} - \frac{1}{|\sigma|} \int_{\sigma} k(x) \nabla u(x) \cdot \boldsymbol{\nu}_{\mathcal{KL}} dx.$$

NOUVEAU TERME DANS L'ESTIMATION

$$|R_\sigma(u)| \leq \left| k_\sigma - \frac{1}{|\sigma|} \int_{\sigma} k(x) dx \right| \left| \frac{u(x_{\mathcal{L}}) - u(x_{\mathcal{K}})}{d_{\mathcal{KL}}} \right| + O(\text{size}(\mathcal{T})).$$

- Pour n'importe lequel des choix de  $k_\sigma$  on a

$$\left| k_\sigma - \frac{1}{|\sigma|} \int_{\sigma} k(x) dx \right| \leq C \|\nabla k\|_\infty \text{size}(\mathcal{T}).$$

$$R_\sigma(u) = k_\sigma \frac{u(x_{\mathcal{L}}) - u(x_{\mathcal{K}})}{d_{\mathcal{KL}}} - \frac{1}{|\sigma|} \int_{\sigma} k(x) \nabla u(x) \cdot \boldsymbol{\nu}_{\mathcal{KL}} dx.$$

NOUVEAU TERME DANS L'ESTIMATION

$$|R_\sigma(u)| \leq \left| k_\sigma - \frac{1}{|\sigma|} \int_{\sigma} k(x) dx \right| \left| \frac{u(x_{\mathcal{L}}) - u(x_{\mathcal{K}})}{d_{\mathcal{KL}}} \right| + O(\text{size}(\mathcal{T})).$$

- Pour n'importe lequel des choix de  $k_\sigma$  on a

$$\left| k_\sigma - \frac{1}{|\sigma|} \int_{\sigma} k(x) dx \right| \leq C \|\nabla k\|_\infty \text{size}(\mathcal{T}).$$

- Avec des formules de Taylor on trouve aussi

$$\left| \frac{u(x_{\mathcal{L}}) - u(x_{\mathcal{K}})}{d_{\mathcal{KL}}} \right| \leq C \left( \frac{1}{|\mathcal{D}|} \int_{\mathcal{D}} |\nabla u|^2 + |D^2 u|^2 dx \right)^{\frac{1}{2}}.$$

[◀ Retour](#)

# PREUVE DE L'ESTIMATION DE CONSISTANCE VF4

CAS HÉTÉROGÈNE DISCONTINU

$$R_\sigma(u) = \frac{\frac{d_{\kappa\mathcal{L}}}{\frac{d_{\kappa\sigma}}{k_\kappa} + \frac{d_{\mathcal{L}\sigma}}{k_\mathcal{L}}}}{d_{\kappa\mathcal{L}}} \frac{u(x_\mathcal{L}) - u(x_\kappa)}{d_{\kappa\mathcal{L}}} - \frac{1}{|\sigma|} \int_\sigma k(x) \nabla u(x) \cdot \boldsymbol{\nu}_{\kappa\mathcal{L}} dx.$$

“CONTINUITÉ” DU FLUX EXACT

$$\int_\sigma k(x) \nabla u(x) \cdot \boldsymbol{\nu}_{\kappa\mathcal{L}} dx \stackrel{\text{def}}{=} k_\kappa \int_\sigma \nabla u|_\kappa(x) \cdot \boldsymbol{\nu}_{\kappa\mathcal{L}} dx = k_\mathcal{L} \int_\sigma \nabla u|_\mathcal{L}(x) \cdot \boldsymbol{\nu}_{\kappa\mathcal{L}} dx.$$

$$R_\sigma(u) = \frac{\frac{d_{\kappa\mathcal{L}}}{\frac{d_{\kappa\sigma}}{k_\kappa} + \frac{d_{\mathcal{L}\sigma}}{k_\mathcal{L}}}}{d_{\kappa\mathcal{L}}} \frac{u(x_\mathcal{L}) - u(x_\kappa)}{d_{\kappa\mathcal{L}}} - \frac{1}{|\sigma|} \int_\sigma k(x) \nabla u(x) \cdot \boldsymbol{\nu}_{\kappa\mathcal{L}} dx.$$

“CONTINUITÉ” DU FLUX EXACT

$$\int_\sigma k(x) \nabla u(x) \cdot \boldsymbol{\nu}_{\kappa\mathcal{L}} dx \stackrel{\text{def}}{=} k_\kappa \int_\sigma \nabla u|_\kappa(x) \cdot \boldsymbol{\nu}_{\kappa\mathcal{L}} dx = k_\mathcal{L} \int_\sigma \nabla u|_\mathcal{L}(x) \cdot \boldsymbol{\nu}_{\kappa\mathcal{L}} dx.$$

FORMULES DE TAYLOR pour  $x \in \sigma$

ATTENTION :  $u$  n'est pas régulière mais  $u|_\kappa$  et  $u|_\mathcal{L}$  le sont.

$$u(x_\kappa) = u(x) + \nabla u|_\kappa(x) \cdot (x_\kappa - x) + O(\text{size}(\mathcal{T})^2),$$

$$u(x_\mathcal{L}) = u(x) + \nabla u|_\mathcal{L}(x) \cdot (x_\mathcal{L} - x) + O(\text{size}(\mathcal{T})^2).$$

# PREUVE DE L'ESTIMATION DE CONSISTANCE VF4

CAS HÉTÉROGÈNE DISCONTINU

$$R_\sigma(u) = \frac{\frac{d_{\kappa\mathcal{L}}}{d_{\kappa\sigma} + d_{\mathcal{L}\sigma}} \frac{u(x_{\mathcal{L}}) - u(x_\kappa)}{d_{\kappa\mathcal{L}}} - \frac{1}{|\sigma|} \int_\sigma k(x) \nabla u(x) \cdot \boldsymbol{\nu}_{\kappa\mathcal{L}} dx.}$$

“CONTINUITÉ” DU FLUX EXACT

$$\int_\sigma k(x) \nabla u(x) \cdot \boldsymbol{\nu}_{\kappa\mathcal{L}} dx \stackrel{\text{def}}{=} k_\kappa \int_\sigma \nabla u|_\kappa(x) \cdot \boldsymbol{\nu}_{\kappa\mathcal{L}} dx = k_{\mathcal{L}} \int_\sigma \nabla u|_{\mathcal{L}}(x) \cdot \boldsymbol{\nu}_{\kappa\mathcal{L}} dx.$$

FORMULES DE TAYLOR pour  $x \in \sigma$

$$u(x_\kappa) = u(x) + \nabla u|_\kappa(x) \cdot (-d_{\kappa\sigma} \boldsymbol{\nu}_{\kappa\mathcal{L}} + \mathbf{x}_\sigma - \mathbf{x}) + O(\text{size}(\mathcal{T})^2),$$

$$u(x_{\mathcal{L}}) = u(x) + \nabla u|_{\mathcal{L}}(x) \cdot (d_{\mathcal{L}\sigma} \boldsymbol{\nu}_{\kappa\mathcal{L}} + \mathbf{x}_\sigma - \mathbf{x}) + O(\text{size}(\mathcal{T})^2).$$

$$R_\sigma(u) = \frac{\frac{d_{\kappa\mathcal{L}}}{d_{\kappa\sigma} + d_{\mathcal{L}\sigma}}}{d_{\kappa\mathcal{L}}} \frac{u(x_{\mathcal{L}}) - u(x_\kappa)}{d_{\kappa\mathcal{L}}} - \frac{1}{|\sigma|} \int_\sigma k(x) \nabla u(x) \cdot \boldsymbol{\nu}_{\kappa\mathcal{L}} dx.$$

“CONTINUITÉ” DU FLUX EXACT

$$\int_\sigma k(x) \nabla u(x) \cdot \boldsymbol{\nu}_{\kappa\mathcal{L}} dx \stackrel{\text{def}}{=} k_\kappa \int_\sigma \nabla u|_\kappa(x) \cdot \boldsymbol{\nu}_{\kappa\mathcal{L}} dx = k_{\mathcal{L}} \int_\sigma \nabla u|_{\mathcal{L}}(x) \cdot \boldsymbol{\nu}_{\kappa\mathcal{L}} dx.$$

FORMULES DE TAYLOR pour  $x \in \sigma$

$$u(x_{\mathcal{L}}) - u(x_\kappa) = d_{\mathcal{L}\sigma} \nabla u|_{\mathcal{L}}(x) \cdot \boldsymbol{\nu}_{\kappa\mathcal{L}} + d_{\kappa\sigma} \nabla u|_\kappa(x) \cdot \boldsymbol{\nu}_{\kappa\mathcal{L}} + O(\text{size}(\mathcal{T})^2).$$

$$R_\sigma(u) = \frac{d_{\kappa\mathcal{L}}}{\frac{d_{\kappa\sigma}}{k_\kappa} + \frac{d_{\mathcal{L}\sigma}}{k_\mathcal{L}}} \frac{u(x_\mathcal{L}) - u(x_\kappa)}{d_{\kappa\mathcal{L}}} - \frac{1}{|\sigma|} \int_\sigma k(x) \nabla u(x) \cdot \boldsymbol{\nu}_{\kappa\mathcal{L}} dx.$$

“CONTINUITÉ” DU FLUX EXACT

$$\int_\sigma k(x) \nabla u(x) \cdot \boldsymbol{\nu}_{\kappa\mathcal{L}} dx \stackrel{\text{def}}{=} k_\kappa \int_\sigma \nabla u|_\kappa(x) \cdot \boldsymbol{\nu}_{\kappa\mathcal{L}} dx = k_\mathcal{L} \int_\sigma \nabla u|_\mathcal{L}(x) \cdot \boldsymbol{\nu}_{\kappa\mathcal{L}} dx.$$

FORMULES DE TAYLOR pour  $x \in \sigma$

$$u(x_\mathcal{L}) - u(x_\kappa) = \frac{d_{\mathcal{L}\sigma}}{k_\mathcal{L}} \left( k_\mathcal{L} \nabla u|_\mathcal{L}(x) \cdot \boldsymbol{\nu}_{\kappa\mathcal{L}} \right) + \frac{d_{\kappa\sigma}}{k_\kappa} \left( k_\kappa \nabla u|_\kappa(x) \cdot \boldsymbol{\nu}_{\kappa\mathcal{L}} \right) + O(\text{size}(\mathcal{T})^2)$$

$$R_\sigma(u) = \frac{d_{\kappa\mathcal{L}}}{\frac{d_{\kappa\sigma}}{k_\kappa} + \frac{d_{\mathcal{L}\sigma}}{k_\mathcal{L}}} \frac{u(x_\mathcal{L}) - u(x_\kappa)}{d_{\kappa\mathcal{L}}} - \frac{1}{|\sigma|} \int_\sigma k(x) \nabla u(x) \cdot \boldsymbol{\nu}_{\kappa\mathcal{L}} dx.$$

“CONTINUITÉ” DU FLUX EXACT

$$\int_\sigma k(x) \nabla u(x) \cdot \boldsymbol{\nu}_{\kappa\mathcal{L}} dx \stackrel{\text{def}}{=} k_\kappa \int_\sigma \nabla u|_\kappa(x) \cdot \boldsymbol{\nu}_{\kappa\mathcal{L}} dx = k_\mathcal{L} \int_\sigma \nabla u|_\mathcal{L}(x) \cdot \boldsymbol{\nu}_{\kappa\mathcal{L}} dx.$$

FORMULES DE TAYLOR pour  $x \in \sigma$

$$u(x_\mathcal{L}) - u(x_\kappa) = \frac{d_{\mathcal{L}\sigma}}{k_\mathcal{L}} \left( k_\mathcal{L} \nabla u|_\mathcal{L}(x) \cdot \boldsymbol{\nu}_{\kappa\mathcal{L}} \right) + \frac{d_{\kappa\sigma}}{k_\kappa} \left( k_\kappa \nabla u|_\kappa(x) \cdot \boldsymbol{\nu}_{\kappa\mathcal{L}} \right) + O(\text{size}(\mathcal{T})^2)$$

ON INTÈGRE SUR  $\sigma$

$$|\sigma|(u(x_\mathcal{L}) - u(x_\kappa)) = \left( \frac{d_{\mathcal{L}\sigma}}{k_\mathcal{L}} + \frac{d_{\kappa\sigma}}{k_\kappa} \right) \int_\sigma k(x) \nabla u(x) \cdot \boldsymbol{\nu}_{\kappa\mathcal{L}} dx + O(\text{size}(\mathcal{T})^3).$$

$$R_\sigma(u) = \frac{\frac{d_{\kappa\mathcal{L}}}{d_{\kappa\sigma} + d_{\mathcal{L}\sigma}} \frac{u(x_{\mathcal{L}}) - u(x_\kappa)}{d_{\kappa\mathcal{L}}} - \frac{1}{|\sigma|} \int_\sigma k(x) \nabla u(x) \cdot \boldsymbol{\nu}_{\kappa\mathcal{L}} dx}{d_{\kappa\mathcal{L}}}$$

“CONTINUITÉ” DU FLUX EXACT

$$\int_\sigma k(x) \nabla u(x) \cdot \boldsymbol{\nu}_{\kappa\mathcal{L}} dx \stackrel{\text{def}}{=} k_\kappa \int_\sigma \nabla u|_\kappa(x) \cdot \boldsymbol{\nu}_{\kappa\mathcal{L}} dx = k_{\mathcal{L}} \int_\sigma \nabla u|_{\mathcal{L}}(x) \cdot \boldsymbol{\nu}_{\kappa\mathcal{L}} dx.$$

FORMULES DE TAYLOR pour  $x \in \sigma$

$$u(x_{\mathcal{L}}) - u(x_\kappa) = \frac{d_{\mathcal{L}\sigma}}{k_{\mathcal{L}}} \left( k_{\mathcal{L}} \nabla u|_{\mathcal{L}}(x) \cdot \boldsymbol{\nu}_{\kappa\mathcal{L}} \right) + \frac{d_{\kappa\sigma}}{k_\kappa} \left( k_\kappa \nabla u|_\kappa(x) \cdot \boldsymbol{\nu}_{\kappa\mathcal{L}} \right) + O(\text{size}(\mathcal{T})^2)$$

ON INTÈGRE SUR  $\sigma$

$$\frac{d_{\kappa\mathcal{L}}}{d_{\mathcal{L}\sigma} + d_{\kappa\sigma}} \frac{u(x_{\mathcal{L}}) - u(x_\kappa)}{d_{\kappa\mathcal{L}}} = \frac{1}{|\sigma|} \int_\sigma k(x) \nabla u(x) \cdot \boldsymbol{\nu}_{\kappa\mathcal{L}} dx + O(\text{size}(\mathcal{T})).$$

Retour

# PREUVE DE L'INÉGALITÉ DE POINCARÉ

DANS LE CAS D'UN MAILLAGE DDFV

(Andreianov–Gutnic–Wittbold, '04)

- Rappel :

$$\forall \mathcal{D} \in \mathfrak{D} : |\mathcal{D}| = \frac{1}{2}(\sin \alpha_{\mathcal{D}})|\sigma|d_{\kappa_L} \Rightarrow |\sigma|d_{\kappa_L} \leq C(\text{reg}(\mathcal{T}))|\mathcal{D}|.$$

- On réutilise  $\chi_{\sigma}(x, y)$ , une direction  $\xi$  et  $y(x)$  la projection d'un point  $x \in \Omega$  sur le bord selon  $\xi$ .
- Somme télescopique :

$$|u_{\kappa}|^2 = |u_{\kappa_1}|^2 = \sum_{i=1}^{m-1} (|u_{\kappa_i}|^2 - |u_{\kappa_{i+1}}|^2) + |u_{\kappa_m}|^2,$$

# PREUVE DE L'INÉGALITÉ DE POINCARÉ

DANS LE CAS D'UN MAILLAGE DDFV

(Andreianov–Gutnic–Wittbold, '04)

- Rappel :

$$\forall \mathcal{D} \in \mathfrak{D} : |\mathcal{D}| = \frac{1}{2}(\sin \alpha_{\mathcal{D}})|\sigma|d_{\kappa\mathcal{L}} \Rightarrow |\sigma|d_{\kappa\mathcal{L}} \leq C(\text{reg}(\mathcal{T}))|\mathcal{D}|.$$

- On réutilise  $\chi_{\sigma}(x, y)$ , une direction  $\xi$  et  $y(x)$  la projection d'un point  $x \in \Omega$  sur le bord selon  $\xi$ .
- Somme télescopique :

$$|u_{\kappa}|^2 \leq C \left( \sum_{i=1}^{m-1} |u_{\kappa_i} - u_{\kappa_{i+1}}|(|u_{\kappa_i}| + |u_{\kappa_{i+1}}|) \right) + |u_{\kappa_m}|^2.$$

# PREUVE DE L'INÉGALITÉ DE POINCARÉ

DANS LE CAS D'UN MAILLAGE DDFV

(Andreianov–Gutnic–Wittbold, '04)

- Rappel :

$$\forall \mathcal{D} \in \mathfrak{D} : |\mathcal{D}| = \frac{1}{2}(\sin \alpha_{\mathcal{D}}) |\sigma| d_{\kappa\mathcal{L}} \Rightarrow |\sigma| d_{\kappa\mathcal{L}} \leq C(\text{reg}(\mathcal{T})) |\mathcal{D}|.$$

- On réutilise  $\chi_{\sigma}(x, y)$ , une direction  $\xi$  et  $y(x)$  la projection d'un point  $x \in \Omega$  sur le bord selon  $\xi$ .
- Somme télescopique :

$$\sum_{\kappa \in \mathfrak{M}} |\kappa| |u_{\kappa}|^2 \leq \sum_{\sigma \in \mathcal{E}} |u_{\kappa} - u_{\mathcal{L}}| (|u_{\kappa}| + |u_{\mathcal{L}}|) \left( \int_{\Omega} \chi_{\sigma}(x, y(x)) dx \right).$$

# PREUVE DE L'INÉGALITÉ DE POINCARÉ

DANS LE CAS D'UN MAILLAGE DDFV

(Andreianov–Gutnic–Wittbold, '04)

- Rappel :

$$\forall \mathcal{D} \in \mathfrak{D} : |\mathcal{D}| = \frac{1}{2}(\sin \alpha_{\mathcal{D}}) |\sigma| d_{\kappa\mathcal{L}} \Rightarrow |\sigma| d_{\kappa\mathcal{L}} \leq C(\text{reg}(\mathcal{T})) |\mathcal{D}|.$$

- On réutilise  $\chi_{\sigma}(x, y)$ , une direction  $\xi$  et  $y(x)$  la projection d'un point  $x \in \Omega$  sur le bord selon  $\xi$ .
- Somme télescopique :

$$\sum_{\kappa \in \mathfrak{M}} |\kappa| |u_{\kappa}|^2 \leq \sum_{\sigma \in \mathcal{E}} |\sigma| d_{\kappa\mathcal{L}} \left| \frac{u_{\kappa} - u_{\mathcal{L}}}{d_{\kappa\mathcal{L}}} \right| (|u_{\kappa}| + |u_{\mathcal{L}}|).$$

# PREUVE DE L'INÉGALITÉ DE POINCARÉ

DANS LE CAS D'UN MAILLAGE DDFV

(Andreianov–Gutnic–Wittbold, '04)

- Rappel :

$$\forall \mathcal{D} \in \mathfrak{D} : |\mathcal{D}| = \frac{1}{2}(\sin \alpha_{\mathcal{D}}) |\sigma| d_{\kappa\mathcal{L}} \Rightarrow |\sigma| d_{\kappa\mathcal{L}} \leq C(\text{reg}(\mathcal{T})) |\mathcal{D}|.$$

- On réutilise  $\chi_{\sigma}(x, y)$ , une direction  $\xi$  et  $y(x)$  la projection d'un point  $x \in \Omega$  sur le bord selon  $\xi$ .
- Somme télescopique :

$$\|u^{\mathfrak{M}}\|_{L^2}^2 \leq \left( \sum_{\sigma \in \mathcal{E}} |\sigma| d_{\kappa\mathcal{L}} \left| \frac{u_{\kappa} - u_{\mathcal{L}}}{d_{\kappa\mathcal{L}}} \right|^2 \right)^{\frac{1}{2}} \left( \sum_{\sigma \in \mathcal{E}} |\sigma| d_{\kappa\mathcal{L}} (|u_{\kappa}|^2 + |u_{\mathcal{L}}|^2) \right)^{\frac{1}{2}}.$$

# PREUVE DE L'INÉGALITÉ DE POINCARÉ

DANS LE CAS D'UN MAILLAGE DDFV

(Andreianov–Gutnic–Wittbold, '04)

- Rappel :

$$\forall \mathcal{D} \in \mathfrak{D} : |\mathcal{D}| = \frac{1}{2}(\sin \alpha_{\mathcal{D}}) |\sigma| d_{\kappa\mathcal{L}} \Rightarrow |\sigma| d_{\kappa\mathcal{L}} \leq C(\text{reg}(\mathcal{T})) |\mathcal{D}|.$$

- On réutilise  $\chi_{\sigma}(x, y)$ , une direction  $\xi$  et  $y(x)$  la projection d'un point  $x \in \Omega$  sur le bord selon  $\xi$ .
- Somme télescopique :

$$\|u^{\mathfrak{m}}\|_{L^2}^2 \leq \left( \sum_{\sigma \in \mathcal{E}} |\sigma| d_{\kappa\mathcal{L}} \left| \frac{u_{\kappa} - u_{\mathcal{L}}}{d_{\kappa\mathcal{L}}} \right|^2 \right)^{\frac{1}{2}} \left( \sum_{\sigma \in \mathcal{E}} |\sigma| d_{\kappa\mathcal{L}} (|u_{\kappa}|^2 + |u_{\mathcal{L}}|^2) \right)^{\frac{1}{2}}.$$

- On obtient le résultat si on montre maintenant que

$$\sum_{\sigma \in \mathcal{E}} |\sigma| d_{\kappa\mathcal{L}} (|u_{\kappa}|^2 + |u_{\mathcal{L}}|^2) \leq C \|u^{\mathfrak{m}}\|_{L^2}^2 + C \sum_{\sigma \in \mathcal{E}} |\sigma| d_{\kappa\mathcal{L}} \left| \frac{u_{\kappa} - u_{\mathcal{L}}}{d_{\kappa\mathcal{L}}} \right|^2.$$

# PREUVE DE L'INÉGALITÉ DE POINCARÉ

DANS LE CAS D'UN MAILLAGE DDFV

ON VEUT MONTRER

$$\sum_{\sigma \in \mathcal{E}} |\sigma| d_{\kappa \mathcal{L}} (|u_\kappa|^2 + |u_{\mathcal{L}}|^2) \leq C \|u^{\mathfrak{m}}\|_{L^2}^2 + C \sum_{\sigma \in \mathcal{E}} |\sigma| d_{\kappa \mathcal{L}} \left| \frac{u_\kappa - u_{\mathcal{L}}}{d_{\kappa \mathcal{L}}} \right|^2.$$

# PREUVE DE L'INÉGALITÉ DE POINCARÉ

DANS LE CAS D'UN MAILLAGE DDFV

## ON VEUT MONTRER

$$\sum_{\sigma \in \mathcal{E}} |\sigma| d_{\kappa \mathcal{L}}(|u_\kappa|^2 + |u_{\mathcal{L}}|^2) \leq C \|u^{\mathfrak{M}}\|_{L^2}^2 + C \sum_{\sigma \in \mathcal{E}} |\sigma| d_{\kappa \mathcal{L}} \left| \frac{u_\kappa - u_{\mathcal{L}}}{d_{\kappa \mathcal{L}}} \right|^2.$$

- On a tout d'abord

$$\begin{aligned} \sum_{\sigma \in \mathcal{E}} |\sigma| d_{\kappa \mathcal{L}}(|u_\kappa|^2 + |u_{\mathcal{L}}|^2) &= \sum_{\sigma \in \mathcal{E}} |\sigma| (d_{\kappa \sigma} + d_{\mathcal{L} \sigma}) (|u_\kappa|^2 + |u_{\mathcal{L}}|^2) \\ &\leq C \sum_{\kappa \in \mathfrak{M}} |\kappa| |u_\kappa|^2 + \sum_{\sigma \in \mathcal{E}} |\sigma| (d_{\mathcal{L} \sigma} |u_\kappa|^2 + d_{\kappa \sigma} |u_{\mathcal{L}}|^2). \end{aligned}$$

# PREUVE DE L'INÉGALITÉ DE POINCARÉ

DANS LE CAS D'UN MAILLAGE DDFV

## ON VEUT MONTRER

$$\sum_{\sigma \in \mathcal{E}} |\sigma| d_{\kappa \mathcal{L}} (|u_\kappa|^2 + |u_{\mathcal{L}}|^2) \leq C \|u^{\mathfrak{M}}\|_{L^2}^2 + C \sum_{\sigma \in \mathcal{E}} |\sigma| d_{\kappa \mathcal{L}} \left| \frac{u_\kappa - u_{\mathcal{L}}}{d_{\kappa \mathcal{L}}} \right|^2.$$

- On a tout d'abord

$$\begin{aligned} \sum_{\sigma \in \mathcal{E}} |\sigma| d_{\kappa \mathcal{L}} (|u_\kappa|^2 + |u_{\mathcal{L}}|^2) &= \sum_{\sigma \in \mathcal{E}} |\sigma| (d_{\kappa \sigma} + d_{\mathcal{L} \sigma}) (|u_\kappa|^2 + |u_{\mathcal{L}}|^2) \\ &\leq C \sum_{\kappa \in \mathfrak{M}} |\kappa| |u_\kappa|^2 + \sum_{\sigma \in \mathcal{E}} |\sigma| (d_{\mathcal{L} \sigma} |u_\kappa|^2 + d_{\kappa \sigma} |u_{\mathcal{L}}|^2). \end{aligned}$$

- On remarque maintenant que

$$d_{\mathcal{L} \sigma} |u_\kappa|^2 \leq \begin{cases} 2^2 d_{\mathcal{L} \sigma} |u_{\mathcal{L}}|^2, & \text{si } |u_\kappa| \leq 2|u_{\mathcal{L}}| \\ 2^2 d_{\mathcal{L} \sigma} |u_{\mathcal{L}} - u_\kappa|^2, & \text{si } |u_\kappa| > 2|u_{\mathcal{L}}| \end{cases}.$$

◀ Retour

## GRANDES ÉTAPES

- Estimation d'énergie :

$$\sup_n \|u^{\tau_n}\|_{1,\tau_n} \leq C(\Omega, f).$$

# PREUVE DE LA CONVERGENCE

## GRANDES ÉTAPES

- Estimation d'énergie :

$$\sup_n \|u^{\tau_n}\|_{1,\mathcal{T}_n} \leq C(\Omega, f).$$

- Théorème de compacité faible  $L^2$  (similaire à celui de VF4) :

Il existe  $u \in H_0^1(\Omega)$  tel que (modulo sous-suite !)

$$u^{\mathfrak{m}_n} \xrightarrow[n \rightarrow \infty]{} u \text{ dans } L^2(\Omega),$$

$$u^{\mathfrak{m}_n^*} \xrightarrow[n \rightarrow \infty]{} u \text{ dans } L^2(\Omega),$$

$$\nabla^{\tau_n} u^{\tau_n} \xrightarrow[n \rightarrow \infty]{} \nabla u \text{ dans } (L^2(\Omega))^2.$$

- On obtient immédiatement que la limite  $u$  est bien l'unique solution faible du problème initial.
- Pour la convergence forte on a

$$2 \int_{\Omega} (A(x) \nabla^{\tau_n} u^{\tau_n}, \nabla^{\tau_n} u^{\tau_n}) dx = \int_{\Omega} f(x) u^{\mathfrak{m}_n} dx + \int_{\Omega} f(x) u^{\mathfrak{m}_n^*} dx,$$

et on passe à la limite dans le second membre.

$$\nabla_{\mathcal{Q}}^{\mathcal{N}} u^{\tau} = \nabla_{\mathcal{D}}^{\tau} u^{\tau} + B_{\mathcal{Q}} \delta^{\mathcal{D}}(\nabla_{\mathcal{D}}^{\tau} u^{\tau}), \forall \mathcal{Q} \subset \mathcal{D},$$

$$\nabla_{\mathcal{D}}^{\mathcal{N}} u^{\tau} = \sum_{\mathcal{Q} \in \mathfrak{Q}_{\mathcal{D}}} 1_{\mathcal{Q}} \nabla_{\mathcal{Q}}^{\mathcal{N}} u^{\tau},$$

$$|\mathcal{D}| \nabla_{\mathcal{D}}^{\tau} u^{\tau} = \sum_{\mathcal{Q} \in \mathfrak{Q}_{\mathcal{D}}} |\mathcal{Q}| \nabla_{\mathcal{Q}}^{\mathcal{N}} u^{\tau}.$$

## COMPARAISON DES GRADIENTS

- ▶  $\|\nabla^{\tau} u^{\tau}\|_{L^p} \leq \|\nabla^{\mathcal{N}} u^{\tau}\|_{L^p}.$
- ▶  $\|\nabla^{\mathcal{N}} u^{\tau}\|_{L^p} \leq C(1 + \|\nabla^{\tau} u^{\tau}\|_{L^p}).$

## ESTIMATION D'ÉNERGIE

- ▶  $\|\nabla^{\mathcal{N}} u^{\tau}\|_{L^p} \leq C \left( 1 + \|f\|_{L^{p'}}^{\frac{1}{p-1}} \right).$

Toutes les constantes dépendent de  $\text{reg}(\mathcal{T})$ .

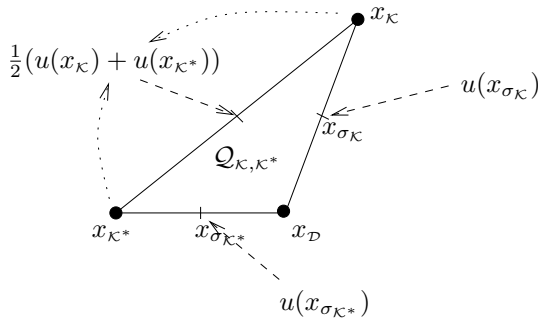
## LA CONSISTANCE DU NOUVEAU GRADIENT

## PROPOSITION

$$\begin{aligned} & \int_{\mathcal{D}} |\nabla u(x) - \nabla^{\mathcal{N}} \mathbb{P}^\tau u(x)|^2 dx \\ & \leq C \text{size}(T)^2 \sum_{Q \in \mathfrak{Q}_{\mathcal{D}}} \int_Q (1 + |\nabla u|^2 + |\nabla^2 u|^p) dx, \quad \forall \mathcal{D} \in \mathfrak{D}. \end{aligned}$$

**Démonstration :** On introduit  $\mathbb{P}^{\mathfrak{Q}} u$  une projection affine de  $u$  sur les quarts de diamants  $\mathcal{Q} = \mathcal{Q}_{\kappa, \kappa^*}$  :

$$\begin{aligned}\mathbb{P}_{\mathcal{Q}_{\kappa, \kappa^*}}^{\mathfrak{Q}} u(x_{\sigma\kappa}) &= u(x_{\sigma\kappa}), \\ \mathbb{P}_{\mathcal{Q}_{\kappa, \kappa^*}}^{\mathfrak{Q}} u(x_{\sigma\kappa^*}) &= u(x_{\sigma\kappa^*}), \\ \mathbb{P}_{\mathcal{Q}_{\kappa, \kappa^*}}^{\mathfrak{Q}} u\left(\frac{x_\kappa + x_{\kappa^*}}{2}\right) &= \frac{u(x_\kappa) + u(x_{\kappa^*})}{2}.\end{aligned}$$



# ÉLÉMENTS DE LA PREUVE - LE POINT DÉLICAT

- Le gradient de  $\mathbb{P}_{Q_{\mathcal{K}, \mathcal{K}^*}}^{\mathfrak{D}} u$  est donné par

$$\nabla \mathbb{P}_{Q_{\mathcal{K}, \mathcal{K}^*}}^{\mathfrak{D}} u = \frac{2}{\sin \alpha_{\mathcal{D}}} \left( \frac{\frac{u(x_{\sigma_{\mathcal{K}^*}}) - \frac{u(x_{\mathcal{K}}) + u(x_{\mathcal{K}^*})}{2}}{|\sigma_{\mathcal{K}}|} \nu + \frac{\frac{u(x_{\sigma_{\mathcal{K}}}) - \frac{u(x_{\mathcal{K}}) + u(x_{\mathcal{K}^*})}{2}}{|\sigma_{\mathcal{K}^*}|} \nu^*}{\right).$$

- Le gradient de  $\mathbb{P}_{\mathcal{Q}_{\mathcal{K}, \mathcal{K}^*}}^{\mathfrak{Q}} u$  est donné par

$$\nabla \mathbb{P}_{\mathcal{Q}_{\mathcal{K}, \mathcal{K}^*}}^{\mathfrak{Q}} u = \frac{2}{\sin \alpha_{\mathcal{D}}} \left( \frac{u(x_{\sigma_{\mathcal{K}^*}}) - \frac{u(x_{\mathcal{K}}) + u(x_{\mathcal{K}^*})}{2}}{|\sigma_{\mathcal{K}}|} \nu + \frac{u(x_{\sigma_{\mathcal{K}}}) - \frac{u(x_{\mathcal{K}}) + u(x_{\mathcal{K}^*})}{2}}{|\sigma_{\mathcal{K}^*}|} \nu^* \right).$$

- L'erreur de consistance de cette projection

$$T_{\overline{\mathfrak{Q}}}(z) = \nabla u(z) - \nabla \mathbb{P}_{\mathcal{Q}}^{\mathfrak{Q}} u, \quad \forall z \in \mathcal{Q}, \quad \forall \mathcal{Q} \in \mathfrak{Q}.$$

est classiquement contrôlée par

$$\int_{\mathcal{Q}} |T_{\overline{\mathfrak{Q}}}(z)|^2 dx \leq C \text{size}(\mathcal{T})^2 \int_{\mathcal{Q}} |\nabla^2 u(z)|^2 dx, \quad \forall \mathcal{Q} \in \mathfrak{Q}.$$

# ÉLÉMENTS DE LA PREUVE - LE POINT DÉLICAT

- Le gradient de  $\mathbb{P}_{\mathcal{Q}_{\mathcal{K}, \mathcal{K}^*}}^\mathfrak{D} u$  est donné par

$$\nabla \mathbb{P}_{\mathcal{Q}_{\mathcal{K}, \mathcal{K}^*}}^\mathfrak{D} u = \frac{2}{\sin \alpha_{\mathcal{D}}} \left( \frac{u(x_{\sigma_{\mathcal{K}^*}}) - \frac{u(x_{\mathcal{K}}) + u(x_{\mathcal{K}^*})}{2}}{|\sigma_{\mathcal{K}}|} \nu + \frac{u(x_{\sigma_{\mathcal{K}}}) - \frac{u(x_{\mathcal{K}}) + u(x_{\mathcal{K}^*})}{2}}{|\sigma_{\mathcal{K}^*}|} \nu^* \right).$$

- L'erreur de consistance de cette projection

$$T_{\overline{\mathcal{Q}}}(z) = \nabla u(z) - \nabla \mathbb{P}_{\mathcal{Q}}^\mathfrak{D} u, \quad \forall z \in \mathcal{Q}, \quad \forall \mathcal{Q} \in \mathfrak{Q}.$$

est classiquement contrôlée par

$$\int_{\mathcal{Q}} |T_{\overline{\mathcal{Q}}}(z)|^2 dx \leq C \text{size}(\mathcal{T})^2 \int_{\mathcal{Q}} |\nabla^2 u(z)|^2 dx, \quad \forall \mathcal{Q} \in \mathfrak{Q}.$$

- On a alors

$$\nabla u(z) - \nabla_{\mathcal{Q}}^{\mathcal{N}} \mathbb{P}^{\mathcal{T}} u(z) = T_{\overline{\mathcal{Q}}}(z) + B_{\mathcal{Q}} \bar{\delta}$$

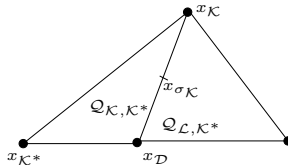
avec par exemple :

$$\bar{\delta}_{\mathcal{K}^*} = u(x_{\sigma_{\mathcal{K}^*}}) - \frac{1}{2} \left( u(x_{\mathcal{K}^*}) + \frac{|\sigma_{\mathcal{L}}| u(x_{\mathcal{K}}) + |\sigma_{\mathcal{K}}| u(x_{\mathcal{L}})}{|\sigma_{\mathcal{K}}| + |\sigma_{\mathcal{L}}|} \right) = O(\text{size}(\mathcal{T})),$$

alors que  $B_{\mathcal{Q}} = O(\text{size}(\mathcal{T})^{-1})$ .

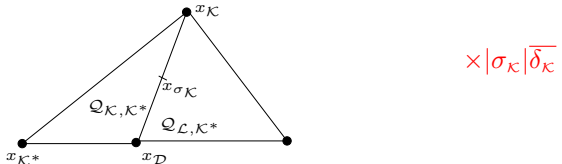
En utilisant la définition de  $\nabla_{\mathcal{Q}}^{\mathcal{N}}$  et la continuité des flux sur chaque arête du diamant on obtient

$$\begin{aligned} & \left( \left( \frac{1}{|\mathcal{Q}_{\kappa, \kappa^*}|} \int_{\mathcal{Q}_{\kappa, \kappa^*}} A(x) \nabla u(x) - \frac{1}{|\mathcal{Q}_{\kappa, \kappa^*}|} \int_{\mathcal{Q}_{\kappa, \kappa^*}} A(x) \nabla_{\mathcal{Q}_{\kappa, \kappa^*}}^{\mathcal{N}} \mathbb{P}^{\tau} u \right), \nu^* \right) \\ & - \left( \left( \frac{1}{|\mathcal{Q}_{\kappa, \mathcal{L}^*}|} \int_{\mathcal{Q}_{\kappa, \mathcal{L}^*}} A(x) \nabla u(x) - \frac{1}{|\mathcal{Q}_{\kappa, \mathcal{L}^*}|} \int_{\mathcal{Q}_{\kappa, \mathcal{L}^*}} A(x) \nabla_{\mathcal{Q}_{\kappa, \mathcal{L}^*}}^{\mathcal{N}} \mathbb{P}^{\tau} u \right), \nu^* \right) \\ & = R_{\mathcal{Q}_{\kappa, \kappa^*}, \sigma_{\kappa}}^{\varphi} - R_{\mathcal{Q}_{\kappa, \mathcal{L}^*}, \sigma_{\kappa}}^{\varphi}. \end{aligned}$$



En utilisant la définition de  $\nabla_{\mathcal{Q}}^{\mathcal{N}}$  et la continuité des flux sur chaque arête du diamant on obtient

$$\begin{aligned} & \left( \left( \frac{1}{|\mathcal{Q}_{\kappa, \kappa^*}|} \int_{\mathcal{Q}_{\kappa, \kappa^*}} A(x) \nabla u(x) - \frac{1}{|\mathcal{Q}_{\kappa, \kappa^*}|} \int_{\mathcal{Q}_{\kappa, \kappa^*}} A(x) \nabla_{\mathcal{Q}_{\kappa, \kappa^*}}^{\mathcal{N}} \mathbb{P}^{\tau} u \right), \nu^* \right) \\ & - \left( \left( \frac{1}{|\mathcal{Q}_{\kappa, \mathcal{L}^*}|} \int_{\mathcal{Q}_{\kappa, \mathcal{L}^*}} A(x) \nabla u(x) - \frac{1}{|\mathcal{Q}_{\kappa, \mathcal{L}^*}|} \int_{\mathcal{Q}_{\kappa, \mathcal{L}^*}} A(x) \nabla_{\mathcal{Q}_{\kappa, \mathcal{L}^*}}^{\mathcal{N}} \mathbb{P}^{\tau} u \right), \nu^* \right) \\ & = R_{\mathcal{Q}_{\kappa, \kappa^*}, \sigma_{\kappa}}^{\varphi} - R_{\mathcal{Q}_{\kappa, \mathcal{L}^*}, \sigma_{\kappa}}^{\varphi}. \end{aligned}$$



En utilisant la définition de  $\nabla_Q^N$  et la continuité des flux sur chaque arête du diamant on obtient

$$\begin{aligned} & \sum_{Q \in \mathfrak{Q}_D} \int_Q (A(x)(\nabla u(x) - \nabla_Q^N \mathbb{P}^\tau u), B_Q \bar{\delta}) \, dx \\ & \leq \sum_{Q \in \mathfrak{Q}_D} |Q| |B_Q \bar{\delta}| \sum_{\sigma \in \mathcal{E}_Q} |R_{Q,\sigma}^\varphi| \end{aligned}$$

En utilisant la définition de  $\nabla_{\mathcal{Q}}^{\mathcal{N}}$  et la continuité des flux sur chaque arête du diamant on obtient

$$\begin{aligned} & \sum_{\mathcal{Q} \in \mathfrak{Q}_{\mathcal{D}}} \int_{\mathcal{Q}} (A(x)(\nabla u(x) - \nabla_{\mathcal{Q}}^{\mathcal{N}} \mathbb{P}^{\tau} u), \nabla u(x) - \nabla_{\mathcal{Q}}^{\mathcal{N}} \mathbb{P}^{\tau} u + T_{\bar{\mathcal{Q}}}(x)) \, dx \\ & \leq \sum_{\mathcal{Q} \in \mathfrak{Q}_{\mathcal{D}}} |\mathcal{Q}| |B_{\mathcal{Q}} \bar{\delta}| \sum_{\sigma \in \mathcal{E}_{\mathcal{Q}}} |R_{\mathcal{Q}, \sigma}^{\varphi}| \end{aligned}$$

En utilisant la définition de  $\nabla_{\mathcal{Q}}^{\mathcal{N}}$  et la continuité des flux sur chaque arête du diamant on obtient

$$\begin{aligned}
 & \sum_{\mathcal{Q} \in \mathfrak{Q}_{\mathcal{D}}} \int_{\mathcal{Q}} (A(x)(\nabla u(x) - \nabla_{\mathcal{Q}}^{\mathcal{N}} \mathbb{P}^T u), \nabla u(x) - \nabla_{\mathcal{Q}}^{\mathcal{N}} \mathbb{P}^T u) \, dx \\
 & \leq \sum_{\mathcal{Q} \in \mathfrak{Q}_{\mathcal{D}}} \left( \int_{\mathcal{Q}} |\nabla u(x) - \nabla_{\mathcal{Q}}^{\mathcal{N}} \mathbb{P}^T u(x)| \, dx + \int_{\mathcal{Q}} |T_{\bar{\mathcal{Q}}}(x)| \, dx \right) \\
 & \quad \times \sum_{\sigma \in \mathcal{E}_{\mathcal{Q}}} (|R_{\mathcal{Q}, \sigma}^{\varphi}| + |R_{\mathcal{Q}, \sigma}^x|) \\
 & \quad + \sum_{\mathcal{Q} \in \mathfrak{Q}_{\mathcal{D}}} \int_{\mathcal{Q}} (A(x)(\nabla u(x) - \nabla_{\mathcal{Q}}^{\mathcal{N}} \mathbb{P}^T u), T_{\bar{\mathcal{Q}}}(x)) \, dx,
 \end{aligned}$$

[◀ Retour](#)

- Etape 1 :

$$\begin{aligned}\text{Consistance : } & \left( (A_\kappa \nabla \varphi), G \right)_{A^{-1}, \kappa} + \int_{\kappa} \varphi \operatorname{div}^\kappa G \, dx \\ &= \sum_{\sigma \in \mathcal{E}_\kappa} G_{\kappa, \sigma} \left( \int_{\sigma} \varphi \right), \forall \kappa, \forall G \in \mathbb{R}^{\mathcal{E}}, \forall \varphi \text{ affine.}\end{aligned}$$

On applique cela à  $\varphi(x) = b \cdot (x - x_\kappa)$ ,  $b \in \mathbb{R}^2$ , il vient

$$M_\kappa N_\kappa = R_\kappa. \tag{\star}$$

# CONSTRUCTION DE LA MATRICE $M_{\kappa}$

- **Etape 1 :**

$$\begin{aligned}\text{Consistance : } & ((A_{\kappa} \nabla \varphi), G)_{A^{-1}, \kappa} + \int_{\kappa} \varphi \operatorname{div}^{\kappa} G \, dx \\ & = \sum_{\sigma \in \mathcal{E}_{\kappa}} G_{\kappa, \sigma} \left( \int_{\sigma} \varphi \right), \forall \kappa, \forall G \in \mathbb{R}^{\mathcal{E}}, \forall \varphi \text{ affine.}\end{aligned}$$

On applique cela à  $\varphi(x) = b \cdot (x - x_{\kappa})$ ,  $b \in \mathbb{R}^2$ , il vient

$$M_{\kappa} N_{\kappa} = R_{\kappa}. \quad (\star)$$

- **Etape 2 :** La matrice  $M_{\kappa} = \frac{1}{|\mathcal{K}|} R_{\kappa} A_{\kappa}^{-1 t} R_{\kappa}$  vérifie  $(\star)$ .

# CONSTRUCTION DE LA MATRICE $M_\kappa$

- **Etape 1 :**

Consistance :  $((A_\kappa \nabla \varphi), G)_{A^{-1}, \kappa} + \int_\kappa \varphi \operatorname{div}^\kappa G \, dx$

$$= \sum_{\sigma \in \mathcal{E}_\kappa} G_{\kappa, \sigma} \left( \int_\sigma \varphi \right), \forall \kappa, \forall G \in \mathbb{R}^{\mathcal{E}}, \forall \varphi \text{ affine.}$$

On applique cela à  $\varphi(x) = b \cdot (x - x_\kappa)$ ,  $b \in \mathbb{R}^2$ , il vient

$$M_\kappa N_\kappa = R_\kappa. \quad (\star)$$

- **Etape 2 :** La matrice  $M_\kappa = \frac{1}{|\kappa|} R_\kappa A_\kappa^{-1 t} R_\kappa$  vérifie  $(\star)$ .

- **Etape 3 :** Si  $M_\kappa N_\kappa = 0$ , alors on a

$$\ker {}^t C_\kappa \subset \ker M_\kappa \Rightarrow \exists P_\kappa, \quad M_\kappa = P_\kappa {}^t C_\kappa.$$

Comme  $M_\kappa$  est symétrique

$$P_\kappa {}^t C_\kappa = C_\kappa {}^t P_\kappa \Rightarrow P_\kappa = C_\kappa \underbrace{{}^t P_\kappa C_\kappa \left( {}^t C_\kappa C_\kappa \right)^{-1}}_{\stackrel{\text{def}}{=} U_\kappa}.$$

On vérifie aisément que  $U_\kappa$  est SDP.

Soient  $\nu = (\nu_\kappa)_\kappa$  des paramètres positifs. On note

$$L_\nu(\mathcal{T}) = \left\{ (u^\tau, \mathbf{v}^\tau, F^\tau) \text{ vérifiant, pour toute arête } \sigma = \kappa | \mathcal{L} \right. \\ \left. u_\kappa + \mathbf{v}_\kappa \cdot (x_\sigma - x_\kappa) - \nu_\kappa |\kappa| F_{\kappa,\sigma} = u_\mathcal{L} + \mathbf{v}_\mathcal{L} \cdot (x_\sigma - x_\mathcal{L}) - \nu_\mathcal{L} |\mathcal{L}| F_{\mathcal{L},\sigma} \right\}.$$

### THÉORÈME (INÉGALITÉ DE POINCARÉ)

*Il existe une constante  $C > 0$  ne dépendant que de  $\text{reg}(\mathcal{T})$  telle que*

$$\forall (u^\tau, \mathbf{v}^\tau, F) \in L_\nu(\mathcal{T}), \quad \|u^\tau\|_{L^2(\Omega)} \leq C(\|\mathbf{v}^\tau\|_{L^2(\Omega)} + N(\nu, F)),$$

avec

$$N(\nu, F) = \left( \sum_{\kappa \in \mathcal{T}} \sum_{\sigma \in \mathcal{E}_\kappa} |\kappa|^2 \nu_\kappa^2 F_{\kappa,\sigma}^2 \right)^{\frac{1}{2}}.$$

$$u_{\mathcal{K}} + \mathbf{v}_{\mathcal{K}} \cdot (x_{\sigma} - x_{\mathcal{K}}) - \nu_{\mathcal{K}} |\mathcal{K}| F_{\mathcal{K},\sigma} = u_{\mathcal{L}} + \mathbf{v}_{\mathcal{L}} \cdot (x_{\sigma} - x_{\mathcal{L}}) - \nu_{\mathcal{L}} |\mathcal{L}| F_{\mathcal{L},\sigma} \quad (\star)$$

$$u_{\mathcal{K}} + \mathbf{v}_{\mathcal{K}} \cdot (x_{\sigma} - x_{\mathcal{K}}) - \nu_{\mathcal{K}} |\mathcal{K}| F_{\mathcal{K}, \sigma} = u_{\mathcal{L}} + \mathbf{v}_{\mathcal{L}} \cdot (x_{\sigma} - x_{\mathcal{L}}) - \nu_{\mathcal{L}} |\mathcal{L}| F_{\mathcal{L}, \sigma} \quad (\star)$$

ON EXPRIME  $u^{\tau}$  À L'AIDE DE FLUX

Soit  $w \in H^2(B(0, R))$  telle que  $-\Delta w = u^{\tau}$  dans  $\Omega$ . On a alors

$$|\mathcal{K}| u_{\mathcal{K}} = \sum_{\sigma \in \mathcal{E}_{\mathcal{K}}} \left( - \int_{\sigma} \nabla w \cdot \boldsymbol{\nu}_{\mathcal{K}\sigma} \right) \stackrel{\text{def}}{=} \sum_{\sigma \in \mathcal{E}_{\mathcal{K}}} G_{\mathcal{K}, \sigma}.$$

$$u_{\mathcal{K}} + \mathbf{v}_{\mathcal{K}} \cdot (x_{\sigma} - x_{\mathcal{K}}) - \nu_{\mathcal{K}} |\mathcal{K}| F_{\mathcal{K}, \sigma} = u_{\mathcal{L}} + \mathbf{v}_{\mathcal{L}} \cdot (x_{\sigma} - x_{\mathcal{L}}) - \nu_{\mathcal{L}} |\mathcal{L}| F_{\mathcal{L}, \sigma} \quad (\star)$$

### ON EXPRIME $u^{\tau}$ À L'AIDE DE FLUX

Soit  $w \in H^2(B(0, R))$  telle que  $-\Delta w = u^{\tau}$  dans  $\Omega$ . On a alors

$$|\mathcal{K}| u_{\mathcal{K}} = \sum_{\sigma \in \mathcal{E}_{\mathcal{K}}} \left( - \int_{\sigma} \nabla w \cdot \boldsymbol{\nu}_{\mathcal{K}\sigma} \right) \stackrel{\text{def}}{=} \sum_{\sigma \in \mathcal{E}_{\mathcal{K}}} G_{\mathcal{K}, \sigma}.$$

### ON MULTIPLIE $(\star)$ PAR LE FLUX DE $w$

N.B. :  $G_{\mathcal{K}, \sigma} = -G_{\mathcal{L}, \sigma}$

$$\begin{aligned} & \sum_{\sigma=\mathcal{K} \mid \mathcal{L} \in \mathcal{E}} (u_{\mathcal{K}} G_{\mathcal{K}, \sigma} + u_{\mathcal{L}} G_{\mathcal{L}, \sigma}) + (\mathbf{v}_{\mathcal{K}} \cdot (x_{\sigma} - x_{\mathcal{K}}) G_{\mathcal{K}, \sigma} + \mathbf{v}_{\mathcal{L}} \cdot (x_{\sigma} - x_{\mathcal{L}}) G_{\mathcal{L}, \sigma}) \\ & \quad - (\nu_{\mathcal{K}} |\mathcal{K}| F_{\mathcal{K}, \sigma} G_{\mathcal{K}, \sigma} + \nu_{\mathcal{L}} |\mathcal{L}| F_{\mathcal{L}, \sigma} G_{\mathcal{L}, \sigma}) = 0. \end{aligned}$$

$$u_{\kappa} + \mathbf{v}_{\kappa} \cdot (x_{\sigma} - x_{\kappa}) - \nu_{\kappa} |\kappa| F_{\kappa, \sigma} = u_{\mathcal{L}} + \mathbf{v}_{\mathcal{L}} \cdot (x_{\sigma} - x_{\mathcal{L}}) - \nu_{\mathcal{L}} |\mathcal{L}| F_{\mathcal{L}, \sigma} \quad (\star)$$

ON EXPRIME  $u^{\tau}$  À L'AIDE DE FLUX

Soit  $w \in H^2(B(0, R))$  telle que  $-\Delta w = u^{\tau}$  dans  $\Omega$ . On a alors

$$|\kappa| u_{\kappa} = \sum_{\sigma \in \mathcal{E}_{\kappa}} \left( - \int_{\sigma} \nabla w \cdot \boldsymbol{\nu}_{\kappa \sigma} \right) \stackrel{\text{def}}{=} \sum_{\sigma \in \mathcal{E}_{\kappa}} G_{\kappa, \sigma}.$$

ON MULTIPLIE  $(\star)$  PAR LE FLUX DE  $w$ 

$$\text{N.B. : } G_{\kappa, \sigma} = -G_{\mathcal{L}, \sigma}$$

$$\begin{aligned} \sum_{\sigma = \kappa \mid \mathcal{L} \in \mathcal{E}} (u_{\kappa} G_{\kappa, \sigma} + u_{\mathcal{L}} G_{\mathcal{L}, \sigma}) + (\mathbf{v}_{\kappa} \cdot (x_{\sigma} - x_{\kappa}) G_{\kappa, \sigma} + \mathbf{v}_{\mathcal{L}} \cdot (x_{\sigma} - x_{\mathcal{L}}) G_{\mathcal{L}, \sigma}) \\ - (\nu_{\kappa} |\kappa| F_{\kappa, \sigma} G_{\kappa, \sigma} + \nu_{\mathcal{L}} |\mathcal{L}| F_{\mathcal{L}, \sigma} G_{\mathcal{L}, \sigma}) = 0. \end{aligned}$$

## ON ORDONNE PAR VOLUMES DE CONTRÔLE

$$\sum_{\kappa \in \mathcal{T}} |\kappa| |u_{\kappa}|^2 = \sum_{\kappa \in \mathcal{T}} \mathbf{v}_{\kappa} \cdot \left( \sum_{\sigma \in \mathcal{E}_{\kappa}} (x_{\kappa} - x_{\sigma}) G_{\kappa, \sigma} \right) + \sum_{\kappa \in \mathcal{T}} \nu_{\kappa} |\kappa| \left( \sum_{\sigma \in \mathcal{E}_{\kappa}} F_{\kappa, \sigma} G_{\kappa, \sigma} \right).$$

$$\|u^\tau\|_{L^2}^2 = \underbrace{\sum_{\kappa \in \mathcal{T}} \mathbf{v}_\kappa \cdot \left( \sum_{\sigma \in \mathcal{E}_\kappa} (x_\kappa - x_\sigma) G_{\kappa,\sigma} \right)}_{=T_1} + \underbrace{\sum_{\kappa \in \mathcal{T}} \nu_\kappa |\kappa| \left( \sum_{\sigma \in \mathcal{E}_\kappa} F_{\kappa,\sigma} G_{\kappa,\sigma} \right)}_{=T_2}.$$

## PREMIER TERME

$$T_1 = \sum_{\kappa \in \mathcal{T}} \mathbf{v}_\kappa \cdot \underbrace{\left( \sum_{\sigma \in \mathcal{E}_\kappa} |\sigma| (x_\kappa - x_\sigma) \otimes \boldsymbol{\nu}_{\kappa\sigma} \right)}_{|\kappa| \text{Id}} \left( \frac{1}{|\kappa|} \int_\kappa \nabla w \right) + O(\text{size}(\mathcal{T})) \|\mathbf{v}^\tau\|_{L^2}.$$

$$\|u^\tau\|_{L^2}^2 = \underbrace{\sum_{\kappa \in \mathcal{T}} \mathbf{v}_\kappa \cdot \left( \sum_{\sigma \in \mathcal{E}_\kappa} (x_\kappa - x_\sigma) G_{\kappa,\sigma} \right)}_{=T_1} + \underbrace{\sum_{\kappa \in \mathcal{T}} \nu_\kappa |\kappa| \left( \sum_{\sigma \in \mathcal{E}_\kappa} F_{\kappa,\sigma} G_{\kappa,\sigma} \right)}_{=T_2}.$$

## PREMIER TERME

$$T_1 = \int_{\Omega} \mathbf{v}^\tau \cdot \nabla w + O(\text{size}(\mathcal{T})).$$

Le  $O(\text{size}(\mathcal{T}))$  contient des termes de la forme

$$\left| \frac{1}{|\sigma|} \int_{\sigma} \nabla w - \frac{1}{|\kappa|} \int_{\kappa} \nabla w \right|^2 \leq C \frac{\text{diam}(\kappa)}{|\sigma|} \int_{\kappa} |\nabla^2 w|^2.$$

$$\|u^\tau\|_{L^2}^2 = \underbrace{\sum_{\kappa \in \mathcal{T}} \mathbf{v}_\kappa \cdot \left( \sum_{\sigma \in \mathcal{E}_\kappa} (x_\kappa - x_\sigma) G_{\kappa,\sigma} \right)}_{=T_1} + \underbrace{\sum_{\kappa \in \mathcal{T}} \nu_\kappa |\kappa| \left( \sum_{\sigma \in \mathcal{E}_\kappa} F_{\kappa,\sigma} G_{\kappa,\sigma} \right)}_{=T_2}.$$

## PREMIER TERME

$$\begin{aligned} |T_1| &\leq \|\mathbf{v}^\tau\|_{L^2} \underbrace{\|\nabla w\|_{L^2}}_{\leq C \|u^\tau\|_{L^2}} + O(\text{size}(\mathcal{T})) \|\mathbf{v}^\tau\|_{L^2} \underbrace{\|w\|_{H^2}}_{\leq C \|u^\tau\|_{L^2}} . \end{aligned}$$

## IDEM POUR LE DEUXIÈME TERME

[◀ Retour](#)

$$u_{\kappa} + \mathbf{v}_{\kappa} \cdot (x_{\sigma} - x_{\kappa}) - \nu_{\kappa} |\kappa| F_{\kappa,\sigma} = u_{\mathcal{L}} + \mathbf{v}_{\mathcal{L}} \cdot (x_{\sigma} - x_{\mathcal{L}}) - \nu_{\mathcal{L}} |\mathcal{L}| F_{\mathcal{L},\sigma}. \quad (7)$$

$$F_{\kappa,\sigma} + F_{\mathcal{L},\sigma} = 0. \quad (8)$$

$$|\kappa| A_{\kappa} \mathbf{v}_{\kappa} = - \sum_{\sigma \in \mathcal{E}_{\kappa}} F_{\kappa,\sigma} (x_{\sigma} - x_{\kappa}). \quad (9)$$

$$\sum_{\sigma \in \mathcal{E}_{\kappa}} F_{\kappa,\sigma} = |\kappa| f_{\kappa}. \quad (10)$$

$$u_{\kappa} + \mathbf{v}_{\kappa} \cdot (x_{\sigma} - x_{\kappa}) - \nu_{\kappa} |\kappa| F_{\kappa,\sigma} = u_{\mathcal{L}} + \mathbf{v}_{\mathcal{L}} \cdot (x_{\sigma} - x_{\mathcal{L}}) - \nu_{\mathcal{L}} |\mathcal{L}| F_{\mathcal{L},\sigma}. \quad (7)$$

$$F_{\kappa,\sigma} + F_{\mathcal{L},\sigma} = 0. \quad (8)$$

$$|\kappa| A_{\kappa} \mathbf{v}_{\kappa} = - \sum_{\sigma \in \mathcal{E}_{\kappa}} F_{\kappa,\sigma} (x_{\sigma} - x_{\kappa}). \quad (9)$$

$$\sum_{\sigma \in \mathcal{E}_{\kappa}} F_{\kappa,\sigma} = |\kappa| f_{\kappa}. \quad (10)$$

OBTENTION DE L'ESTIMATION sous l'hypothèse  $\nu_{\kappa} |\kappa| \leq C_0$ .

- On multiplie (10) par  $u_{\kappa}$  et on somme. En utilisant (8), il vient

$$\sum_{\sigma \in \mathcal{E}} (u_{\kappa} - u_{\mathcal{L}}) F_{\kappa,\sigma} = \int_{\Omega} u^{\tau} f.$$

$$u_{\kappa} + \mathbf{v}_{\kappa} \cdot (x_{\sigma} - x_{\kappa}) - \nu_{\kappa} |\kappa| F_{\kappa,\sigma} = u_{\mathcal{L}} + \mathbf{v}_{\mathcal{L}} \cdot (x_{\sigma} - x_{\mathcal{L}}) - \nu_{\mathcal{L}} |\mathcal{L}| F_{\mathcal{L},\sigma}. \quad (7)$$

$$F_{\kappa,\sigma} + F_{\mathcal{L},\sigma} = 0. \quad (8)$$

$$|\kappa| A_{\kappa} \mathbf{v}_{\kappa} = - \sum_{\sigma \in \mathcal{E}_{\kappa}} F_{\kappa,\sigma} (x_{\sigma} - x_{\kappa}). \quad (9)$$

$$\sum_{\sigma \in \mathcal{E}_{\kappa}} F_{\kappa,\sigma} = |\kappa| f_{\kappa}. \quad (10)$$

OBTENTION DE L'ESTIMATION sous l'hypothèse  $\nu_{\kappa} |\kappa| \leq C_0$ .

- On multiplie (10) par  $u_{\kappa}$  et on somme. En utilisant (8), il vient

$$\sum_{\sigma \in \mathcal{E}} (u_{\kappa} - u_{\mathcal{L}}) F_{\kappa,\sigma} = \int_{\Omega} u^{\tau} f.$$

- On utilise (7), on réordonne par maille,

$$\sum_{\kappa \in T} \mathbf{v}_{\kappa} \cdot \left( \sum_{\sigma \in \mathcal{E}_{\kappa}} F_{\kappa,\sigma} (x_{\kappa} - x_{\sigma}) \right) + \sum_{\kappa \in T} \sum_{\sigma \in \mathcal{E}_{\kappa}} \nu_{\kappa} |\kappa| |F_{\kappa,\sigma}|^2 = \int_{\Omega} u^{\tau} f.$$

$$u_{\kappa} + \mathbf{v}_{\kappa} \cdot (x_{\sigma} - x_{\kappa}) - \nu_{\kappa} |\kappa| F_{\kappa,\sigma} = u_{\mathcal{L}} + \mathbf{v}_{\mathcal{L}} \cdot (x_{\sigma} - x_{\mathcal{L}}) - \nu_{\mathcal{L}} |\mathcal{L}| F_{\mathcal{L},\sigma}. \quad (7)$$

$$F_{\kappa,\sigma} + F_{\mathcal{L},\sigma} = 0. \quad (8)$$

$$|\kappa| A_{\kappa} \mathbf{v}_{\kappa} = - \sum_{\sigma \in \mathcal{E}_{\kappa}} F_{\kappa,\sigma} (x_{\sigma} - x_{\kappa}). \quad (9)$$

$$\sum_{\sigma \in \mathcal{E}_{\kappa}} F_{\kappa,\sigma} = |\kappa| f_{\kappa}. \quad (10)$$

OBTENTION DE L'ESTIMATION sous l'hypothèse  $\nu_{\kappa} |\kappa| \leq C_0$ .

- On multiplie (10) par  $u_{\kappa}$  et on somme. En utilisant (8), il vient

$$\sum_{\sigma \in \mathcal{E}} (u_{\kappa} - u_{\mathcal{L}}) F_{\kappa,\sigma} = \int_{\Omega} u^{\tau} f.$$

- On utilise (7), on réordonne par maille, puis on utilise (9)

$$\sum_{\kappa \in \mathcal{E}} |\kappa| \mathbf{v}_{\kappa} \cdot (A_{\kappa} \mathbf{v}_{\kappa}) + \sum_{\kappa \in \mathcal{T}} \sum_{\sigma \in \mathcal{E}_{\kappa}} \nu_{\kappa} |\kappa| |F_{\kappa,\sigma}|^2 = \int_{\Omega} u^{\tau} f.$$

Correspond à  $\int_{\Omega} (A(x) \nabla u, \nabla u) dx = \int_{\Omega} f u dx$ .

$$u_{\kappa} + \mathbf{v}_{\kappa} \cdot (x_{\sigma} - x_{\kappa}) - \nu_{\kappa} |\kappa| F_{\kappa,\sigma} = u_{\mathcal{L}} + \mathbf{v}_{\mathcal{L}} \cdot (x_{\sigma} - x_{\mathcal{L}}) - \nu_{\mathcal{L}} |\mathcal{L}| F_{\mathcal{L},\sigma}. \quad (7)$$

$$F_{\kappa,\sigma} + F_{\mathcal{L},\sigma} = 0. \quad (8)$$

$$|\kappa| A_{\kappa} \mathbf{v}_{\kappa} = - \sum_{\sigma \in \mathcal{E}_{\kappa}} F_{\kappa,\sigma} (x_{\sigma} - x_{\kappa}). \quad (9)$$

$$\sum_{\sigma \in \mathcal{E}_{\kappa}} F_{\kappa,\sigma} = |\kappa| f_{\kappa}. \quad (10)$$

OBTENTION DE L'ESTIMATION sous l'hypothèse  $\nu_{\kappa} |\kappa| \leq C_0$ .

- On multiplie (10) par  $u_{\kappa}$  et on somme. En utilisant (8), il vient

$$\sum_{\sigma \in \mathcal{E}} (u_{\kappa} - u_{\mathcal{L}}) F_{\kappa,\sigma} = \int_{\Omega} u^{\tau} f.$$

- On utilise (7), on réordonne par maille, puis on utilise (9)

$$\|\mathbf{v}^{\tau}\|_{L^2}^2 + \sum_{\kappa \in \mathcal{T}} \sum_{\sigma \in \mathcal{E}_{\kappa}} \nu_{\kappa} |\kappa| |F_{\kappa,\sigma}|^2 \leq C \|f\|_{L^2} \|u^{\tau}\|_{L^2}.$$

On conclut par l'inégalité de Poincaré

$$\|u^{\tau}\|_{L^2}^2 + \|\mathbf{v}^{\tau}\|_{L^2}^2 + \sum_{\kappa \in \mathcal{T}} \sum_{\sigma \in \mathcal{E}_{\kappa}} \nu_{\kappa} |\kappa| |F_{\kappa,\sigma}|^2 \leq C' \|f\|_{L^2}^2. \quad \leftarrow \text{Retour}$$